

**EGE ÜNİVERSİTESİ FEN BİLİMLERİ ENSTİTÜSÜ**

**(YÜKSEK LİSANS TEZİ)**

**GÜNEŞ ENERJİSİ DESTEKLİ  
TOPRAK KAYNAKLI ISI POMPASI İLE  
BİR HACMİN ISITILMASI**

**Ebru HANCIOĞLU**

*96541*

**Güneş Enerjisi Enstitüsü Ana bilim Dah**

**Bilim Dah Kodu : 10.8888.6100.000**

**Sunuş Tarihi : 03.08.2000**

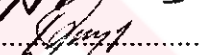
**Tez Danışmanı : Doç. Dr. Arif Hepbaşlı**

**Bornova – İZMİR**

### III

Sayın Ebru HANCIOĞLU tarafından YÜKSEK LİSANS TEZİ olarak sunulan “Güneş Enerjisi Destekli Toprak Kaynaklı Isı Pompası ile Bir Hacmin Isıtılması” adlı bu çalışma “Lisans Üstü Eğitim ve Öğretim Yönetmeliği”nin 12inci madde (c) ve (d) bentleri ve Enstitü yönergesinin ilgili hükümleri dikkate alınarak tarafımızdan değerlendiririlmiş olup yapılan sözlü savunma sınavında aday oy...~~başarılı~~ ile başarılı bulunmuştur. Bu nedenle Ebru HANCIOĞLU’nun sunduğu metnin yüksek lisans tezi olarak kabulüne oy ...~~başarılı~~ ile karar verilmiştir.

3.8.2000  
Temmuz 2000

Jüri Başkanı Doç. Dr. Arif Hacıbarsı imza   
Raporör : Prof. Dr. Ali Güneş imza   
Üye : Doç. Dr. Firuz Balkanıma 

Bu tezin kabulü, Fen Bilimleri Enstitüsü Yönetim Kurulu'nun 14/8/2000 gün ve 32/29..... sayılı kararıyla onaylanmıştır.

  
Dr. Süleyman BORUZANLI

Enstitü Sekreteri

  
Prof. Dr. Alaettin TAYSUN,

Enstitü Müdürü

V

**ÖZET**

**GÜNEŞ ENERJİSİ DESTEKLİ TOPRAK KAYNAKLI ISI  
POMPASI İLE BİR HACMİN ISITILMASI**

HANCIOĞLU, Ebru

Yüksek Lisans Tezi, Güneş Enerjisi Enstitüsü

Tez Yöneticisi: Doç. Dr. Arif HEPBAŞLI

Temmuz 2000, 227 sayfa

Bu çalışmanın amacı, İzmir'de güneş enerjisi destekli toprak kaynaklı ısı pompası ile bir hacmin ısıtılmasıdır.

Bu bağlamda, Toprak Kaynaklı Isı Pompası (TKIP) tasarlandı ve Ege Üniversitesi Güneş Enerjisi Enstitüsü'nde Bir Hacmin Isıtılması için kuruldu. Isı Pompası ünitesi iki devreden oluşur. Bunlardan biri, refrigerant olarak kullanılan Refrigerant 22 ile soğutma çevrimidir. Diğer devre, torak serpentinleri içinde su-antifriz solüsyonunun dolaştırıldığı, sıvı dolasım tipidir. Dikey TKIP, 50 m derinlikteki bir dikey sondaj içine U şekline yüksek yoğunluklu poli etilen (PE) boru yerleştirilerek kuruldu.

Deney düzeni toprak sıcaklıklarını ölçmek ve ısı pompasının etkinlik katsayısını belirlemek için gerekli ölçme cihazları ile donatılmıştır.

1999-2000 soğutma mevsimi esnasında, değişken salamura kütle verilerinde toplam 23 deneme yapılmıştır. topraktan soğurulan ısı gücü ölçülmüş ve teorik modellerin tahminleri ile karşılaştırılmıştır.

Anahtar sözcükler: Toprak kaynaklı ısı pompası

**VII**  
**ABSTRACT**

**SPACE HEATING BY SOLAR ASSISTED GROUND  
SOURCE HEAT PUMP**

HANCIOĞLU, Ebru

M.S in Solar Energy Institute

Supervisor : Assoc.Prof.Dr. Arif HEPBAŞLI

July 2000, 227 pages

The aim of this study is to examine the design of space heating by solar assisted ground source heat pump in İzmir.

In this regard, a ground-source heat pump was designed and constructed for heating a classroom in the Solar Energy Institute of Ege University. The heat pump unit consisted of two circuits. One of them was the refrigeration cycle in which Refrigerant 22 was used as the refrigerant. The other circuit was a liquid circulation type earth coil through which water-antifreeze solution was circulating. Vertical Ground Coupled Heat Pump constructed by placing two-diameter high density polyethylene (PE) tubes in a vertical bore hole with dept of 50 m.

The test apparatus was equipped with the necessary instruments to determine the performance variables of the heat pump and the soil temperature with the heat pump operation.

Totally, 23 runs of experiments were performed during 1999-2000 cooling seasons under brine circulation rate through the ground heat exchanger. The rate of heat absorption from the ground also measured and compared with the predictions of theoretical analysis.

**Key words:** Ground sources heat pump.

## IX

### **TEŞEKKÜR**

Bu çalışma süresince gerekli verilerin sağlanmasında kolaylık gösteren DSİ çalışanlarına, özellikle kıymetli görüşlerinden yararlandığım ve yakın ilgisini esirgemeyen Sayın Doç. Dr. Arif Hepbaşlı'ya, Yeşil Çizgi Firması sahibi Hakan sahibi Sayın Hakan Yılmaz'a ve Arges Firması sahibi Sayın Oğuzhan Peker'e, ve ayrıca, gerek deney tesisatının montajının gerekse deneylerin yapılması süresinde hafta sonlarında dahil olmak üzere, rahat çalışabilmemiz için her türlü desteği veren Güneş Enerjisi Enstitüsü Müdürü Sayın Prof. Dr. Necdet Özbalta'ya, Enstitü sekreteri Sayın Sabire Tarhan'a ve Ege Üniversitesi Güneş Enerjisi Enstitüsü çalışanlarına ve yüksek lisans öğrenim süresince beni büyük bir sabır ve özveri ile destekleyen eşim Tamer'e ve kardeşim Senem'e teşekkürü bir borç bilirim.

**XI**  
**İÇİNDEKİLER**

	<u>Sayfa</u>
ÖZET	V
ABSTRACT	VII
TEŞEKKÜR	IX
İÇİNDEKİLER	XII
ŞEKİLLER DİZİNİ	XIV
TABLOLAR	XV
SİMGELER VE KISALTMALAR	XVII
1. GİRİŞ .....	1
2. ÖNCEKİ ÇALIŞMALAR .....	3
2.1 Tarihçe .....	3
2.2 Konuya İlgili Yapılmış Araştırmalar .....	4
3. TEMEL BİLGİLER .....	13
3.1 Isı Pompalarının Temel Prensibi .....	13
3.2 Isı Pompasının Çalışma Prensibi .....	14
3.3 Isı Pompa Çevrimleri .....	15
3.3.1 Carnot Çevrimi .....	15
3.3.2 Teorik Çevrim .....	17
3.3.3 Gerçek Çevrim .....	20
3.3.4 Teorik Çevrimden Sapmalar .....	21
3.3.4.1 Aşırı Kızdırma .....	21
3.3.4.2 Aşırı Soğutma .....	23
3.3.5 Kompresörlü Isı Pompasının Termodinamik Analizi .....	23
3.3.5.1 Basınç oranı .....	23
3.3.5.2 Doldurma Derecesi .....	23
3.3.5.3 Volumetrik Verim .....	25
3.3.5.4 Buharlaşma Isı Akışı ( $Q_0$ ) .....	25
3.3.5.5 Soğutucu Aışkanın Kütlesel Debisi .....	25
3.3.5.6 Hacimsel Soğutma Gücü ( $q_{ov}$ ) .....	26
3.3.5.7 Yoğunlaştırıcı – Isı Akısı ( $Q$ ) .....	27
3.3.5.8 Kompresör Kayıpları .....	27
3.3.5.9 Isı Pompalarında Kullanılan Etkinlik ve Verim Tanımları .....	29
3.4 Isı Kaynakları .....	39
3.4.1 Isı Pompalarının Adlandırılması .....	43

## İÇİNDEKİLER (devam)

4. TOPRAK KAYNAKLı ISI POMPALARI TASARIMI .....	49
4.1 Genel.....	49
4.2 Toprak Kaynaklı Isı Pompaları Tipleri.....	51
4.2.1 Toprak Serpantinli Isı Pompaları ( TSIP ) .....	51
4.2.2 Yer altı suyu Isı Pompaları (YASIP) .....	54
4.2.3 Yüzey Suyu Isı Pompası (YSIP) .....	55
4.3 Toprak Kaynaklı Isı Pompalarının Yararları ve Sakıncaları.....	56
4.3.1 Yararları .....	57
4.3.2 Sakıncaları.....	61
4.4 TKIP'ları Tasarımı .....	62
4.5 Toprak Kaynaklı Uygulamalar için Isı Pompası Tipleri.....	62
4.5.1 Su-Hava Isı Pompaları için Standartlar .....	65
4.5.2 Su-Hava Isı Pompalarının Performans Karakteristikleri .....	67
4.5.3 TKIP Malzemeleri İçin Öneriler .....	75
4.5.4 Dış Hava ve Su-Hava Isı Pompası.....	77
4.6 Soğutucu Aışkanlar .....	89
4.6.1 Fiziksel özellikler .....	91
4.6.1.1 Donma Sıcaklığı .....	92
4.6.1.2 Kaynama Sıcaklığı ve Kritik Nokta .....	92
4.6.3 Çevresel Etkileri .....	92
4.6.4 Alternatif Soğutucu Aışkanlar .....	94
4.6.4.1 R-134a Soğutucu Aışkan .....	96
4.6.4.2 R-123 Soğutucu Aışkan .....	97
4.6.4.3 Diğer Alternatif Soğutucu Aışkanlar .....	99
4.6.5 Soğutucu Aışkanlarının Termodinamik Özellikleri .....	102
5. TOPRAK ISI DEĞİŞTİRİCİLERİNİN TASARIMI .....	112
5.1 Genel.....	112
5.2 Isı Pompası Seçimi .....	114
5.3 Toprak serpantini-Boru uzunluğu hesaplamaları .....	135
6. GÜNEŞ ENERJİSİ DESTEKLİ ISI POMPASI .....	152
6. 1 Seri Kaynaklı Isı Pompaları .....	153
6. 2 Paralel Kaynaklı Isı Pompaları.....	154
6. 3 Çift Kaynaklı Güneş Enerjisi Destekli Isı Pompaları .....	155
6. 4 Sistemlerin Karşılaştırılması .....	157
6. 5 Deneysel Sonuçları Hesaplama Metotları .....	158
6. 6 Düzlemsel Toplayıcılar .....	159

## **İÇİNDEKİLER (devam)**

6.6.1 Yatay Düzleme Gelen Toplam Güneş Işınımı Şiddeti .....	160
6.6.2 Eğik Konumdaki Toplayıcı Düzlemine Gelen Toplam Güneş Işınıının Bulunması .....	160
6.6.3 Kullanım Yerindeki Suyun Faydalı Isısı .....	160
6.6.4 Gerekli Toplayıcı Yüzeyi Hesabı.....	160
6.6.5 Sıcak Su Deposu Hacmi Hesabı.....	160
6.6.6 Sirkülasyon Pompası Debisi Hesaplanması.....	162
6.7 Depolama Tankı .....	162
<b>7.DENEYSEL ÇALIŞMALAR .....</b>	<b>167</b>
7.1 Deney Tesisatı .....	167
7.2 Deney Ölçümleri .....	172
7.3 Deney Sonuçlarının hesaplanması .....	173
<b>8. EKONOMİK ANALİZ .....</b>	<b>178</b>
8.1. Öneriler .....	178
8.2 Maliyetlere etki eden faktörler.....	179
8.2.1 Toprak Kaynaklı Isı için Maliyet bilgileri .....	182
8.2.1.1 Tipik toprak çevrimi Maliyetleri .....	182
8.3 Proje Değerlendirme Yöntemi .....	187
8.3.1. Net Bugünkü Değer.....	187
8.3.2. İç Karlılık Oranı ( Gerçek Verim ) .....	189
8.3.3. Geri Ödeme Süresi .....	190
8.3.4. Ortalama Karlılık Oranı .....	191
8.4 Teknik Ekonomik Model.....	191
8.4.1 Teknik Modelin İncelenmesi .....	193
<b>9. SONUÇLAR .....</b>	<b>196</b>
<b>KAYNAKLAR DİZİNİ .....</b>	<b>198</b>
<b>EKLER LİSTESİ .....</b>	<b>203</b>
<b>ÖZGEÇMİŞ .....</b>	<b>227</b>

## XIV

### ŞEKİLLER DİZİNİ

Şekil 3.1 Soğutma Makinası İle Isı Pompası Amaç Karşılaştırılması.....	13
Şekil 3.2 Isı Pompası Çalışma şeması .....	14
Şekil 3.3 Carnot çevirimi.....	16
Şekil 3.4 Teorik Çevrim .....	18
Şekil 3.5 Gerçek Çevrim .....	21
Şekil 3.6 Aşırı Kızdırma .....	22
Şekil 3.7 Basınç ve Doldurma oranları .....	24
Şekil 4.1 Toprak Kaynaklı Isı Pompası Tipleri.....	50
Şekil 4.2 TKIP için istenen tasarım.....	64
Şekil 4.3 Toprak Kaynaklı Uygulamalar İçin Su kaynaklı Isı Pompaları	65
Şekil 4.4 Hissedilir ısı geri kazanım alma ünitesi ile hava koşulları .....	76
Şekil 4.5 Hidronik serpantin ile Isı geri kazanım.....	82
Şekil 4.6 Kısım-yük soğutmada dış hava önkoşul seçeneklerini karşılaştırma .....	87
Şekil 5.1 Bir hendek içinde bir dallı yatay seri çevrim .....	122
Şekil 5.2 Dikey seri sistem .....	125
Şekil 5.3 Binanın Isı Kaybı Grafiği.....	131
Şekil 5.4 Binanın Isı Kazancı Grafiği .....	134
Şekil 6.1 Güneş Enerjisi Destekli Isı Pompası.....	152
Şekil 6. 1 Seri kaynaklı ısı pompaları.....	154
Şekil 6. 2 Paralel Sistemli Isı Pompaları .....	156
Şekil 6. 3. Çift Kaynaklı Güneş Enerjisi Destekli Isı Pompaları .....	157
Şekil 6.4 Depolama Tankı .....	164
Şekil 7.1 Sistem üzerinde ölçüm noktaları .....	173
Şekil 7.2 Sistemin T-S diyagramında Gösterimi .....	176
Şekil 7.3 Zamanla Cop'nin değişimi.....	176
Şekil 7.4 Zamanla Odanın Isının Değişimi.....	177
Şekil 7.5 Zamanla Sıcaklığın DeğişimiOdanın Isının eğisimi.....	177

**XV**  
**TABLOLAR DİZİNİ**

Tablo 3.1 Isı Kaynaklarının Karşılaştırılması.....	46
Tablo 3.3 Isı Pompaları ve Isı Pompaları Tesisinin Adlandırılması.....	47
Tablo 3.2 Isı Pompası Sistemleri .....	48
Tablo 4.1a Isı Pompaları ile ilgili Türk Standartları Listesi (TSE) .....	66
Tablo 4.1b. Isı Pompaları İle Ilgili Türk Standartları Listesi .....	68
Tablo 4.2 Su-Hava Isı Pompaları İçin ARI Standartları .....	69
Tablo 4.3 EPACT Minimum Su-Hava Isı Pompaları Etkinlikleri.....	71
Tablo 4.4 Su-Hava Isı pompaları için Performans Tablosu .....	72
Tablo 4.5 Soğutma Modunda 4-ton Isı Pompası için Performans Değişimleri .....	74
Tablo 4.6 Isıtma Modunda 4-ton Isı Pompası için Performans Değişimi	74
Tablo 4.7 Bir Üreticinin Isıtma ve Soğutma Teknik Özellikleri .....	77
Tablo 4.8 Tipik bir sınıfta dış havayı ön ısıtmak için saatlik enerji ve maliyet ( $375 \text{ ft}^3/\text{dak}$ ( $10,6 \text{ m}^3/\text{dak}$ ), $0 \rightarrow 49^\circ\text{F}$ ( $-17,7 \rightarrow 9,4^\circ\text{C}$ )) .....	85
Tablo 4.9 Havalandırma Hava Isı Geri kazanım Ünitesi ile veya Ünitesiz Yüksek Nem Tasarım Koşullarında Su-Hava Isı Pompalarının Soğutma Performansı.....	86
Tablo 4.10 Havalandırma Hava Isı Geri Kazanım Üniteleri olması veya Olmaması Durumunda Yüksek Nemli Kısmi-Yük Koşullarında Su-Hava Isı Pompalarının Soğutma Performansı.....	89
Tablo 4.11 ulusal Soğutucu Ağızdan Emniyet Kodu .....	90
Tablo 4.12 Soğutucu ağızdanların uygulama alanları .....	91
Tablo 4.13 Soğutucu ağızdanların fiziksel özellikleri.....	92
Tablo 4.14 R 12 ile R 134a'nın karşılaştırılması .....	97
Tablo 4.15 R 11 ile R 123'ün karşılaştırılması .....	98
Tablo 4.16 Alternatif Soğutucuların Fiziksel Özellikleri.....	101
Tablo 4.17 Sıvı –yoğunluk eşitlik sabitleri .....	104
Tablo 4.18 Buhar basınç eşitlik sabitleri .....	105
Tablo 4.19 Soğutucu hal denklikleri için sabitler .....	106
Tablo 4.20 Isı kapasitesi eşitlik sabitleri .....	110
Tablo 5.1 Toprak sıcaklığı dalgalanması .....	118
Tablo 5.2 Farklı topraklar için çeşitli derinliklerde $T_m$ karşılaştırılması .....	119
Tablo 5.4 Boru direnç değerleri.....	121
Tablo 5.3 Toprak Direnci (Courtesy Bard Manufacturing Co.) .....	123

## TABLOLAR (devam)

Tablo 5.5 İzmir için sıcaklık aralığı verileri(Güneş Enerjisi Enstitüsü ölçümleri).....	129
Tablo 5.6 İşletme faktörünün hesaplanması .....	133
Tablo 5.7 Yatay Boru Uzunluğu Hesap Föyü.....	138
Tablo 5.8 WPH28-1H Kodlu Cihaz Özellikleri .....	143
Tablo 5.9 WPH22-1H Kodlu Cihaz Özellikleri .....	144
Tablo 5.10 Dikey Boru Uzunluğu Hesap Föyü .....	150
Tablo 5.11 Sondaj ölçüsü .....	151
Tablo 6.1 Yatay düzleme gelen toplam güneş ışınımı .....	161
Tablo 6.2 Enlerme, Mevsime ve Toplayıcı Eğim açısına göre "R" faktörleri .....	161
Tablo 6.3 Yaz sonu dikkate alınarak hesaplanan kollektör yüzeyinin diğer sezonlarda ne kadar takviye enerji getireceğinin tablosu .....	162
Tablo 7.1 Isı Yükü Hesabı .....	169
Tablo 7.2 Ölçüm Verilerinin Açıklaması.....	172
Tablo 7.3 Deney Ölçümleri (25.07.200 tarihli) .....	175
Tablo 7.4 Deney sonuçları.....	175
Tablo 8.1 Toprak Çevrim Yerleştirme Maliyetleri .....	182
Tablo 8.2 Konutlardaki kullanım için yakıt fiyatlarının karşılaştırılması .....	183
Tablo 8.3 Enerji harcaması maliyet tablosu .....	185
Tablo 8.4 Klima Sistem İle Toprak Kaynaklı Isı Pompasının Ekonomik Analizinin Karşılaştırılması .....	195

**XVII**  
**SİMGELER VE KISALTMALAR**

<b><u>Simgeler</u></b>	<b><u>Açıklama</u></b>
BH	Birim kapasite-ısitma Btuh
BS	Birim kapasite-soğutma Btuh
EER	Enerji Yeterlilik Oranını
F <sub>I</sub>	Birim ısitma çalışma faktörü
F <sub>s</sub>	Birim soğutma çalışma faktörü
HK	Hissedilir kapasite Btuh
Rb	Boru direnci ( boru duvarlarına doğru ısı akış direnci )
Rbe	Dikey yerleştirilmiş boru direnci
Rt	Toprak direnci ( toprak tipi ile değişen )
SIK	Su ısitma kapasitesi
Tesi	Giren su sıcaklığı- ısitma, °C
T <sub>GSS</sub>	Giren su sıcaklığı- soğutma, °C
TK	Toplam kapasite, kW
t <sub>m</sub>	Karışmış hava sıcaklığı, °C
Tm	Yıllık ortalama toprak sıcaklığı, °C
To	Ortalama yıllık toprak sıcaklığı, °C
t <sub>or</sub>	Dış hava sıcaklığı, °C
t <sub>s</sub>	Sağlanan hava sıcaklığı, °C
β	Etki katsayısı
β <sub>ISIT</sub>	Isıtma etki katsayısı
β <sub>SOG</sub>	Soğutma etki katsayısı
E	Isı eşanjörü etki katsayısı

## SİMGELER VE KISALTMALAR (devam)

$\zeta$	Ekzerjetik verim
$\lambda$	Doldurma derecesi
$\pi$	Basınç oranı
$\eta_{KT}$	Kompresör toplam verimi
$\epsilon$	Isıtma etki katsayısı
$m_{hk}$	kondenserdeki havanın kütle akış oranı (kg/h)
$C_h$	Havanın spesifik ısısı (kJ/kg°C)
$T_{hk1}$	kondensere giren havanın sıcaklığı (K)
$T_{hk2}$	kondenserden çıkan havanın sıcaklığı (K)
$W_{komp}$	kompresöre verilen iş (kJ/h)
$W_p$	Su sirkülasyon pompasına verilen iş (kJ/h)
$W_{kf}$	Kompresör fana verilen iş (kJ/h)
$\eta_{kol}$	Kollektör verimi
$F_R$	Isı alma faktörü
$(\tau\alpha)_{eff}$	Etkin soğurma
$U$	Kollektör ısı kaybı etkinliği (W/m <sup>2</sup> K)
$A_{ks}$	Kollektör soğurucu alanı (m <sup>2</sup> )
$T_{ag}$	Kollektöre giren akışkan(su) sıcaklığı (K)
$T_h$	Ortam hava sıcaklığı (K)
$A_g$	Kollektör alanı (m <sup>2</sup> )
$I$	Gelen güneş ışınları etkisi (W/m <sup>2</sup> K)
$m_s$	Sistemdeki su akış hızı (kg/h)
$C_s$	Suyun spesifik ısısı (kJ/kg°C)
$T_{ag}$	Kollektöre giren akışkan(su) sıcaklığı (K)

## **SİMGELER VE KISALTMALAR (devam)**

T <sub>aç</sub>	Kollektörden çıkan akışkan(su) sıcaklığı (K)
GS	Bir aydaki gün sayısı

### **Kısaltmalar**      **Açıklama**

ARI	İklimlendirme ve Soğutma Enstitüsü (Air-Conditioning and Refrigeration Institute), Amerika
ASHRAE	Amerikan Isıtma, Soğutma ve İklimlendirme Mühendisleri Birliği ( American Society of Heating, Refrigerating, and Air-Conditioning Engineers )
TKIP	Toprak Kaynaklı Isı Pompası
TS	Türk Standardı
HDPE	Yüksek yoğunluklu polietilen
TSIP	Toprak Serpantinli Isı Pompaları
PE	Polietilen
EPACT	Enerji Politikası Hareketleri ( The Energy Policy Act )
EPA	Çevre Koruma Acentesi (Environmental Protection Agency), Amerika

## 1. GİRİŞ

Günümüzde enerji ihtiyacı, daha çok fosil yakıtlardan karşılanmaktadır. Ancak dünya, fosil enerji kaynakları tükenme tehlikesi ile karşı karşıyadır. Bu yüzden enerji kullanımı bugün herkesin dilindedir. Kanuni talimatlar, artan fiyatlar ve tüketicinin bilinçlenmesi enerji tüketimini azaltmada önemli bir faktördür. Enerji ihtiyacının sınırlandırılması yanında, yeni enerji kaynaklarının da araştırılması gereklidir. Bunlara örnek olarak güneş enerjisi, yeraltı suları ve atık ısı verilebilir. İşi, kendiliğinden düşük sıcaklıklı bir ortamdan daha yüksek sıcaklıklı bir ortama geçemediği için hemen hemen kullanılamamaktadır. Bu faydalı ısını kullanmak için enerji tasarrufu sağlayabilecek, az enerji tüketerek aynı ihtiyaçları karşılayacak bir cihaza ihtiyaç duyulur. İşi pompaları, düşük sıcaklıklı ısının kullanılmasına imkan veren sistemler olarak ortaya çıkmıştır.

İşi kaynağı olarak toprağın kullanılmasının yararı sıcaklığın sabit bir şekilde seyretmesidir. İşi ihtiyacının yüksek olduğu dönemlerde, sıcaklığın uygun değerlerde olması ve sıvı-soğutucu akışkan buharlaştırıcılarının yüksek verimli olmasından dolayı, ısı pompasının ısıtma tesir katsayısı, kaynak olarak havayı kullanan ısı pompalarına oranla yüksek çıkışmasını sağlar.

Toprak kaynaklı ısı pompaları, topraktan ısını su veya salamura (antifriz-su karışımı) aracılığıyla çekerler. Bunun için salamuranın içinde dolaşlığı toprak altına yerleştirilen boruların tasarımını uygun bir şekilde yapılmalıdır. Bu boruların ve toprağa döşenmelerinin maliyeti ilk yatırım masrafını artıracagından bu toprak ısı değiştirici tasarımını büyük bir dikkatle yapılmalıdır. Ayrıca hem bu tasarıma, hem de istenilen ısıtma

değerlerine uygun ısı pompası seçimi önem kazanmaktadır. Deney sonuçları özenli bir şekilde incelenerek bölgeye uyumu araştırılmalıdır.

Ekonomik analizi aynı özenle yapılip, karlı olup olmadığı saptanmalıdır.

## 2. ÖNCEKİ ÇALIŞMALAR

### 2.1 Tarihçe

İsı pompasının basit prensibi ilk kez 1824 yılında Sadi Carnot tarafından öne sürülmüştür. Bu teoriden 26 yıl sonra, 1850 yılında Lord Kelvin ısıtma için soğutma makinelerinin kullanılabilmesini öne sürmüştür. Kelvin 1852 yılında yayımladığı yazısında, kompresör ile bağlantılı genişletici kullanan bir sistem tanıtmıştır. Fakat normal ısıtma masraflarına oranla makinenin masrafının çok daha yüksek olması nedeniyle, bu hava-ısıtma ısı pompa o zamanlar kurulamamıştır.

Sıkıştırılmış buharla çalışan ısı pompasının prensibinin ilk olarak İsviçre'de, 1870-1880 yılları arasında Salina Bex'de mühendis Paul Piccard tarafından gerçekleştirilmesi dikkate değerdir. Böyle ikinci bir tesis 1917'de Aarau'da Faerberei Jenny'de iştelmiştir.

İlk pratik ısı pompa ise, 1930 yılında İskoç Haldane'in yapıp, evinde kullanılmasına kadar ortaya çıkmamıştır. Haldene bu makinede kaynak olarak havayı kullanmış ve hava koşullarının iyi olmadığı zamanlarda su ile desteklemiştir. 1950'lerde ısı pompasına ilgi az da olsa artmış; ancak petrol fiyatlarının gerilemesi ve bazı işletim zorluklarından ötürü fazla rağbet görmemiştir. Ancak soğutma endüstrisinin gelişip, kimi zorlukların alt edilmesi ve yeni modellerin üretilmesine, birde 1973-1974 yıllarında petrol fiyatlarının artması eklenince, ısı pompa yeniden ilginin odağı olmuştur.

1950'lerde Amerika ve İngiltere'de, evsel ısı pompalarında toprak kaynağının kullanımını ile ilgili çalışmalara başlanılmıştır. Baker, 1950-51 kış ayları boyunca ortalama ısıtma etki katsayı 3'ün üzerine çıkan, çift

tesirli, toprak kaynaklı bir ısı pompası geliştirmiştir. 1950'den 1960'a kadar düşük üretim güvenirliği ve yüksek servis masrafları gelişmeyi engellemiştir. 1960'da Amerika'da elektrik fiyatlarının düşmesi ve daha düşük üretim güvenirlilikleri nedeniyle ilgiyi gene ısı pompaları üzerine toplamıştır.

## **2.2 Konuya İlgili Yapılmış Araştırmalar**

Alabama'daki dikey-toprak kaynaklı ısı pompası çalışmaları, güney iklimli bölgelerdeki dikey toprak-kaynaklı ısı pompalarının kabul edilir çalışma karakteristiklerini belirlemeye bir örnektir. Bu çalışmada, Alabama'daki  $150\text{m}^2$  kurulu bir alandaki ısıtma ve soğutma performansı verilmiştir. Sistem, Mayıs 1988'de kurulmuştur. 30 yıllık eski yapının ısıtma ve soğutma yükleri, 13kW ve 10 kW'tır. Su-hava ısı pompası, soğutmada %10'un altında bir verimle ve ısıtmada %15'in altında bir verimle çalışmıştır. Bununla birlikte enerji kullanımı ve talep önemli bir şekilde azaltılmıştır. Yapının 1989'da yerel ikamet vergisine bağlı olarak, en yüksek 98.15\$ (Şubat ..... ) ve en düşük 66.65\$ ile ortalama aylık faturası 83\$'dır (Kavanaugh, 1992).

10-40 m. derinlikte dikey borular kullanılarak topraktaki mevsimlik depolama ile güneş kaynaklı ısı pompaları hakkında geniş bir araştırma programı, İsveç'te birkaç yıldır devam etmektedir. Bu çalışmada, iki deneysel çalışmanın bazı başlıca sonuçları sunulmaktadır (Franck and Berntson, 1985).

Claesson and Eskilson (1986), ısı kaynağı olarak toprağın kullanıldığı ısı pompalarında, ısının çekilmesi esnasında, toprak içeresine yerleştirilmiş ısı değiştiricilerinin ısı analiz ve boyutlandırma kuralları

hakkında bilgiler vermişlerdir. Kuyulu sistem olarak adlandırılan sistemlerin, özellikle ABD ve Kanada'da mevcut olduğu ve İsviçre'de ise 5000'e yakın uygulaması bulunduğu açıklanmıştır. Bu çalışmada ısı depolama sistemi olarak kuyu içeresine yerleştirilmiş U şeklinde borular kullanılmıştır. Kuyuların derinliği 40-150 m, çapları 0.075 m ile 0.11 m arasında değişmektedir. Çalışmada, kuyudan ısı çekilmesi veya kuyuya ısı ilavesinin analizi yapılmıştır. Toprağın fiziksel özellikleri, iklim değişimleri, jeotermal eğim ve yer altı sularının sistem üzerindeki etkileri araştırılmıştır. Kuyuda meydana gelen ısıl işlemler, kuyu ısıl direnci ile ifade edilmiştir. Çekilen ısı miktarının, gerekli ısı çekme sıcaklığı ile ilişkisi formüllerle verilmiştir. Toprağın ortalama ısıl iletkenliği, kuyunun ısıl direnci ve ortalama kararlı toprak sıcaklığı gibi üç önemli parametrenin esas olduğu bir metot sunulmuştur (Claesson and Eskilson, 1988).

Eskilson and Hellström (1987), 25 kuyulu bir ısı deposu için bir analiz geliştirmiştir. Depoya birkaç gün boyunca yaklaşık olarak sabit 100 kW'lık bir ısı enerjisi ilave edilerek birbirine paralel 25 kuyuda ısı taşıyan suyun giriş ve çıkış sıcaklıklarını ölçmüştür. Bu çalışmada sıcaklık ölçümülerinden faydalananlarak kuyu cidarı ve akışkan arasındaki ısıl direnç ve ortalama efektif ısı iletim katsayısı bulunmuştur. Geliştirilmiş olan analizin matematiksel ifadesi gerçekleştirilmiştir. Efektif ısıl iletkenlik üç farklı zaman aralığı için 4.5, 3.8 ve 3.2 W/mK olarak, ısıl direnç ise 0.1K/W olarak ölçülmüştür (Eskilson and Hellström, 1987).

Giovani (1977), güneş enerjisinin yeraltında mevsimlik depolanmasının önemini ortaya koyarak, 150x150 m<sup>2</sup>'lik bir yalıtm

tabakası ile kaplanan 100x200 m<sup>2</sup> alan ve 20 m kalınlıktaki toprağı yer altı deposu olarak incelemiştir. Toprağın ıslı iletkenliği 2 W/mK, depo ile etrafındaki ortam arasındaki sıcaklık farkı 50 °C olarak tahmin edildiğinde, aşağıya doğru ve yanal yüzlerden kaybolan yıllık ısı miktarının 5.000.000 MJ olduğu hesaplanmıştır. Toplam güneş enerjisi, 22 500 m<sup>2</sup>lik ve % 30 verimli toplayıcı için, 56.000.000 MJ/yıl olarak tahmin edilmiştir. Bu çalışmaya göre toplam yıllık ısı kaybı, toplanan enerjinin yaklaşık olarak % 10'nu kadardır. Bu sistemlerde, asıl zorluğun toprak altındaki depoya enerji ilavesinden çok kışın geri çekilmesi olduğunu belirtilen çalışmada, mevsimlik depolamada alternatif depolama ortamları teklif edilmiş ve bu ortamların yarar ve sakıncaları ortaya konmuştur. Önemli bir depolama ortamı, kuru toprak içerisinde suni olarak ıslatılmış topraktır. Islak toprağın yüksek ıslı iletkenliğini kullanarak ısı geçişini artırmak, deponun etrafındaki kuru toprağın düşük ıslı iletkenliği nedeniyle de çevreye olan ısı kaybını azaltmak amaçlanmıştır (Giovani, 1977).

Goswami and Dhaliwal (1985), 1.83 m veya daha fazla derinlikteki yer altı toprak sıcaklığını kullanan tekniklerin ısı aktarım analizini sunmuşlardır. Bu çalışmada geliştirilen bir bilgisayar simülasyonu yardımıyla, yeraltındaki borudan geçen havanın sıcaklığı hesaplanmıştır. Hava sıcaklığı, nem, toprak sıcaklığı, toprağın fiziksel özellikleri, borunun geometrik özellikleri ve hava akış hızına bağlı olarak belirlenmiştir. Yapılan deneylerde 0.3 m çapında, 25 m uzunluğunda ve 2.1 – 2.4 m derinlikte toprak içeresine gömülü plastik borular kullanılmıştır. Deney sonuçları ile teorik sonuçların uyumu grafiklerle gösterilmiştir (Goswami and Dhaliwal, 1985).

Kenisarin et al. (1988), Taşkent'in iklim şartları için, mevsimlik ısı depolu, merkezi güneş ısıtma sisteminin modellemesini yapmışlardır. Toplam ısı yükü 1000 MWh/yıl olan 50 konutlu bir sitenin incelendiği çalışmada, mevsimlik depo olarak toprağa gömülü silindirik bir depo kullanılmıştır. Düz güneş toplayıcılarının kullanıldığı modellemede, toplayıcı eğimi  $27^\circ$  alınarak,  $5000\text{ m}^3$  depo hacmi ve  $1150\text{ m}^2$  toplayıcı yüzey alanı için, güneş katkısı  $F=0.50$  olarak tespit edilmiştir (Kenisarin et al., 1988).

Wijsman and Havinga (1985,1988), Hollanda'nın güney kesiminde bulunan Groningen kasabasındaki mevsimlik ısı depolamalı ısıtma sistemi hakkındaki bilgileri sunmuştur. Groningen ısıtma sistemi, 1984 Sonbaharı'ndan itibaren çalışmaktadır. Duct National Solar Energy Research Programı tarafından finanse edilen proje, 9 blokluk toplam 96 güneş evinden oluşmuştur. Konutlar mükemmel şekilde yalıtılmıştır ve tasarım şartlarında ısı yükü 6.3 kW, toplam ısı yükü ise 1200 MWh/yıl'dır. Her bir ev için  $25\text{ m}^2$ 'lik Philips VTR-261 toplayıcısı kullanılmıştır ve toplam toplayıcı yüzey alanı  $2400\text{ m}^2$ 'dir. Depolama sistemi günlük ve mevsimlik depolamadan ibarettir. Günlük ısı deposu, mevsimlik ısı deposunun merkezine yerleştirilmiş  $100\text{ m}^3$ 'luk su tankı, mevsimlik ısı deposu ise  $23\ 000\text{ m}^3$ 'luk topraktır. Toprak, ince kil tabakalı ve kömür ile kaplanmış suya doymuş kumdur. Mevsimlik deponun yalnızca üst yüzeyi yalıtılmıştır. Toprak içerisinde düşey yerleştirilmiş ısı değiştiricisi, U şeklinde ve esnek poliüretan malzemeden imal edilmiştir. Güneş evleri ve mevsimlik ısı deposu arasındaki dağıtım şebekesi 1900 m uzunluktadır. Mevsimlik ısı depolamalı ısıtma sisteminde, tasarım için geliştirilmiş bir bilgisayar

simülasyon programı kullanılmıştır. Bu programda güneş enerjisi katkısının  $310 \text{ kWh/m}^2$  olduğu ve toplayıcı yıllık veriminin % 48 olduğu belirlenmiştir. Ayrıca, simülasyon değerlerinde mevsimlik ısı deposunun  $30 - 60^\circ\text{C}$  arasında çalışacağı ve sistemin toplam elektrik tüketiminin 77 MWh ( 800 MWh/konut ) olduğu belirlenmiştir. Proje tamamlandıktan sonra sistem performansı için detaylı ölçümler yapılmıştır. Yapılan ölçümelerde bu CSHPSS tesisinin ilk yılında güneş katkısının 439 MWh, ikinci yılında 584 MWh, üçüncü yılında ise 628 MWh olduğu belirlenmiştir. Tasarım değeri ile karşılaştırıldığında bu değerin %14 daha küçük olduğu saptanmıştır. Düşük güneş katkısının, güneş toplayıcılarından beklenenden daha düşük verim ve ısı deposundaki ısı kayıplarının beklenenden daha yüksek olmasından kaynaklandığı belirlenmiştir ( Wijsman and Havinga, 1985 ).

Hughes ve diğ.(1985) tarafından yapılan bir çalışmada, New York'da binalara ait toprak kaynaklı ısı pompası sistemleri için teknik ve ekonomik potansiyelini oluşturmak için çok evreli gösterimin kaydedilmiş raporlarını sunulmuştur. Isıtma ve soğutma yeterliliği ve evsel sıcak su, 1982-84 periodları esnasında yedi ila dokuz yerlerinde kaydedilmiştir. Bu gösterim, ticari bir şekilde mevcut binaya ait toprak kaynaklı ısı pompası sistemlerinin, New York'un kuzey iklim ve toprak karakteristiklerindeki ( ortalama olarak 2.5-3 olan mevsimlik ısıtma yeterliliğinde ) oluşumu göstermektedir. Toprak kaynaklı bu sistem bu bölgeye uygun görülmektedir. Teknolojinin elektriksel talep karakteristikleri de, çekicidir. Kısaca, kuzey iklimde, bu gösterim, binalara ait toprak kaynaklı ısı pompası sistemleri hakkında bir hayli teknik yetersizliği kaldırılmıştır. Bununla birlikte, yerel koşullar ve

müteahhitlerin deneyimlerinin farklı olması, toprak kaynaklı sistemlerdeki yerleştirme maliyetlerindeki belirsizliğine sebep olmaktadır. Yeterliliği artırmak, daha düşük maliyet ve Amerika'nın kuzey iklimlerinde elektrik talebini azaltmak için her iki teknoloji ve uygulamalar için yenilik mevcuttur ( Hughes et al. ).

Bu çalışmada, kuzey iklimlerde, bu gibi sistemlerin çalışması için tasarlanmış su kaynaklı ısı pompası ile toprak kaynaklı ısı pompası sistemlerinin yeterlilikleri incelenmiştir. Bu projenin amacı, hem ısı pompası paketini hem de toprak serpantinin tasarımını iyileştirek toprak kaynaklı sistemlerinin maliyet dönüşüm süresini minimize etmektir. Bu amacı başarmak için, örnekleme aletlerinin sayısı, ısı pompasının yeterliliği ve maliyeti ve toprak serpantinin yeterliliği analiz edilmelidir.

Catan and Baxter (1985)'ın çalışmasına göre, Pittsburgh, 'da  $167 \text{ m}^2$  bir ev için TKIP ( yatay toprak serpantinleriyle su-kaynaklı ısı pompası ) sistemlerinin maliyet dönüşüm süresi, 7 yıl ekonomik süre için azaltılmıştır. Göreneksel hava-kaynaklı ısı pompası ile ilişkili, iyileştirilmiş TKIP sistemi için basit geri ödeme süresi 3 yılın altındadır. Bu iyileştirmeden meydana gelen su-kaynaklı ısı pompası paketi ısıtma yeterliliği ( COP ), yaklaşık %20 den daha yüksek ve soğutma yeterliliği yaklaşık %23'den daha fazla ise onun göreneksel karşı parçasından %21 daha çok maliyet için hesaplanmaktadır. Modellenen TKIP sistemlerinde, yıllık enerji tasarrufunun, aynı yerleştirme maliyeti olurken göreneksel ısı pompası çerçevesinde tasarım edilmiş bir sistemle karşılaştırılan yaklaşık %11 olacağı önceden tahmin edilmektedir ( Maliyet farkı, daha küçük toprak serpantine bağlı olan tasarruf içinde yapılmaktadır). Daha küçük

TKIP sistemi yeterlilik iyileştirilmesi, daha uzun toprak serpantini kullanılarak yapılmaktadır. Bu çalışmanın ana sonucu; TKIP sistemi yeterlilik iyileştirmesi.

Bugünkü toprak serpantin tasarım yöntemleri, toprak teorisine bağlıdır. Maalesef, bu yöntemler, toprak serpantin yeterliliği üzerine olan kötü etkilere sahip faktörlerin sayısı-nem hareketi ve kuruluk, yüzey etkileri, vs.- için sayılamaz. Sonuçta, bu faktörleri içeren toprak serpantin bilgisayar modellerinin, geliştirilmesi zorunludur. Küçük ölçekli deneysel yöntemler, toprak serpantininin özel toprak çevresinde nasıl oluşturulacağını hızlı ve ucuz bir şekilde belirlemek için gereklidir. Küçük ölçekli testler, alan verilerinden alınamayan bilgisayar modeli gelişmelerindeki yardımı almak için değerli bilgileri de sağlar.

Couvillion (1985), bu çalışmada, küçük testler için analitik temelleri geliştirmektedir. Birkaç ispatlanmış ve potansiyel uygulamalar da sunulmaktadır. Yeraltı elektrik kablo kapasitesini belirlemek için kullanılan termal problemlerin çalışması tartışılmaktadır. Örneğin; soğutma mevsimi esnasında toprak serpantinlerini simulate etmek için kullanılmakta olan ve bazı değişikliklerle problemlar, ters çevrimli kullanılabilen toprak kaynaklı ısı pompalarının ısı pompalarının yıllık dönüşümünü simulate etmek için kullanılmaktadır. Laboratuar simulatörlerinin çalışması da tarif edilmektedir. Bu simulatörler, listelenmiş faktörlerin çoğundan ve de her bir faktörün etkilerini izole etmeden sorumlu olamaz. Isı pompasının uğramış olduğu yıllık dönüşüm, 2.3 günde simulate edilmektedir. Etkileri izole etme ve kısa bir zaman içinde testleri tamamlama yeteneği, bilgisayar model gelişmesi ve

deneysel iyileştirme çalışmaları için yararlı laboratuar simulatör aletlerini gerekli kılar.

Parker et al. (1985), bu çalışmada, ASHRAE'nin 9.4 ve 6.9 Teknik Komitesinin sponsorluğunda ASHRAE Araştırma Projesi RP-366 esnasında geliştirilen Design/Data Manual for Ground-Coupled Heat Pumps (Yer bağlantılı ısı pompaları için Tasarım/Veri El kitabı) vermişlerdir. El Kitabında, pratik tasarım mühendislerini yönlendirir, özel bir tasarım prosedürünü geliştirmek için teşvik etmez. El kitabı, toprak, malzeme ve ölçümleme ile yerleştirme sistemleri için teknikler hakkında mevcut bilgilerdeki boşlukların doldurulması amaçlanmıştır. (Parker et al., 1985)

Yurt dışında yürütülen bu çalışmalara paralel olarak, ülkemizde aşağıdaki çalışmalar gerçekleştirilmiştir.

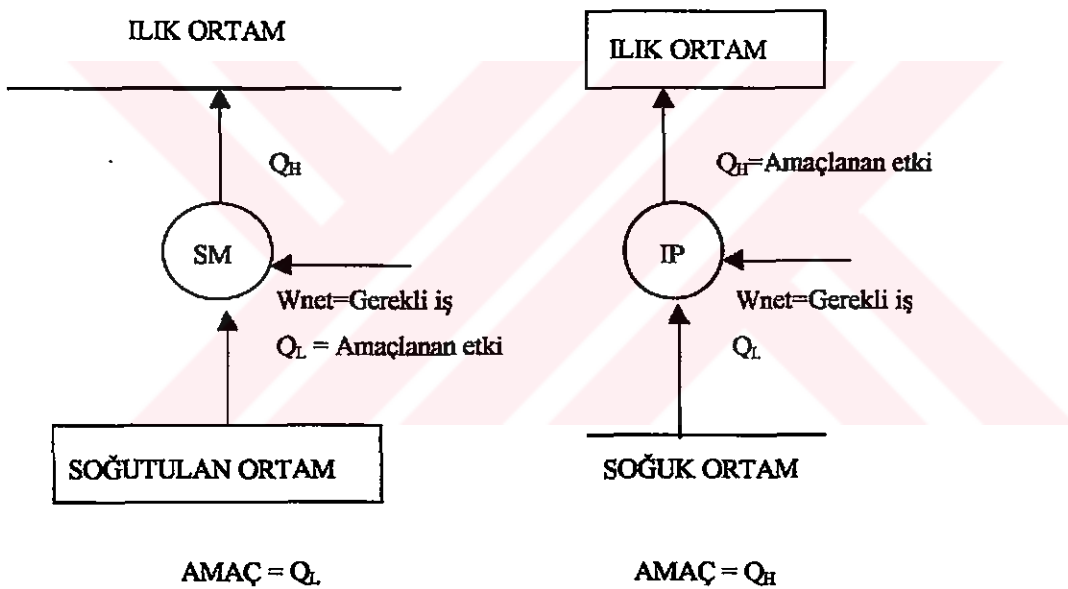
Kaygusuz ve dig. (1992) tarafından Türkiye'nin Karadeniz bölgesinde evsel ısıtma için enerji depolama ile güneş destekli ısı pompasının yeterliliği üzerine bir çalışma yapılmıştır. Bu çerçevede, depolamaya güneş destekli ısı pompası sistemi ve depolamaya paralel ısı pompası sistemi, deneysel bir şekilde araştırılmakta ve karşılaştırılmaktadır. Deneysel ekipmanlar,  $30\text{ m}^2$  güneş kollektörleri, ısıtma amaçları için  $75\text{ m}^2$  alan ile bir laboratuar, iki evaporatör (hava- ve su-kaynaklı) ve bir kondenserli ısı pompası, bir su sirkülasyon pompası ve diğer ölçüm ekipmanlarından oluşmuştur. Deneysel sonuçlar, kullanılan iki ısı pompası sistemi için 1991'in ısıtma mevsiminde Aralık, Ocak, Şubat, Mart, Nisan ve Mayıs'ta alınmaktadır. Deneysel alınmış sonuçlar, ısıtma mevsimi esnasında, kolektör etkisini, ısı pompası etki katsayısı, sistem etki katsayısı, depolama etkisi ve sistemin toplam enerji

tüketimi hesaplamak için kullanılmaktadır. Kolektör etkisini, ısı pompası etki katsayısı, sistem etki katsayısı, depolama etkisi değerlerinin anlamı, % 70, 4.2, 4.0 ve 60 civarında olacaktır.

### 3. TEMEL BİLGİLER

#### 3.1 Isı Pompalarının Temel Prensibi

Isı pompalarının temel prensibi olarak termodinamiğin ikinci kanunu kullanılır. Isı pompası, düşük sıcaklıktaki ısı kaynağından toplanan ısıyı yüksek sıcaklığa transfer edebilmek için yardımcı bir enerji kaynağına ihtiyaç duyar. Bu durumda ısı pompalarının çalışması, zorlanmış bir ısı transferi şeklinde yorumlanabilir.

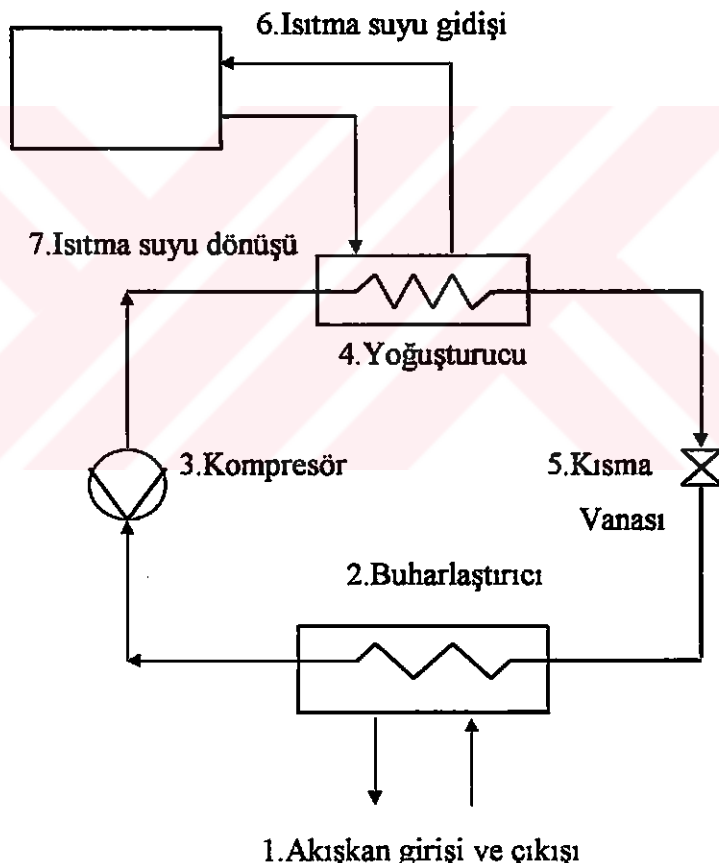


Şekil 3.1 Soğutma Makinası İle Isı Pompası Amaç Karşılaştırılması

Günümüzde soğutma makineleri herkesçe bilinmektedir. Soğutma makineleri ile ısı pompaları arasında temel prensip açısından fark yoktur. Fark amaçtır. Soğutma makinelerinde amaç “soğutmak”, ısı pompalarındaki amaç ise “ısitmaktır”.

### 3.2 Isı Pompasının Çalışma Prensibi

Isı pompasının elemanları; buharlaştırıcı, kompresör, yoğunşturucu ve kısma vanasıdır. Burada soğutucu akışkan olarak adlandırılan çevrim akışkanı buharlaştırılır, sıkıştırılır, yoğunşturulur ve genleştirilir. Buharlaştırılan akışkan kompresöre gider ve burada sıkıştırılır yani buharın basıncı ve sıcaklığı yükselir. Yoğunşturucuda çevrim akışkanı ısıtma suyuna ısı vererek soğur ve aynı basınçta sıvı hale geçer.



Şekil 3.2 Isı Pompası Çalışma şeması

### 3.3 Isı Pompası Çevrimleri

#### 3.3.1 Carnot Çevrimi

Ters Carnot çevirimini ile ideal ısı pompası çevrimi gerçekleştirmek ve iki sıcaklık arasında yüksek verim almak mümkündür. Düşük sıcaklıktaki kaynaktan  $Q_o$  miktarında ısı alınır ve çevrim akışkanı aracılığı ile yüksek sıcaklıktaki ısı enerji deposuna (ısıtlacak ortama)  $Q_c$  ısısı transfer edilir. Şekil 3.3'deki T-S diyagramı iki eş sıcaklık ve iki eş entropi değişiminden oluşan bir çevrimde;

1-2 arasında tersinir adyabatik (izentropik) sıkıştırma

2-3 arasında sabit sıcaklık ve basınç şartlarında çevreye ısı verme ( $T_H, p$ )

3-4 arasında tersinir adyabatik genişleme

4-1 arasında sabit sıcaklık ve basınç değerinde ( $T_L, P_0$ ) çevreden ısı alma yapılmaktadır.

T-S diyagramında soğutulacak ortamdan alınan ısı 3'-4-1-6, sisteme verilen iş ise 1234 alanına eşittir ( Çengel 1996 ).

$$\beta_{soq} = \frac{143'6\text{galanı}}{1.2.3.4} = \frac{T_L(S_i - S_4)}{(T_H - T_L)(S_i - S_4)} \quad (3.1)$$

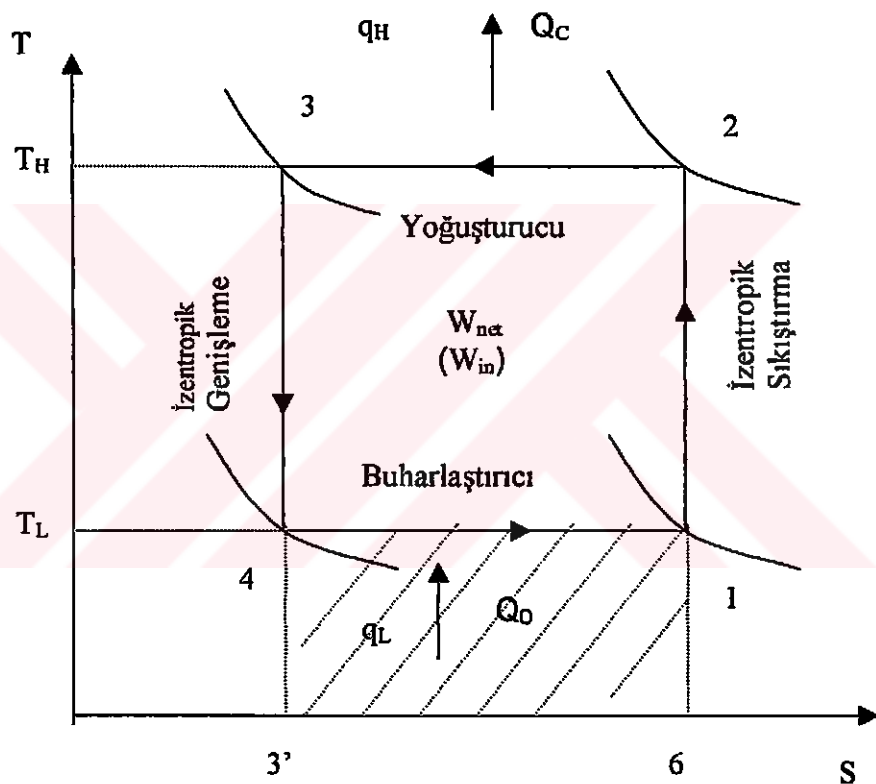
$$\beta_{soq} = \frac{T_L}{T_H - T_L} \quad (3.2)$$

Şekil 3.3'den çevrimin soğutma etki katsayısı

$$\beta_{ec} = \frac{Q_o}{W} = \frac{T_L}{T_H - T_L} = \frac{T_L(S_i - S_{svi})}{(T_H - T_L)(S_i - S_{svi})} \quad (3.3)$$

Ayrıca Carnot makinesi için ısıtma etki katsayısını yazacak olursak;

$$\beta_c = \frac{T_H}{T_H - T_L} \quad \text{elde edilir.} \quad (3.4)$$



Şekil 3.3 Carnot çevrimi

Gerçekte (3.2) bağıntısına çarpan olarak ekzerjiden faydalananma oranı ( $\zeta$ ) gelmektedir. Isı pompası ekzerjistik verimi ( $\zeta$ ) faydalı ısı

akısında alınan ekzergi akısının ısı pompası tahrif gücüne oranıdır. O halde gerçekte ısitma etki katsayısı;

$$\beta_{\text{ist}} = \epsilon = \frac{T_H}{T_H - T_L} \cdot \zeta \quad \text{olmaktadır.} \quad (3.5)$$

$$\beta_{\text{soq}} > \beta_{\text{ist}} \quad \beta_{\text{ist}} = \frac{2.3.3'.6\text{alanı}}{1.2.3.4\text{alanı}}$$

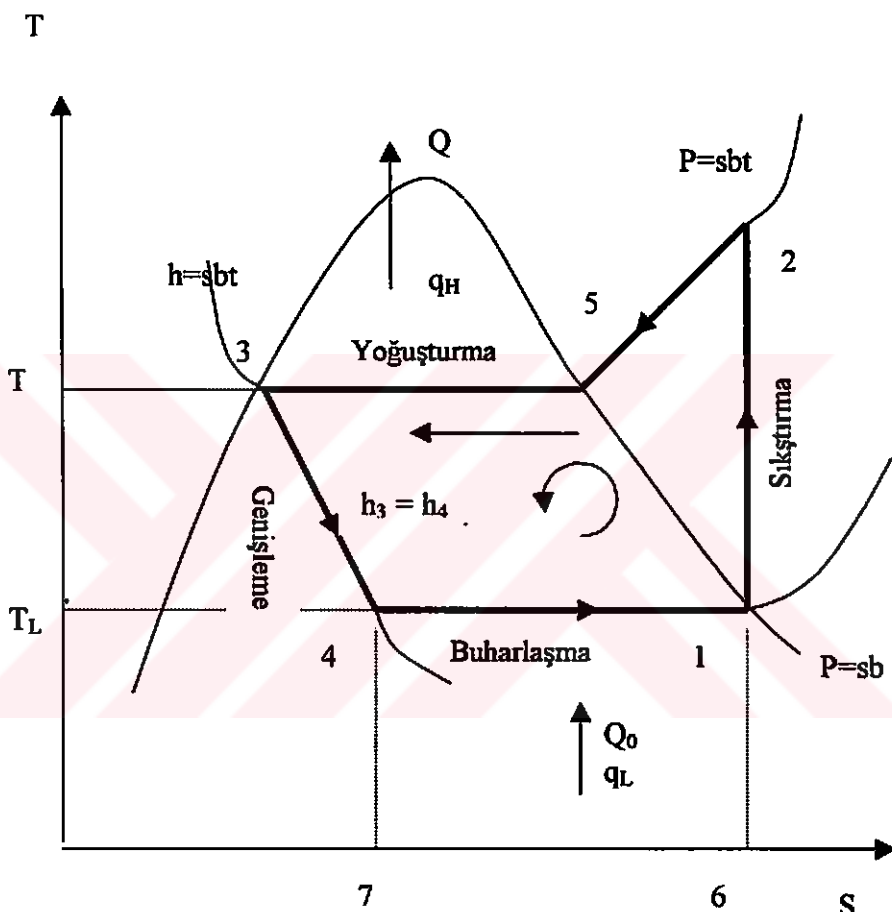
$$\beta_{\text{ist}} = \frac{T_H}{T_H - T_L} \quad (3.6)$$

### 3.3.2 Teorik Çevrim

Tersinir işlemlerden meydana gelen bir önceki şekildeki çevrimde, soğutma etkinliği diğer soğutma çevrimlerine göre en büyuktur. Fakat pratikte bu çevrim gerçekleşmez. Ters Rankine çevrimi soğutma amaçlı kullanılabilir. Bundan dolayı 3-4 arasında gerçekleşen genişleme işi 1-2 sıkıştırma işinin yanında çok küçük kaldırdan sisteme katkısı azdır. Bu nedenle genişleme, bir iş yaparak değil soğutucu akışkanın genişleme vanasından geçirilerek genişletilmesi şeklinde olur.

Pratikte oldukça yaygın olarak kullanılan bu çevrim Şekil 3.4' de görülmektedir. Soğutucu akışkan kompresöre 1 halinde doymuş buhar olarak girer ve izentropik olarak yoğunşturucu basıncına sıkıştırılır. Sıkıştırma işlemi sırasında, soğutucu akışkanın sıcaklığı çevre ortam sıcaklığının üzerine çıkar. Soğutucu akışkan daha sonra 2 halinde kızgın buhar olarak yoğunşturucuya girer ve 3 halinde doymuş sıvı olarak ayrılır.

Yoğunlaşma sırasında akışkanın çevreye ısı geçışı olur. Soğutucu akışkanının sıcaklığı 3 halinde de çevre sıcaklığının üzerindedir. Doymuş sıvı halindeki akışkan daha sonra bir genişleme vanası veya kılcal



Şekil 3.4 Teorik Çevrim

borulardan geçirilerek buharlaştırıcı basıncına kısılır. Bu hal değişimi sırasında soğutucu akışkanın sıcaklığı, soğutulacak ortamın sıcaklığının altına düşer. Soğutucu akışkan buharlaştırıcıya 4 halinde kuruluk derecesi düşük bir doymuş sıvı buhar karışımı olarak girer ve soğutulan ortamdan ısı alarak tümyle buharlaşır. Soğutucu akışkan buharlaştırıcıdan doymuş

buhar halinde çıkar ve kompresöre girerek çevrimini tamamlar (Çengel 1996).

Bu çevrimin hal değişimi şöyledir;

- 1-2 Kompresörde izantropik sıkıştırma (S-sabit, tersinir adyabatik)
- 2-5 Sabit basınçta yoğunşarak doymuş buhar haline geçme
- 5-3 Sabit basınçta ve sabit sıcaklıkta yoğunşurma
- 3-4 Izantropik genişleme ( h sabit)
- 4-1 Sabit basınç ve sıcaklıkta buharlaşma

Bu işlem boyunca buharlaştırıcı ortamdan alınan ısı miktarı,

$$q_L = Q_0 = h_1 - h_4 \quad (\text{kJ/kg}) \quad (3.7)$$

Yoğunşturucudan ortama verilen ısı miktarı,

$$q_H = q = h_2 - h_3 \quad (\text{kJ/kg}) \quad (3.8)$$

Gerekli iş ise ;

$$W_{in} = W = h_2 - h_1 \quad (\text{kJ/kg}) \quad (3.9)$$

Bu değerler hem ısıtma, hem de soğutma da çevrimin etki katsayılarının hesaplanmasıında yararlanılır. Isıtma etki katsayısı;

$$\beta_{isit} = \varepsilon = \frac{Q}{W} = \frac{h_2 - h_3}{h_2 - h_1} = \frac{q_H}{W_{in}} \quad (3.10)$$

Benzer olarak ısıtma etki katsayısını Carnot çevrimine göre yazacak olursak,

$$\beta_{\text{istC}} = \varepsilon_c = \frac{T_H}{T_H - T_L} \quad (3.11)$$

daha önce bulduğumuz denklemi elde ederiz. Ancak burada;

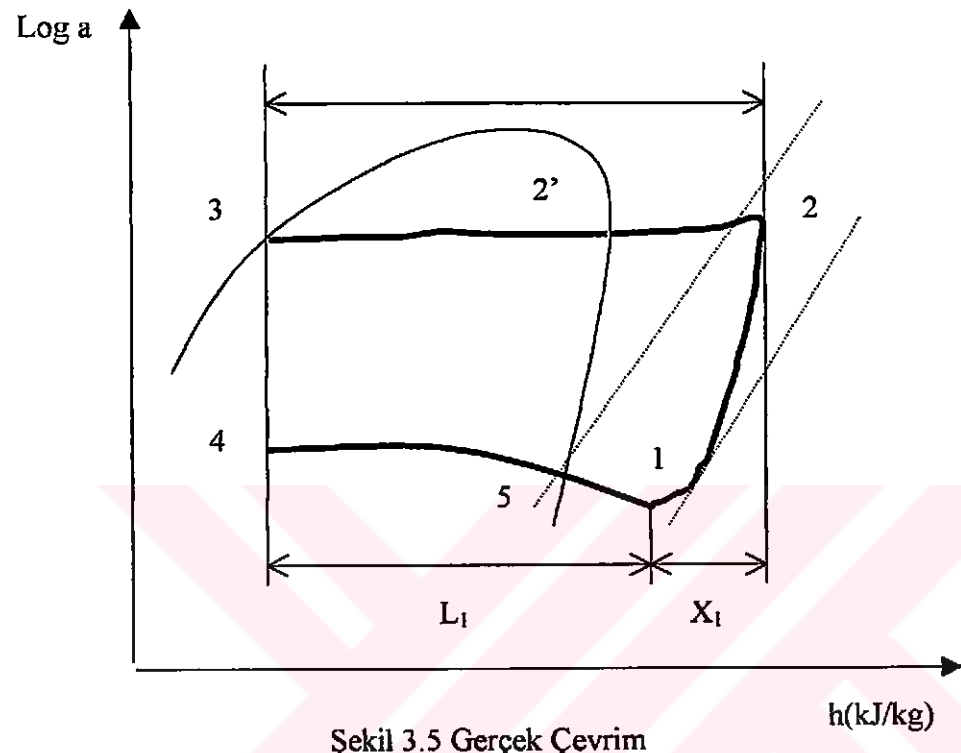
$T_H$ = Yoğunlaşma sıcaklığı (Yüksek sıcaklıktaki ıslı enerji deposu sıcaklığı)

$T_L$ = Buharlaşma sıcaklığını (Alçak sıcaklıklardaki ıslı enerji depo sıcaklığı) ifade eder.

### 3.3.3 Gerçek Çevrim

Sistemdeki kayıplar (ventillerde, kompresörün emme basma borularındaki basınç kayıpları, akışkan sürütünmesi, mekanik sürütünme, sıkıştırmadaki kayıplar vb.) çevrimin ideal akışını değiştirmekte ve böylece prosesin etkinliği azalmaktadır.

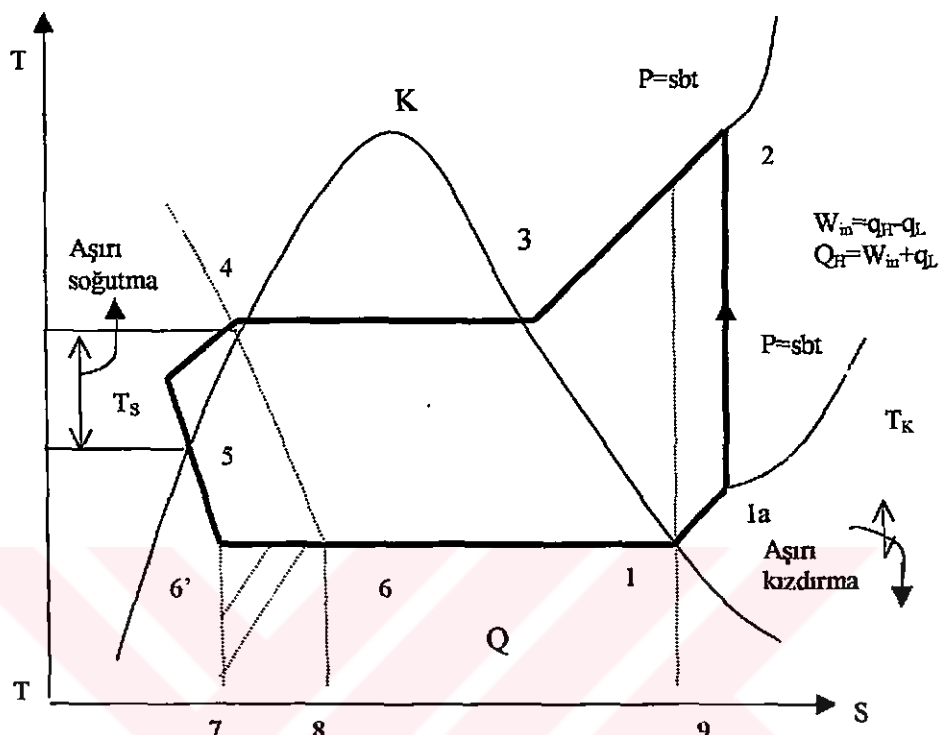
Adyabatik noktasında gözlenebilen hiçbir ısı değişimi meydana gelmez. Bu durum, yoğunlaşma sıcaklığı kompresörün çevre sıcaklığının üstünde ve buharlaştırıcı sıcaklığı bu sıcaklığın altında olduğu zaman geçerlidir. Emilen çevrim akışkanı buharın 5 noktasından 1 noktasına (Şekil 3.5)'de kızdırılması buharlaştırıcıda yapılır. Kompresörün hiçbir sıvı çevrim akışkanını emmemesi için bu işlem gereklidir.



### 3.3.4 Teorik Çevrimden Sapmalar

#### 3.3.4.1 Aşırı Kızdırma

Tüm işletme durumlarında kompresörün çalışmasını ıslak buhar bölgesinde yapmaktan kaçınmak için aşırı kızdırma yapılır. Şekil (3.6)' da aşırı kızdırma ve soğutmalı ısı pompasının T-S diyagramı görülmektedir.



Şekil 3.6 Aşırı Kızdırma

İdeal çevrimin aksine soğutucu akışkanın sıcaklığı 1 noktasından 2 noktasına, yani sıkıştırma süresince yoğunlaşma sıcaklığının oldukça üzerine çıkmaktadır. Çünkü sıkıştırma basıncında soğutucu akışkan doymuş buhar halinde bulunmalıdır. Zira kompresör silindirine sıvı soğutucu akışkanın girmesi, kompresöre zarar veren sıvı darbelerin doğmasına neden olur. Her aşırı kızdırma etki katsayısını düşürür, bu yüzden mümkün olduğunca düşük tutulmalıdır (Çengel 1996).

Kızdırma ısısı;

$$h_k = h_{1a} - h_1 \text{ olarak belirlenir.} \quad (3.12)$$

### 3.3.4.2 Aşırı Soğutma

Akışkanın genişleme vanasında kısılmalarının neden olduğu kaybın tümü genişleme kaybı olarak adlandırılır. Bu kayıp, sıvı soğutucu akışkan ısıticisi  $T_s$  sıcaklığında bir aracı akışkana verilebilirse ki  $T_s < T$  olmak zorundadır. Bu durumda sıvı soğutucu akışkan 4 noktasındaki  $T$  sıcaklığından 5 noktasındaki sıcaklığa kadar soğutulabilir. Şimdi sabit antalpide ki değişim 5 noktası ile 7 noktası arasındadır. Fazladan tahrik işi sarf etmeksizin çekilen  $Q_0$  ısısı artar. Kazanılan bu yeni ısuya yani;

$$h_s = h_4 - h_5 \quad (3.13)$$

değerine “aşırı soğutma ısısı” denir. Her aşırı soğutma kompresör tahrik değerini değiştirmeden, faydalı ısıtma gücünü arttırır. Etki katsayısı daha iyi olur.

### 3.3.5 Kompresörlü Isı Pompasının Termodinamik Analizi

#### 3.3.5.1 Basınç oranı

Basınç oranı, yoğunlaşma basıncının buharlaşma basıncına oranıdır.

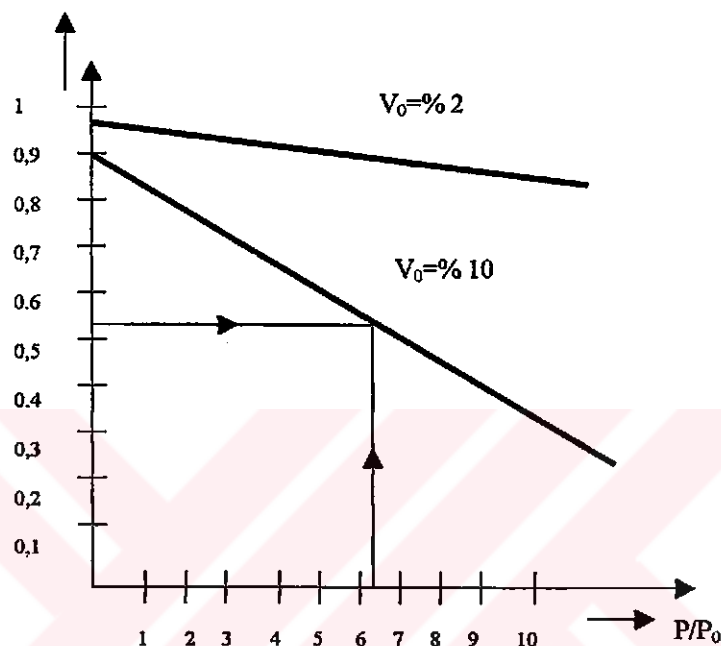
$$\pi = \frac{P}{P_0} \quad (3.14)$$

Basınç oranı ısı pompasının buharlaşma ile yoğunlaşma sıcaklıklarına ve kullanılan çevrim akışkanına bağlıdır.

#### 3.3.5.2 Doldurma Derecesi

Doldurma derecesi kompresörün verdiği gerçek buhar debisinin  $V_g$  ( $m^3/s$ ), geometrik strok hacmi debisine  $V_H$  ( $m^3/s$ ) oranıdır.

$$\lambda = \frac{V_b}{V_H} V_H \quad \text{m}^3/\text{s} \quad (3.15)$$



Şekil 3.7 Basınç ve Doldurma oranları

Kompresörün  $p$  basma basıncının,  $p_0$  emme basıncına oranı ne kadar büyükse, bu doldurma derecesi o kadar küçük, yani kötü olmaktadır. Şekil (3.8) de doldurma derecesinin basınç orANI ( $\pi$ ) ve  $V_0$  ölü hacmine olan bağılılığı görülmektedir. Buradan artan  $V_0$  zararlı hacminin, doldurma derecesini önemli ölçüde azalttığı ortaya çıkmaktadır.

### 3.3.5.3 Volumetrik Verim

Doldurma derecesinin yanında çoğu zaman kompresörün indikatör diyagramında bulunan ve sadece subap kayiplarını ve ölü hacmin içerisinde kalan soğutucu akışkan buharının genişleme kaybını içeren volumetrik (hacimsel) verim de kullanılır. Kompresör küçüldükçe, ölü hacmin strok hacmine oranı büyür ve volümetrik verim kötüleşir.

### 3.3.5.4 Buharlaşma Isı Akışı ( $Q_0$ )

$Q_0$  buharlaşma ısı akısı ısı pompasının buharlaştırıcı aracılığı veya ısı kaynağından çekilen ısı akısıdır. Buna soğutma gücü denir.  $Q_0$  ile gösterilir.

$$Q_0 = m_K ( h_1 - h_4 ) \quad \text{kW} \quad (3.16)$$

olarak belirlenir.

### 3.3.5.5 Soğutucu Akışkanın Kütlesel Debisi

Soğutucu Akışkanın  $m_K$  kütle debisi,  $V_H$  geometrik strok hacmi debisi,  $\lambda$  doldurma derecesi ve kompresör tarafından emilen soğutucu buharın  $V_1$  özgül hacmi ile elde edilir.

$$m_K = V_H \cdot \lambda \cdot \frac{1}{V_1} \quad (\text{kg/s}) \quad (3.17)$$

$$\lambda = \frac{V_g}{V_H} \quad (3.18)$$

$$\lambda m_K = V_g \cdot \lambda_1 \quad V_g = \lambda \cdot V_H \quad (3.19)$$

$$Q_0 = V_H \cdot \lambda \cdot \frac{h_1 - h_3}{V_1} \quad (\text{kW}) \quad (3.20)$$

$$q_{ov} = \frac{h_1 - h_3}{V_1} = \text{hacimsel soğutma gücü} \quad (3.21)$$

$V_H$  = Geometrik strok hacmi ( $m^3/s$ )

$V_1$  = Emilen soğutucu akışkanın buharlaşma sıcaklığındaki özgül hacmi ( $m^3/s$ )

$h_3$  = genişleme vanasından önceki sıvı akışkanın entalpisi (kJ/kg)

$h_1$  = buharlaştırıcıdan sonraki soğutucu akışkan buharının entalpisi (kJ/kg)

### 3.3.5.6 Hacimsel Soğutma Gücü ( $q_{ov}$ )

$q_{ov}$  hacimsel soğutma gücü kW olarak buharlaştırıcı ısı akısının (soğutma gücünün)  $m^3/s$  olarak emilen soğutucu akışkan buharının debisine oranıdır.

$$q_{ov} = \left( \frac{kW}{m^3/s} = \frac{kJ}{m^3} \right) \quad \frac{kJ}{s} / \frac{s}{m^3}$$

bu durumda

$$q_{ov} = \frac{h_1 - h_3}{V_1} \quad \frac{\frac{kJ}{kg}}{\frac{m^3}{kg}} \quad (kJ/m^3)$$

bir önceki eşitlik aşağıdaki şekilde de yazılabilir:

$$Q_0 = V \cdot \lambda \cdot q_{ov}$$

Buradan volumetrik (hacimsel) soğutma gücü aşağıdaki şekilde elde edilir.

$$q_{ov} = \frac{Q_0}{V \cdot \lambda} \quad (\text{kW/m}^3/\text{s} \cdot \text{kJ/m}^3) \quad (3.22)$$

### 3.3.5.7 Yoğunluk - Isı Akısı ( $Q$ )

Isı pompalarında  $Q$  yoğunluk - ısı akısı (ısıtma gücü),  $Q_0$  buharlaştırıcı ısı akısından (soğutma gücü) çok daha önemlidir.  $Q_0$  yoğunluk - ısı akısı pompası tarafından verilen ısı akısıdır. Teorik olarak çevreden çekilen  $Q_0$  ısı akısı ile  $P$  təhrik gücünün toplamıdır.

$$Q = Q_0 + P \quad (\text{kW}) \quad (3.23)$$

$$Q = m_K \cdot (h_2 - h_3) \quad (\text{kW}) \quad (3.24)$$

ve soğutucu akışkanın kütlesel debisi

$$m_K = V \cdot \lambda \cdot \frac{1}{V_1} \quad (\text{kg/s}) \quad (3.25)$$

böylece

$$Q = V \cdot \lambda \cdot \frac{h_2 - h_3}{V_1} \quad (\text{kW}) \text{ elde edilir.} \quad (3.26)$$

$\frac{h_2 - h_3}{V_1}$  ifadesi hacimsel soğutma gücü ( $q_v$ ) olarak adlandırılır.

$$q_v = \frac{h_2 - h_3}{V_1} \quad (\text{kJ/m}^3, \text{kW/m}^3 \cdot \text{s}) \quad (3.27)$$

buna göre yoğunluk - ısı akısı şöyle yazılabilir.

$$Q = V \cdot \lambda \cdot q_v \quad (3.28)$$

### 3.3.5.8 Kompresör Kayıpları

Ekserji harcamasıyla yoğunluk - ısı akısına akan çevrim akışkan buharlarının içerilmediği bir kompresörün faydalı ısı akısı değişir. Ayrıca

kompresör ile yoğunsturucu arasındaki basınç borusu yolu ile ve yoğunsturucunun üst yüzeyi yolu ile ısı kaybı olur.

Bunu  $Q_K$  ile gösterirsek

Böylece  $Q_F$  faydalı ısı akısı ;

$$Q_F = Q - Q_K \quad (3.29)$$

$$Q_F = Q_0 + P - Q_K \quad (\text{kW}) \quad (3.30)$$

Buradan kompresörün termik verimi  $\eta_t$  aşağıdaki gibi elde edilir.

$$\eta_t = \frac{Q_F}{Q} \quad \text{veya} \quad Q_F = Q \cdot \eta_t \quad (3.31)$$

$$Q_F = (Q_0 + P) \cdot \eta_t \quad (\text{W}) \quad (3.32)$$

Kompresörün “P” Elektrik Tahrik Akısı

$Q_0$  buharlaştırıcı akısı bilinirse buradan P tahrik gücü bulunabilir.

Bu durumda

$$P = \frac{Q_0}{q_b \cdot \eta_{KT}} \quad (\text{W}) \quad \text{veya} \quad P = \frac{Q_0}{\frac{h_1 - h_3}{h_2 - h_1} \cdot \eta_{KT}} \quad (3.33)$$

$q_b$  bağıl özgül buharlaştırıcı ısı akısıdır.

Değeri;

$$q_b = \frac{h_1 - h_3}{h_2 - h_1} \quad \text{dir.}$$

$$P(h_1 - h_3) = Q_0(h_2 - h_1) \quad \frac{P}{Q_0} = \frac{h_2 - h_1}{h_1 - h_3} \quad (3.34)$$

ısı pompalarında  $qI_p$  bağıl özgül yoğunsturucu ısı akısı kullanılabilir.

$\eta$  almadan,

$$qI_p = \frac{h_2 - h_3}{h_2 - h_1} \quad \frac{P}{Q(q_H)} = \frac{h_2 - h_1}{h_2 - h_3} \quad P = \frac{Q}{qI_p \cdot \eta} \quad (\text{W}) \quad (3.35)$$

### **3.3.5.9 İSİ POMPALARINDA KULLANILAN ETKINLIK VE VERİM TANIMLARI**

Enerjinin ne denli verimli kullanıldığıının belirlenmesinde, verimlilik (veya etkinlik) ile ilgili kavramların ve bunların standart değerlerinin bilinmesi büyük önem taşır. Hepbaşlı (1999) tarafından yapılan bir çalışmada, ısı pompalarında kullanılan etkinlik ve verim tanımları geniş kapsamlı olarak ele alınmıştır.

Bu bağlamda, farklı model ve marka cihazların performansını kıyaslayabilmek için göz önüne alınan temel üç yol vardır (Lund, 1988):

- Evin ısıtılması veya soğutulması için cihazın ne kadar enerji tükettiği; verim
- Cihazın varlığının ne kadar hissedildiği; ses düzeyleri
- Cihazın sağladığı his; konfor

Bu çerçevede, 1992 yılında, Amerika'da tüm ısıtma ve iklimlendirme ekipmanları için minimum verim (veya etkinlik) değerleri belirlenmiştir. Bu tarihten önce satın alınan ve montajı yapılan kazan, ısı pompası veya iklimlendirme sistemi gibi HVAC (Isıtma, Havalandırma ve İklimlendirme) ekipmanı, Amerika'daki bugünkü standartlara kıyasla oldukça verimsiz olabilmektedir.

Genel anlamda verim, aynı periyod veya işletme çevrimi boyunca, dinamik bir sistemden (makine veya motor gibi) elde edilen faydalı enerjinin sisteme verilen enerjiye oranıdır. Bu oran, genellikle belirli test koşullarında belirlenir. Konfor sağlayan ekipmanın verimi (veya etkinliği) arabalarda kullanılan litre başına km yakıt tüketimiyle benzerdir. Oran ne kadar yüksek ise, sistem o kadar fazla verimlidir ve böylece yakıt tüketimi daha az olacaktır.

Etki Katsayısı, soğutucu akışkan kullanılan sistemlerin verimini belirlemek için kullanılan temel bir parametredir. Bu terim, ısı pompası gibi, ısıtma verimi veya soğutma veriminin her ikisini belirtmek için kullanılır. *Soğutma için, soğutma etki katsayısı (SEK) adını alır ve birbirine uygun birimlerde, çekilen ısı miktarının kompresöre verilen enerji miktarına oranı olarak tanımlanır.* Başka bir deyişle, cihazın kW soğutma başına ürettiği enerjinin, toplam çektığı enerjiye (kW) oranıdır. *Isıtma için ise, ısıtma etki katsayısı (IEK) adını alır ve uygun birimlerde, elde edilen ısı miktarının, kompresöre verilen enerji miktarına oran olarak açıklanır.*

EK, aynı zamanda tek (standard veya standard dışı) değerde veya ağırlıklı ortalama (mevsimsel) koşulunda verimi belirlemek için kullanılabilir. Kullanımına bağlı olarak, bu terim; iç ve dış ünite fanları, soğutulmuş su pompaları veya soğutma kuleleri gibi, yardımcı sistemlerin enerji tüketimlerini içerebilir yada içeremez. Kıyaslama amaçları için kullanıldığı zaman, EK ne kadar büyükse, sistem o kadar daha fazla verimlidir. Elektrikli ısıtıcı için  $EK = 1$  olduğundan, 1° den daha yüksek değerler, aynı miktarda elektrik enerjisi verilirken, daha fazla ısının elde edildiğini gösterir.

EK, dış hava sıcaklığıyla değişir; sıcaklık düştükçe, EK da düşer. Çünkü ısı pompası daha düşük sıcaklıklarda daha az verimlidir. EK, kompakt ısı pompalarında; ARI (Air-Conditioning and Refrigeration Institute, İklimlendirme ve Soğutma Enstitüsü ) standartlarına göre; - 8.3 °C ve 8.3°C'lik iki standart dış hava sıcaklıkları için tipik olarak belirtilir. ARI, Amerika' da, ısıtma, iklimlendirme ve soğutma imalatçılarını içine alan, kar amacı gütmeyen, gönüllülerden oluşan bir organizasyondur. Bu

kuruluş, kullanıcılar standart kıyaslama değerini sunmak amacıyla, ısı pompaları ve iklimlendirme cihazlarının testi ve kapasitelerinin belirlenmesi için standartlar yayırlar.

İş pompa etki katsayısı ısı pompasının en önemli karakteristik büyüklüğidir.  $\beta$  ile gösterilir. Yoğunluk - ısı akısının tahrik gücüne oranıdır. Yararlanılan ısı akısının tahrik gücünden ne kadar büyük olduğunu gösterir.

$$\beta(COP) = \frac{Q_o}{P} \quad Q_o = \text{Yoğunluk - ısı akısı} \quad (3.36)$$

$P$  = Tahrik Gücü

veya;

$$\beta = \frac{h_2 - h_3}{h_2 - h_1} \cdot \eta_{KT} \quad (3.37)$$

(  $Q_o$  ve  $P$  büyüklükleri log P-h diyagramı ile bulunursa tahrik motoru toplam verimi ile ilgili  $\eta_{KT}$  verimi göz önüne alınmalıdır. Bu verim C.O.P.'yi düşürmektedir.)

$$\beta = \frac{T_h}{T_h - T_L} \cdot \zeta \quad \text{elde edilir.} \quad (3.38)$$

Bu eşitlik T-S diyagramından elde edilmiştir. Log p-h diyagramının kullanılması ile elde edilen verimin  $\zeta$  ekzerjetik faydalananma oranı ile aynı ile aynı olmadığına dikkat edilmelidir.

### Kompresörün Toplam Verimi;

Toplam verim ( $\eta_{KT}$ ); formülde sıralanan verimlerin çarpımından oluşmaktadır.

$$\eta_{KT} = \eta_m \cdot \eta_{el} \cdot \eta_t \cdot \eta_i \quad (3.39)$$

$\eta_m$  = Mekanik verim

$\eta_{el}$  = Motor verimi

$\eta_t$  = Termik verim

$\eta_i$  = İndike verim

### Enerji Verimlilik Oranı (EVO veya EER)

EVO'nun hesaplanması sırasında kullanılan terimlerin ikisi, EK'da kullanılan iki verimle aynı olup, sadece farklı birimlerde belirtilir. EVO, tüketiciler tarafından daha kolay kullanılması ve anlaşılması amacıyla geliştirilmiştir. Cihazın belirli değerleri için EVO'yu etikete yazmak imalatçılar tarafından yasal bir gereklilik olmuştur. Bu EVO'lar, belirli bir dizi standart sıcaklıklarda, ARI tarafından belirlenen test koşullarında ölçülür (Hepbaşlı ve Ertöz, 1999).

EVO, ünite şeklinde klima cihazlarının ve ısı pompası sistemlerinin soğutma verimini belirlemek için genellikle kullanılan bir terimdir. *Bu terim;* verimin, uygun ekipman standardıyla, belirli tek kapasite koşulunda belirlendiğini açıklar ve *net soğutma kapasitesinin,  $Q_{ns}$  (Btu/h olarak çekilen ısı) verilen toplam elektrik enerjisine,  $W_{te}$  (W) oranı olarak tanımlanır.*

$$\text{EVO} = Q_{ns}(\text{Btu}/\text{h}) / W_{te}(\text{W}) \quad \text{Btu}/\text{h-W}$$

EVO'ın birimleri, Btu/W-h'dır. Bu terimin, iç ve dış ünite fanları gibi yardımcı sistemlerin enerjilerini de içerdiği göz ardı edilmemelidir. Kiyaslama amaçları için, EVO ne kadar yüksekse, sistem o kadar verimlidir. EVO ile EK arasındaki ilişki aşağıda verilmiştir:

$$\text{EK} = \text{EVO} / 3.412$$

EVO, Amerika'da, federal standartlara göre minimum 9 olarak belirlenmiştir. Bununla beraber, EVO değeri en azından 10.5 olan cihazların kullanılması önerilir.

### **Isıtma Mevsimsel Performans Faktörü (IMPF veya HSPF; SPFH)**

IMPF terimi, ısı pompalarının mevsimsel ısıtma verimini açıklamak için kullanılması hariç olmak üzere, Mevsimsel Enerji Verimlilik Oranı (MEVO veya SEER) terimiyle benzerdir. *IMPF, tüm ısıtma sezonu boyunca, ısı pompasıyla verilen ısı enerjisinin (ek ısıtma dahil), elektrik enerjisi tüketimine oranıdır.* Bir başka deyişle, belirli standard test yöntemini izleyen dış hava koşullarının bir aralığı boyunca ağırlıklı ortalama verimdir. IMPF, aşağıdaki şekilde hesaplanabilir:

$$\text{IMPF} = \frac{\text{Isıtma Sezonu Boyunca (ISB) Hacme Verilen Toplam Isı Enerjisi Miktarı}}{\text{ISB Isıtma Sistemi İçin Gerekli Olan Toplam Elektrik Enerjisi}}$$

$$\text{IMPF} = (Q_{IP} + Q_{IL}) / (W_{IP} + W_{IL})$$

Burada;

$Q_{IP}$  : Isıtma sezonu boyunca ısı pompasıyla verilen ısıtma enerjisi, Btu/h

$W_{IP}$  : Isıtma sezonu boyunca ısı pompasına verilen elektrik enerjisi, W

$Q_{IL}$  : Isıtma sezonu boyunca verilen ilave ısıtma enerjisi, Btu/h

$W_{IL}$  : Isıtma sezonu boyunca ilave ısıtma sistemine verilen elektrik enerjisi, W

EK ile IMPF eşit olarak kıyaslanamaz. Hava kaynaklı bir cihaz IMPF veya EK ve jeotermal bir cihaz; EK ile değerlendirilir. ARI standartlarına göre, hava kaynaklı bir cihaz, iki sıcaklıkta;  $-8.3^{\circ}\text{C}$  ile  $8.3^{\circ}\text{C}$  ve jeotermal bir ekipman ise, sadece  $0^{\circ}\text{C}$  su giriş sıcaklığında kıyaslanır.

Bu faktör, günümüz ısı pompası teknolojisile, 2' den daha yüksektir. Bu terim, genellikle, yaklaşık  $17.6\text{ kW}$ 'dan daha az olan ısı pompalarında kullanılır. IMPF' nin birimi, Amerikan Enerji Departmanı (U.S.D.O.E., U.S. Department of Energy; Amerika'da, endüstriyel verimlilik standartlarının ayarlanması ve enerji kaynaklarının tüketiminin izlenmesinden sorumlu olan federal bir acentadır.) tarafından belirtildiği gibi,  $\text{Btu}/\text{W}\cdot\text{h}$  'dır. Bu terimin, iç ve dış ünite fanları gibi yardımcı sistemlerin enerji miktarlarını içerdigine dikkat edilmelidir. Kıyaslama amaçları için, IMPF ne kadar büyükse, sistem o kadar daha fazla verimlidir.

. Isıtma modunda bir ısı pompasının “verimi” olan IMPF, yeni ısı pompaları için, 1992 yılında Amerika'da hükümet tarafından minimum 6.8 olarak belirlendi. 1992 yılından önce imal edilen çoğu ısı pompalarının IMPF değerleri 5' in altında idi. Bugün,  $\text{IMPF} = 7.5$  veya daha fazlası “yüksek verimli” olarak göz önüne alınıyor; maksimum mevcut  $\text{IMPF} = 10$  'dur.

### **Entegre Edilmiş Kısmi Yük Değeri (EKYD veya IPLV)**

EKYD terimi, tek bir kapasite koşulundan çok, tipik bir mevsimle ilgili soğutma verimini açıklamak için kullanılır. *EKYD, kabul edilen tek bir standardla belirlenen kısmi-yük kapasitelerinde ağırlıklı ortalama*

*verimin belirlenmesiyle hesaplanır.* Aynı zamanda, EKYD'nin her kısmi-yük koşulu için aynı yoğunlaşma sıcaklığı kullanılarak hesaplandığına ve yüklü/yüksüz kayıpları içermemiğine dikkat edilmelidir. EKYD'nin birimi literatürde yoktur. Ancak, bu terim kullanıldığı zaman kastedilen birimler birbirini doğrulamalıdır. ASHRAE Standart 90.1' de EKYD terimi, ekipman kapasite sınıflandırmasına bağlı olarak, Mevsimsel EK'larının (birimsiz) ve Mevsimsel Enerji Verimlilik Oranlarının (Btu/W-h) her ikisini açıklamak için kullanılıyor. Bunun yanı sıra, çoğu soğutma grubu imalatçıları büyük soğutma grupları için kW/ton birimleri kullanılarak EKYD olarak belirtiyor. Soğutma sisteminin nasıl yüklenidine ve yüksüz olduğuna bağlı olarak, standart oran koşulunda EVO'nunkinden % 5 ile 50 arasında daha büyütür.

### **kW/ton ( KWT)**

kW/ton terimi, genel olarak büyük ticari ve endüstriyel iklimlendirme cihazları, ısı pompası ve soğutucu sistemler için kullanılır. *Bu terim, bir yük koşulunda enerji tüketim miktarı(kW)nun çekilen ısı miktarı(ton)na oranı olarak tanımlanır.*

$$\text{KWT} = \text{W}_\alpha / Q_\varphi$$

Bu terimin birimi, kW/ton'dur. Bu kapasitedeki soğutma sistemleri, tipik olarak müşteriye yönelik tasarlanmış sistemler olduğu için, belirtilen kW/ton genel olarak sadece kompresörü açıklar ve yardımcı ekipmanları içermez. Bununla beraber, belirli referanslar için, yardımcı ekipmanlar bu terim kullanılarak toplam sistem verimini belirlemek için ilave edilebilir. Bu terimin diğer etkinlik ve verim terminolojisinin aksi

olduğuna dikkat edilmelidir. Bu yüzden, kıyaslama amaçları için, kW/ton ne kadar küçükse, sistem o kadar verimlidir.

Bir ton soğutma, bir cihazın soğutma kapasitesinin belirlenmesi için kullanılan bir ölçütür. 24 saatte bir ton buzu oluşturmaya eşit soğutma etkisidir. Başka bir deyişle, 0 °C sıcaklıkta 1 ton (2000 libre, lbm) suyu 24 saatte 0 °C sıcaklıkta bir ton buza dönüştürmek için çekilmesi gereken ısıl enerjiye eşittir. Bir ton soğutma, 211 kJ/dakika veya 200 Btu/dakika = 12000 Btu/h' a eşdeğerdir.

Etkinlik katsayısı ile kW/ton arasındaki ilişki,

$$EK = (12000 \text{ Btu/h}) / (3412 \text{ kW/ton}) \quad \text{şeklinde yazılabilir.}$$

### **Mevsimsel Enerji Verimlilik Oranı (MEVO veya SEER)**

MEVO terimi, bir iklimlendirme cihazı veya ısı pompası sisteminin ortalama yıllık soğutma verimini belirlemek için kullanılır. MEVO, EVO ile benzerdir. Ancak, tek kapasite koşulundan daha çok tipik bir mevsimle ilişkilidir. EVO ve MEVO, eşit olarak kıyaslanamaz. Hava kaynaklı bir cihaz MEVO ve jeotermal kaynaklı bir cihaz ise, EVO ile değerlendirilir.

MEVO, belirli bir standard test yöntemine göre dış hava koşullarının aralığı boyunca EVO'larının ağırlıklı ortalamasıdır. Başka bir deyişle, ARI' de açıklanan test yöntemi kullanılarak belirlendiği gibi, cihazın, soğutma için normal kullanım periyodu boyunca Btu birimlerde toplam soğutma kapasitesinin, aynı periyod süresince W-h olarak verilen toplam elektrik gücüne oranını ifade eder. Bu terim, sadece 65000 Btu/h (yaklaşık 19 kW)' dan daha düşük soğutma kapasiteli sistemler için kullanılır. MEVO' nın birimi Btu/W-h' dir. Bu verim teriminin iç hava

ve dış hava fanları gibi yardımcı sistemlerin enerji tüketimlerini içерdiği göz ardı edilmemelidir. Kiyaslama amaçları için, MEVO ne kadar büyükse, sistem o kadar verimlidir. MEVO ve EVO'lar doğrudan kıyaslanamadığı için, MEVO, buna karşı gelen EVO' nunkinden genellikle 0.5 ile 1.0 aralığında daha fazladır.

Geçmişte, MEVO değeri 8 olan bir cihaz standard verim olarak göz önüne alınıyordu ve MEVO=10 olan bir cihaz ise, yüksek verimli olarak kabul ediliyordu. 1992'den önce imal edilen cihazların MEVO'su 6 idi. 1992 yılında, Amerikan hükümeti yeni evlere kurulan cihazlar için minimum soğutma verimini MEVO=10 olarak belirledi. Yüksek verimli cihazlar için MEVO en azından 12 ve MEVO=15; yüksek verimli olarak kabul ediliyor. Bunun yanısıra, maksimum elde edilen değer olarak yaklaşık MEVO=17 söz konusudur. Birçok eski modelde MEVO; 7 veya 8 kadar düşük iken, daha fazla verimli modellerde MEVO değerleri 13 ile 16 kadar yüksektir.

### **Mevsimsel Performans Faktörü (MPF veya SPF)**

Bir ısı pompasının performansını sıvı veya gaz yakıtlı ocakların performansıyla kıyaslamak için, aşağıdaki sorular göz önüne alınmalıdır.

- Cihaz, ülkenin hangi bölgesinde kullanılacaktır ?
- Elektriğin fiyatı, fosil yakıtların fiyatlarına kıyasla nasıldır ?
- İlave ısıtma (örneğin; elektrikli ısıtıcı) gereklidir ? Gerekliyse, ne kadar ve hangi sıklıkta ?
- Hangi tip ısı pompası gereklidir ?

İşı pompalarının gerçek kıyaslamaları, EK yerine MPF ile yapılır. Bu faktör, ısıtma sezonu boyunca, ısıtıcı ekipmanın veriminin bir

ölçüsüdür. Günümüz ısı pompası teknolojisiyle, MPF; 2' den biraz daha yüksektir.

MPF, Isıtma Mevsimsel Performans Faktörü (IMPF) ile benzerdir. Isı pompası ve ilave ısı kaynağının toplam kış verimidir. *Aynı birimlerde (Btu/h veya kW-h), isıtma sezomu boyunca toplam çıkan (elde edilen) enerjinin, toplam giren(verilen) enerjiye oranıdır.* Bu faktör, bir bakıma, sistemin yıllık elektrik tüketiminin bir göstergesidir. Örneğin; ısı pompasıyla ısıtılan bir konutta, MPF; yıllık gereklili elektrikli ısıtıcı ısısının, ısı pompası sisteminin yıllık elektrik enerjisi tüketimine bölünmesiyle bulunabilir. Bunların hesaplanması için hazır formlar mevcuttur.

### Enerji Faktörü (EF)

Depolu sıcak su ısıticalarının “*enerji verimini*” göstermek için kullanılır ve 64.3 galon/gün (243.4 litre/gün)<sup>’</sup> lük ortalama sıcak su tüketimi baz alınır. *Satin alınan gaz veya elektrik başına üretilen sıcak su miktarıdır.* Başka bir deyişle, sıcak su ısıtıcısının geri kazanım verimine, durma kayıplarına (yalıtım çeketiyle depolama tankından kaçan ısı) ve giren enerjiye dayalı bir sıcak su ısıtıcısının toplam verimidir. U.S.E.O.D (Amerikan Enerji Departmanı) test yöntemlerine göre belirlenir ve yıllık işletme giderini tahmin etmek için yerel yakıt fiyatlarıyla birlikte kullanılır. EF ne kadar büyük ise, su ısıtıcısının verimi o denli yüksektir. Yeni depolu su ısıtıcıları için şu değerler söz konusudur:

- Gaz : 0.56 - 0.86 , Elektrik : 0.87-0.98 ve Fuel-oil: 0.53-0.65

### **Ekzerjetik Faydalama Oranı ;**

Sistemde bulunan mevcut Ekzerjetik faydalama oranı  $E_Q$  ekserjisinin sisteme verilen teknik veya elektrik işe oranıyla elde edilir.

$$\zeta = \frac{E_Q}{W_t} = \frac{Q}{W} \quad \text{veya} \quad \zeta = \frac{E_Q}{P} = \frac{Q}{W} \quad (3.40)$$

Ayrıca aşağıdaki şekilde de yararlanılabilir.

$$\epsilon = \frac{T_H}{T_H - T_L} \cdot \zeta = \frac{h_2 - h_3}{h_2 - h_1} \cdot \eta_{KT} \quad (3.41)$$

$$\frac{\eta_{KT}}{\zeta} = \frac{T_H}{T_H - T_L} \cdot \frac{h_2 - h_1}{h_2 - h_3} \text{ elde edilir.} \quad (3.42)$$

### **3.4 Isı Kaynakları**

Isının çekildiği ve atıldığı kaynakların aynı sıcaklıkta olmaları halinde, ısı pompası maksimum verimde çalışır. Dolayısıyla mümkün olan en sıcak kaynak ısı pompası için en uygun kaynaktır. Aynı zamanda, kaynak sıcaklığının direkt olarak kullanılamayacak bir sıcaklıkta olması gereklidir. Aksi takdirde ısı pompasına ihtiyaç olmaz (Mullan and Morgan, 1981).

Isı kaynağını seçerken aşağıdaki faktörler göz önüne alınır:

1. Coğrafi durum
2. İklim şartları
3. İlk maliyet
4. Uygunluk

İş pompa tasarımlarında başlıca zorluklardan biri de, kullanılacak kaynaklarla ilgili dataların elde edilmesidir. İş pompalarda başlıca dört kaynaktan yararlanılır. Bunlar, hava su, toprak ve güneş enerjisidir. Bunlardan ilk üçü tek başlarına kullanılabilmekle beraber, güneş enerjisi genellikle yardımcı kaynak olarak kullanılmaktadır. Bu dört kaynağın dışında atık ısı ve lağım sularından da özel durumlarda ısı kaynağı olarak yararlanılır.

Tablo 3.1'de çeşitli ısı kaynaklarının özelliklerini gösterilmiştir.

#### Hava:

Hava, ısı pompası için üniversal, ucuz bol bir ısı kaynağıdır. En büyük yararları, sürekli bulunmasından başka, her ortamda kullanılması; kullanılan ekipmanların makul boytlarda olması ve düşük işletme ve tesis maliyetleri gerektirmesidir. Ayrıca tasarımını için, şu anda çok geniş ve ayrıntılı bilgi kaynakları mevcuttur.

Hava kaynaklı ısı pompalarının iki büyük dezavantajı sıcaklık değişimi ve buzlanma problemidir. Hava kaynaklı ısı pompalarının tasarımını hava sıcaklığı değişimi ile çok ilgilidir. Bir çok yerde hava sıcaklığının değişimi büyektür. Buna göre, ısıtma yükü, hava sıcaklıklarının düşük olduğu zaman, yüksek değerlerde olmalıdır. 0 °C veya daha alçak sıcaklıklarda ısı değiştirici yüzeylerinde don meydana gelir. Periyodik olarak donun çözülmesi gereklidir.

#### Su:

Kuyulardan, göllerden, nehirlerden, şehir şebekesinden ve üretim işlerinden elde edilen su, ısı kaynağı olarak kullanılabilir.

10m ve daha fazla derinliklerde yer altı suyunun sıcaklığı yıl boyunca çok az değişir. Sıcaklığı ortalama olarak  $10^{\circ}\text{C}$ 'tir. Kuyuların yerleştirildiği sahaya ve suyun çıkarıldığı yer altı suyu stok durumuna göre, yer altı suyu sıcaklığı kış ortasında  $8\text{-}12^{\circ}\text{C}$  ve yaz ortasında  $10\text{-}14^{\circ}\text{C}$  arasında değişir.

Su kaynağı olarak göller, nehirler gibi yerüstü sularından yararlanıldığında ise, sıcaklık kuyu sularına göre daha fazla değişmekle beraber, hava kadar değişmemektedir (ASHRAE Systems Handbook, 1984). Ülkemizde yerüstü sularının genellikle  $0^{\circ}\text{C}$ 'in altına düşmemesi de ayrıca bir yarardır.

Kaynak olarak su kullanıldığı takdirde, kullanılan suyun kalitesi de önemlidir. Su kalite testi, kesinlikle yapılmalı ve içeriği mineraller korozyon probleminden ötürü önceden incelenmelidir.

Suyu kaynak olarak kullanmanın başka bir yararı ise, ısı değiştiricilerinde ısı geçişinin daha yüksek olmasıdır. Ancak ısı değiştiricilerinin daha verimli ve kompakt yapılmaları gerekmektedir (ASHRAE Systems Handbook, 1984).

#### Toprak:

Toprağın bir yıl boyunca az değişen (1-2 m derinlikte) bir sıcaklığı vardır. Isı bir yıl boyunca güneşin yeryüzüne ışığı ve toprağın depoladığı güneş enerjisinden kaynaklanmaktadır. Güneş yazın öğle zamanlarında  $1000 \text{ W/m}^2$ -yeryüzü alanı, kışın  $50\text{-}200 \text{ W/m}^2$ -yeryüzü alanı ışınlar. Toprağın içinden yeryüzüne akan ısı akısı sadece  $0,042\text{-}0,063 \text{ W/m}^2$ -toprak alanı tutmaktadır (Baker, 1983). Bu nedenle pratikte ihmal edilebilir.

Toprak, sıcaklık sabiti, sıcaklık durumu, yerel ve zamansal varlığı ve de depolama imkanı açısından çok elverişli bir ısı kaynağıdır. Sakıncaları ise; ısı çekilen elemanların yüksek masrafi, toprağın bünyesinden ve yerel ile zamansal değişimlerinden dolayı ölçülmesinin emniyetsizliği, boş toprak alanına olan ihtiyaç, yerleştirilmesindeki güçlükler, tamir veya değişimlerdir. Bu mahsurların yanında sistematik denenmesi ve pratik deneyimlerin değerlendirilmesine dayanarak, bugün hala mevcut emniyetsizlikleri ortadan kaldırmak ve uygun metodlarla toprağı küçük taban alanı ihtiyacıyla yetinerek kullanmak uygundur.

Toprak altına gömülü borulardan doğrudan soğutucu akışkan veya daha ucuz olması bakımından, genellikle, salamura geçirilir. Bu ısı geçişini sağlayan yüzeyler (toprak ısı değiştiricileri), yatay ve dikey olmak üzere iki şekilde yerleştirilir.

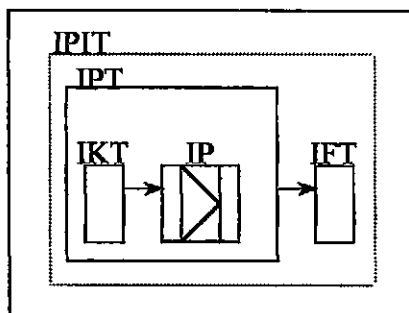
Toprağın bileşimi, yoğunluğu, içeriği nem miktarı ve gömme derinliği, toprak ısı değiştirici seçimini ve boyutlandırmasını etkiler. Toprak özelliklerinin zamana bağlı olarak değişmesi projelendirmede güçlük yaratan sebeplerden birisidir. Aynı şekilde ısı pompası çalıştırıldığı andan itibaren toprağın özelliklerini değiştirir. Örneğin; ısı pompası ile ısıtma yapıldığı takdirde, toprak ısı değiştiricisine yakın yerlerde toprak sıcaklığı düşer. Dolayısıyla bu bölgede nem miktarı ve toprak özellikleri değişir. Geri dönüş suyu sıcaklığı da aynı sebeple düşer ve bu da, ısı pompasının gerek kapasitesini gerekse ısıtma tesir katsayısını doğrudan etkiler. Soğuk yörenlerde, ısıtma yapıldığı süre içinde toprağa yeteri kadar ısı girişi olmazsa; kış aylarında topraktan sürekli çekilen ısı nedeniyle, toprağın donması tehlikesi de mevcuttur (ASHRAE Systems Handbook, 1984).

Güneş: Güneş yeryüzüne sürekli olarak dev enerji miktarları ışır, öyle ki yazın öğlen zamanı bu enerji miktarı  $1000 \text{ W/m}^2$ , kışın yeryüzünde sadece  $50-200 \text{ W/m}^2$ 'dir. Bu enerjiden alıslagelmiş güneş kollektörleri ile % 50 yaralanılabilir. Güneş enerjisinden tek başına veya diğer kaynaklarla birlikte yaralanılır.

Kaynak olarak güneş enerjisinden yaralanıldığından iki sistem söz konusudur. Bunlar direkt ve endirekt sistemlerdir. Direkt sistemlerde buharlaştırıcılar doğrudan güneş kollektörüne yerleştirilir. Endirekt sistemlerde ise kollektörlerden su veya su buharı geçirilerek kaynak olarak bunlardan yarlanılır. Ancak hava kaynağında olduğu gibi, ısı ihtiyacı bulunan günlerde güneş enerjisi de az olduğundan; ek bir ısıtma tesisatına veya ısının depolanmasına ihtiyaç vardır ki bu da, zaten pahalı olan sistemin maliyetinin artmasına neden olur.

### 3.4 Isı Pompalarının Adlandırılması

Isı pompalarının adlandırılmasına geçmeden önce, bir ısı pompası-ısıtma tesisi ile elemanları hakkında bilgi vermek yerinde olacaktır.



IKT : Isı kaynağı Tesisi

IP : Isı Pompa

IPT : İSİ Pompası Tesisi

IFT : İSİdan Faydalananma Tesisi

IPIT : İSİ Pompaları-İsıtma Tesisi

**İSİ Pompası Tesisi ( IPT ):**

Bir ısı pompası tesisi, ısı pompası ile buna ait yedek düzenler ve de ısı kaynakları tesisinden oluşmaktadır.

**İSİdan Faydalananma Tesisi ( IFT ):**

İSİdan faydalananma tesisi, ısinın ısı pompası tesisinden alınması ve tüm yedek düzenler dahil, ısı pompasının sıcak kısmıdır.

**İSİ Kaynağı Tesisi ( IKT ):**

İSİ kaynağı tesisi, ısinın bir ısı kaynağından çekilmesi ve tüm yedek sistemler dahil ısı kaynağı ile ısı pompasının soğuk kısmı arasında ısı taşıyıcısının nakli için bir testistir.

**İSİ Pompası Tesisinin Yedek Tertibatları:**

Yedek düzenlerden, ısı pompası tesisindeki işletme için gerekli olan, ısı pompası hariç, tüm yapı elemanları anlaşılmaktadır. ( Örneğin yeraltı suyu basma pompası, ayar cihazları vb. )

**İSİ Pompası Sistemleri:**

Tablo 3.2'de ısı pompası sistemleri özetlenmiştir. Ancak bunlar sadece konut ısıtılması ve sıcak su kullanımında kullanılmaktadır. Burada bir veya iki ailelik evlerde kurulmuş olan ısı pompası sistemleri, işletme deneyimlerinden elde edilen analizin konusu olacaktır.

Maksimum ısıtma gücü 50 kW olan elektrikle çalışan ısı pompalarında doğal ısı kaynaklarından çekilişi ile ısı iletiminde teknik

tesislerden geri kazanılan ısı arasında ayırt edilebilir. Son sözü edilen ısı pompası, yapı türü ve fonksiyonuna göre, kendisinden alınan artık ısıyı teknik prosese direkt tekrar veren veya ilk sözü edilenden bağımsız çalışan ikinci bir proses için artık ısıyı tekrar faydalı kıلان tesislere ayrılabilir.

### **Birincil Isı Pompaları:**

Esas itibarıyla ısıyı doğal kaynaktan çeken ısı pompaları “primer (birincil) ısı pompaları” olarak tanımlanırlar. Bu sistemler için ısı kaynakları, ısı kaynağı sıcaklığının yaklaşık verilen sınır değerleriyle, yer altı ve yerüstü suyu, toprak ve dış havadır.

### **İkincil Isı Pompaları :**

İkincil ısı pompaları, esas olarak ısıyı geri kazanılan sistemlerden çekerler. Elde edilen ısı artık ısı birikimi süresinden bağımsız olan tüketiciye ihtiyacı nispetinde verilir. Mekan ısıtmasında örneğin kanalisasyonun pis sularından ısı çeken ısı pompaları “ikincil ısı pompaları”dır. Isı kaynağı sıcaklığı  $10^{\circ}\text{C}$ ’den büyüktür.

### **Üçüncüel Isı pompaları:**

Elde edilen artık ısı direkt olarak tekrar prosese geri verilirse, örneğin ısı pompalı çamaşır makinelerinde, kurutma, klima sistemleri ve diğerleri, bu ısı pompası “üçüncüel ısı pompası” olarak adlandırılır. Bu tür ısı pompaları için ısı kaynağı genelde  $20^{\circ}\text{C}$ ’den fazla bir sıcaklık gösterir.

Tablo 3.1 Isı Kaynaklarının Karşılaştırılması

ISI KAYNAĞI	HAVA	ŞEHİR SUYU	KUYU SUYU	YÜZYEY SUYU	ATTIK SU	TOPRAK	GÜNEŞ ENERJİSİ
KAYNAK SINIFLANDIRMASI	Birincil Yardımcı	Birincil veya Yardımcı	Birincil	Birincil	Birincil veya Yardımcı	Birincil veya Yardımcı	Yardımcı
ISININ ATILMASI İÇİN UYGUNLUĞU	İyi	İyi	İyi	İyi	Kaynağa Göre Değişmekte	Genellikle Zayıf	İşin Hava ya Aşında Kullanılabilir
BULUNABILIRLIK (YORE )	Universal	Şehirler	Belişiz	Nadir	Sınırlı	Yaygın	Universal
BULUNABILIRLIK (ZAMAN )	Şürekli	Şürekli	Şürekli	Şürekli	Değişken	Şürekli	Tatmin Edilemez
IL.K.YATIRIM MASRAFLARI	Düşük	Genellikle En Düşük	Kuyu Açmanın Maliyetine Göre Değişmekte	Düşük	Düşük	Düşük	Yüksek
İŞLETME MASRAFLARI	İzafî Olsarak Düşük	Yüksek	Düşük-Ora	İzafî Olsarak Düşük	Düşük	İzafî Olsarak Orta	Yardımcı Kaynak Olarak İsteme Maliyetlerini Düşürür
SICAKLIK SEVİYESİ	Üygen	Genellikle Tatmin Edici	Tatmin Edici	Tatmin Edici	Genellikle İyi	Aşırı Miktarlarda İsa Çekilmemiş Stresce İyi	Çok İyi
SICAKLIK DEĞİŞİMİ	Aşırı	Yüreye Göre Değişmekte	Düşük	Orta	Genellikle Orta	Değişmeye Ancak Havadan Düşük	Derinliğine Göre Aşırı
EKİPMANLARIN BOYUTLARI	Orta	Küçük	Kuyu Ekipmanları Harcında Küçük	Küçük	Değişken	Toprak İsi Değişiricileri Harcında Küçük	Sadece Bazı Yöreler İçin Elverişli

İş pompasının veya bir ısı pompa tesisinin tanımlanmasında, ilk olarak soğuk taraftaki ısı taşıyıcısı veya ısı kaynağı ve ikinci olarak sıcak taraftaki ısı taşıyıcısı, yani ısı dağıtıci sistem söylenilir.

#### Örnek: Hava / Su - İSİ Pompası :

Burada ısı kaynağı olarak havadan yararlanan ve ısı pompasının sıcak kısmında suyu dolaştıran bir cihaz söz konusudur. Bu su ile, örneğin; ısı döşemeden ısıtmaya verilir.

#### Toprak / Su - İSİ Pompası Tesisisi :

Bu ısı pompası tesisinde asıl ısı pompası cihazı örneğin bir Salamura / Su - İSİ Pompası, ısı kaynağı ; toprak ve ısı pompasının sıcak kısmındaki ısı taşıyıcısı sudur. Bu ısı pompasının soğuk kısmında salamura ve sıcak kısmında ise suyun dolaştığını ifade eder.

Tablo 3.3'de ısı pompaları ve ısı pompa tesislerinin adlandırılması için bazı örnekler bulunmaktadır.

İSİ TAŞIYICISI			ADLANDIRMA	
İsı	Soğuk	Sıcak	İSİ Pompası	İSİ Pompası Tesisisi
Kaynağı	Kısim	Kısim	( IP )	( IPT )
Toprak	Salamura	Hava	Salamura/Hava-IP	Toprak/Hava-IPT
Toprak	Salamura	Su	Salamura/Su-IP	Toprak/Su-IPT
Güneş	Salamura	Hava	Salamura/Hava-IP	Güneş/Hava-IPT
Güneş	Salamura	Su	Salamura/Su-IP	Güneş/Su-IPT
Su	Su	Su	Su/Su-IP	Su/Su-IPT
Su	Su	Hava	Su/Hava-IP	Su/Hava-IPT
Hava	Hava	Su	Hava/Su-IP	Hava/Su-IPT
Hava	Hava	Hava	Hava/Hava-IP	Hava/Hava-IPT

Tablo 3.3 İSİ Pompaları ve İSİ Pompaları Tesisinin Adlandırılması

Tablo 3.2 Isı Pompa Sistemleri

Tahrik Enerjisi	ELEKTRİK						GAZ
İsınan Çekiliş Tanımı	Doğal Isı Kaynakları			Isı Naklinde Teknik Tesisler Kapalı olmayan Çevrim Kapaklı pompalar İncil İst Pompaları			Kombine Edilmiş Gaz-İst P.
İst. Kaynağı	Yer Altı ve Yer Üstü Suyu	Tepak	Dis Hava	İsınan Geri Kazanılığ Artık su, Pis Gazlar vb.	Sıfırma suyu, Artık hava vb.	Hava Su	Yanmış Gaz
Kaynak sıcaklığı	5 – 10°C	0 – 10°C	-15 – 20°C	≥ 10°C	≥ 20°C	-15 ila 20°C	15°C
İşletme Şekli	monovalent	monovalent	Monovalent ve bivalalent	Monovalent ve bivalalent	Akışkan	Yalıç. Akışkan vb.	Monovalent ve bivalalent
Yedek Enerji							Gaz
İst Dağıtım Sistem	D	R	D	R	D	R	R
Sıcak Su Hazırlamasız İsteme Suyu Gidiş-Sıçaklığ	≤45	≤45	≤60	≤45	≤60	≤45	≤60
Sıcak Su Hazırlamasız İsteme Suyu Gidiş-Sıçaklığ	≤60	≤60	≤60	≤60	≤60	≤60	≤60
Sıcak Su Hazırlamasız İsteme Suyu Gidiş-Sıçaklığ	≤40	≤50	≤40	≤50	≤50	≤40	≤50

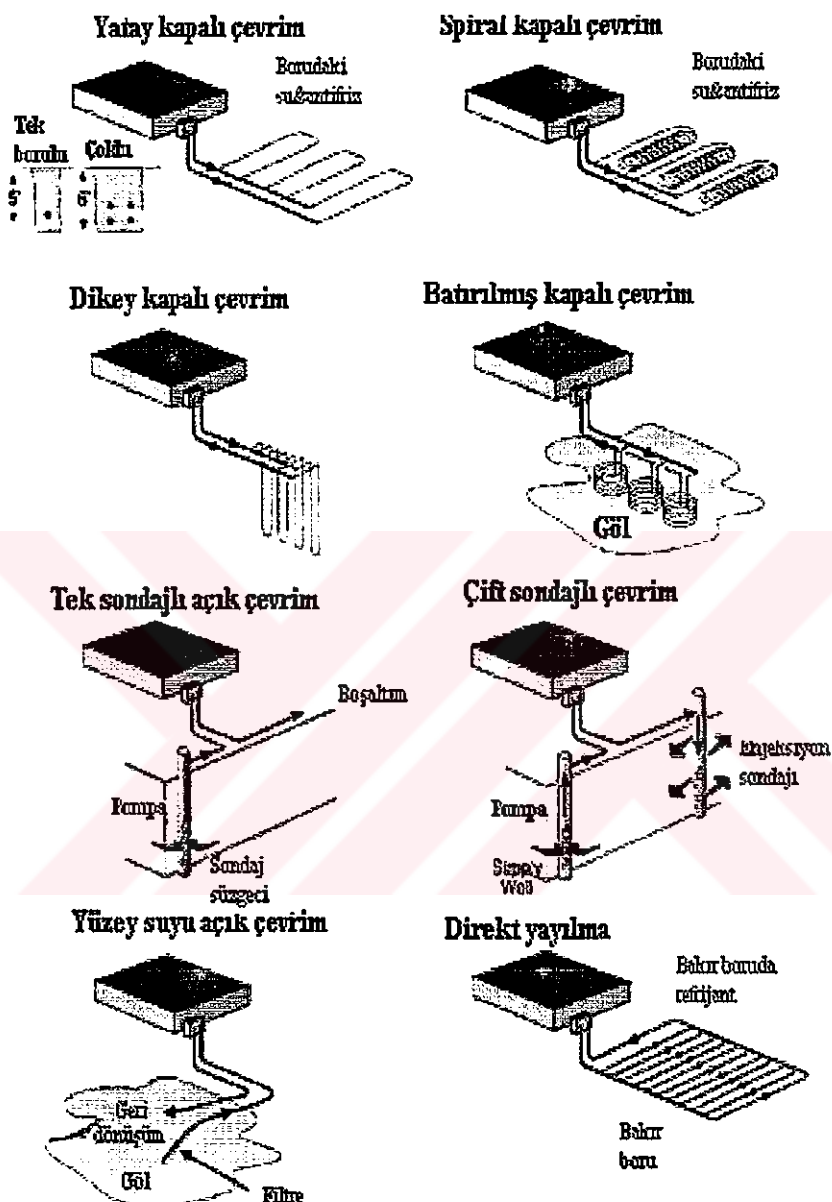
D : Döşeme İsteme R : Radyatör İsteme

## 4. TOPRAK KAYNAKLı ISI POMPALARI TASARIMI

### 4.1 Genel

Toprak kaynaklı ısı pompaları (TKIP), sıklıkla yöresel bölgede geliştirilmiş jeotermal ısı pompalarını işaret eder ve günümüzde ticari sektörde de uygulanmaktadır. Yerleştirme önerileri, tasarım rehberleri ve kaba hesaplama kurallarının çoğu, daha geniş yapıların ihtiyacını karşılamak için düzeltilmelidir. Bu çalışmada, başka yüklerle ve iş örnekleriyle toprak kaynaklı ısı pompaları tasarımları incelenmektedir. Kavanaugh, toprak kaynaklı ısı pompalarının daha geniş tam bir incelemesini yapmıştır. Kavanaugh (1989) ve National Rural Journal Electric Cooperative Association Reserch Project 86-1 (1988), TKIP'nin tasarımı ve kurulmasının daha detaylı bir iyileştirilmesini sağlayacaktır, fakat bu iki dokümanın odağı, öncelikle yöresel ve hafif ticaridir.

Toprak kaynaklı ısı pompaları, toprağın kullanıldığı sistemlerin yersularının ve bir ısı kaynağı olarak yüzey sularının çeşitleri için tümü dahil bir terim olarak kullanılmaktadır. Pazar veya kuruluş ihtiyaçlarının çeşitliliğini, karşılaştırmak için kullanılan birçok paralel terimler, örneğin jeotermal ısı pompaları (JIP), yer enerji sistemleri ve toprak kaynaklı sistemler bulunmaktadır. Bununla birlikte, ASHRAE, tarafından standart bir adlandırma şekli oluşturulmuştur. Şekil 4.1., Kapalı serpantin toprak kaynaklı ısı pompaları (TSIP), yer altı suyu ısı pompaları (YASIP) ve yüzey suları ısı pompaları (YSIP)'na bölünmüş olan toprak kaynaklı ısı pompalarının değişik tip birkaç örnegini göstermektedir.



Şekil 4.1 Toprak Kaynaklı ısı Pompa Tipleri

## 4.2 Toprak Kaynaklı Isı Pompaları Tipleri

### 4.2.1 Toprak Serpentinli Isı Pompaları ( TSIP )

TSIP, TKIP'nın bir alt takımını oluşturur ve sıkılıkla kapalı serpentin toprak kaynaklı ısı pompaları olarak işaret eder. TSIP, toprak içine gömülü kapalı bir yer ısı değiştiricine bağlanmış olan tersine çevrilebilir bir buhar sıkıştırma çevrimden oluşan bir sistemdir. Çok yaygın bir şekilde kullanılan ünite, bir sıvı-soğutucu serpentin ve gömülü termoplastik boru şebekesine doğru bir su veya su-antifriz karışımının dolaştırıldığı, su-hava ısı pompasıdır. Isıtılmış veya soğutulmuş olan hava geleneksel üstün tüp hava-soğutucu serpentin ve kanal sistemleri vasıtasyyla, dolaştırılır. Su-su ısı pompaları da, hidronik (sulu sistem) serpentin ile kuvvetlendirilmiş hava sistemlerine yerleştirmek suretiyle kullanılmaktadır. TSIP'nin üçüncü tipi, soğutucunun sirküle edilmesiyle ısı pompası serpentinlerinden biri olarak kazılmış bakır boru şebekesinin kullanıldığı TSIP'nin direkt genleşmesidir (DG). Bu sistemler, normal olarak, hidronik sistemin kullanılıyormasına rağmen, zorlanmış hava dağıtım sistemini içerirler. Su-hava ve su-su ısı pompalarının kullanıldığı sistemler, sıkılıkla DG TSIP'ından ayırt etmek için ikincil solüsyonlu serpentin ile TSIP olarak gösterilmektedir. Bu sistemler, normal olarak, zorlanmış hava dağıtım sistemleri içermelerine rağmen, hidronik sistemlerde de kullanılmaktadır. Su-hava ve su-su ısı pompaları kullanan sistemler, DG TSIP'den ayırt etmek için sıkılıkla ikincil solüsyonlu serpentin ile TSIP olarak işaret edilmektedir. Bu çalışma, ikincil solüsyonlu sistemlerin tasarımını üzerine yoğunlaştırılmış ve DG TSIP'ni kapsamayacaktır.

TSIP, toprak ısı değiştirici tasarımına göre de sınıflandırılmıştır. Dikey TSIP, genellikle dikey bir sonda deliği içinde, iki küçük çaplı, yüksek yoğunluklu polietilen (PE) tüplerin yerleştirilmesiyle oluşturulmuştur. Borular, kapalı U şeklinde dönen deligin altında termal olarak eritilip kaynaştırılmaktadır. Dikey tüp ölçüleri,  $\frac{3}{4}$  inç'ten  $1\frac{1}{2}$  inç nominal çapa kadar uzanmaktadır. Sondaj deliğinde yerel delme koşulları ve mevcut ekipmana bağlı olarak 50 ile 600ft (15,24 m – 182,88 m) arasında yer alır.

Dikey TSIP'nin yararları; sıcaklık ve termal özellikler içinde çok küçük değişiklik gösteren toprak ile temasta olan yerin göreceli olarak küçük bir alanını gerektirmesi, boru ve pompalama enerjisinin en küçük olması ve en etkin TSIP sistem performansını vermesidir. Sakıncalar ise; uygun ekipman ve kurma personelinin sınırlı mevcudiyetinden dolayı, maliyetin tipik bir şekilde yüksek olmasıdır.

Çoğu mühendis, çok devirli veya çeşitli devire (Şekil 4.2) sahip olan merkezi pompalar ile merkezi bir çevrimi birleştirmeki tercih eder. Bu uygulamanın, geleneksel soğutulmuş su sistemlerinde birkaç ekonomik yararı varken, TSIP sistemlerinde, ekonomi ölçünginde aynı derecede yararlı değildir. Mühendisler, Şekil 4.1'de gösterilen diğer seçenekleri, çok özenli bir şekilde analiz etmek zorundadır. Toplam yer çevrimi, hafif bir şekilde merkezi bir çevrimden daha genişdir. Fakat, koruma, azaltılmış iç borulama ve birkaç kontrol vasıtıyla gerçekleştirilebilir (yüksek yoğunluklu polietilen (HDPE) olduğu, böylece korozyon inhibitörleri için ihtiyaç seçimi yapılır).

Yatay toprak ısı pompaları üç gruba ayrılmıştır: Tek borulu, çoklu borulu ve serpentinli borulu. Tek borulu yatay TSIP, ilk olarak en

azından 4' derinlikte dar hendekler halinde yerleştirilmektedir. Bu tasarım, yer alanının büyük bir kısmını istemektedir. Çoklu borular ( genellikle 2 veya 4 ), istenen yer alanının miktarını azaltarak tek hendek içine yerleştirilir. Müteahhit tarafından, hem derin dar hendekler hem de geniş hendekler 12"den 24"e kadar ayrılmış borular ile kullanılır. Hendek uzunluğunun azaltılması mümkün olmasına rağmen, toplam boru uzunluğunun, bitişik borular ile ısı etkileşimiini yemek için çoklu borulu TSIP'nin ile artırılması zorunludur. Slinky tipi serpentin, istenen yer alanını azaltmak için kullanılabilir. Bu yatay toprak ısı değiştiricileri, geniş hendeğin altında, dar hendek veya yayılmış kat içine dikey olarak yerleştirilen yayılan serpentin içine sıkı serpantinden küçük çaplı PE tüpü uzatarak, kurulabilir. İstenen hendek uzunluğu, sadece tek borulu yatay TSIP'nin % 20'si % 30'dur, fakat boru uzunluğu, önemli bir şekilde, denk ısı performansı için artabilir.

Yatay TSIP'nin yararları, dikey TSIP'dan tipik bir şekilde daha az pahalı olmasıdır. Çünkü; uygun yerleştirme elemanları geniş bir şekilde mevcuttur. Coğu yerel uygulamalar yer alanına uygundur ve yetişmiş makine-eleman operatörleri daha geniş bir şekilde mevcuttur. Daha fazla toprak alanı gerektirmesine ek olarak, sakıncaları, mevsim, yağmur ve kazılmış derinlikle ilgili olarak yatay yer sıcaklıklarları ve termal özellikleri düzensizce değiştiğinden dolayı performansında daha büyük zit varyasyonlar, hafif bir şekilde daha yüksek pompalama enerjisi ihtiyacı ve daha düşük sistem yeterliliği içerir.

#### **4.2.2 Yer altı suyu ısı Pompaları (YASIP)**

TKIP'larının ikinci alt takımı, yeraltı suyu ısı pompalarıdır. TSIP'nın son gelişmelerine kadar, YASIP, TKIP'nın en çok kullanılan bir tipi olmuştur. Ev sahiplerini, TSIP'nın düşük bakımı çekmiştir, böylece çoğu potansiyel müşteri YASIP'tan sakındılar. Ticari sektörde, YASIP, geniş su miktarı, çok küçük yer alanı gerektiren nispeten ucuz kuyudan çekilmesi yüzünden çekici bir alternatif olabilir. Tonda toprak ısı değiştirici maliyeti, nispeten TSIP için sabit iken, kuyu suyu sistemlerinin maliyeti (ton başına temel üzerine) geniş bir sistem için çok daha düşüktür. Tek yüksek-hacimli kuyu, tüm bir bina için hizmet eder. İyi-geliştirilmiş su kuyusu ile uygun bir şekilde tasarlanmış yer altı suyu çevrimi, geleneksel hava ve su merkezi HVAC sistemleri daha çok bakım istemez.

Sistemlerin çeşitliliği, mümkündür. Geniş bir şekilde kullanılan sistemler, binaya yerleştirilmiş olan su-hava ısı pompalarına bağlanan yeraltı suyu ve kapalı su çevrimi arasındaki merkezi su-su ısı değiştiricileri yer alır. Daha küçük binalarda, her bir ısı pompa vasıtasyyla yer altı suyunu direkt bir şekilde dolaştırmak mümkündür. Daha büyük dikkat, iyileştirilmemiş su, dağıtılmış sistem vasıtasyyla dolaştırıldığında sonuçlanabilen serpentin ve kontrol valflerinde korozyon ve kirlenme problemlerini minimize etmek için gerekir. Üçüncü olasılık, yer altı suyunu merkezi bir soğutucu vasıtasyyla dolaştırmak ve boru dağıtım sistemi ile binayı ısitmak ve soğutmaktır.

Amerika'nın çoğunda, sistemlerin bu üç tipi ve diğer çeşitler, diret ön soğutma veya soğutma olasılığını verir.  $60^{\circ}\text{F}$ ( $15,56^{\circ}\text{C}$ )'ın altındaki yeraltı suyu, seri veya paralel ısı pompa ile hidronik serpentin

vasıtasıyla dolaştırılabilir. Bu, soğutma için istenen enerjinin büyük bir miktarı yerinden çıkartılabilir.

YASIP'nın avantajları, TSIP ile karşılaştırıldığında maliyetinin daha düşük olması, kuyu suyu birleştiricileri, geniş yaygın bir şekilde mevcuttur ve teknoloji 10 yıldır kullanılmaktadır.

Sakıncaları, yerel çevresel düzenlemelerin kullanım ve yer altı suyu injeksiyonunu engellemesi, suyun sınırlı olması, eğer kuyu, uygun bir şekilde geliştirilmemişse veya su kalitesi zayıfsa kirlenme ön uyarısı, gereklidir ve pompalama enerjisi, eğer pompa aşırı ölçüdeyse, zayıf kontrollü veya binaya uzaksa aşırı olacaktır.

#### **4.2.3 Yüzey Suyu Isı Pompası (YSIP)**

Yüzey suyu ısı pompaları, uygulamalardaki benzerlik ve yerleştirme metodları yüzünden, TKIP'nin bir alt takımı olarak dahil edilmiştir. YSIP, hem kapalı-çevrim TKIP'si sistemlerine benzer hemde açık-çevrim YSIP sistemlerine benzerdir. Bununla birlikte, yüzey suyunun termal karakteristikleri, toprağından oldukça farklıdır. Bazı tek uygulamalar, mümkündür ve özel önlem alınabilir.

Kapalı-çevrim YSIP, binaya yerleştirilen, su-hava veya su-su ısı pompalarına ve göl, nehir veya diğer açık sulara yerleştirilen boru ağına bağlanmasıyla oluşmuştur. Bir pompa, ısı pompalarının su-refrigerant serpentinleri vasıtasıyla su-antifriz solüsyonunu dolaştırır ve ısını gölden transfer edilen batırılmış borulama çevrimini dolaştırır. Önerilmiş borulama malzemeleri, ultraviyole radyasyon korumasının bazı tipi ile yüksek yoğunluklu polietilen (PE) tüpü termal bir şekilde birleştirilmektedir. Bakır ve polibütilen de kullanılmaktadır. Fakat

polivinil klorid (PVC)ten sakınılmalıdır. Coğu yerleşirmeler, başlıca ısı değiştirici serpantinleri için  $\frac{3}{4}$  in. veya 1 in. PE boru kullanılır. Daha geniş çaplı ( $1\frac{1}{4}$  in. veya  $1\frac{1}{2}$  in.), daha kalın duvarlı boru, gemilerden zarar görebilen alanlar için önerilir. Serpantinler, basınç kayıplarını minimize etmek için çoklu paralel borulama örneklerinde düzgün bir şekilde düzenlenmektedir. Başlıca ısı değiştirici serpantinlerine bağlanan ana başlık borular, kayıpları minimize etmek için ölçülendirilmektedir ve normal bir şekilde bireysel serpantin borularından daha geniş çaplı olmuştur.

Kapalı çevrim YSIP'ının yararları, nispeten daha düşük maliyet (TKIP ile karşılaştırıldığında), düşük pompalama enerji ihtiyaçları, yüksek güvenlik, düşük bakım ihtiyaçları ve düşük operasyon maliyetleridir. Sakıncaları, halk göllerinde ve göller küçük ve/veya sığ ise dış koşullarla geniş sıcaklık değişikliklerinde serpantin zararı olasılığıdır. Bu, yeterlilik ve kapasitedeki bazı arzu edilemeyen değişikliklerle sonuçlanabilir, fakat bu, hava ısı pompaları ile şiddetli olmaz.

Açık-çevrim YSIP, fan enerjisi ve sık bakım için ihtiyaç olsaksızın soğutma kulelerine benzer bir tarz içinde yüzey suyu kullanılabilir. Sıcak iklimde, göller, kışın ısıtma modu esnasında ısı kaynağı olarak da hizmet edebilir. Bununla birlikte, kapalı-çevrim sistemleri, daha soğuk iklimlerde ısıtma için sadece uygulanabilir bir seçenekdir.

#### **4.3 Toprak Kaynaklı İşı Pompalarının Yararları ve Sakıncaları**

Toprak kaynaklı ısı pompalarının yararları ve sakıncaları aşağıda açıklanmıştır:

#### **4.3.1 Yararları**

**a) Yüksek Etkinlik ve Kararlı Kapasite :**

TKIP'ları uygun bir şekilde tasarlandığı zaman, çevrimdeki sıvı sıcaklığı, ekipmanın, alışagelmiş hava kaynaklı ısı pompası ve fosil yakıtlı düzeneklerden daha fazla yüksek bir etki katsayısıyla ve ekonomik olarak işletilmesini sağlar. Soğuk su, sıcak hava yerine ekipmanın kondenserine beslenir, böylece kompresör daha düşük güç ihtiyacı gerektirerek, düşük soğutucu ağızdan basınç farklarında işletilir. Isıtma modunda, dış havadan daha fazla sıcak olan sıvılar, evaporatördeki ( buharlaştırıcıdaki ) soğutucu ağızına ısı verirler. Bu ise; daha yüksek kapasite ve hava sıcaklığı sağlar. Çevrim sıcaklıklarını, dış hava sıcaklıklarıyla çok az değiştir. Bu yüzden kapasitesi kararlıdır. TKIP'ları, aynı zamanda, daha büyük yapılarda yaygın olarak kullanılan merkezi ve değişken-hava debili sistemlere kıyasla, çok daha küçük fan ve pompa enerjisini gereklili kılar.

**b) Konfor ve Hava Kalitesi :**

TKIP'ları, gizli soğutma kapasitesini içermeden, yüksek etki katsayısı sağlarlar. "Yüksek etki katsayısının, kompresörün basma basıncının emme basıncına oranının azaltılmasıyla elde edildiğini" tekrar hatırlatmakta büyük yarar vardır. Dış hava sıcaklığı, basma basıncının daha düşük limitini gösterdiği için, bazı imalatçılar etkinliği yükseltmek için emme basıncını artırırlar. Bu, konfor ve iç hava kalitesi sorunlarını bir bütün haline getiren, zayıf nem almaya yol açar. Bu sorunlar, özellikle, yüksek dış hava gerektiren halk ve ofis binalarında artış gösterir. TKIP'larında sık sık, birçok uygulamada belirgin olan ayrı nem alma veya gizli ısı geri kazanım ekipmanı olmadan, nemlendirme

sorunlarıyla etkin bir şekilde uğraşılır. TKIP'ları aynı zamanda, ısıtma modunda sıcak konforlu hava verir.

c) Basit Kontroller ve Ekipman :

Karmaşık kontroller, konforu ve kısmi yükteki etkinliği sağlamak için gerekli değildir. TKIP sistemin giderini düşürmek için, pahalı ve özel cihazların kullanılmaması önerilir. Her zonda, optimum konforu sağlamak için yerel olarak kontrol edilebilen ayrı bir ısı pompası vardır. Hva debisi, sabit hacimde olup, merkezi kontrol sadece su pompasındaki isteğe bağlı değişken hızlı sürücüdedir. Günümüzde, gider açısından en etkin ve verimli ekipman, yüksek verimli kompresörleri, alışagelmiş havalı serpantinleri, düşük sıcaklık yaklaşımı olan sulu serpantinleri, termostatik genleşme valfleri ve yüksek verimli fanları/motorları olan su/hava ısı pompalarıdır.

d) Düşük Bakım Gideri :

TKIP'ları, dış ünite olmadan kurulabilirler. Böylece, korozyon ve hava etkisiyle oluşan değişikler olağan sorunlar değildir. Tüm ısı pompası ekipmanı, iç ünite şeklindedir. Ekipman, alışagelmiş ekipmanla ortaya çıkan yüksek veya düşük soğutucu aşırı basınçlarıyla asla karşı karşıya kalınmaz. Çoğu sisteme, yüksek bakımlı soğutma kulelerinden kaçınılmabilir.

e) Hiçbir İlave Isıtma İhtiyacı Gerektirmemesi :

TKIP'larının kapasitesi her zaman, ticari ve kuruluşa ait yapılarda zon ısıtma ihtiyacını aşar. Isıtma modu, dönüşüm vanasıyla (termostatla) kolayca gerçekleştirilebilir. Isıtma etkinliği ve ekonomisi alışagelmiş ekipmandan üstündür.

f) Düşük Giderli Su Isıtması :

Çoğu ticari yapılarda (hatta soğuk iklimlerde) soğutma sistemiyle yutulan iç yüklerden ortaya çıkan atık ısı söz konusudur. Bu atık ısı, su ısıtma ihtiyaçlarını karşılamak için, TKIP'larıyla kolayca pompalanabilir. Bu, seçilen ısı pompalarındaki ısı geri kazanım serpentinleriyle veya bu amaçla kullanılan su/su ısı pompalarıyla yapılabilir. Gideri çok düşük olan ısıtma yöntemine ilaveten, ısı geri kazanımıyla, toprak ısı değiştiricisi için gerekli olan boyut azaltılabilir. Çünkü, ısının çoğu, kritik soğutma modunda toprak ısı değiştiricisine girmeden önce çekilir.

#### **g) Hiçbir Dış Ünite Ekipmanı Gerektirmemesi :**

Çoğu TKIP'larında, göze hoş görünmeyen dış ünite gerekli değildir. Böylece, diğer kullanımlar için boş hacim sağlanır ve alışagelmiş dış üniteyle oluşabilecek emniyet sorunları ile olası zararlar ortadan kaldırılır. Bu özellikle, okul uygulamalarında büyük önem taşır. Çünkü; çocukların dış üniteye girişini kısıtlamak için özel önlemlerin alınması gereklidir. Servis bakımından iç üniteli ısı pompalarına genellikle kolayca ulaşılabilir.

#### **h) Paket Şeklinde Soğutucu Ekipman :**

Su/hava ve su/su ısı pompalarının, kendi içinde bulunan soğutma sistemleri vardır. Bu; soğutucu akışkanın uygun olmayan saha doldurması veya bağlantıları nedeniyle, soğutucu akışkanın sızma ve arıza yapma olasılığı vardır. Bu paket üniteler, aynı zamanda, alışagelmiş ekipmanın soğutucu akışkan ihtiyacının sadece % 20 - % 70'ini gerektirirler.

#### **I) Çevre Dostu :**

EPA raporuna göre, TKIP'ları; "analiz edilen tüm teknolojilerin en düşük CO<sub>2</sub> emisyonları ve en düşük toplam çevre giderleri" olarak

tanıtılmaktadır. İyi tasarlanan ve kurulan TKIP'larının etkinliğinin artması, gerekli olan enerji miktarını azaltır. Böylece, bundan kaynaklanan kirleticiler ve diğer emisyonlar azaltılır.

**j) Tasarım Esnekliği :**

TKIP'ları önemli ölçüde esneklik sağlarlar. Çünkü; değişik boyut ve yerleşim şekillerinde tasarılanabilir. İşi pompalrı, çatı arası boşluğa veya küçük mekanik odalara konulabilir. Yapıda oturanların veya zon yükleri değişince, ilave bir ekipman veya daha büyük ısı pompaları eklenebilir.

**k) Düşük Talep Karakteristikleri :**

Yurt dışında, soğutmada ticari yapılarda kullanılan ekipman türlerine göre, kW/ton olarak talep azaltmaları söz konusudur.

**l) Mükemmel Ömür Gideri :**

TKIP'larının ilk yatırımı yüksek olmasına rağmen, bir kullanım ömrü gider hesabı (life-cycle cost ) yapıldığı zaman, TKIP'larını belirgin olarak öncü kıyan üç karakteristik ortaya çıkar : (i) Enerji ve talep giderlerinin düşük olması, (ii) Bakım giderlerinin düşüklüğü ve (iii) Ekipman ömrünün uzatılması.

**m) İlerleme için Çarpıcı Potansiyel :**

Tasarımcılar ve ekipman imalatçıları, daha çok TKIP'nin performansının yararı üzerinde odaklanmıştır. Oysa , standart ekipman etkinliği, imalat giderlerinde önemli artışlar olmadan çarpıcı bir şekilde iyileştirilebilir. Sıcak su üretimi, soğutma ekipmanı entegrasyonu ve ısıl depolama kullanımı tam olarak araştırılmayan konulardır.

#### **4.3.2 Sakıncaları**

**a) İlk Yatırım Giderlerinin Daha Yüksek Olması :**

Konutlarda : Yatırım gideri, daima standart merkezi ekipmanın giderinin iki katıdır.

Ticari : Çatı üstü tek zonlu, sabit hava haciminden % 20 - % 40 daha yüksektir.

Multizonlu veya merkezi iki borulu soğutulmuş sulu sistemden % 0 - % 20 daha yüksektir

Dört borulu olandan % 0 - % 20 daha düşüktür.

**b) Performansın, Toprak Isı Değiştiricisine ve Ekipmana Bağlı Olması :**

Birçok kişi, sistem “jeotermal” olduğu için, daha iyi olması gerektiğini farz ediyor. Deneyimi olmayan kişiler ise, gideri yüksek ekipman olarak tanımlıyor ve toprak ısı değiştiricisinin tasarımını ile montaj kalitesi nasıl olursa olsun, yüksek performansa işletilmesini bekliyor. Toprak ısı değiştiricisi giderleri aşırı göründüğü zaman bilinen başka bir uygulamaya göre, düşük kaliteli ısı pompaları ve adi su dolaşımlı sistemler olarak belirleniyor.

**c) Nitelikli ( Ehliyetli ) Tasarımcıların Sayısının Sınırlı Olması :**

HVAC tasarımcıları, daralan konstrüksiyon bütçeleri, artan standart istemleri ve giderek çoğalan yasal sorumluluk arasında sıkışmış durumdadır. Genellikle yapmak istedikleri son şey “yeni” bir şeyi denemektir.

**d) Nitelikli Müteahhitlerin Sayısının Sınırlı Olması :**

Uzman toprak ısı değiştiricisi müteahhid olmak için gerekli olan ekipman ve zamana yapılan yatırım önemlidir.

e) HVAC Ekipmanı Satıcı Karının Az Olması :

TKIP'larının satıcılar bakımından çekiciliği düşüktür. Bununla beraber, TKIP'larının basitliği, bu konuda çalışan mühendisi daha fazla bağımsız kılmaktadır. Böylece , ekipman satıcıları için iş başına toplam kar daha az olup, alışagelmiş ekipmanı satmak genellikle daha az yararlıdır.

#### **4.4 TKIP'ları Tasarımı**

Şekil 4.2 TKIP'ları için istenen tasarım adımlarını göstermektedir. Birinci adım, mevcut birçok bilgisayar programı ile veya el kitaplarında bulunan metotlarla yapılmaktadır (ASHRAE, 1993). İkinci adım, ekipman seçimidir ve bu her bölge için farklı tasarım koşullarında kapasite ve yeterliliğe göre bir seçim gerektirir. Üçüncü adımda ise toprağın iletkenlik vs. özellikleri, boru tipi, boyutu ve gereken boru uzunluğu hesaplamaları yer almaktadır.

#### **4.5 Toprak Kaynaklı Uygulamalar için Isı Pompası Tipleri**

Toprak kaynaklı uygulamalarda kullanılan ısı pompasının en yaygın tipi, su-hava birimidir. Su-soğutucu serpentin, dış su ilavesi ile birleştirilmektedir ve soğutmada kondenser, ısıtmada buharlaştırıcı olarak görev görür. Hava-soğutucu serpentin genellikle, zorlanmış hava sistemi ile birleştirilmektedir. Yeterlilik, performans ve bu ünitelerin esnekliği, son 15 yılda etkileyici bir şekilde iyileşmiştir. Bununla birlikte, su-su ısı pompalarının (soğutma ve ısıtma birimlerine odaklanmış) kullanımı artıyor. Su-su birimleri, hidronik yer ısıtması, evsel su ısıtılması, dış hava

TASARIJM AŞAMASI	AÇIKLAMA
A. Binanın Yükü	Kat planını zonlara bölün. Her bir zon için ısı kaybı/kazancı hesaplamaları yapın. Bir merkezi veya çoklu toprak devresi için bina alanı grubunu ele alın.
B. Ekipman Seçimi	Tasarım koşullarında kapasite ve yeterliliğe bağlı olarak her zon için ısı pompası seçimini yapın. İşı kaybı, sıcaklık alanları, paket tipi, ses, servis incelensin. Eğer mümkünse su kaynağı su ısitma ve soğutucu ekipmanı belirleyin. Havalandırma sistemi komponentleri-kanal, ısıyı geri kazanım, boru vs.- seçimini yapın.
Ca- TKIP	Toprak özelliklerini belirleyin. Tüp tipini, ölçüsünü, delik ayrılmamasını, geri doldurmayı belirleyin. İstenen sonda hesabını yapın. İç başlığı tasarllayın. Tasfiye sistem tasarımını yapın.
Cb-YASIP	Yer altı su miktarını/kalitesini belirleyin. İstenen kuyu akışını belirleyin. Su boşaltım metodunu belirleyin. Yer altı suyu ile ısı değiştiricisi çevrimini belirleyin.
Cc-YSIP	Su deposu için akış, derinlik ve sıcaklık(yüksek/düşük) bulun. Özel serpentin ölçüsünü&tipini hesaplayın. İstenen serpentin uzunluğunu hesaplayın. Dış başlıklarını tasarımını yapın. Tasfiye sistemi tasarımını yapın.
D. Bina Borulama Tasarımı	Merkezi çevrim ile çoklu çevrimin yararlarını tartışın. Alçak basınç kaybı için yol ve ölçü borulama sistemini tasarllayın. İşı pompası ve izolasyon valfleri için kontrol sistemi sağlayın. Malzemeleri-giriş borusu, antifriz, inhibitör- belirleyin.

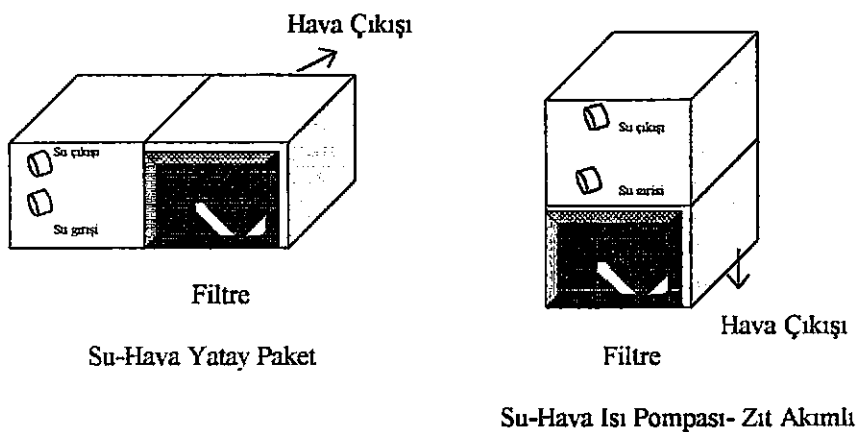
<b>E.</b> <b>Pompa ve Kontrol Metodunu Belirleme</b>	Merkezi pompalar veya uzak çoklu pompaların yararlarını tartışın. Pompa eğrisi üzerinde maksimum yeterliliğe yakın çalışan pompayı seçin. Pompa kontrol seçeneklerini inceleyin- kontrolsüz, çoklu hız, çeşitli hız. Toplam isteğin % 10'undan daha büyüğse çevrim pompa gücünü hesaplayın ve sistemi tekrar tasarllayın.
<b>F.</b> <b>Diğer Alternatifleri İnceleme</b>	İstenen toprak çevrim boyunu azaltmak için daha yüksek yeterlilikte ısı pompası kullanılamaz mı? Boru boyunu azaltmak için soğutma kulesi veya soğutucu akışkan kullanılamaz mı? Sonda ayrılması veya serpantin tüp ölçüsünü artırma veya azaltma yapılamaz mı? Çoklu çevrim ve pompa vs. merkezi çevrime ve pompanın maliyetine bakın- kontrol maliyeti dahil.

**Şekil 4.2 TKIP için istenen tasarım**

koşulları, hidronik ısıtma ve soğutma için kullanılmaktadır. Su-hava soğutma birimleri sadece soğutma uygulamalarında kullanılmaktadır.

Su kaynaklı ısı pompalarının gelişimi, öncelikle tahmin edilen yerel sektör ihtiyaçlarına doğru yönelmiştir. İlerlemeler, 19 045 W'tan daha az kapasitelerle, birimlerde az yada hiçbir iyileştirme bulunmaması ile ticari sektörde uygulanıyor olabilir. Bununla birlikte, daha geniş ünitelerin gelişimi, geniş elemanlar için birkaç yerel uygulamalar olduğundan beri, daha yavaş olmuştur.

TKIP sistemler, su-serpentinli ısı pompası uygulamaları için tasarlanan ısı pompaları, 1980'den önce sıkılıkla kullanıldı.

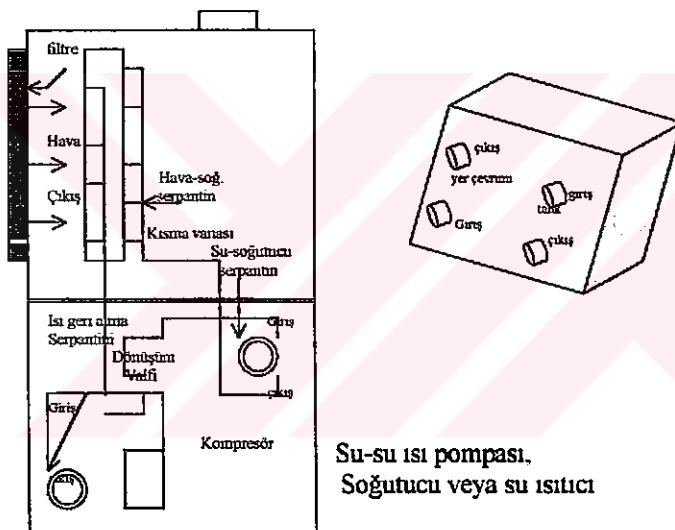


Su-Hava Yatay Paket

Hava Çıkışı

Filtre

Su-Hava Isı Pompası - Zıt Akımlı

Su-su ısı pompası,  
Soğutucu veya su ısıtıcı

Şekil 4.3 Toprak Kaynaklı Uygulamalar İçin Su kaynaklı Isı Pompaları

#### 4.5.1 Su-Hava Isı Pompaları için Standartlar

Isı Pompaları ile ilgili olarak TSE tarafından 14 adet standart hazırlanmıştır. Tablo 4.1a'da gösterildiği gibi, bu standartlardan sadece ikisi (TS prEN 255-3 ve TS 10055) TKIP ile ilgilidir (Hepbaşlı, 1999).

Tablo 4.1a Isı Pompaları ile ilgili Türk Standartları Listesi (TSE)

Sıra No	TS No	Tarih	Açıklama
1	TS prEN 255-3	04.04.1996	Isı Pompaları Elektrik enerjisiyle Tahrik Edilen Kompresörle Çalışan Isıtma veya Isıtma /Soğutma Amacıyla Kullanılan Bölüm 3: Sudan / suya ve Tuzlu Sudan / suya Isı Pompaları Deneyler ve işaretleme Kuralları
2	TS 10055	31.03.1992	Isı Pompaları- Mekanik Tahrikli Sudan Suya Tip

Su-hava ısı pompalarının, Air Conditioning and Refrigeration Institutue (ARI)'nın üç standardından biri veya daha çoğu tarafından belirlenebilir. Bunların tümü, tasarım koşulları için tek veya çift noktada yapılır. Toprak kaynaklı ısı pompaları için mevsimsel oranlar yoktur.

Maalesef, üç standardın hiçbiri, ticari TSIP sistemleri için uygulanan su sıcaklıklarında kullanılamaz. Giren su sıcaklığı 29,44°C, ticari binalarda, eşitliğin çalıştığı koşullara en uygun ARI 320'de soğutma için kullanılır. Bununla birlikte, bu standart, pompalama hatasına sahip değildir ve ısıtma için kullanılan su sıcaklığı, TSIP'ında gözlemlenmiş koşullardan normal bir şekilde daha yüksektir.

ARI 325'de, iki su giriş sıcaklıkları 50 °F (10°C) ve 70 °F (21,11 °C) kullanılır. Bu standartta kullanılan su sıcaklıkları ticari YSIP sistemleri için uygundur. Bununla birlikte, pompa hatası, ikamete mahsusu sistemlerinin, zayıf pompa etkinlik karakteristiklerini etkiler. Ticari bina sistemleri, daha küçük hata gerektirir.

ARI 330, ikamete mahsus TSIP içindir, fakat koşullar, sadece soğuk iklimler için uygundur. Soğutma  $T_{GSS}$  77 °F (25°C), orta yüklerin periodları esnasında oluşur, böylece soğutma kapasitesi ve etkinlik değerleri mevsimlik değerlere yakın olacaktır. Isıtma  $T_{GSL}$  ticari TSIP ile

normal bir şekilde karşı karşıya gelen değerlerden çok daha düşüktür. Böylelikle, gerçek sistem COPs ve ısıtma kapasitesi, oranlanmış değerlerden çok daha yüksek olacaktır.

The Energy Policy Act (EPACT), 1 Ocak 1994'te başlayarak minimum izin verebilir etkinlikleri oluşturdu. Malzemelerin tümü kapsanmakta, fakat değerler sabit su sıcaklıklarını içindir ve hiçbir mevsimlik veya tamamlanmış kısım yükleri (IPLVs) saptanmamıştır.

#### **4.5.2 Su-Hava Isı Pompalarının Performans Karakteristikleri**

Çeşitli tipteki malzemeleri karşılaştırmak için, bir çok sınıflandırma sistemleri kullanılmaktadır. Bir standart içinde değerlendirilen malzemenin sınıflandırılması, başka bir standart içinde değerlendirilen ünenin performansı ile karşılaştırılmamalıdır. Su-hava ısı pompasının sınıflaması, çok daha karışık olup hava kaynaklı ısı pompası ile değerlendirilen malzemeyle karşılaştırılmamalıdır.

Tasarımcılar, malzemeyi seçmek ve su sirkülasyon sisteminde beklenen su giriş (veya sıvı) sıcaklıklarına bağlı olan yeterliliği tahmin etmek zorundadırlar. Bunun yanı sıra, fan gücü ve pompa gücü (tasarımcılar tarafından kontrol edilebilen) dahil güç girdilerinden emin olmak zorundadırlar.

Tablo 4.4'de, ticari uygulamalara uygun nominal dört ton kapasitesindeki su-hava ısı pompalarının performans verisini gösterilmektedir. Çalışma koşullarındaki (giren su sıcaklığı, giren hava sıcaklığı ve su akış hızı) dört öncelikli değişikliğin üçü, tablonun ana bölümleri kullanılarak düzeltilebilir. Hava akış hızı, hava hacim tablosundaki faktörlerle ana tablodaki  $1500 \text{ ft}^3/\text{dak}$  ( $42,47\text{m}^3/\text{dak}$ ) için

**Tablo 4.1b. İSİ POMPALARI İLE İLGİLİ TÜRK STANDARTLARI LİSTESİ**

Sıra No	TS №	Tarih	Açıklama
1	TS prEN 255-2	04.08.1995	İSİ POMPALARI Elektrik enerjisyle Tahrik Edilen Kompresörle Çalışan İstirna veya İstirna /Soğutma Amacıyla Kullanılan Bölüm 2: Havadan/Suya İSİ Pompaları Deneyler ve İşaretlenme Kuralları
2	TS prEN 255-4	09.03.1996	İSİ POMPALARI Elektrik enerjisyle Tahrik Edilen Kompresörle Çalışan İstirna veya İstirna /Soğutma Amacıyla Kullanılan Bölüm 4: Havadan/Havaya İSİ Pompaları Deneyler ve İşaretlenme Kuralları
3	TS prEN 255-6	15.10.1996	İSİ POMPALARI Elektrik enerjisyle Tahrik Edilen Kompresörle Çalışan İstirna veya İstirna /Soğutma Amacıyla Kullanılan Bölüm 6: Kullanma Sıcak Suyu İstirna Kullanılan İSİ Pompaları-Tarifler. Deney Metodları ve İşaretlenme Kuralları
4	TS prEN 255-7	09.03.1995	İSİ POMPALARI Elektrik enerjisyle Tahrik Edilen Kompresörle Çalışan İstirna veya İstirna /Soğutma Amacıyla Kullanılan Bölüm 2: Kullanma Sıcak Suyu İstirna Kullanılan İSİ Pompaları-Hava Kaynaklı Güçlüü için Ölçümleri-Ses Gürçü Seviyesinin Tayin Edilmesi
5	TS EN 378-1	07.11.1995	Soğutma Sistemleri ve İSİ pompaları Güvenlik ve Çevre Kuralları Bölüm 1: Temel Kavramlar
6	TS EN 378-2	07.11.1995	Soğutma Sistemleri ve İSİ pompaları Güvenlik ve Çevre Kuralları Bölüm 2: Genel Tarifler
7	TS prEN 378-9	28.03.1996	Soğutma Sistemleri ve İSİ pompaları Güvenlik ve Çevre Kuralları Bölüm 9: Soğutucu Akışkamlara Karşı Koruyucu Donamın
8	TS 9340	26.04.1991	İSİ POMPALARI-Mekanik Tahrikli-Sınıflandırma ve Çalışma Eşasları
9	TS 9340 EN 255-1	03.12.1996	İSİ POMPALARI Elektrik enerjisyle Tahrik Edilen Kompresörle Çalışan İstirna veya İstirna /Soğutma Amacıyla Kullanılan Bölüm 1: Terimler Tarifler ve Adlandırma
10	TS 9607	26.11.1991	İSİ POMPALARI-Mekanik Tahrikli-Havadan-Havaya Tip
11	TS 9971	03.10.1992	İSİ POMPALARI-Mekanik Tahrikli-Havadan-Havaya Tip
12	TS prEN 12263	16.12.1997	Soğutma Sistemleri ve İSİ pompaları-Basınçın Sınırlanırılmamasında Kullanılan Emniyet Cihazları ve Tip Deneyler

Tablo 4.2 Su-Hava Isı Pompaları İçin ARI Standartları

	ARI 320 Su Kaynağı		ARI 325 Yeraltı Su Kaynağı		ARI 330 Toprak Kaynaklı Kapalı Serpantin					
	°F	°C	°F	°C	°F	°C				
Giren Su Sıcaklığı (°C)										
Isıtma	70	21,1	50&70	10&21,1	32	0				
Soğutma	85	29,4	50&70	10&21,1	77	25				
Giren Hava Sıcaklığı (°C)										
Isıtma (KT )	70	21,11	70	21,11	70	21,11				
Soğutma(KT /YT)	80/67	26,6/19,4	80/67	26,6/19,4	80/67	26,6/19,4				
Pompa Hatası ( W )	Yok		Gpmx[(PBxΔ)+65] Psi için ΔP PB= 1-4 gpm için 5,0 4-8 gpm için 3.88 8-12 gpm için 2.69		0.8xgpmx(Δh+17) Δh=suyun f' indeki kayıp birim					
ORANLAR: Toplam Soğutma (TS) Btu/h	ETKİNLİK: EER= TSx(IPG+PH)									
Toplam Isıtma (TI) Btu/h	$\beta = \text{TI}x[3.412x(IPG+PH)]$									
Isı Pompası Gicci (IPG) W	Pompa Hatası (PH) W									

bulunan güç değerleri ve kapasite çarpılarak düzeltilebilir. Üçüncü tablo, giren kuru hava  $80^{\circ}\text{F}$  ( $26,66^{\circ}\text{C}$ ) olmadığı zaman giren kuru ve yaş hava değerleri için hissedilir soğutma düzeltme faktörleri listelenir (Giren kuru hava toplam kapasiteyi etkilemez). Tablo 4.4'ün kullanımı aşağıdaki örnekle gösterilmiştir.

**Örnek 2.1.**  $1700 \text{ ft}^3/\text{dak}$  ( $48,13 \text{ m}^3/\text{dak}$ )'luk hacimsel debi, 10 galon/dak ( $\dots\text{kg}/\text{dak}$ ) kütlesel debi,  $85^{\circ}\text{F}$  ( $29,4^{\circ}\text{C}$ ) su giriş sıcaklığı ( $T_{GSS}$ ) ve  $76^{\circ}\text{F}$  ( $24,4^{\circ}\text{C}$ ) yaşı termometre (YT) ve  $63^{\circ}\text{F}$  ( $17,2^{\circ}\text{C}$ ) kuru termometre (KT) sıcaklığı için nominal dört ton için toplam kapasiteyi (TK), hissedilir kapasiteyi (HK), kompresör ve fana gücü (KW), enerji yeterlilik oranını (EER) ve su ısıtma kapasitesini (SIK) bulunuz.

Tablo 4.4'ün üst bölümlerindeki TK, HK, KW ve SIK için değerler bulunur.  $KT=63^{\circ}\text{F}$  için ana sıraya,  $T_{GSS}=85^{\circ}\text{F}$  için yan sıraya ve  $\text{gpm}=10$  için ana sütuna gidin. Bu koşullar için ;

$$TK = 13,3 \text{ kW},$$

$$HS = 11,66 \text{ kW},$$

$$KW = 3.39$$

$$SIK = 1,96 \text{ kW}.$$

Bu sonuçlar  $YT=80^{\circ}\text{F}$  ( $26,6^{\circ}\text{C}$ ) ve  $\text{ft}^3/\text{dak} = 1500$  içindir.  $1700 \text{ ft}^3/\text{dak}$  için TK, HS, KW ve SIK'yı doğrulamak için, Tablonun üçüncü bölümündeki doğrulama faktörleri kullanılmaktadır.

$$TK_{1700} = TK_{1500} \times DF = 45.5 \times 1.02 = 46.4 \text{ kW},$$

$$HK_{1700} = HK_{1500} \times DF = 39.8 \times 1.02 = 42.2 \text{ kW},$$

$$KW_{1700} = KW_{1500} \times DF = 3.39 \times 1.02 = 3.46 \text{ kW}.$$

Hissedilir kapasite, tablo 4.4'ün alt bölümlerinde kullanılarak 76°F (TK ve KW yapılamaz) için düzeltilmelidir. 76°F YT (ve 63°F KT) için, 0.84 doğrulama faktörü uygulanır.

$$HK_{1700,76} = HK_{1700,80} \times DF = 42.2 \times 0.84 = 35.4 \text{ Mbtu/h},$$

EER için;

$$EER = TK + KW = 46.4 + 3.46 = 13.5 \text{ Mbtu/kWh (Btu/Wh gibi)}.$$

Su ısıtma kapasitesi doğrulama bilgisi, bu tabloda üreticiler tarafından sağlanmadı. Mühendisler, kapasitenin, eğer üniteye giren su 80°F'tan daha az (değerlendirilen değer) ise azalacağını ve daha sıcak girerse artacağını farz ettiler. Su ısıtma kapasitesinin yaklaşık büyüklüğünü, normal olarak üretici departmanlarındaki mühendislere danışarak tamamladılar.

Tasarımcılar, sistemi kesin prensibe uydurmayı sağlayarak ilgilenirler. Örneğin soğutmada, ton başına 3gpm (...kg/dak), ton başına 450 ft<sup>3</sup>/dak (12,7 m<sup>3</sup>/dak) veya 85 °F (29,4 °C) T<sub>GSS</sub> olabilir. Tablo 4.5 ve 4.6 değişen tasarım parametreleri için tasarımcılara yardımcı olur. Bazı parametreler, çok kritiktir (T<sub>GSS</sub>); diğerleri sistem performansı üzerine daha az etkilerle ayarlanabilir.

Tablo 4.7, bir üreticinin ısı pompasının nominal performansını listeler.

Tablo 4.3 EPACT Minimum Su-Hava İşi Pompaları Etkinlikleri

Soğutma Kapasitesi	Minimum Soğutma EER	Minimum Isıtma β
Su Kaynağı 65MBtu/h'dan az  65'ten 130MBtu/h'a kadar	<u>9.3@85°F T<sub>GSS</sub></u> <u>10.2@75°F T<sub>GSS</sub></u>  <u>10.5@85°F T<sub>GSS</sub></u>	<u>3.8@70°F T<sub>GSI</sub></u>
Yer altı Su Kaynağı, 135Mbtu/h'dan az	<u>11.0@70°F T<sub>GSS</sub></u> <u>11.5@50°F T<sub>GSS</sub></u>	<u>3.4@70°F T<sub>GSI</sub></u> <u>3.0@50°F T<sub>GSI</sub></u>

Tablo 4.4 Su-Hava Isı pompaları için Performans Tablosu

1500 ft <sup>3</sup> /dak & 80°F YT ile 4 ton Soğutma Performansı															
		12.0 gpm - 5.7 psi ΔP							10.0 gpm - 4.1 psi ΔP						
KT		T <sub>GS</sub>	TSK	HSK	KW	HR	SIK	EER	TSK	HSK	KW	HR	SIK	EER	
67 °F	19.4 °C	55	53.0	35.8	2.49	57.6	3.9	21.2	52.1	35.5	2.55	56.8	4.0	20.4	
		65	51.4	35.2	2.68	54.4	6.1	19.2	50.6	34.8	2.74	53.6	6.3	18.5	
		75	50.3	34.6	2.98	54.0	6.4	16.9	49.4	34.4	3.04	53.1	6.6	16.2	
		85	49.4	34.3	3.39	54.3	6.7	14.9	48.6	34.1	3.48	53.6	6.9	14.0	
		95	48.6	33.9	3.79	54.4	7.1	12.8	47.7	33.7	3.9	53.8	7.2	12.2	
63 °F	17.2 °C	55	49.6	41.6	2.43	54.1	3.8	20.4	48.8	41.3	2.49	53.4	3.9	19.6	
		65	48.1	40.9	2.60	51.1	5.9	18.5	47.7	40.6	2.67	50.4	6.1	17.8	
		75	47.1	40.4	2.89	50.6	6.3	16.3	46.2	40.1	2.96	50.0	6.4	15.6	
		85	46.3	40.0	3.30	50.9	6.6	14.0	45.5	39.8	3.39	50.3	6.7	13.4	
		95	45.3	39.5	3.71	51.2	6.9	12.3	44.8	39.4	3.79	50.6	7.0	11.8	

Hava Akışı için Düzeltme Faktörü					
	Soğutma Faktörü			Isıtma	
ft <sup>3</sup> /dak	TS	HS	KW	GI	KW
1100	0.96	0.86	0.98	0.96	1.06
1300	0.98	0.93	0.99	0.98	1.03
1500	1.00	1.00	1.00	1.00	1.00
1700	1.02	1.06	1.02	1.02	0.96
1900	1.04	1.11	1.03	1.03	0.94

Hissedilir Soğutma Kapasitesi Düzeltme Faktörü							
Giren Havanın Kuru Termometre Sıcaklığı °F							
KT	74	76	78	80	82	84	86
71	-	-	-	1.00	1.08	1.17	1.26
67	-	0.82	0.92	1.00	1.07	1.16	-
63	0.78	0.84	0.93	1.00	-	-	-

Tablo 4.4 -devam

		1500 ft <sup>3</sup> /dak & 80°F YT ile 4 ton Soğutma Performansı											
		12.0 gpm - 5.7 psi ΔP				10.0 gpm - 4.1 psi ΔP							
KT	T <sub>GSS</sub>	TI	IK	KW	I <sub>C</sub>	SIK	β	TI	IK	KW	I <sub>C</sub>	SIK	β
60 °F	25	36.1	34.4	2.68	27.0	3.9	34.8	33.2	2.59	26.0	1.6	3.9	
	35	39.9	36.7	2.82	30.3	4.1	38.6	35.4	2.80	29.1	3.3	4.0	
	45	43.8	38.9	2.95	33.7	4.3	42.4	37.6	2.93	32.4	4.8	4.2	
	55	47.5	42.0	3.09	37.4	4.5	46.4	40.6	3.07	35.9	5.6	4.4	
	65	52.3	45.9	3.17	41.5	4.8	50.6	44.3	3.07	40.1	6.3	4.8	
	75	35.3	33.5	2.91	25.4	3.6	34.1	32.3	2.82	24.5	1.8	3.5	
20 °F	35	39.1	35.6	3.06	28.7	3.7	37.8	34.2	3.04	27.5	3.6	3.6	
	45	42.9	37.5	3.26	31.7	3.8	41.5	36.3	3.15	30.7	5.2	3.8	
	55	47.0	40.6	3.32	35.7	4.1	45.4	39.1	3.29	34.2	6.3	4.0	
	65	51.3	44.4	3.39	39.8	4.4	49.6	42.8	3.35	38.2	6.8	4.3	
B-Etkinlik katsayıısı		KT- Giren yaş hava	HR-İsı çekilmesi		Tİ- Toplam ısı kapasitesi (Hava+Su)		SIK- Su ısı kapasitesi						

T<sub>GSS</sub> – Su giriş sic. KW- Güç (Komp.+Fan) EER- Enerji verimlilik oranı IK-İsı kapasitesi HSK-Hissedilir soğut.kap.

YT-Giren kuru hava I<sub>C</sub>- Isı Çekilmesi TSK- Toplam soğut. Kap.

**Tablo 4.5 Soğutma Modunda 4-ton Isı Pompası için Performans Değişimleri**

Giriş Koşulları	Giriş Değişiklikleri	Yeni TS	Yeni kW	Yeni $\beta$
$T_{GSS}$	↑ 95°F	47.7 (-2%)	3.90 (+12%)	12.8 (-9%)
	↓ 75°F	49.4 (+2%)	3.04 (-13%)	16.3 (+16%)
Su Akışı	8gpm/ton	49.4 (+2%)	3.39 (-3%)	14.6 (+4%)
	2gpm/ton	47.8(+2%)	3.57 (+3%)	13.4 (-4%)
KT(Kuru termometre)	↑ 71°F	51.7 (+6%)	3.57 (+3%)	14.5 (+4%)
	↓ 63°F	45.5 (-6%)	3.39 (-3%)	13.4 (-4%)
Hava Akışı	425 ft³/dak /ton	49.6 (-2%)	3.55 (+2%)	14.0 (0%)
	325 ft³/dak /ton	47.6 (+2%)	3.45 (-1%)	13.8 (-1%)

TS=48.6MBtu/h, kW=3.48, EER=14.0  $T_{GSS}=85^{\circ}\text{F}$ , EAT=80/67°F

Su Akış=10gpm(2.5gpm/ton) Hava Akış=1500 ft³/dak (375 ft³/dak /ton)

**Tablo 4.6 Isıtma Modunda 4-ton Isı Pompası için Performans Değişimi**

Giriş Koşulları	Giriş Değişiklikleri	Yeni TI	Yeni kW	Yeni $\beta$
$T_{GSS}$	↑ 55°F	45.4 (-2%)	3.29 (+12%)	4.0 (+5%)
	↓ 35°F	37.8 (+2%)	3.04 (-13%)	3.6 (-5%)
Su Akışı	43gpm/ton	42.9 (+2%)	3.26 (-3%)	3.8 (0%)
	2gpm/ton	40.1(+2%)	3.14 (+3%)	3.7 (-3%)
YT(Kuru termometre)	↑ 80°F	40.6 (+2%)	3.45 (+2%)	3.5 (-8%)
	↓ 60°F	42.4(+2%)	2.93(+2%)	4.2(+11%)
Hava Akışı	425 ft³/dak /ton	41.9 (-2%)	3.03 (+2%)	4.0 (+7%)
	325 ft³/dak /ton	40.7 (+2%)	3.25 (-1%)	3.7 (-3%)

TI=41.5MBtu/h, kW=3.29,  $\beta=3.8$   $T_{GSS}=45^{\circ}\text{F}$ , EAT=70°F

Su Akış=10gpm(2.5gpm/ton) Hava Akış=1500 ft³/dak (375 ft³/dak /ton)

#### 4.5.3 TKIP Malzemeleri İçin Öneriler

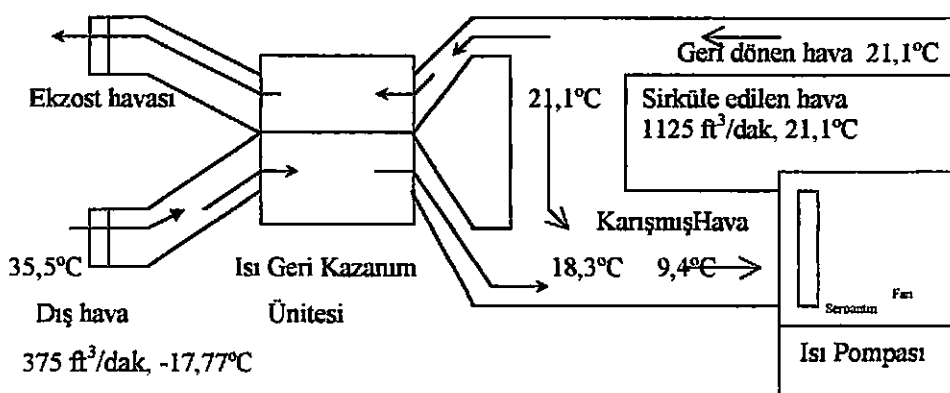
TKIP için önerilen malzeme, geniş bir alana yayılmış olan su hava ısı pompalarının genel kategorisinde yer almaktadır. Bu malzeme, bazı malzemelerin ARI 325-93 ve ARI 320-93 standartı altında değerlendirilmesine rağmen, normal bir şekilde ARI 330-93 standartı altında değerlendirilmektedir. Bununla birlikte, sadece ARI 320 tarafından değerlendirilen malzeme, ısıtmadaki TKIP sıcaklıklarını bu standart tarafından verilen 70 °F (21,11 °C)'tan daha düşük olduğu zaman uygun olmayabilir.

Su "kaynaklı" su ısıtıcıları, su-soğutulmuş soğutma üniteleri ve su-su üniteleri, su hava üniteleri için eşit yeterliliğe veya benzer yoğuşturma ve buharlaştırma sıcaklıklarına sahip olması gerekmektedir.

- Isıtmada 32 °F (0 °C) altında ve soğutmada 100 °F (37,77 °C) üstünde giren sıvı sıcaklıklarını dahil etmek için geniş alan yeteneği,
- 13 Btu/Wh'in minimum ARI 330-93 sınıfı.
- Bu sınıf ile malzeme, SEER=10 Btu/Wh ile bir hava-kaynaklı soğutma ünitelerine eşit yeterlilikte (kompresör, fan, hava serpantin) parçalara sahip olacaktır. Çoklu hızlı veya değişken hızlı üniteler, yüksek hız içinde değerlendirilmek zorundadır (Closed-Loop/Geothermal Heat pump Sytems: Design and Instllation Standarts).
- Soğutma kapasitesinin nominal ton başına 3gpm'de (veya ton başına 2.5 gpm'de suyun 9 ft (2,74 m)'i) suyun 12 ft (3,65m)'nin maksimum su- yanı başlık kaybı.

- Su-isıtma ünitesi (şayet kullanılıyorsa), evaparatore su giriş sıcaklığı  $50^{\circ}\text{F}$  ( $10^{\circ}\text{C}$ ) (toprak çevriminden) ve kondensere su giriş sıcaklığı  $100^{\circ}\text{F}$  ( $37,7^{\circ}\text{C}$ ) (su ısı tankından) ile minimum  $\beta$  3.0 olmalıdır.
- Geleneksel termostatlarla donatılmamış malzeme kullanımından sakınılmalıdır. Bazı üreticiler, markalı dış kontrol gerektiren yazılmış serpantin levhası kullanmaktadır. Bu aletler, malzeme tipleri üzerine çalışan teknikerler için hizmet sunma, diğer üreticilerin kontrolleri ile karşılaşması bakımından zor, yerleştirmesi daha pahalı ve kontrollerin ileride iyileştirmesi açısından zor olabilir.

**Not:** 1995 ARI Direktörü, 20'nin üstünde EER ile iki hız ekipmanı içerir. ARI 330-93'ten düşük kompresör ile yüksek fan hızındaki malzemelerden üreticileri korumadığı için fazla etkilenmemeye dikkat edilmelidir. Eğer bu tarzda çalışılırsa ünite, gerçekçi olmayan yüksek evaporatör serpantin sıcaklıklarına (ve basınçta) sahip olacaktır. Son soğutma kapasitesi, çok düşük olabilir veya hiç olmayıabilir. Isıtma modunda, malzeme,  $100^{\circ}\text{F}$  ( $37,77^{\circ}\text{C}$ ) civarından ziyade  $80^{\circ}\text{F}$  ( $26,66^{\circ}\text{C}$ ) civarlarında hava temin sıcaklıklarına sahip olacaktır.



Şekil 4.4 Hissedilir ısı geri kazanım alma ünitesi ile hava koşulları

**Tablo 4.7 Bir Üreticinin Isıtma ve Soğutma Teknik Özellikleri****(Kapasitesi 2 - 10 ton aralığında olan Su-Hava Isı Pompaları)**

Soğutma-29.44°C T <sub>GSS</sub>		Isıtma-10°F T <sub>GSS</sub>		Sıvı Akuşı	Hava Akuşı	Hd. Kaybı
Mbtu/h	kW	Mbtu/h	kW	Gpm	ft <sup>3</sup> /dak	Ft su
21.2	1.46	20.1	1.41	5	700	11.0
27.6	1.86	25.6	1.85	6	900	5.2
34.4	2.22	30.7	2.17	7	1000	9.1
39.9	2.70	38.2	2.54	8	1300	8.3
46.0	3.22	43.5	3.16	9	1500	12.4
56.2	4.24	55.3	4.17	12	1900	8.0
78.8	5.4	76.4	5.1	16	2600	8.0
93.2	6.4	87.0	6.4	18	3000	12.0
113.0	8.5	110.0	8.4	24	3800	8.0
Ort. EER=14.2		Ort. $\beta=4.05$				

#### 4.5.4 Dış Hava ve Su-Hava Isı Pompası

İç hava kalitesinin (IAQ) iyileştirilmesine yönelik ihtiyacın artması, mühendislerin, binalara taze dış havanın önemli miktarını almalarına sebep olur. Bu çalışma, birçok problemleri sağlıklı bir şekilde azalttığı zaman, enerji tüketimini ve HVAC malzemelerini şiddetli bir şekilde arttırmaya yöneltecektir. Mühendisler için mevcut bazı seçenekler aşağıdadır.

1. İstenen daha geniş yükü çalışıtmak için malzeme ölçüsü artarken dolaşan hava (ve tüketilen bazı geri dönen hava) ile dış hava sırası karıştırılır.
2. Atılan (harcanan) hava ile değişen ısı üniteye geri alınan hissedilir ısı vasıtasyyla dış hava çizilir.

3. Soğutma uygulamalarında, üniteye dönen hissedilir ısının içindeki üniteye dönen toplam ısı kullanılır.
4. Dış hava koşulu için merkezi su-su ısı pompası kullanılır ve sirküle edilen hava ile karışan her bir ısı pompasına dış havayı dağıtilır.
5. Ön koşul (durum dış hava) için geleneksel ısı kaynağını (sıcak su, buhar, elektrik direnci) birleştirilir.
6. Isı boruları (ısı pompası kabineleri için değişiklik gerektirebilir) kullanılır.

Aşağıdaki tartışma, enerji tüketimi, gücü ve ıslı performansı terimlerindeki 1 ila 5'in karşılaştırılmasıdır.

Örnek olarak, dış tasarım sıcaklığının olduğu iklimde yerleştirilen 24 öğrenci ve bir öğretmen tarafından yapılan inceleme sonucu, kışın 0 °F (17,77°C) ve yazın 95 °F (35°C) (kuru termometre sıcaklığı) 175 °F 79,4°C(yaş termometre sıcaklığı) bulunmuştur. ASHRAE Standardı 62, 15 ft<sup>3</sup>/dak.insan (1,759 m<sup>3</sup>/dak.insan) veya 375 ft<sup>3</sup>/dak.insan (10,618 m<sup>3</sup>/dak.insan) dış hava gereklidir.

Karşılaştırmayı amaci için, Tablo 4.4'ün ısı pompası, sınıf için kullanılacaktır. T<sub>GSS</sub> 45 °F (7,2°C) giriş havası 70 °F (21,1°C)'ın 1500 ft<sup>3</sup>/dak (42,474 m<sup>3</sup>/dak.insan) ile 12,15 kW ısıtma kapasitesidir. Isı pompasına giren karışmış hava sıcaklığı yaklaşık olarak aşağıdaki formülden hesaplanır.

$$T_m = \frac{t_r \times Q_r + t_o \times Q_o}{Q_m} = \frac{1125 \text{ ft}^3/\text{dak} \times 70^\circ\text{F} + 375 \text{ ft}^3/\text{dak} \times 0^\circ\text{F}}{1500 \text{ ft}^3/\text{dak}} \quad (4.1)$$

$$T_m = 53^\circ\text{F} = 11,39^\circ\text{C}$$

Bu senaryo, ısı pompasına giren 53 °F havaya izin verecektir. Bu ünitenin kapasitesini % 3 artırırken, çoğu üretici ve tasarımcılar, bu koşullar altında çalışmak için isteksiz olabilir.

Elde edilen hava, sert dış sıcaklıklar esnasında bir hava ısı pompasını andıracaktır. Bu durumda, elde edilen hava sıcaklığı (42,700 Btu/h (12,510 W) Toplam Isıtma (TI) için % 3 artacağı farz edilir.) aşağıdaki gibi olacaktır.

$$T_s = T_m + \frac{TI}{1,1 \times ft^3/dak} = 53°F + \frac{42,700}{1,1 \times 1500} \quad (4.2)$$

$$T_s = 79°F (26°C)$$

Dış hava ayarı için ikinci senaryo, egzost (dışarı atılan) havasında ısı geri kazanımı olacaktır. Bu düzenlemenin basitleştirilmiş diyagramı Şekil 4.4'te gösterilmiştir. İşı geri kazanım üniteleri ile IKÜ (HRU), tipik olarak egzost havası enerjisinin % 80 ila % 60'ını geri kazanılabilir. Bu analizde, tipik değerin % 70 olduğu kabul edilecektir. Geri kazanılan yüzde, (veya yeterlilik) IKÜ içinden geçtikten sonra dış hava sıcaklığını hesaplamak için kullanılacaktır.

$$T_{or} = \eta_{HCU} ( t_r - t_o ) + t_o$$

$$T_{or} = 0.70( 70°F - 0°F ) + 0°F = 49°F (9,4°C) \quad (4.3)$$

Bu sıcaklık, IKÜ kullanıldığı zaman ısı pompasına giren havanın sıcaklığını bulmak için Eşitlik 4.1'de yerine konulabilir.

$$T_m = \frac{1125 \times 70 + 375 \times 49}{1500};$$

$$T_m = 65°F (18,3°C)$$

Denklem 4.2, 65°F EAT (TI, 41,9 Btu/h (12,27 W) için % 1 artacaktır) ile ısı pompası için elde edilen hava sıcaklığını bulmak için uygulandığı zaman, formül, aşağıdaki gibi olacaktır.

$$T_s = 65^{\circ}\text{F} + \frac{41,900 \text{Btu/h}}{1.1 \times 1500 \text{ ft}^3/\text{dak}} = 96^{\circ}\text{F} (35,5^{\circ}\text{C})$$

Böylelikle, hissedilir ısıyı geri kazanım ünitesi, soğuk iklimde, dış hava ihtiyacını karşılamaya çaba gösterildiğinde çok yararlı bir ek olacaktır. Bu seçenek de aşağıdaki malzeme ve kanal maliyeti ilave olarak gereklidir. Ayrıca, fanların enerjisi, IKÜ içinde kayıpları yenmek için harcanmak zorundadır.

Enerjinin yaklaşık miktarı, 2000 ft<sup>3</sup>/dak (56,63 m<sup>3</sup>/dak) IKÜ akıcı bir şekilde mevcut olarak incelenerek bulunabilir. İki 1 hp'lik fan motoru ile donatılmaktadır. Motorun % 80 veriminin olduğu farz edilerek, istenen güç aşağıdaki formülden bulunur.

$$W = \frac{746(\text{W/hp}) \times \text{hp}}{\eta_{\text{motor}}} = \frac{746 \times 2}{0.80} = 1865 \text{ W} \quad (4.4)$$

Bu ünite, 375 ft<sup>3</sup>/dak (10,618 m<sup>3</sup>/dak) dış hava ile beş sınıfından daha fazla çalışacaktır. Enerjinin miktarı, her bir sınıf için aşağıdaki formül ile orantılanabilir. Isının miktarı, dış sıcaklığın, Eşitlik 4.2'nin geri formundan hesaplanan 0 °F (-17,7 °C) olur.

$$\text{W/sınıf} = 375 \text{ ft}^3/\text{dak} / 2000 \text{ ft}^3/\text{dak} \times 1865 \text{ W} = 350 \text{ W}$$

$$q_{\text{HCU}}(\text{Btu/h}) = 1.1 \times \text{ft}^3/\text{dak} \times (t_i - t_o) = 1.1 \times 375 \text{ ft}^3/\text{dak} \times (49^{\circ}\text{F} - 0^{\circ}\text{F}) \quad (4.5)$$

$$q_{\text{HCU}} = 20,200 \text{ Btu/h} (5,918 \text{ W})$$

Yukarıdaki koşullar altında, IKÜ, 17 β (HSBF=58 Btu/Wh)'nin eşdeğer ile çalışır. Hiçbir ısı pompası veya fosil yakıt, ön ısıtma sistemi, hissedilir IKÜ'nün düşük enerji tüketimine denk olmayabilir. Bununla

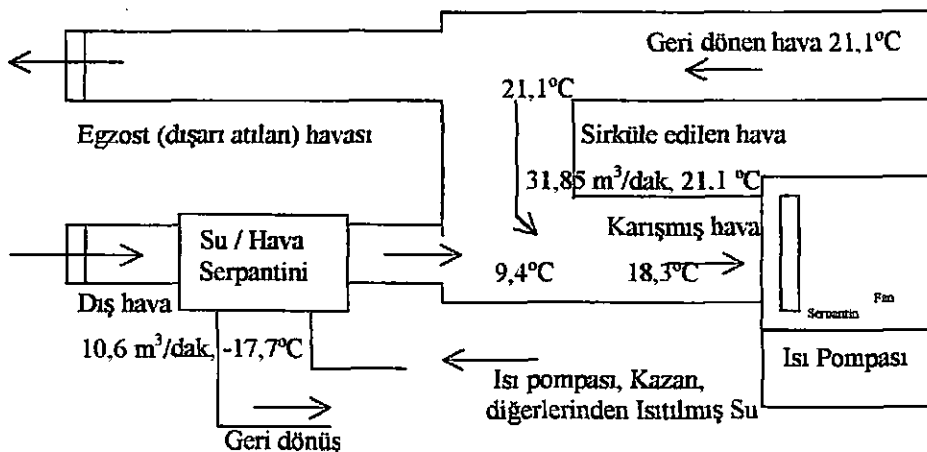
birlikte, dış sıcaklık arttuğu, kapasite azaldığı için sezonluk performans etkili olmayacağındır. (Bu eşitlik içindeki  $T_0$  için daha yüksek değer yerine konularak gösterilebilir.) Böylelikle, hissedilebilir ısı geri alım ünitesi, aşırı dış hava koşulları ile iklimde daha büyük yarar ve ekonomik değer anlamına gelir.

Şekil 4.5'de, önceden hazırlanan dış hava için ek seçenekler sunulmuştur. Isıtma serpantini, dış hava temin kanalına yerleştirilir. En yaygın serpantin tipi, merkezi bir su-su ısı pompası, su-buhar serpantin, gaz su ısıtıcı veya daha basit aletlerden sağlanan sıcak su (antifriz su karışımı) dur. Toprak kaynaklı solüsyonlarda, bir ısı pompası, merkezi toprak çevrimine bağlanmaktadır. Bu ünite (veya üniteler), binanın ısı kaybı, ısı kazancından daha az veya yakın ise, istenen toprak serpantin ölçüsünü etkileyebilir. Bununla birlikte, ısı kaybı, kritik tasarım modunda ise, bu malzeme daha geniş istenen toprak serpantini ile sonuçlanır.

Ön ısıtma serpantin detayları ve ölçülerinin detayları, bu çalışmada tartışılmamıştır. Bununla birlikte, kış tasarım koşullarında kullanılan enerjinin karşılaştırılabilir miktarı incelenmiştir. Tartışılan ilk seçenek, su-su ısı pompası olacaktır.

$\beta$ 'si 3,5 olan bir sistem, iyi bir su-su ısı pompasından beklenmektedir. Eğer bu malzeme, bir önceki örnekteki IKÜ için isının eşdeğer miktarını sağlamak için ise, kış tasarım koşullarında giriş ihtiyaçları:

$$W = \frac{q_{HCU}}{3,412 \times \beta} = \frac{20,200 \text{ Btu/h}}{3,412 \times 3,5} = 1690 \text{ W/sınıf} \quad (4.6)$$



Şekil 4.5 Hidronik serpantin ile Isı geri kazanım

Eğer doğal bir gaz kazan veya su ısıtıcı, dış havayı ön ısıtmak için birleştirilirse, verilen elektrik enerjisi, ısı geri kazanım ünitesinin sınıfı başına yaklaşık 350 W düşecektir. Hidronik serpantin yüzünden basınç kaybı, ısı geri kazanım serpantinlerinden daha az olacağından, fan gücü, daha düşük olacaktır, fakat akışkanı sirküle etmek için kullanılan pompa gücü eklenmektedir. Doğal gazın eklenen maliyeti, % 80 verimli bir ısıtıcı için saat başına yaklaşık 0,25 kalori (100.000 BTU) olacaktır.

$$\text{Therm} = \frac{q_{HCU}}{\eta \times 100,000 \text{ Btu/therm}} = \frac{20,200}{0.80 \times 100,000} = 0.25 \text{ therm} \quad (4.7)$$

1.800 W elektrik yükü (gaz için kalori başına 50 ¢ ve elektrik için kWh başına 7 ¢ bağlı olan)'nın maliyeti karşılaştırılabilir. Fan enerjisi ve pompa enerjisi eklendiği zaman, gaz ile ön ısıtmanın maliyeti etki katsayısı 3,5 olan ısı pompası ile olandan yaklaşık % 25 daha yüksek

olacaktır. Gaz ile ön ısıtmalı ısıyi geri kazanım karşılaştırması, bu örnekte pahalı tasarım koşulları altında yaptığı zaman 6 kat olacaktır. Gaz kazan ve su-su ısı pompası etkinliği, oldukça sabit iken, ısı geri kazanım ünitesinin etkinliği aşırı koşullarda en yüksek olduğu için mevsimlik enerjinin kullanımının ilgili miktarı, çok daha az olacaktır.

Soğutma modunda, dış hava iyileştirmesi eşit bir şekilde önemli olur. Çoğu iklimde, giriş hava kalitesini (IAQ) iyileştirmek için daha yüksek havalandırma oranı, binalardaki nem miktarının artmasından dolayı, karşı verimli olabilir. Bununla birlikte, su-hava ısı pompasının yüksek son soğutma kapasitesini hafifletir. Yüksek etkili hava kaynaklı malzeme için daha geniş bir derece ile bu problemi hafifletir. Aşağıdaki tartışma, ısı geri kazanım üniteleri ile veya ünitesiz kullanılan su-hava ısı pompalarının performanslarını gösterir.

İsı geri kazanım ünitesi, soğutma modundaki birçok uygulama için önerilmiştir. İstenen dış havanın miktarı nispeten yüksek olduğu zaman, bu uygulamaların çoğundaki kritik görünüş nemin çekilmesidir. Çoğu malzeme satıcısı, dış hava akımından ısının yanı sıra nemi aldığından toplam ısı geri kazanım ünitesi kullanımını teşvik eder. Çoğu nem uygulamalarında, eğer malzemenin son soğutma kapasitesi yeterli değilse, ihtiyaç haline gelebilir. Bu, sıklıkla, bazı yüksek etkili hava-soğutma üniteleri ile ilgili bir durumdur. Bununla birlikte, mühendisler çoğu tek hızlı su-hava ısı pompasının son soğutma kapasitesinin, göze çarptığını hatırlatmalıdır ve toplam ısı geri kazanım üniteleri, dış hava ihtiyaçlarını azaltmak için düşük uygulamalarda gereksiz olabilir. Dış hava sıcaklıkları 95/75 °F (35/23,8 °C) olduğu nemli iklimdeki 375 ft<sup>3</sup>/dak (10,6 m<sup>3</sup>/dak)'lık dış havayı gerektiren sınıflandırmayı

inceleyelim. Bu ölçü sınıflaması için, aydınlatma ve bina kaplamasının hissedilir ısı kazancı için tipik değerler, sırasıyla 7000 Btu/h (2051 W) ve 12000 Btu/h (3515 W)'dır.

Normal sınıf koşulları altında, her bir öğrenci, son ısının 155 Btu/h (45,4 W)'nı veya eğer öğrenciler çok aktifse yaklaşık 200 Btu/h (58,5 W)'nı üreticektir (ANSI/ASHRAE Standart 62-89,1989). Hissedilir ısının insan başına eklenilen 250 Btu/h (73,2 W), üretilmektedir.

**Tipik durum farzedilerek;**

$$q_1 = 25 \text{ insan} \times 155 = 3875 \text{ Btu/h (1135 W)}$$

$$q_1 = 25 \text{ insan} \times 250 = 6250 \text{ Btu/h (1831 W)}$$

Diş hava (hiçbir ısı geri kazanımı farz ederek ısıyı geri kazanım olmaksızın)'nın ısı kazancını hesaplamak için eşitlikler 1993 ASHRAE El kitabı- temellerinden sağlanabilir.

$$q_l = 4840Q_o (W_o - W_i) = 4840 \times 375 \text{ ft}^3/\text{dak} \times (0,0142-0,0096)\text{lb}_w/\text{lb}_a = 8350 \text{ Btu/h (2446 W)}$$

$$q_s = 1,08Q_o(t_o - t_i) = 1,08 \times 375 \text{ ft}^3/\text{dak} \times (95^\circ\text{F}-75^\circ\text{F})$$

$$q_s = 8100 \text{ Btu/h (2373 W)}$$

Toplam son kapasite, her iki kaynaktan 12,225 Btu/h (3581 W) olur. Hissedilir ısı ihtiyacı, 5600 Btu/h (1640 W)'lık toplam soğutma yükünü vermek için eklenmeyele 33,350 Btu/h (9771 W) elde edilecektir. Hissedilir, istenen hissedilebilir ısı oranını (HIO) bulmak için toplama bölünür.

$$\text{HIO} = 33350 / 45699 = 0.73$$

Tablo 4.8 Tipik bir sınıfta dış havayı ön ısıtmak için saatlik enerji ve maliyet ( $375 \text{ ft}^3/\text{dak}$  ( $10,6 \text{ m}^3/\text{dak}$ ),  $0 \rightarrow 49^\circ\text{F}$  ( $-17,7 \rightarrow 9,4^\circ\text{C}$ ))

Ünite Tipi	Eff(%) veya $\beta$	kWh	Therm	Maliyet
Hissedilir ısı geri kazanım ünitesi	70%	0,35	-	2,5¢
Su-hava ısı pompası	3,5	1,70	-	12,0¢
Su-su ısı pompası	3,5	1,70	-	12,0¢
Doğal gazlı ısıtıcı	80%	0,35	0,25	15,0¢

\*Elektrik için 7¢/kWh ve doğal gaz için 50¢/therm'e bağlı.

Toplam ve son soğutma ihtiyaçlarını karşılaştırmak için bir ünite seçilmelidir. Nemli iklimlerde, sıkılıkla, bu, IG yükünden daha düşük veya eşit bir HIG ile emniyetli seçilen bir ünitedir.

$375 \text{ ft}^3/\text{dak}$  ( $10,6 \text{ m}^3/\text{dak}$ )'lık dış hava öncelikle kullanılan 4-ton- ısı pompasının  $1125 \text{ ft}^3/\text{dak}$  ( $31,85 \text{ m}^3/\text{dak}$ )'lık geri dönen havası ile karşılaşıldığında, ünitede giren hava,  $80^\circ\text{F}/67^\circ\text{F}$  ( $25/19,4^\circ\text{C}$ )'ta olacaktır. Tablo 4.4'den (giren suyu  $85^\circ\text{F}$  ( $29,4^\circ\text{C}$ ) ve 10 gpm'de farz ederek ) toplam soğutma kapasitesi,  $48600 \text{ Btu/h}$  ( $14239 \text{ W}$ ) ve hissedilir  $34100 \text{ Btu/h}$  ( $9991 \text{ W}$ ) ( $\text{HIG}=0.70$ ) olacaktır. Bundan dolayı, son kapasite, oda ihtiyaçlarından daha büyük ve HIG, ihtiyaçlardan daha düşük olacaktır. Böylelikle, su-hava ısı pompası, toplam ısı geri kazanım ünitesi kullanımını olmaksızın tasarım koşullarında nem çekme ihtiyaçlarıyla karşılaşacaktır.

Eğer daha büyük nem çekme arzu edilirse, ilk alternatif, pahalı IKÜ eklenmeden önce malzeme içinden hava akışını azaltmaktadır. Eğer ısı pompası hava akışı,  $1300 \text{ ft}^3/\text{dak}$  ( $36,8 \text{ m}^3/\text{dak}$ )'e azaltılırsa, son kapasite,  $15200 \text{ Btu/h}$ 'a artacak ve hissedilir ısı oranı,  $1500 \text{ ft}^3/\text{dak}$  ( $42,4 \text{ m}^3/\text{dak}$ )'de 0.70 ile karşılaştırılan 0.68'e düşecektir. %70 verimli hissedilir ısı geri kazanım eki, nem oranında ( $W_b$ ) değişiklik olmaksızın

dış hava sıcaklığını  $81^{\circ}\text{F}$ 'a düşürür. IKÜ, hava akımından 5.8 Btu/h (1,69 W) alacaktır ve sistemin (IKÜ+ısı pompası) toplam soğutma kapasitesi, 52.9 Mbtu/h(15,49 kW)'a artacaktır. Hiçbir ısı geri kazanım, hissedilir IKÜ'nde oluşmamasına rağmen, ısı pompasının son kapasitesi, üniteye giren karışmış hava sıcaklığı, çok daha nemli ( $76^{\circ}\text{F}/65^{\circ}\text{F}$ ) ( $/18,3^{\circ}\text{C}$ ) olacağından dolayı, 16.4Mbtu/h'a artacaktır.

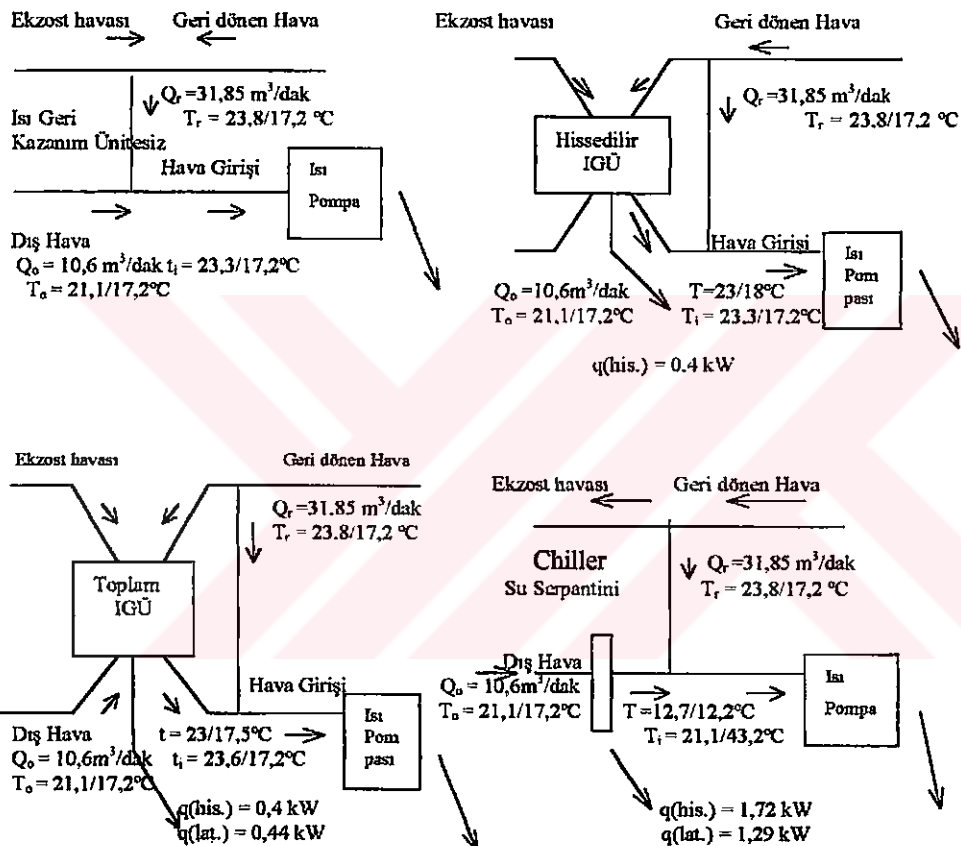
**Tablo 4.9 Havalandırma Hava Isı Geri kazanım Ünitesi ile veya Ünitesiz Yüksek Nem Tasarım Koşullarında Su-Hava Isı Pompalarının Soğutma Performansı**

	Toplam Kapasite MBtu/h-kW	Son Kapasite MBtu/h-kW		Toplam Güç kW	Hissedilir Isı Oranı
Sınıf ihtiyaçları	46,7	13,7	13,5	3,9	0,71
4 Ton Ünite @ $1500 \text{ ft}^3/\text{dak}$	48,6	14,2	14,5	4,2	0,70
4 Ton Ünite @ $1300 \text{ ft}^3/\text{dak}$	47,6	13,9	15,2	4,4	0,68
4 Ton Ünite + Hissedilir IKÜ	52,9	15,5	16,4	4,8	0,69
4 Ton Ünite+Toplam IKÜ	59,5	17,4	21,6	6,3	0,64
3 Ton Ünite+ $1.0\text{ft}^2, 8\text{fpi}, 4$ Sıra Serpantin	51,4	15	17,2	5	0,67

Toplam ısı geri kazanım ünitesi kullanımında, eğer eklenmiş son kapasite, gerekli ise, kapasite daha fazla artacaktır. % 70 hissedilir ve % 60 son verime sahip IKÜ'si, üniteye giren hava sıcaklığını  $75/64^{\circ}\text{F}$  ( $23,8/17,7^{\circ}\text{C}$ )'a azaltacaktır. Toplam sistem kapasitesi, 59.5 MBtu/h'a iyileşecekt ve son kapasite, 21.6 MBtu/h olacaktır.

Tam yükte bir diğer verim seçeneği, ısı pompasını üç tona düşürmek, ve dış hava yükünü çalıştırılmak için soğutma suyu serpantinini eklemek. Bu analizde kullanılan serpantin, 4-sıra, 8fpi, 45 °F soğutulmuş

su ile  $1\text{ft}^2$  ( $0,0929 \text{ m}^2$ ) (ısı pompasından)dir. Bununla birlikte, bu düzenlemeye toplam ısı geri kazanım ünitesi dahil üstteki seçeneklerin herhangi birinden yük parçasındaki kabul edilebilir nem seviyesini sürdürmede daha etkilidir.



Şekil 4.6 Kısım-yük soğutmada dış hava önköşul seçeneklerini karşılaştırır.

Nem alma kapasitesi tam yükle ilgili olarak tüm beş seçenekte de kabul edilebilir olduğuna dikkat edilmelidir.

Yüksek nem problemleri kısmi yükte daha fazla olduğunda binalar yüksek yük duyarlılığına sahip değildir. Eğer (kişilerden ve dış tavandan gelen) son yük yüksekse hissedilir yüklerle karşılaşılabilir, düşük ekipmanlı HIG, gereklidir. Dış ortam  $70^{\circ}\text{F}$  ( $21,1^{\circ}\text{C}$ ) ve % 70 bağıl nemde olduğunda sınıf incelendi. Dahili yükler (kişiler ve aydınlatma) aynı olacaktır, binadan net kazanımın sıfır olduğu farz edilebilir ve geri kalan dış hava ihtiyacı  $375 \text{ ft}^3/\text{dak}$  ( $10,6\text{m}^3/\text{dak}$ )'dır.

Bağıl nem yüksek olsa bile, havadaki nem miktarı tasarım koşullarından düşüktür. Dış havaya bağlı son yük,  $2500 \text{ Btu/h}$  ( $732,4 \text{ W}$ )'tir, fakat dış hava, tüketilmiş bina havasından daha soğuk olduğu için, hava gerçekten ısıtılmış olur ( $2,000 \text{ Btu/h}$  ile). Toplam oda ihtiyaçları,  $0.60 \text{ HIG}$  ile  $18.8 \text{ Mbtu/h}$  ( $5,5 \text{ kW}$ )'tir.

Eğer ısı pompası, herhangi bir ısı geri kazanım ünitesi olmaksızın kullanılıyorsa, son kapasite, tam yük koşullarından sadece zayıf bir şekilde değişmektedir. Toplam kapasite, son ihtiyaç için çok yüksek olan  $0.68 \text{ HIG}$  ile  $45.5 \text{ Mbtu/h}$  ( $13,3 \text{ kW}$ )'dır. Malzeme, yüksek nem problemini zorlaştırmaya eğilimli olan sınıflamanın  $18.8 \text{ Mbtu/h}$  ( $5,5 \text{ kW}$ )'ıyla karşılaşmak için bir devir yapar. ( bir serpantinden geçer. )

Tipik reaksiyon, toplam IKÜ'ni birleştirmek için olacaktır. Bununla birlikte, malzemenin etkinliği, tüketilen ve havalandırma hava akımı arasındaki spesifik nem içindeki fark oldukça küçük olduğu için hissedilir, IKÜ ile de aynıdır. Bu, nem değişimi (bağıl nem değil) için süren kuvvettir ve nem alma kapasitesi küçüktür. Kısmi yük koşulları üstünde, toplam ısı geri kazanım ünitesi ile sistem, ikisi birden su-hava ısı pompası ile birleşmede kullanıldığından hissedilir geri kazanım ünitesi ile olandan daha etkili olmayacağıdır. Kısmi yükünde (part-load) daha

etkili seçenek, soğutma suyu serpantinleri ile havalandırma hava akımından nemi geri almaktadır.

Tablo 4.10, 45°F soğutma suyu (ısı pompasından) ile 1 ft<sup>2</sup> serpantin 8 fpi, 4-sıra kullanılarak psikrometrik analizin sonuçlarını içerir. Serpantinin HIG, oda ihtiyaçlarına daha yakın olduğunda net 0.62 HIG ile sonuçlan 3 ton ısı pompası çevrimi ile birleştiğinde 0.58 olur. Tam yük analizinde gösterildiği gibi, dış hava serpantinlerine eklenmiş kapasite, oda yükü ile karşılaşlığı için ısı pompası notu daha küçük olur. Tablo 4.10'da, hava koşulları, akış oranı ve dört farklı seçenek için ısı akımı gösterilmektedir.

**Tablo 4.10 Havalandırma Hava Isı Geri Kazanım Üniteleri olması veya Olmaması Durumunda Yüksek Nemli Kısmi-Yük Koşullarında Su-Hava Isı Pompalarının Soğutma Performansı**

	Toplam Kapasite <sup>1</sup> Mbtu/h-kW	Isı Pompası Son Kapasite	Son Kapasite IKÜ/OA Serpantin	Hissedilir Isı Oranı
Sınıf İhtiyaçları	18.8	5.5	7.5	0.60
4 Ton Ünite@ 1500 ft <sup>3</sup> /dak	18.8	5.5	6.0	-
4 Ton Ünite + Hissedilir IKÜ	18.8	5.5	6.4	-
4 Ton Ünite+Toplam IKÜ	18.8	5.5	4.9	1.5
4 Ton Ünite+1.0ft <sup>2</sup> ,8fpi,4 Sıra Serpantin	18.8	5.5	2.9	4.3

<sup>1</sup> ısı pompalarının toplam kapasite sürekli ısı geri kazanım ünitesi

(veya dış hava serpantin ) ve çevrim çalışması

#### **4.6 Soğutucu Akışkanlar**

Bir ısıtma veya soğutma sistemi tasarlarken kullanılabilen birçok aracı akışkan vardır. Bunlar arasında Freonlar veya

kloroflorokarbonlar (CFC), amonyak, propan, etan etilen gibi hidrokarbonlar ve karbon dioksit sayılabilir.

Soğutucu akışkanlar, toksite ve tutuşurluk özelliklerine göre 3 grupta sınıflanır.

- 1.grup: R11, R22, R12, R502, R500, R503, R744(CO<sub>2</sub>); En güvenli soğutuculardır.
- 2.grup: R717 (Amonyak), R40 (Metilklorit), R764 (Sülfirdioksit); Toksik özellikte ve bir şekilde yanıcı.
- 3.grup: R600 (Bütan), R290 (Propan); Yanıcı.

**Tablo 4.11 ulusal Soğutucu Akışkan Emniyet Kodu**

Soğutucu Akışkan	NRSC Grup	Toksisite/NBFU-sınıflandırma
R11	1	6
R12	1	6
R22	1	5
R500	1	6
R502	1	6
R503	1	6
R744	1	5
R717	2	2

NRSC- National Refrigerant Safety Code. 6- en çok 1- en az

Endüstriyel ve ticari kesimlerde, zehirleyici olmasına karşın, amonyak yaygın olarak kullanılmıştır. Amonyağın iyi tarafları arasında, ucuzluğu, daha yüksek etkinlik katsayılarına olanak sağlama ve bu nedenle işletim giderlerinin az olması, termodinamik ve ısı geçişinin üstünlüğü, buna bağlı olarak daha küçük ve ucuz ısı değiştiricileri gerektirmesi, sızma durumunda kolayca belirlenmesi ve ozon tabakasına zarar vermemesi sayılabilir. Fakat amonyağın zehirleyici olması kullanımını kısıtlayıcı bir unsurdur (Yusuf Çengel).

Tablo 4.12 Soğutucu akışkanlarının uygulama alanları

Kaynama noktası °C. 1 atm.	Soğutucu Akışkan		Uygulama
48	R113	Yüksek sic.	Ticari ve endüstriyel iklimlendirme ve soğutmalar için, düşük kapasiteli santrifüj ünitelerde kullanılır. Çok düşük basınçlarda ve yüksek gaz hacimlerinde çalışırlar. Ticari chiller. (R113'ten daha yüksek sistem basınç ve kapasitede)
24	R11		Düşük sıcaklıklı sistemlerde ikinci soğutucu olarak kullanılır.
4	R114		
-30	R12	Orta sic.	Bazı ticari chiller, hareketli soğutma, ticari buzdolapları, buz yapıcılar, otomobil iklimlendirme.
-33	R500		Bazı ticari chiller .
-41	R22		Büyük sanayi chillerler, buz makinaları, direkt genleşmeli üniteler, ısı pompaları, ev ve ticari tipte soğutma sistemleri.R12'den daha yüksek basınçlarda kullanılır.
-46	R502		Ticari soğutmalar(süpermarket freezer,soğuk oda....). R22'dendaha düşük kompresör emme sıcaklığında çalışır. Daha düşük kompresyon oranı ve emme sıcaklıklar ile daha yüksek kapasite temin eder.
-58	R13B1		Bir veya iki kademeli kompresyon uygulamalarında kullanılır.
-78	R116	Düşük sic.	Düşük sıcaklık uygulamalarında.
-82	R13		Kaskad soğutma sistemlerinin düşük sıcaklık kademesinde (-73°C gibi) düşük evaporatör sıcaklıklarının üretiminde kullanılır.
-89	R503		Bir azeotoptur. (R23 ve R13). Birinci kademede R502, R12 ve R22 ile çalışan kaskad sistemin ikinci kademesinde düşük sıcaklık kabiliyetini ve kompresör kapasitesini iyileştirmek üzere kullanılır.
-128	R14		Üçlü cascade sisteminin 3.kademesindeki evaporatör sıcaklığının (-129)'a kadar indirildiği eksonel kompresörler ile kullanılır.

#### 4.6.1 Fiziksel özellikler

Tablo 4.13'de, artan kaynama sıcaklıklarına göre soğutucu akışkanlarının, fiziksel özellikleri gösterilmiştir (Hepbaşlı, 1987).

Tablo 4.13 Soğutucu akışkanlarının fiziksel özelliklerı

Freone	Kimyasal Formülü	Donma sıcaklığı °C	Kaynama sıcaklığı °C	Kritik sıcaklık °C	Kritik basınç bar
13B1	CBrF <sub>3</sub>	-168	-57,8	67,0	39,8
502	1)	-160	-45,6	82,2	40,8
22	CHClF <sub>2</sub>	-160	-40,8	96,2	49,9
115	C <sub>2</sub> ClF <sub>5</sub>	-106	-38,0	80,0	31,3
500	2)	-159	-33,5	105,5	44,3
12	CCl <sub>2</sub> F <sub>2</sub>	-158	-29,8	112,0	41,6
12B1	CBrClF <sub>2</sub>	-161	-3,7	154,6	41,2
114	C <sub>2</sub> ClF <sub>4</sub>	-94	3,6	145,7	32,6
11	CCl <sub>3</sub> F	-111	23,8	198,0	44,0
113	C <sub>2</sub> Cl <sub>3</sub> F <sub>3</sub>	-35	47,6	214,1	34,1
1) %48,8 CHClF <sub>2</sub> ( Kütlesel )			2) %73,8 CCl <sub>2</sub> F <sub>2</sub> ( Kütlesel )		
%51,2 C <sub>2</sub> ClF <sub>5</sub> ( Kütlesel )			%26,2 C <sub>2</sub> H <sub>4</sub> F <sub>5</sub> ( Kütlesel )		

#### 4.6.1.1 Donma Sıcaklığı

Çoğu ısı pompaları düşük basınç aralığında çalıştırılmadığı için, genelde donma sıcaklığı ısı pompalarının projelendirilmesi için bir anlam ifade etmemektedir. Sadece özel kullanımlarda yüksek bir donma sıcaklığı (örneğin R113'de 35 °C) gerekmektedir.

#### 4.6.1.2 Kaynama Sıcaklığı ve Kritik Nokta

Buhar basınç eğrilerinin bu her iki noktalarıyla ısı pompaları için çevrim akışkanı şimdiden güvenli bir kullanma sahasında koordine edilebilir. Çünkü tesisin sıcaklık aralığıyla kaynama sıcaklığının (çevre basıncında) üstünde ve kritik sıcaklığın altında kalmak denilebilir.

#### 4.6.3 Çevresel Etkileri

CFC'lar kimyasal olarak bir hayli kararlı olmalarına karşın, strosferde kuvvetli radyasyon etkisi ile kimyasal olarak ayrışmaktadır ve klorin atomu açığa çıkmaktadır. Bilindiği gibi CFC'ların atmosferik yaşam süreleri oldukça yüksektir. Çünkü bunlar strosfere ulaşınca

kadar uzun süre bozulmazlar. Açıga çıkan klorin atomu ozon molekülü ile reaksiyona girmekte ve klorin monoksit ve oksijen açıga çıkmaktadır. Klorin monoksit tekrar ayrışarak yeni bir ozon molekülü ile reaksiyona girebilecek klorin atomu açıga çıkmaktadır. Bunun neticesinde strosferdeki ozon tabakası tahrip olmaktadır. CFC'ların ozon tabakasına bu şekilde zarar vererek mor ötesi ışınların geçmesini kolaylaştırdıkları ve kırmızı ışınların geçmesini engelledikleri belirlenmiştir. Böylece CFC'lerin atmosferin sera etkisine ve yeryüzünün ısınmasına katkıda bulundukları anlaşılmıştır (Çengel). 1987 yılında Birleşmiş Milletler tarafından soğutucu akışkanların ozon tabakasına etkisini belirlemek ve bu hususta alınacak önlemleri oluşturmak amacıyla Montreal'de bir toplantı düzenlendi. Bu toplantı neticesinde Bugün Montreal Protokolü olarak adlandırılan belge oluşturuldu. Bugün itibarı ile bu gazların ODP (Ozon Tahribat Potansiyeli) ve GWP (Global Isınma Potansiyeli)'leri ve Montreal protokolü ve Kopenhag Revizyonuna göre getirilen sınırlamalar aşağıdaki gibidir (Kalataş, 1995).

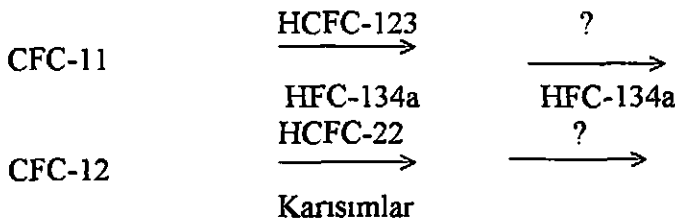
Akışkan	ODP	GWP
CFC-11	1.00	1.00
CFC-12	1.00	3.05
HCFC-22	0.05	0.37
HCFC-123	0.05	0.02
HCFC-134a	0.00	0.29

ODP: Ozone Depletion Potential – İzafî ozon tahribat potansiyeli

GWP: Global Warming Potential – Global ısınma potansiyeli

#### 4.6.4 Alternatif Soğutucu Akışkanlar

Alternatif akışkanlar açısından şu andaki durum şudur;



Ozon tabakasına en büyük zararı R-11, R-12 ve R115 verirken, R-22'nin verdiği zarar R-12'nin % 5'i kadardır. R-22 pencere tipi iklimlendirme sistemlerinde, ısı pompalarında, büyük binaların soğutma sistemlerinde kullanılmakta ve amonyakla yarışmaktadır. Yeni geliştirilen R134a'nın R-12'in yerini alması beklenmektedir. R-502, R-115 ve R-22'nin bir karışımıdır (Yusuf Çengel).

Soğutmada kullanılan freon gazlarını 4 grupta toplayabiliriz;

CFC'ler : Freon 11, 12, ve 502

HCFC'ler : Freon 22 ve 23

HFC'ler : Freon 134a, 32 ve 25

KARIŞIMLAR : 134a, 32 ve 125 gazlarının çeşitli yüzdelerle karışımı.

CFC gazları ODP değeri 1.00 olan 1995 yılına kadar yasaklanması kesinleşmiş olan gazlardır. Yoğun kullanımları düşük basınçlı santrifüj makineleridir.

HCFC'ler ODP değeri 0.02-0.05 olan, uluslararası anlaşmalarla 2020 yılına kadar kademeli olarak yasaklanmasına karar verilen, Dünya çapında soğutmada kullanılan gazların % 99'unu oluşturan (R 22 olarak), hemen her türlü kompresörde kullanılan gazlardır.

HFC gazları chlorine sahip olmayan florokarbon grubundadır. Bu nedenle ODP değeri 0.0'dır. özellikle CFC gazlarının yerine yapılan bu gazlar, çeşitli uyumsuzlukları nedeniyle hiçbir zaman sadece gaz değişimi ile çözümlenemezler. Ancak sistem tasarımlı bu gazlara göre yapılira, hem eski, hem de yeni gazi kullanabilirler.

Karışımalar (Blends) birden fazla gazdan oluşan, ancak tek gaz halini alan yeni karışım gazlardır. ODP değerleri 0.0 olduğundan iptalleri söz konusu değildir. CFC, HCFC ve HFC gazları yerine kullanılmak üzere geliştirilmektedir.

Tüm HFC ve karışım gazları kompresörlerin kapasite ve tiplerine göre ( pistonlu, vidalı, santrifüj ) farklı sonuçlar verir. Bütün gazlar, her kapasitede, çözüm olacak tek bir gaz mevcut değildir. Birçoğu için araştırmalar halen devam etmektedir. Bu yeni gazların karışım olmaları nedeni ile ıslı-basınç dengeleri ve reaksiyonları sabit değildir, ufak değişiklikler büyük farklar gösterebilir. Kullandıkları yağ polyester tarzı, higroskopik bir yağıdır. Kullanımı ve bakımı normal yazlara göre daha çok özen gerektirir. Yeni olmaları nedeniyle bu gazlar ve beraberinde kullanılan yağların temini zor ve pahalıdır.

Freon 11 ve 12 ile bugün soğutma cihazı teklifi almak bile yanlıştır. Freon 134a ve diğer yeni gazlar, kapasite ve kullanımlarına göre profesyonel bir değerlendirme gerektirir. Freon 134a hiçbir şekilde Freon 22'nin veya tüm gazların alternatifidir, sadece Freon 12 alternatif olarak imal edilmiştir. Freon 22 ise halen tüm firmaların cihaz sattığı, kolaylıkla bulunan, yağı ve kullanımını en iyi şekilde bilinen en ekonomik gazdır. Ayrıca, Freon 22 gazı diğer 12 ve 134a gazlarına göre kompresörlerde daha yüksek verim sağlamaktadır (Korun, 1995).

Alternatif akışkanlardan beklenen özellikler :

- Zararlı etkilerinin minimum düzeyde olması
- Eşdeğer buhar basınçları
- Artan soğutma kapasitesi ve performans katsayısı
- Termal iletkenlik, vizkozite, çözünürlük gibi fiziksel özelliklerinin iyi olması
- Eşdeğer termodinamik özellikler
- Toksisite ve tutuşurluğu olmaması
- Yüksek sıcaklıklarda stabil olması
- Çevresel kabul edilebilirlik
- Düşük fiyat, ekonomiklik

#### **4.6.4.1 R-134a Soğutucu Akışkan**

Soğutma çevriminde şu an en çok kullanılan R-12'nin alternatifi R134a'dır. R134a'nın içinde hiç klor atomu bulunmamaktadır. Dolayısıyla, ODP=0'dır. Atmosferik ömrü oldukça kısadır ve soğutma sisteminin dışına çıktıktan sonra stratosfere ulaşamadan bozulacaktır.

Her iki akışkanın kritik değerlerinin birbirine çok yakın olmasından dolayı birbirinin yerine rahatlıkla kullanılacaktır.

R-134a, tutuşturma özelliğine sahiptir. Yapılan testlere göre emniyetlidir ve zehirsizdir. R-134a'nın kaynama sıcaklığı R-12'ye göre biraz daha yüksektir. R-12'den 10 kez daha az ve R-22'den ise çok daha düşük sera etkisi vardır. Artı basınçlı bir akışkan olduğundan geri kazanım sistemi gerektirmez.

R-12 veya R500 yerine R134a kullanıldığında, performansı korumak veya artırmak için chiller'lerdeki donanım bileşenlerinin değiştirilmesi gerekebilir.

**Tablo 4.14 R 12 ile R 134a'nın karşılaştırılması**

	R 134a	R 12	birim
<b>Formül</b>	$\text{CF}_3\text{CH}_2\text{F}$	$\text{CCl}_2\text{F}_2$	
<b>Molekül Ağırlığı</b>	102.0	120.0	
<b>Kaynama Sic. (1 atm.)</b>	-26.5	-29.8	°C
<b>Buhar Basıncı (20°C)</b>	572	567	kPa
<b>Buharlaşma Isisi (0°C)</b>	197.3	152.4	kJ/kg
<b>Yoğunluğu (80°F=27°C)</b>	1201	1305	kg/m³
<b>Kritik sıcaklık</b>	101	112	°C
<b>Kritik basınç</b>	4046	4113	kPa
<b>Kritik hacim</b>	1.962	1.792	dm³/kg
<b>Yanabilirlik</b>	Yanmaz	Yanmaz	
<b>Zehirlilik</b>	Değil	Değil	
<b>Klor Atomu</b>	0	2	
<b>Klor Ağırhık</b>	0	0.69	
<b>Atmosferik Ömür</b>	20	120	yıl

#### **4.6.4.2 R-123 Soğutucu Aışkan**

Termodinamik özellikleri bakımından R 11 'e benzemesinden dolayı tüm endüstride çok iyimser yaklaşımlar olmuş ve bu refrijanın R 11 yerine kullanılması planlanmıştır. Fakat, bu çeşitli uygulama problemleri gündeme getirmiştir.

Daha düşük akut zehirlilik seviyesine sahiptir. Tavsiye edilen maksimum R 123 konsantrasyonu ekstra emniyet tedbirlerini gerekli kılmaktadır ( ASHRAE Journal, 1992 ).

Ozon tabakasındaki tahrif açısından ve küresel ısınma potansiyelinde bir düşüş sunmaktadır. R-123'ün ODP değeri 0,02'dir.

R 123 de R 11 gibi eksi basınçlı bir akışkandır ve soğutma gruplarında “havasını alma” sisteminin kullanılmasını gerekli kılmaktadır.

Tablo 4.15 R 11 ile R 123’ün karşılaştırılması

	R 123	R 11	birim
Formül	$\text{CHCl}_2\text{CF}_3$	$\text{CCl}_3\text{F}$	
Molekul Ağırlığı	152.9	137.4	
Kaynama Sic. (1 atm.)	27.9	23.8	°C
Buhar Basıncı (20°C)	75	89	kPa
Buharlaşma Isısı (0°C)	181.8	190.6	kJ/kg
Kritik sıcaklık	184	198	°C
Kritik basınç	3732	4406	kPa
Kritik hacim	1.804	1.804	$\text{dm}^3/\text{kg}$
Yanabilirlik	Yanmaz	Yanmaz	
Zehirlilik	Daha Az	Daha Fazla	
Klor Atomu	2	3	
Klor Ağırlık	0.46	0.78	
Atmosferik Ömür	201-4	65	yıl

R 123 agresif bir solventtir ve makine contalarında tahribata sebep olmaktadır. R 123 ile çalışmaya en uygun conta malzemesi olan asbestin birçok binalarda kullanımı yasaktır.

R 123 kullanımı ile gerçek verim R 11’den % 5 oranında daha düşüktür ve ideal çevrim için hesaplanan % 3'lük değer yerine % 20'lik bir kapasite düşüşü vardır.

R 11’e oranla R 123 kullanımı hem ozon tabasındaki tahrif açısından hem de küresel ısınma potansiyelinde bir düşüş sunmaktadır.

Amonyak ve propan karışımlarının çok daha geniş kullanım alanları araştırılmaktadır. Özellikle insandan izole soğutma teçhizatlarında ve Chiller’lerde bunların kullanımı söz konusudur.

Örnek verecek olursak; Amonyak mükemmel termodinamik özelliklere sahiptir. 14.696 psia'daki -28°F'lık kaynama noktası bir çok soğutma uygulamalarında pozitif buharlaşma basıncı izin vermektedir.

271.4 °F (133 °C) olan yüksek kritik sıcaklık ve -108°F (-77 °C) olan düşük donma sıcaklığının olması, Amonyağın çok geniş sıcaklık aralığında kullanılmasını mümkün kılmaktadır.

Amonyağın yüksek buharlaşma gizli ısısı, soğutucu için yüksek soğutma etkisini oluşturmaktadır. Isı değiştirgecinden gereken yüzey alanının azaltılmasını sağlayan mükemmel ısı transfer karakteristiğine sahiptir. Ayrıca Amonyak teminindeki kolaylık ve maliyetin ucuz olması, onun hala tutulan bir soğutucu olmasının başlıca nedenidir.

Amonyaklı sistemler ısı değiştirgecinde ve boru donanımında alüminyumun bazı özel alaşımalarını kullanabilirler. Amonyak bakır ve bazı tip alüminyumlarla reaksiyona girdiğinde, alüminyumun reaktif olmayan alaşımaları kullanılabilir. Fakat bakır kullanılmaz.

Küçük kapasitelerdeki NH<sub>3</sub> /H<sub>2</sub>O ve büyük boyutlardaki H<sub>2</sub>O/LiBr absorbsiyon Chiller'ler yillardır kullanılmaktadır.

#### **4.6.4.3 Diğer Alternatif Soğutucu Akuşkanlar**

R 123 ve R 134a'dan başka HCFC'lara en çok alternatif olma umidi veren soğutucu akışkanlar şunlardır.

R 32, R 143a, R 152a, R 125 ve klor içeriği çok düşük olan R 124 ve R 142b'dir.

Her ne kadar bazıları tutuşma özelliğine sahip olsalar da (R 32, R 143a ve R 152a gibi), bunlar diğer tutuşmazlık özelliği olan refrijanlar ile karşılaştırıldıklarında, tutuşmaz karışımalar üretilebilmektedir. Örnek

olarak; R 32/R 125 verilebilir. Tutuşma özelliğinden başka, diğer bir konu da toksisite'dir.

R 22 için çeşitli alternatifler geliştirilmektedir ve araştırmalar 10 tane klorinsiz refrijanda odaklanmıştır. Araştırmaların odağı, aynı zamanda toksisite, tutuşmazlık, uygun yağ ve malzeme bakımından refrijanların kabul edilebilirliği noktasındadır. (ASHRAE Journal, 1992 )

U.S. E.P.A. (Environmental Protection Agency; Çevre Koruma Acentası)'daki araştırmacılar CFC ve HCFC'ler için iyi alternatifler olarak görünen 11 tane yeni kimyasal madde belirlenmiştir. Bunların 9 tanesi hidroflorakarbon (HFC<sub>5</sub>), 2 tanesi hidrofloraether (HFE<sub>5</sub>) dir. Bunların fiziksel özellikleri ve adları aşağıdaki tabloda verilmiştir. Bunları şöyle sıralayabiliriz;

H F C 227 a, H F C 227 ea, H F C 236 cb, H F C 236 ea, H F C 236fa, H F C 245 ca, H F C 245 cb, H F E 125, H F E 143 a, H F C 245 fa, H F C 254 cb'dır.

HCFC olan R 22 halen geniş alanda kullanılmaktadır. R 22 birçok uygulamalarda pencere tipi klimalarda, ısı pompaları ve çok büyük Chiller 'lerde çok yaygın olarak kullanılan bir soğutucu akışkandır. Her ne kadar R 22 yerine geçebilecek uygun alternatif araştırılmakta ise de bu soğutucu kullanımı bazı ülkelerde şu an kısıtlanmış durumdadır (Almanya, İsveç gibi).

R 290 - propan (bir hidro karbon) propan karışımıları ve amonyak yakın dönem için alternatif seçenekleridir. Propan ve Amonyak tutuşma özelliklerine sahip olsalar da ikisi de endüstriyel uygulamalarda kullanılmaktadır.

Tablo 4.16. Alternatif soğutucuların fiziksel özellikleri

ALTERNATİF SOĞUTUCULARIN FİZİKSEL ÖZELLİKLERİ									
	KAVUNAMA NOKTASI °C	ERGİME NOKTASI °C	BUNIARLAŞ İSİSI °C	KRİTİK SICAKLIK Kj / mol	KRİTİK BASINÇ kPa	KRİTİK YOGUNLUK kg / m³	İSİ KAPASİTESİ Kj / kg (40°)	YERİNE GEÇECEĞİ REFRİGERAN CFC	
HCF 227 ca	-16,30	-140,3	23,69	106,3	2,874	594	1,254	12	
HCF 227 ea	-18,30	-127,1	22,73	102,8	2,943	580	1,258	12	
HCF 236 cb	-1,44	-105,4	25,29	130,1	3,118	545	1,438	114	
HCF 236 ea	6,50	-146,1	27,00	141,1	3,533	579	1,304	114	
HCF 236 fa	-1,10	-94,2	25,62	130,6	3,177	556	1,371	114	
HCF 245 ca	24,96	-73,4	29,05	178,4	3,855	529	1,454	11	
HCF 245 cb	-18,30	-81,1	23,65	108,5	3,264	499	1,457	12	
HCF 245 fa	15,30	-102,1	28,05	157,5	3,644	532	1,522	11	
HCF 254 cb	-0,78	-121,1	24,82	146,1	3,753	467	1,590	114	
HFE 125	-34,60	-156,1	21,81	80,7	3,253	584	1,327	115	
HFE 143 a	-23,65	-149	21,58	104,9	3,588	439	N / A	12	

Günümüzde ısı pompalarında kullanılan soğutucularda daha iyi verim elde edebilmek için çalışmalar devam etmektedir. Şu andaki kısıtlamaların en büyük nedeni, ozon tabakası tahribi nedeni ile klor içeren soğutucu akışkanlar için uygulanmaktadır.

Dünger çevresel etkiler göz önünde tutulduğunda küresel ısınma ile problemlerin en üst noktada olduğu bilinmektedir (Willcox Company 1992).

#### 4.6.5 Soğutucu Akışkanlarının Termodinamik Özellikleri

Literatürde bu konuda bir çok çalışma mevcuttur. Ancak bu çalışmalarlardan en kullanışlı olanı Downing tarafından yapılan çalışmadır. Downing çalışmasında temel eşitlikleri verirken R 11, 12, 13, 14, 21, 22, 23, 113, 114, 500, 502 ve C 318 soğutkanlarına ilişkin sabitleri de vermiştir.

R 11, 12, 13, 14, 21, 22, 23, 113, 114, 500, 502, C 318 soğutkanlarına ilişkin denklemler aşağıda verilmiştir. Bu eşitliklerde kullanılan sabitler, Downing'in çalışmasından alınmıştır. ( Downing; R.C., 1974 ) Bu denklemler İngiliz birim sistemine göre düzenlenmiştir ve SI birim sistemine dönüştürmek için denklemlerdeki sabitlerin SI birim sistemindeki değerleri alınmalıdır.

Sıvı yoğunluğu;

$$d_L = A_L + B_L \left(1 - \frac{T}{T_c}\right)^{1/3} + C_L \left(1 - \frac{T}{T_c}\right)^{2/3} + D_L \left(1 - \frac{T}{T_c}\right) + \\ E_L \left(1 - \frac{T}{T_c}\right)^{4/3} + F_L \left(1 - \frac{T}{T_c}\right)^{1/2} + G_L \left(1 - \frac{T}{T_c}\right)^2$$

Burada;

$T_c$  = Kritik sıcaklık

$T$  = Sıvı yoğunluk sıcaklığı ( F+459.67 )

$D_L$  = Sıvı yoğunluğu ( kg/m<sup>3</sup> )

Soğutucular için kullanılan sabit değerler aşağıdaki tablo 4.16'de verilmiştir.

Buhar Doyma Basıncı;

$$\log_{10} P = A + \frac{B}{T} + C \log_{10} T + DT + E \left( \frac{F-T}{T} \right) \log_{10} (F-T)$$

Burada;  $P$  basıncı ifade etmektedir,  $T = (F + 459.67)$  sıcaklığı göstermektedir.

Hal denklemi;

$$P = \frac{RT}{V-b} + \sum_{i=2}^5 \frac{A_i + B_i T + C_i e^{-KT/T_c}}{(V-b)^i} + \frac{A_6 + B_6 T + C_6 e^{-KT/T_c}}{e^{av}(1+C'e^{av})}$$

Burada;  $P$  basıncı,  $V$  hacmi,  $T = F+459.67$  sıcaklığı gösterir.

Soğutucuların durum eşitlikleri için gerekli sabitler aşağıda verilmiştir.

Buhar için sabit hacimde özgül ısı;

$$C_v = a + bT + cT^2 + dT^3 + \frac{f}{T^2} - \frac{JK^2Te^{-KT/T_c}}{T_c^2} \left[ \frac{C_2}{V-b} + \frac{C_3}{2(V-b)^2} + \frac{C_4}{3(V-b)^3} + \frac{C_5}{4(V-b)^4} + \frac{C_6}{ae^{av}} - \frac{C_6 C'}{a} (\ln 10) \log_{10} \left( 1 + \frac{1}{Ce^{av}} \right) \right]$$

$C_v$  = Sabit hacimde ısı kapasitesi

$$T = F+459.7$$

$$J = 0.185053$$

$$\ln 10 = 2.30258509$$

Tablo 4.17 Sıvı -yögenluk eşitlik sabitleri

Sıra No	A <sub>L</sub>	B <sub>L</sub>	C <sub>L</sub>	D <sub>L</sub>	E <sub>L</sub>	F <sub>L</sub>	G <sub>L</sub>	T <sub>C</sub>	R	F	Toplam
11	34.57	57.63811	43.6322	-42.82356	36.70863	0	0	848.07	459.67		
12	34.84	53.341187	0	18.69137	0	21.98398	-3.150994	693.3	459.7		
13	36.06996	54.395124	0	8.512776	0	25.879906	9.589006	543.60	459.69		
14	39.06	69.568489	4.5866114	36.1716662	-8.058986	0	0	409.50			
21			-0.0000501	0	0	0	0	0	812.9	459.6	
22	116.3796	-0.03106808	36.74892	-22.2925657	20.4732886	0	0	664.50	459.69		
23	32.7758	63.37784	-25.30533	144.16182	-106.1328	0	0	538.33	459.69		
113	112.872	-0.0128	0.0000636	0	0	0	0	0	877.0	459.6	
114	36.32	61.146474	0	16.418015	0	17.476838	1.110828	753.95	459.69		
500	31.00	43.562	74.709	-87.583	56.483	0	0	681.59	459.69		
502	35.0	53.48437	63.86417	-70.08066	48.47901	0	0	639.56	459.67		
C318	38.70	70.8588318	23.609759	15.9669182	-8.9243856	0	0	699.27	459.69		

Tablo 4.18 Buhar basıncı eşitlik sabitleri

Stğ. Akışkan	A	B	C	D	E	F	F TOPLAM
11	42.14702865	-4344.343807	-12.84596753	$4.0083725*10^{-3}$	0.0313605356	862.07	459.67
12	39.88381727	-3436.632228	-12.47152228	$4.73044244*10^{-3}$	0	0	459.7
13	25.967975	-2709.538712	-7.17234391	$2.545154*10^{-3}$	0.280301091	546.00	459.67
14	20.71545389	-2467.505285	-4.69017025	$6.4798076*10^{-4}$	0.770707795	424	459.69
21	42.7908	-4261.34	-13.0295	$3.9851*10^{-3}$	0	0	459.6
22	29.35744453	-3845.193152	-7.86103122	$2.1909390*10^{-3}$	0.445746703	686.1	459.69
23	328.90853	-7952.76913	-144.5142304	0.24211502	$-2.1280665*10^{-4}$	9.434955*10 <sup>8</sup>	459.69
113	33.0655	-4330.98	-9.2635	$2.0539*10^{-3}$	0	0	459.6
114	27.071306	-5113.7021	-6.30886761	$6.913003*10^{-4}$	0.78142111	768.35	459.69
500	17.780935	-3422.69717	-3.63691	$5.02772207*10^{-4}$	0.4629401	695.57	459.67
502	10.644955	-3671.153813	-0.369835	$-1.746352*10^{-3}$	0.8161139	654	459.67
C318	15.63242	-4301.063	-2.128401	$-1.19759*10^{-3}$	0.6625898	714	459.69

Tablo 4.19 Soğutucu hal denklikleri için sabitler

	11	12	13	14	21	22
R	0.078117	0.088734	0.102728	0.1219336	0.10427	0.124098
B	0.00190	0.0065093886	0.0048	0.0015	0	0.002
A <sub>2</sub>	-3.126759	-3.40972713	-3.083417	-2.162959	-7.316	-4.353547
B <sub>2</sub>	1.318523*10 <sup>-3</sup>	1.59434848*10 <sup>-3</sup>	2.341695*10 <sup>-3</sup>	2.135114*10 <sup>-3</sup>	4.6421*10 <sup>-3</sup>	2.407252*10 <sup>-3</sup>
C <sub>2</sub>	-35.76999	-56.7627671	-18.212643	-18.941131	0	-44.066868
A <sub>3</sub>	-0.025341	0.0662394465	0.058854	4.404057*10 <sup>-3</sup>	-0.20382376	-0.017464
B <sub>3</sub>	4.875121*10 <sup>-3</sup>	-1.87961843*10 <sup>-3</sup>	-5.671268*10 <sup>-3</sup>	1.282818*10 <sup>-3</sup>	3.593*10 <sup>-4</sup>	7.62789*10 <sup>-5</sup>
C <sub>3</sub>	1.220367	1.31139908	0.571958	0.539776	0	1.483763
A <sub>4</sub>	1.687277*10 <sup>-3</sup>	-5.4873701*10 <sup>-4</sup>	-1.026061*10 <sup>-3</sup>	1.921072*10 <sup>-4</sup>	0	2.310142*10 <sup>-3</sup>
B <sub>4</sub>	-1.805062*10 <sup>-6</sup>	0	1.338679*10 <sup>-6</sup>	-3.918263*10 <sup>-7</sup>	0	-3.605723*10 <sup>-6</sup>
C <sub>4</sub>	0	0	0	0	0	0
A <sub>5</sub>	-2.358930*10 <sup>-5</sup>	0	5.260649*10 <sup>-6</sup>	-4.481049*10 <sup>-6</sup>	0	-3.724044*10 <sup>-5</sup>
B <sub>5</sub>	2.448303*10 <sup>-3</sup>	3.468834*10 <sup>-3</sup>	-7.395111*10 <sup>-3</sup>	9.062318*10 <sup>-3</sup>	0	5.355465*10 <sup>-8</sup>
C <sub>5</sub>	-1.478379*10 <sup>-4</sup>	-2.54390678*10 <sup>-3</sup>	-3.874233*10 <sup>-3</sup>	-4.836678*10 <sup>-3</sup>	0	-1.845051*10 <sup>-4</sup>
A <sub>6</sub>	1.057504*10 <sup>-3</sup>	0	7.378601*10 <sup>-7</sup>	5.8388823*10 <sup>-7</sup>	0	1.363387*10 <sup>-3</sup>
B <sub>6</sub>	-9.472103*10 <sup>-4</sup>	0	-7.435565*10 <sup>-4</sup>	-9.263923*10 <sup>-4</sup>	0	-1.672612*10 <sup>-3</sup>
C <sub>6</sub>	0	0	0	0	0	0
K	4.50	5.475	4.00	4.00	0	4.2
A	580	0	625	661.199997	0	548.2
C	0	0	0	0	0	0
T <sub>cR</sub>	848.07	693.3	543.60	409.50	664.50	664.50
F <sub>r</sub>	459.67	459.7	459.67	459.69	459.69	459.69

Tablo 4.19 Soğutucu hal denklikleri için sabitler-devam

	23	113	114	500	502	C-318
R	0.15327	0.05728	0.062780807	0.10805000	0.096125	0.053645698
B	0.00125	0	0.005914907	0.006034229	0.00167	0.0060114165
A <sub>2</sub>	-4.679499	-4.035	-2.3856704	-4.549888	-3.2613344	-1.8947274
B <sub>2</sub>	3.472778*10 <sup>3</sup>	2.618*10 <sup>3</sup>	1.0801207*10 <sup>3</sup>	2.308415*10 <sup>3</sup>	2.0576287*10 <sup>3</sup>	9.8484745*10 <sup>-5</sup>
C <sub>2</sub>	-59.775232	0	-6.5643648	-92.90748	-24.24879	-28.542156
A <sub>3</sub>	0.012475	-0.0214	0.034055687	0.086660634	0.034866748	0.026479892
B <sub>3</sub>	7.733388*10 <sup>-5</sup>	5.000*10 <sup>-5</sup>	-3.336494*10 <sup>-6</sup>	-141665*10 <sup>-5</sup>	-8.6791313*10 <sup>-6</sup>	-862101*10 <sup>-6</sup>
C <sub>3</sub>	5.941212	0	0.163666057	2.742282	0.333274779	0.66384636
A <sub>4</sub>	2.06804210 <sup>-3</sup>	0	-3.857481 *10 <sup>-4</sup>	-8.726016*10 <sup>-4</sup>	-8.57677*10 <sup>-4</sup>	-2.4565234*10 <sup>-4</sup>
B <sub>4</sub>	-3.68423810 <sup>-6</sup>	0	0	0	7.0240549*10 <sup>-7</sup>	0
C <sub>4</sub>	0	0	0	0	0.022412368	0
A <sub>5</sub>	-3.86854610 <sup>-5</sup>	0	1.6017659*10 <sup>-6</sup>	-1.375958*10 <sup>-6</sup>	8.8368967*10 <sup>-6</sup>	6.0887086*10 <sup>-7</sup>
B <sub>5</sub>	6.455643*10 <sup>8</sup>	0	6.263234110 <sup>-10</sup>	9.149570*10 <sup>-9</sup>	-7.9168095*10 <sup>-9</sup>	8.269634*10 <sup>-10</sup>
C <sub>5</sub>	-3.94214*10 <sup>-7</sup>	0	-1.016531410 <sup>-5</sup>	-2.102661*10 <sup>-4</sup>	-3.7167231*10 <sup>-4</sup>	-3.849145*10 <sup>-5</sup>
A <sub>6</sub>	7.502357*10 <sup>7</sup>	0	0	0	-3.8257766*10 <sup>7</sup>	0
B <sub>6</sub>	-114202*10 <sup>5</sup>	0	0	0	5.5816094*10 <sup>4</sup>	0
C <sub>6</sub>	0	0	0	0	1.5378377*10 <sup>9</sup>	0
K	5.50	0	3.0	5.475	4.2	5
A	520.0	0	0	0	609	0
C'	0	0	0	0	7*10 <sup>-7</sup>	0
T <sub>c</sub> R	538.33	877.0	753.95	681.59	639.56	699.27
TOP.F <sub>T</sub>	459.69	459.69	459.69	459.69	459.67	459.69

Soğutucuların buhar ısı kapasitesi eşitliklerinin bulunmasında gerekli sabitler aşağıda verilmiştir.

Sabit basıçta özgül ısı aşağıdaki gibi hesaplanır; (Cengel and Boles, 1989).

$$C_p - C_v = T \left( \frac{\partial V}{\partial T} \right)_p \left( \frac{\partial P}{\partial T} \right)_V$$

Denklemdeki kısmı türevler hal denkleminden türetilerek elde edilir.

Buharlaşma gizli entalpisi;

$$H_{fg} = JT(V_g - V_f)[P \ln 10 \left( \frac{-B}{T^2} + \frac{C}{T \ln 10} + D - E \left( \frac{\log_{10} e}{T} + \frac{F \log_{10}(F-T)}{T^2} \right) \right)]$$

Burada;

$H_{fg}$  = Kızgın buhar entalpisi     $V_g$  = Doymuş buharın özgül hacmi

$V_f$  = Doymuş sıvı özgül hacmi     $P$  = Buhar basıçç

$\ln 10 = 2.302585093$      $\log_{10} e = 0.4322944819$

$J = 0.185053$

Buhar entalpisi;

$$H = aT + \frac{bT^2}{2} + \frac{cT^3}{3} + \frac{dT^4}{4} - \frac{f}{T} + JPV + J \left[ \frac{A_2}{Z} + \frac{A_3}{2Z^2} + \frac{A_4}{3Z^3} + \frac{A_5}{4Z^4} + \frac{A_6}{e^{AV}} \left( \frac{1}{e^{AV}} - C'[\ln 10] \log \left( 1 + \frac{1}{C'e^{AV}} \right) \right) + Je^{-KT/T} \left( 1 + \frac{KT}{T_c} \right) \right]$$

$$\left[ \frac{C_2}{Z} + \frac{C_3}{2Z^2} + \frac{C_4}{3Z^3} + \frac{C_5}{4Z^4} + \frac{C_6}{ae^{AV}} - \frac{C_6 C' (\ln 10) \log}{a} \left( 1 + \frac{1}{C'e^{AV}} \right) \right] + X$$

Burada;

$H$  = Entalpi

$P$  = Basıçç

$T = [R]$

$Z = (V-b)$

$$V = \text{Hacim}$$

$$X = H_{fg}(\text{referans sic.}) - H(\text{referans sic.})$$

Buhar entropisi;

$$S = a (\ln 10) \log T + bT + \frac{cT^2}{2} + \frac{dT^3}{3} - \frac{f}{2T^2} + JR (\ln 10) \log(Z) - J[\frac{B_2}{Z} + \frac{B_3}{2Z^2} + \frac{B_4}{3Z^3} + \frac{B_5}{4Z^4} + \frac{B_6}{a} (\frac{1}{e^{av}} - C' [\ln 10] \log [1 + \frac{1}{C'e^{av}}])] + \frac{JK e^{-KT/T_0}}{Tc} e^{-KT/T} c[\frac{C_2}{Z} - \frac{C_3}{2Z^2} - \frac{C_4}{3Z^3} - \frac{C_5}{4Z^4} - \frac{C_6}{ae^{av}}] + \frac{C_6 C' (\ln 10) \log}{a} (1 + \frac{1}{C'e^{av}})] + Y$$

Burada;

$$Z = (V - b) \quad J = 0.185053$$

$$V = \text{Hacim} \quad Y = H_{fg}(\text{referans})/T(\text{ref.}) - S(\text{referans})$$

S = Entropi

a,b,c,d,f = Isı kapasitesi eşitlik sabitleri

A,B,C,K,a,c' = Hal denklik sabitleri

Tablo 4.20 Isı kapasitesi eşitlik sabitleri

SOG AKIŞKAN	a	b	c	d	f	f <sub>t</sub>
11	0.023815	2.798823*10 <sup>-4</sup>	-2.123734*10 <sup>-7</sup>	5.0999018*10 <sup>-11</sup>	-336.80703	459.67
12	8.0945*10 <sup>-3</sup>	3.32662*10 <sup>-4</sup>	-2.413896*10 <sup>-7</sup>	6.72363*10 <sup>-11</sup>	0	459.7
13	0.01602	2.823*10 <sup>-4</sup>	-1.159*10 <sup>-7</sup>	0	0	459.69
14	0.0300559292	2.3704335*10 <sup>-4</sup>	-2.856660077*10 <sup>-8</sup>	-2.95338805*10 <sup>-11</sup>	0	
21	0.0427	1.40*10 <sup>-4</sup>	0	0	0	459.6
22	0.02812836	2.255408*10 <sup>-4</sup>	-6.509607*10 <sup>-8</sup>	0	257.341	459.69
23	0.07628087	-7.561805*10 <sup>-9</sup>	3.9065696*10 <sup>-7</sup>	-2.454905*10 <sup>-10</sup>	0	459.69
113	0.07663	1.159*10 <sup>-4</sup>	0	0	0	459.6
114	0.0175	3.49*10 <sup>-4</sup>	-1.67*10 <sup>-7</sup>	0	0	459.69
600	0.026803537	2.8373408*10 <sup>-4</sup>	-9.7167893*10 <sup>-5</sup>	0	0	459.69
602	0.020418	2.996802*10 <sup>-4</sup>	-1.409043*10 <sup>-7</sup>	2.210861*10 <sup>-11</sup>	0	459.67
C318	0.0225178157	3.69907814*10 <sup>-4</sup>	-1.64842522*10 <sup>-7</sup>	2.152780846*10 <sup>-11</sup>	0	459.69

Termodinamikte bir duruma ait en az bir özellik biliniyorsa diğer özellikleri hesaplamak mümkün değildir. Yukarıdaki eşitlikler yakından incelendiğinde P, V, T'den en az ikisini bilmek gerektiği açıkça görülür. Örneğin herhangi bir noktada T ve V biliniyorsa ve bu noktadaki entalpi hesaplanmak isteniyorsa, hal denkleminden basınç bulunur ve entalpi denkleminde yerine konularak entalpi hesaplanır. Fakat basınç ve entalpinin bilindiği bir noktada entropiyi hesaplamak istiyorsak o zaman işimiz biraz zorlaşır. Bu durumda P ve H değerlerini hal denkleminde yerine yazarsak;

$$\text{Hal denkleminden} \quad f_1(T, V) = 0$$

$$\text{Entalpi denkleminden} \quad f_2(T, V) = 0$$

Şeklinde iki denklem elde ederiz. Bu iki denklem T ve V'ye göre çözülüp daha sonra entropi hesaplanır (Yusuf A. Kara, 1999).

## **5. TOPRAK ISI DEĞİŞTİRİCİLERİNİN TASARIMI**

### **5.1 Genel**

Toprak kaynaklı sistemler, kuyu sistemlerinden farklı bir şekilde çalışır. Kuyu sistemlerinde, akuferdeki su, bir ısı kaynağıdır. Toprak kaynaklı sistemlerde, toprak kitlesi kendi kendine, bir ısı kaynağıdır. Boru içindeki sıvı sirkülasyonu ve istenilen ısı akımını almak toprak malzemesi arasındaki farklı sıcaklıktan dolayı, ısı pompası, en düşük 25 °F (-3,9 °C) ve en yüksek 100 °F (37,8 °C) sıcaklıkta sirküle eden sıvı ile çalışmak zorundadır.

Bu toprak kaynaklı uygulamalar için ısı pompası seçildiğinde, ünitelerin, bu minimum ve maksimum sıcaklık alanlarında çalışması son derecede önemlidir. Piyasadaki bazı modeller, su giriş sıcaklığı 45 °F (7,2 °C)'tan 85 °F (29,4 °C) veya 60 °F (15,5 °C)'tan 85 °F (29,4 °C) gibi çok daha küçük çalışma alanlarına sahiptir. Bu üniteler, toprak kaynaklı uygulamalarda tatmin edici bir şekilde çalışmazlar.

Isı; ünite ve toprağa gömülümsün, içinden akışkanın geçtiği borular ile toprak arasında transfer edilir. Bir pompa, bu akışkanı sirküle etmek için kullanılmaktadır. Kazılmış yatay hendekler veya dikey deliklere yerleştirilmiş plastik borular, ısı transfer akışkanını taşımak için kullanılmaktadır. Yatay borular, genellikle kuzey yarımkürede 3 ft ila 6 ft (0,91 m ila 1,82 m)'in altındaki katmanlara döşenmektedir. Boruların derine gömülmesi, kışın güneşin etkisini azaltır.

Kullanılan sig derinlik dolayısıyla, antifriz, sistemdeki suyun donmasını önlemek ve topraktaki suyun donması halinde, toprak malzemesinden alınan ısıyı kullanarak kapasite ve verim kazanmak için sisteme izin vermesi amacıyla sıvı sirküle sisteminde kullanılmaktadır.

Kullanılan antifriz malzemesi, genellikle propilene glikol veya kalsiyum klorittir.

Güney yarımkürede, borular, 4 ft ile 12 ft (1,22 m ile 3,65 m)'in altındaki katmanlara döşenmektedir. Bu, sistem performansı üzerindeki yaz güneşinden kaynaklanan yüksek toprak sıcaklığının etkisini azaltmak içindir.

Kazılmış dikey delikler, 300 ft (91,44 m) derinde olabilir. Bu, delme esnasında karşılaşılan malzemenin tipine bağlı olacaktır. Çoklu delikler, bir derin delikten daha çok arzu edilebilir.

Sistemlerin her ikisi içinde kullanılan boru uzunluğu, aşağıdakilere bağlı olarak, 12,000 BTUH (3515,9 W) birim kapasite başına 150 ft ile 1000 ft (45,72 m ile 304,8 m) arasında çeşitlilik gösterebilir:

BS (birim kapasite-soğutma)  
 BH (birim kapasite-ısıtma)  
 $\beta_{SOG}$  (soğutma etki katsayısı)  
 $\beta_{ISIT}$  (ısıtma etki katsayısı)

To (ortalama yıllık toprak sıcaklığı)

$T_{GSS}$  (giren su sıcaklığı- soğutma)

$T_{GSI}$  (giren su sıcaklığı- ısıtma)

Rt-toprak direnci (toprak tipi ile değişen)

Rb-boru direnci (boru duvarlarına doğru ısı akış direnci)

Toprak serpentin tipi

Toprak serpentin derinliği

$F_S$  (birim soğutma çalışma faktörü)

$F_I$  ( birim ısıtma çalışma faktörü )

## 5.2 Isı Pompası Seçimi

Isı pompasının büyüklüğünü veya kapasitesini belirlemeden ve bir seçim yapmadan önce, iki önemli faktör incelenmelidir.

1. Binanın tam bir ısı kazancı ve kaybı incelenmelidir. Bu hesaplamaların doğru bir şekilde yapılması büyük önem taşır.

2. Boruların yerleştirildiği derinlikteki, maksimum ve minimum toprak sıcaklığı belirlenmelidir. Bu, cihazın çalışacağı su sıcaklık aralıklarını seçmek için gereklidir.

Hava-hava ısı pompaları için, cihaz, istenen soğutma kapasitesini karşılamak için seçilmelidir. Eğer soğutma yükü, ısıtma yükünden daha az ise, aradaki farkı yenmek için ek bir ısı kullanılır. Eğer soğutma yükü, istenen ısıtma yükünü aşiyorsa, ek bir ısı ihtiyacı yoktur. Bununla birlikte, yararlı ihtiyaçlar, hava-hava üniteleri yanı sıra sıvı-hava ünitelerine uygulanır. Bu, binanın tasarım ısı kaybı çalışmalarına yeterli ilave ısının, yerleştirmeye dahil edilmek zorunda olduğu anlamına gelir.

Soğutma modu içinde ünitenin verdiği hissedilir kapasitesi, ne hesaplanmış toplam hissedilir yükten az olmalı nede % 25'den çok hesaplanmış hissedilir yükten aşırı olmalıdır. Soğutma modu içinde ünitenin son kapasitesi, hesaplanmış toplam son yükten daha az olmamalıdır. Hissedilir ve son kapasite eşitlikleri, üreticilerin teknik özelliklerinden bulunabilir. Bu kapasiteler, beklenen tasarım koşulları yanı sıra yerel yer altı suyu sıcaklıklarına bağlıdır.

### $\beta_s$ ( Soğutma Etki Katsayı )

Ünitenin soğutma etki katsayısı ( $\beta$ ), kapasiteyi sağlamak için gerekli olan elektrik enerjisi ile bölünmüş birimin BTUH soğutması

olarak tanımlanmaktadır. Birimin soğutma  $\beta$ 'sı, gerekli olan elektrik enerjisinin eş ısı enerjisi ile bölünmüş birimin BTUH soğutma kapasitesidir.

$$\text{Soğutma } \beta = \frac{\text{BTUH Birim Soğutma Kapasitesi}}{\text{Verilen Elektrik Enerjisi (W)} \times 3.413 \text{ BTU/W}}$$

Üreticiler, EER (Enerji Verimlilik Oranı) metodu ile ünitelerini karşılaştırabilirler. EER oranı, elektrik enerjisi W ile bölünmüş Btu soğutma kapasitesinin toplamıdır. EER oranını  $\beta$  oranına dönüştürmek için, EER oranı 3.413'e bölünür.

#### **$\beta_I$ ( Isıtma Etki Katsayısı )**

Performans Yeterliliği-Isıtma  $\beta_I$ , W girdisinin eş Btu ile bölünen birimin ısıtma kapasitesidir.

$$\text{Isıtma } \beta = \frac{\text{BTUH Birim Isıtma Kapasitesi}}{\text{Verilen Elektrik Enerjisi (W)} \times 3.413 \text{ BTU/W}}$$

#### **$T_0$ ( Ortalama Yıllık Toprak Sıcaklığı )**

Ortalama yıllık toprak sıcaklığının, 50 ft (15,24 m)'den 150 ft (45,72 m)'e kadar kuyu derinliğindeki kuyu sıcaklığına eşit olduğu farz edilir. Bu, yaklaşık ortalama yıllık hava sıcaklığına 2 °F (1,1 °C) ekleyerek bulunabilir.

Ortalama yıllık hava sıcaklığı ( $T_o$ ), tüm yıl boyunca değişen toprağın ortalama sıcaklığıdır. Yüzey sıcaklığı, toprak sıcaklığı üzerine etki yapar, fakat daha büyük etki güneş işinlarından olur.

Toprak, yüzeyden uzaklığının yanı sıra, toprak malzemesinin yayınımı olarak adlandırılan, toprak malzemesinin yoğunluğuna ve nem içeriğine bağlı olarak onun ısı alma ve verme kabiliyeti yüzünden, sıcaklık değişimi üzerine nemlilik etkisi vardır. Derinliğin artmasıyla, yıllık eğri azalır.

Tablo 5.1'deki eğrilerde, yüzeyden 12 ft (3,65 m) seviyede toprak üzerindeki hava ve güneş değişimlerinin etkileri gösterilmektedir. Eğriler, 2'(0,6 m), 5'(1,5 m) ve 12'(3,65 m) seviyeleri için verilmiştir. Bu eğriler, aynı zamanda, yılda ulaşılan minimum ( $T_{min}$ ) ve maksimum ( $T_{max}$ ) sıcaklıklarını da göstermektedir. Örneğin, minimum yüzey sıcaklığı yaklaşık olarak yılın 35. gününe denk gelmesi beklenmektedir. Bazı hava koşulları varyasyonları, bu zamanın  $\pm 3$  gün civarlarında değişiklik gösterir.

Toprağın depolama etkisi, 2'(0,6 m) seviyede minimum sıcaklığa ulaşımak için 14 günlük, 5'(1,5 m) seviyede 35 günlük ve 12'(3,65 m) seviyede 83 günlük gecikmeye neden olacaktır. Toprağın depolama kapasitesi, yüzeyde ortalama sıcaklığın  $23^{\circ}\text{F}$  ( $-5^{\circ}\text{C}$ ) altında ile 12'(3,65 m) seviyede ortalama sıcaklığın  $5^{\circ}\text{F}$  ( $-15^{\circ}\text{C}$ ) altında, minimum sıcaklık varyasyonları ile gösterilmektedir.

Soğutma mevsiminde, Ağustosun 6. günü veya  $\pm 3$  gün civarlarında en yüksek yüzey sıcaklığı ile oluşarak sıcaklık dönüşümü tamamlanır. Tekrar, yüzeyden aşağı derinliklerde artar, maksimum sıcaklık ( $T_{max}$ ) gecikmenin yanı sıra azalır. 2'(0,6 m)'de  $T_m$   $17^{\circ}\text{F}$  ( $-8,3^{\circ}\text{C}$ ) azalır ve

yaklaşık 14 günlük (Ağustos 20) gecikmeyle olur. 12'(3,65 m)'lik derinlikte, maksimum sıcaklık (Tmax) Ekim'in 29.günü civarlarında oluşur ve yıllık ortalama sıcaklığın (Tm) 5 °F (-15 °C) üstüne ulaşır.

Şekil 5.1'de, ortalama bir toprak yoğunluğu ve nem içeriği (yayınımı) için eğriler gösterilmektedir.

Bu bilgiler kullanılarak, toprak çevriminin yerleştirilmek zorunda olunan derinlikte, ısı pompasının su giriş sıcaklıkları ( $T_{GSS}$  ve  $T_{GSi}$ ) belirlenebilir. Böylece, her uygulama için boru uzunluğunu ve derinliğini belirlemek için kullanılan adımların bir kısmı ortaya çıkar.

### **$T_{GSS}$ ( Su Giriş Sıcaklığı-Soğutma )**

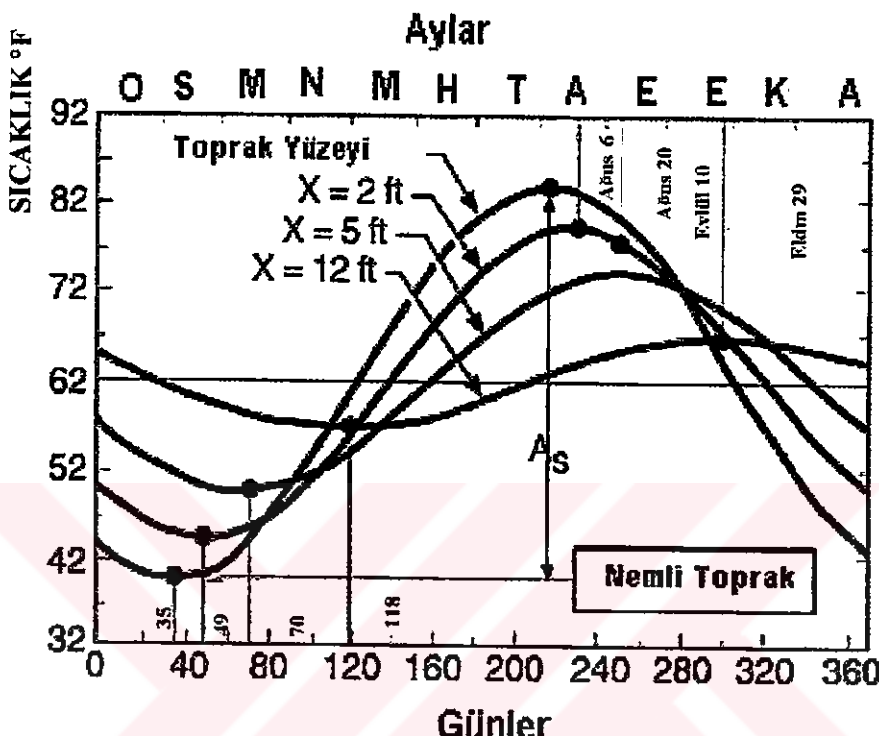
Üniteye giren su sıcaklığı, toprak borularından ayrılan su sıcaklığı, toprağın normal sıcaklığından daha yüksek olacaktır. Bu, borular içinde dolaşan sudan toprağa ısının atılması nedeniyedir. Sıcaklık farklılıklarını, ısı transferini almak için bir ihtiyaçtır.

Bu sıcaklık farklarının bir miktarı, ısıyı iletmek için boru yüzeyinin bir miktarının yanı sıra atılan Btu'a bağlıdır. Ünenin su sıcaklığı sınırlarını geçmeksiz arzu edilen iletim oranını elde etmek için, bu iki faktörün dengesine ulaşılmalıdır.

### **$T_{GSI}$ ( Su Giriş Sıcaklığı-Isıtma )**

Aynı etkiler ısıtmada da oluşur. Toprak ısının alınması ile soğutulmaktadır. Bununla birlikte, değişiklik, oldukça azdır. Çünkü, atılan ısı, ünenin toplam veya bütün kapasitesi olurken, çıkarılan ısı, ünenin net kapasitesidir.

Tablo 5.1 Toprak sıcaklığı dalgalanması



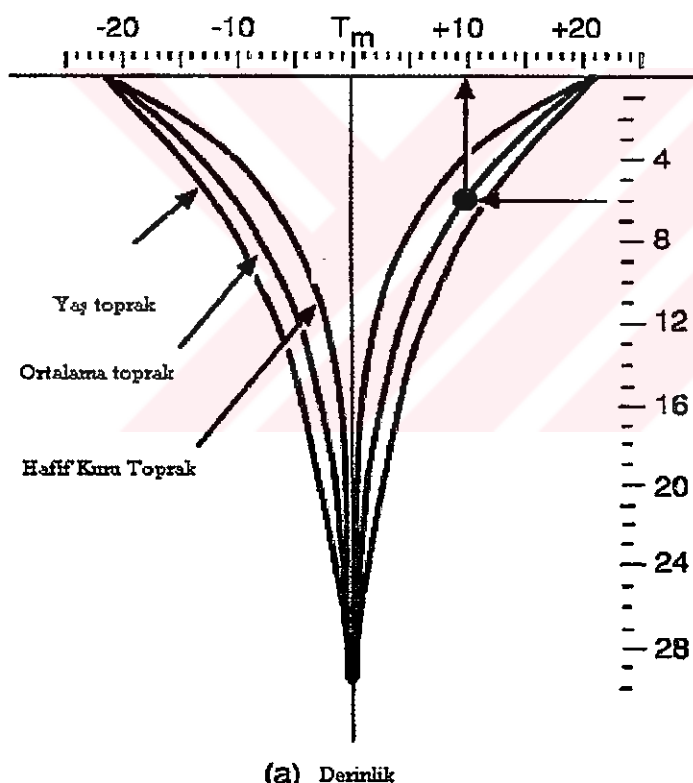
Tam anlamıyla, ısı miktarı arasındaki farklılığa dayandırılarak, soğutma modunun, daha çok boru yüzeyi isteyeceği açıkları. Bununla birlikte, tüm faktörler incelendiğinde, bu daima uygulanmaz.

### Dağılmış toprak etkileri

“Dağılmış toprak” başlığı, toprak sıcaklığını etkileyen ısı kapasite değişimini göstermek için kullanılmaktadır. Bu sıcaklık eğrileri, ortalama toprak yayınımına bağlıdır.

Örneğin,  $T_m$  53 °F (11,6 °C) olan bir yer göz önüne alalım. Isıtma modunda, dağılmış toprak ile 6 °F (3,3 °C) düşüş ve toprak ile yer altı çevrim suyu arasındaki  $\Delta T$  10°F (5,5 °C) ile üniteye giren su sıcaklığı ( $T_{GSi}$ ), 37 °F (2,8 °C) olacaktır. Soğutma modunda, dağılmış toprakta 15 °F (8,25 °C) artış ile ve toprak ve yer altı çevrim sıvısı arasındaki  $\Delta T$  10 °F (5,5 °C) ile üniteye giren su sıcaklığı, 78 °F (25,5 °C) olacaktır.

Tablo 5.2 Farklı topraklar için çeşitli derinliklerde  $T_m$  karşılaştırılması



### **Rt ( Toprak direnci )**

Toprak direnci, toprak içinden ısı akış direncidir. Kuru hafif toprak, nemli yoğun toprak kadar hızlı bir şekilde, ısı enerjisini taşımaz. Ek olarak, tüm toprak kaynaklı sislerdeki yüzey altındaki boru derinlikleri, borular arasındaki uzaklık ve boruların boyutu ve sayısı, toprak direnci üzerine bir etkendir.

Tablo 5.3'de, kaya ve ağır nemli toprak içindeki dikey sistemlerin yanı sıra, tek borulu, çift borulu ve dört borulu çoklu sistemlerde kullanılan  $\frac{3}{4}$ "den 2"e kadar çeşitli boru ölçülerleri için ağır nemli toprak, ağır kuru toprak ve hafif nemli toprak için, toprak direnci tablosunu gösterilmektedir. Örneğin, tek borulu bir çevrim sisteminde, 3' (0,91 m)'te 1" boru ölçüsünde, toprak direnci, ağır nemli toprak için 0,97 ve ağır kuru toprak veya hafif (yumuşak) nemli toprak için 1,32 olacaktır.

Bu tablo, belirli koşullar için hesaplama adımlarından çok, toprak koşulları için ortalamalar olarak kullanılır. Bu tabloda kullanılan hata oranı genellikle % 3'den daha azdır. Son hesaplamalar, boru uzunluğu hesaplamalarında, 100'(30,48 m) hata için 3'(0,91 m)'den daha az ile sonuçlanır.

### **Rb ( Boru direnci )**

Endüstriyel deneyimlerden, toprak kaynaklı sistemlerde kullanılan borular için önerilen malzeme tipleri üzerine bilgiler oluşturulmuştur. Plastik malzemeler, toprak malzemesinin korozif etkisinden az etkilenir ve uzun boru ömürlidür. Tablo 5.4'de, toprak kaynaklı sistemler için boru üretiminde kullanılan dört farklı malzeme gösterilmektedir.

#### **I. Polietilene-Schedule 40**

2. Polietilene-Schedule 11
3. Polietilene-Schedule 17
4. Polietilene-Schedule 13.5

Tüm bu malzemelerden ısı transferi direnci-Rb (boru direnci faktörü) Tablo 5.4'de verilmiştir. Aşağıda sunulan iki farklı direnç, yatay pozisyondaki boru Rb ve dikey pozisyondaki boru ile Rbd verilmiştir. Bu faktörler, toprak/sıvı ısı değiştiricileri için gerekli boru uzunluğu hesaplarının yapılmasında kullanılmaktadır.

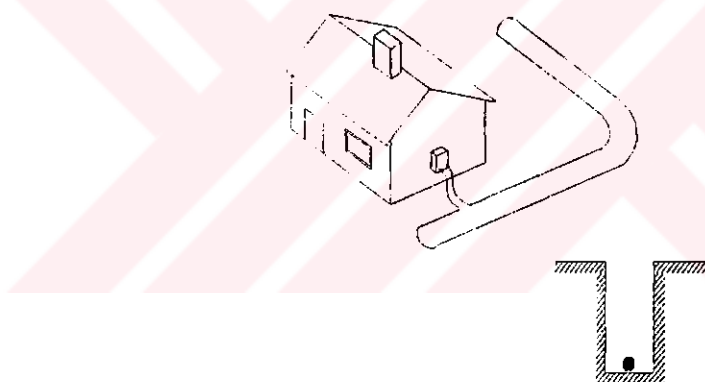
Tablo 5.4 Boru direnç değerleri

		$\frac{R_b}{R_{bd}}$			
		PE SCH 40	PE SDR-11	PB SDR-17	PB SDR-13.5
BORU ÖLÇÜSÜ	$\frac{3}{4}$	<u>.17</u> .116	↑	↑	↑
	1	<u>.159</u> .109			
	$1\frac{1}{4}$	<u>.130</u> .089	<u>.144</u> .096	<u>.016</u> .011	<u>.020</u> .014
	$1\frac{1}{2}$	<u>.117</u> .080			
	2	<u>.098</u> .068	↓	↓	↓

### Toprak Serpentin Tipi

Kullanılmakta olan toprak serpentin tipi, boru uzunluğunu etkileyecektir. Hendekte sadece tek boru kullanılıyorsa, boru ft'i başına en yüksek ısı akımı oluşur. Olan hendek-kanal miktarı arttıkça, tabaka için daha büyük bir alan gerektirmektedir.

Şekil 5.1'de, sürekli sistemlerde kullanılan tipik bir yatay seri sistemlerin tarifini gösterilmektedir. Tek borulu sistemlerde önerilmiş maksimum ısı pompası boyutu 2500'(762 m)'lik boru uzunluğu anlamına gelen 6000 Btuh (1758 W)'dır. Hendekte-kanal-ki tek boru ile, kazılan derinlik, kuzey iklimde 3.5'(1,06 m) ve güney iklimde 6'(1,83 m) olacaktır.



TOPRAKIS DEĞİŞİRKİS TİP: YATAY-TEKBORU  
ANKİ TİP: SERİ  
BORU ÇAPı: 1 1/4-2 inç  
EGRULUZUNLUĞU: 30-45 m²K/W  
GÖMME DERİNLİĞİ: 1-1,5 m  
MAKSİMİMMİ POMPASI KAPASİTESİ: 17,6 kW

Şekil 5.1 Bir hendek içinde bir dallı yatay seri çevrim

Tablo 5.3 Toprak Direnci (Courtesy Bard Manufacturing Co.)

		R <sub>1</sub> (AĞIR TOPRAK-NEMLİ)						R <sub>1</sub> (AĞIR TOPRAK-KURU VEYA HAFFİF TOPRAK-NEMLİ)		R <sub>1</sub> (KAYA)		
		1	2	3	4	5	6	7	8	9	10	R <sub>1</sub> (AT-NEMLİ)
B	3/4	1,02	1,06	1,09	1,11	1,31	1,37	2,05	2,15	2,11	1,88	0,6
O	1,38	1,44	1,47	1,49	1,77	1,84	2,75	2,86	2,85	2,53	1,06	
R	1	0,97	1,02	1,04	1,06	1,26	1,32	2	2,1	2,07	1,84	0,57
U	1,32	1,37	1,4	1,42	1,7	1,77	2,88	2,79	2,78	2,47	1,01	
Ö	1,1/4	0,92	0,97	0,99	1,01	1,22	1,27	1,96	2,05	2,02	1,79	0,54
L	1,1/2	0,89	0,94	0,97	0,98	1,19	1,25	1,92	2,02	1,99	1,76	0,53
C	1,21	1,27	1,3	1,32	1,59	1,66	2,57	2,68	2,67	2,36	0,94	
S	2	0,85	0,89	0,92	0,94	1,14	1,2	1,88	1,98	1,94	1,71	0,5
Ü	1,15	1,2	1,24	1,26	1,53	1,6	2,51	2,62	2,61	2,29	0,89	

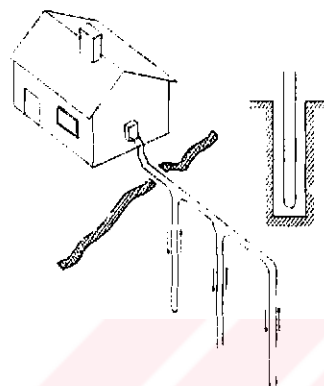
Hendekte iki boru ile çift bir geri sarım kullanılarak tipik bir yatay serili sistemlerde, iki borunun bulunması toprak direncini artırır, daha uzun boru uzunluğu, istenilen ısı akımını elde etmek için gerekmektedir. Bu şartlar altında, pratik bir şekilde boru uzunluğu, 12,000 BTUH (3,515 W) başına 350' ila 500'(106,5 m ila 152,4 m)'den 12,000 BTUH (3515 W) başına 420' ila 600'(128 m ila 182,8 m)'e kadar artar. Hendek uzunluğu, tek borulu hendekte 12,000 BTUH (3515 W) başına 350' ila 500'(106,5 m ila 152,4 m)'den 12,000 BTUH (3515 W) başına 210' ila 300'(64 m ila 91,4 m)'e azaltılmaktadır. Bu ikisi, boru derinlikleri ve kuzey bölgede 3'(0,91 m) ve 5'(1,5 m) ve güney bölgede 4'(1,2 m) ve 6'(1,82 m) önerilmektedir.

Yatay sistemin üçüncü tipi, çoklu-seviye veya paralel sistemdir Burada, dar hendekte, dört-boru yiğini örnek olarak verilmiştir. Tablo 5-3'deki toprak direnci de geniş hendegin her bir yanındaki çift yiğindaki dört boruyu gösterir. Yiğin halindeki dar hendekte, boru derinliği kuzey bölgede 6', 5', 4' ve 3'(1,82 m, 1,5 m, 1,2 m ve 0,91 m) ve güney bölge için 7', 6', 5' ve 4'(2,1m, 1,82 m, 1,5 m ve 1,2 m)'tür. Çift-yiğin daha geniş hendekte, boru derinliği, tek çevrimli geri dönüşümlü sistemlerle aynı olacaktır - kuzey bölgede 3'(0,91 m) ve 5'(1,5 m) ve güney bölgede 4'(1,2 m) ve 6'(1,82 m).

Boru yiğinları arasındaki yatay alan 1' (0,3 m) ve 2'(0,6 m)'den daha az olmamalıdır. Tablo 5-3, 1'(0,3 m) ve 2'(0,6 m) alanında kullanılan boru direnci (R<sub>b</sub>) farklılıklarını gösterir.

Şekil 5.2, devamlı seri serpentinlerde kullanılan dikey serileri gösterir. Sondalanmış veya kazılmış toplam delikde, 200'(60,9 m) ila 350'(106,6 m) boru gerektirecek 12,000 BTUH (3515 W) başına

100'(30,48 m) ila 175'(53,34 m)'tir. Kullanılan yaklaşık 140'(42,67 m) 12,000 BTUH (3515 W) başına boru, tek sonda deliği 300'(91,44 m)'den daha çok olmamalıdır.



TOPRAKIS DEĞİŞİMİ İLE DIKEY-SERİ  
ANSTRUT SERİ  
BORUÇARI: 3/4" F. 1147. 2"  
DEKLÜZÜNLÜ: 85m-15m  
BORUZUNLÜ: 17m-30m

Şekil 5.2 Dikey seri sistem

Sonda delikleri arasındaki minimum açılık, ağır ıslak toprak için 10'(3 m) ve ağır kuru toprak veya hafif ıslak toprak için 15'(4,57 m)'dır. Sonda delikleri arasındaki açılık, minimumu aşmamalıdır. Çünkü, bu, atık bir boru uzunluğudur ve daha uzun borular arasından gereksiz bir akış direnci yaratır.

Dikey borular arasından paralel akışlı dikey sisteme bir diğer kullanımı göstermektedir. Sonda ve boru derinliği, yaklaşık olarak aynıdır. Bununla birlikte, paralel sistemin yararı, her bir çevrim içinden

daha düşük akış oranıdır. Böylelikle, daha az ısı transfer direncine(Rb) sahip daha ince duvarlarla, daha küçük borular kullanılabilmektedir.

Çevrim arasından eşit akış oranını sağlamak için uygun tasarım, en yüksek çalışma oranını elde etmek için çok önemlidir.

### **Toprak Serpantin Derinliği**

Serpantin katmanın her bir tipinin gösteriminde, ortalama toprak derinliği verilmektedir. Bununla birlikte, bazı durumlarda, üniteye (cihaza) giren su sıcaklığının, üretici önerilerini aşmadığını farz etmek gerekli olacaktır. Su sıcaklıklarını, sistemin işletilmesinde, özellikle kuzey bölgede ısıtma modunda kritiktir. Uygulamada, tüm ısı pompası üreticileri, ünitelerini, soğutma modunda 45°F (7,2°C) ila 90°F (32,2°C) Tmax ve ısıtma modunda 45°F(7,2°C) ila 80°F(16°C) Tmin'ta değerlendirirler. Bazı üreticiler, aynı üniteleri değerlendirir veya 25°F(-3,9°C) Tmin'de çalışacak düşük sıcaklıklı üniteleri imal ederler. 25°F(-3,9°C) Tmin'taki daha yüksek sıcaklıklı ünitelerini çalıştmak için, iki sınırlama, zorla yapılmaktadır:

1. Eğer, düşük bir basınçlı sabit ortam kontrol düğmesi, ünite içinde kullanılıyorsa, bu kaldırılmalı ve uygun bir düğmenin, daha düşük uygun ortama ulaşmak için yerine koyulması zorunludur.
2. Su ve antifriz karışımı, ısı pompasını donmadan korumak için kullanılmalıdır. Eğer, sıcaklığın 35°F(1,7°C)'ın altına düşmesi söz konusu ise, antifriz solüsyonu, göz önüne alınmalıdır.

**Hatırlatma:** Toprak ısı değiştirici sistemi için % 20 propilen-glükol antifriz solüsyonu kullanıldığı zaman, ısı pompası için seçilmiş minimum su debisi, aynı ısı akımını elde etmek için % 40 artırılmalıdır. Örneğin, su

için 6 gpm debi gereklisi ise, % 20 antifriz solüsyonu kullanıldığında pompa seçimi kullanılan debi  $6\text{GPM} \times 1.4$  veya  $7.2 \text{ GPM}$  olacaktır.

Boru akış direnci veya boru basınç kaybı da antifriz solüsyonu kullanımıyla artar.% 20 propilen-glikol solüsyonu akış direncini % 36 arttırır. Su için akış direnci  $\times 1.36 =$  solüsyon için akış direnci olur.

Çevrim için istenen boru derinliğini belirlemek için, toprak sıcaklığı eğrisi, belirlenmelidir. Üniteye giren minimum ve maksimum su sıcaklığına ( $T_{GSS}$  ve  $T_{GSI}$ ) ve alanın ortalama yıllık toprak sıcaklığına  $T_m$  bağlı olarak, Tablo 5.2'deki sıcaklık değişim eğrisi, istenilen boru derinliğini belirlemek için kullanılmaktadır.

Örneğin, ortalama yıllık toprak sıcaklığı  $T_m$ ,  $73^{\circ}\text{F}$  ( $22,7^{\circ}\text{C}$ ) olan bir üniteyi ele alalım. Dağılmış olan toprak sıcaklığındaki beklenen  $15^{\circ}\text{F}$  ( $-9,4^{\circ}\text{C}$ ) artış ile, üniteye  $80^{\circ}\text{F}$  ( $26,7^{\circ}\text{C}$ ) maksimum  $T_{GSS}$  içerisinde su sağlamak için,  $T_m$  sıcaklığından su için maksimum sapma,  $7^{\circ}\text{F}$  ( $3,85^{\circ}\text{C}$ ) olacaktır. Tablo 5.2'deki eğri kullanılarak, borunun, toprak içinde  $8'$  ( $2,4$  m)'te olacağı hesaplanacaktır.

Ünite,  $T_m$ 'nin  $42^{\circ}\text{F}$  ( $5,5^{\circ}\text{C}$ ) olduğu soğutma modunda,  $T_m$ 'ye  $15^{\circ}\text{F}$  ( $8,25^{\circ}\text{C}$ ) dağılmış toprak farkı eklenerek sonuçlanacaktır veya  $52^{\circ}\text{F}$  ( $11,1^{\circ}\text{C}$ ) toprak sıcaklığı olacaktır. Ünite, ünitenin  $T_{GSS}$   $72^{\circ}\text{F}$  ( $22,2^{\circ}\text{C}$ ) ile sonuçlanması için soğutma modu için toprak sıcaklığı ve  $T_{GSS}$  arasındaki  $20^{\circ}\text{F}$  ( $11^{\circ}\text{C}$ )'lık bir fark kullanabilir. Öneri,  $72^{\circ}\text{F}$  ( $22,2^{\circ}\text{C}$ )  $T_{GSS}$  ile sonuçlanarak  $15^{\circ}\text{F}$  ( $8,25^{\circ}\text{C}$ )  $\Delta T$  olacaktır. Bunun anlamı, ıslak toprak içinde  $4'$  ile kuru toprak içinde  $2'$  boru derinliği olacaktır. Ortalama toprak derinliği  $4'$  ( $1,2$  m) olacaktır.

Aynı proses, ısıtma modu için boru derinliğini belirlemede kullanılmaktadır. Isıtma için dağılmış toprak soğutmadan daha az olur-

yaklaşık olarak  $6^{\circ}\text{F}$  ( $3,3^{\circ}\text{C}$ ).  $T_m$ 'si  $73^{\circ}\text{F}$  ( $22,7^{\circ}\text{C}$ ) olan bir uygulama için, ısıtma boru derinliği, toprak ve su arasındaki  $10^{\circ}\text{F}$  ( $5,5^{\circ}\text{C}$ )'dan az sıcaklık farklığı  $6^{\circ}\text{F}$  ( $67^{\circ}\text{F}$ )'dan az dağılmış toprak faktörü ile sonuçlanan  $73^{\circ}\text{F}$  ( $22,7^{\circ}\text{C}$ )  $T_m$ 'den belirlenir ve üniteye  $T_{GSI}$   $57^{\circ}\text{F}$  ( $13,8^{\circ}\text{C}$ )'tir. Bu ünite tasarım alanı içindedir ve boruda antifriz solüsyonu istenmez.

Isıtma modunda, ıslak toprak  $8'$  ( $2,4\text{ m}$ ) derinlik, kuru toprak  $4'$  ( $1,2\text{ m}$ ) ve ortalama toprak  $6'$  ( $1,82\text{ m}$ ) derinlik ister. Çünkü, soğutma modu ana yüktür, soğutma derinliği gerekleri kullanılmaktadır.

$T_m$ 'nin  $42^{\circ}\text{F}$  ( $5,5^{\circ}\text{C}$ ) olduğu bir uygulamada,  $6^{\circ}\text{F}$  ( $3,3^{\circ}\text{C}$ ) dağılmış toprak faktöründen az  $42^{\circ}\text{F}$  ( $5,5^{\circ}\text{C}$ )  $T_m$ ,  $36^{\circ}\text{F}$  ( $2,2^{\circ}\text{C}$ ) toprak sıcaklığı anlamına gelir. Toprak ve su arasında kullanılan  $10^{\circ}\text{F}$  ( $5,5^{\circ}\text{C}$ )  $\Delta T$ ,  $26^{\circ}\text{F}$  ( $-3,3^{\circ}\text{C}$ ) sıvı sıcaklığı anlamına gelir. Çalışma sıcaklığını  $32^{\circ}\text{F}$  ( $0^{\circ}\text{C}$ )'ın üstünde tutmak için,  $5^{\circ}\text{F}$  ( $2,75^{\circ}\text{C}$ )  $\Delta T$  kullanılmak zorunda olacaktır. Bu,  $15'$  ( $4,5\text{ m}$ ) ıslak toprakta,  $8'$  ( $2,4\text{ m}$ ) hafif kuru toprakta ve  $12'$  ( $3,65\text{ m}$ ) ortalama toprakta boru derinliği anlamına gelmektedir. Antifriz solüsyon,  $32^{\circ}\text{F}$  ( $0^{\circ}\text{C}$ ) sıvı sıcaklığı üstünde sistemin çalışmasına izin vermesi için kullanılmaktadır.  $10^{\circ}\text{F}$  ( $-12,2^{\circ}\text{C}$ )  $\Delta T$ ,  $8'$  ( $2,4\text{ m}$ ) ıslak toprakta,  $4'$  ( $1,2\text{ m}$ ) hafif kuru toprakta ve  $6'$  ( $1,82\text{ m}$ ) ortalama toprakta boru derinliğine izin verecektir. Antifriz kullanımı, boru akış direnci faktörü düzeltme gerektirecektir.

### Çalışma Faktörü

Çalışma Faktörü, ünitenin, en soğuk ay (Ocak) ve en sıcak ay (Ağustos) esnasında, ısıtma yükünün kullanılmasıyla çalışmasının beklenildiği zamanın yüzdesidir.

Her iki faktörde, çalışma modlarının her birinde istenen boru uzunluğunu belirlemek için hesaplanması gerekmektedir. Daha uzun boru ihtiyacı, sistem tasarımindan kullanılmaktadır. Çalışma faktörünü saptamak için, saatteki ısı kazancı ortalaması hesaplanmakta ve birim kapasite ile karşılaştırılmaktadır.

$$\text{Çalışma Faktörü} = \frac{\text{Ortalama Isı Kazancı veya Kaybı/Saatte}}{\text{BTUH'daki Birim Kapasite}}$$

Saatteki ortalama ısı kazancı veya kaybı hesaplamalarının sıcaklık aralığı yöntemi önerilir (ACCA Environmental Sistem Library).

Aşağıda ise İzmir için sıcaklık aralığı verileri bulunmaktadır (Bornova, İzmir).

**Tablo 5.5 İzmir için sıcaklık aralığı verileri(Güneş Enerjisi Enstitüsü ölçümleri)**

Sıcaklık Aralığı	Hava Datası ( h/yıl )
5 - 0	54
0 - 5	1320
5-10	3965
10-15	5649
15 - 20	4842
20 - 25	4679
25 - 30	3518
30 - 35	1847
35 - 40	285
40 - 45	14

Bu zaman/sıcaklık bilgisi, yıllık ısıtma veya soğutma enerji ihtiyaçlarına ulaşmak için her sıcaklık kategorisinde saatlik ısı kaybı veya kazancını kurmak için kullanılmaktadır. Yıllık enerji ihtiyacı belirlendikten sonra, ortalama saatlik ihtiyaç belirlenmekte ve ünitenin

soğutma ve ısıtma kapasitesi karşılaştırılmaktadır. Bu, ünitenin ısıtma ve soğutma ihtiyaçlarını hesaplamak için çalışılmak zorunda olunan olası zaman yüzdesini belirler. Bu yüzdeler, ısıtma ve çalışma faktörü diye adlandırılmaktadır.

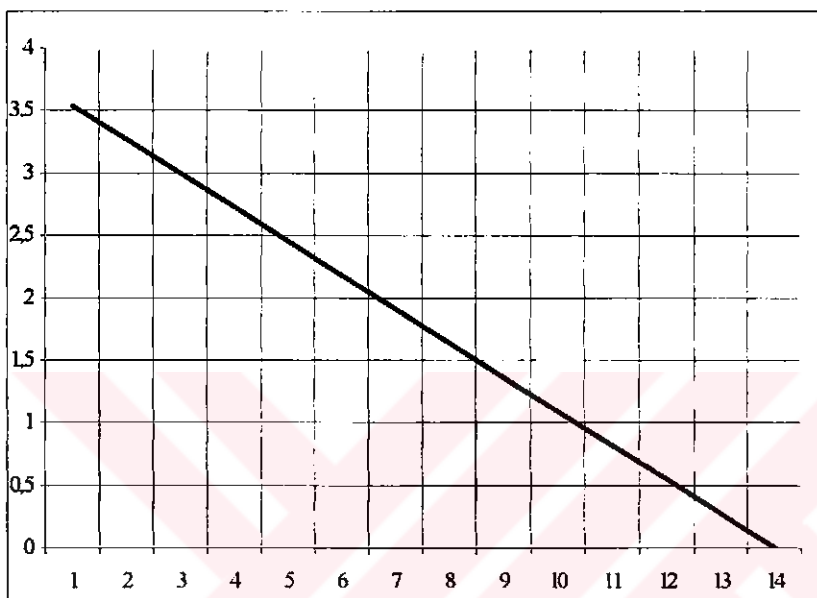
Çalışma faktörü hesaplamalarının sıcaklık aralığı yöntemini kullanmak için, aşağıdaki adımlar izlenmelidir.

#### **F<sub>I</sub>( Isıtma Çalışma Faktörü )**

**Adım 1.** Yerleştirme(thesisat)'nin denge noktasını belirlemek için binanın ısı kaybı eğrisi çizilir (Şekil 5.3). Kışın dış tasarım sıcaklığında ısı kaybını hesaplamak için 13 °C dış sıcaklıkta 0 W ısı kaybından ısı kaybı eğrisi, diğer tasarım noktaları sıcaklıklarındaki ısı kaybını gösterecek olan eğrileri üretecektir. Örneğin, ısı kaybının hesaplandığı İzmir/Bornova, uygulamaları, 3 °C kışın tasarım sıcaklığında 2,724 W'dır.

**Adım 2.** Tablo 5-5'deki sıcaklık aralığı hava verileri ile uyuşan dış sıcaklıklar arasındaki orta noktadaki ısı kaybı eğrisi (Şekil 5.3) üzerinde noktaları yerleştirmek. Örneğin, 10 °C – 15 °C arasında ota nokta 12.5 °C olacaktır. Orta nokta kullanılarak, yeterli doğruluk sağlanır ve hesaplama sayılarını minimuma çeker.

**Adım 3.** Tablo 5.6'deki çalışma sayfası kullanılarak, İzmir'e uygulanan sıcaklık aralığı verileri için sütün A'daki yıl başına saatlik hava verileri rapor edilmiştir. En düşük sıcaklığın -5 –0 °C arasında olduğunu görebiliriz. Dış sıcaklık, yılda 54 saat ortalama ile -5 – 0 °C alanlarında yer almıştır. Bu -5-0 °C sırası üzerinde sütün A'ya işlenmiştir.



Şekil 5.3 Binanın Isı Kaybı Grafiği

Bu noktadan, yıllık ortalama saatler, her bir sıcaklık aralığı verileri için,  $0 - 5^{\circ}\text{C}$ 'ta 1320 saat,  $5 - 10^{\circ}\text{C}$ 'ta 3965 saat,  $10 - 15^{\circ}\text{C}$  5649 saatir.

**Adım 4.** Şekil 5.3'deki grafik üzerinde ısı kaybı çizgisinden, kW olarak bina ısı kaybı grafiğin solundan belirlenir ve bin sıcaklığına uygun çizgi üzerine kaydedilir. Örneğin, ısı kaybı,  $-5 - 0^{\circ}\text{C}$  arasında 3,6 kW'tır.

**Adım 5.** Sütün B'deki kW'lar ile sütün A'daki saatleri çarparak her bin sıcaklığı için yıl başına kW olarak toplam ısı enerjisi kaybını bul ve sütün C'ye kaydet. Örneğin, sütün A'daki 54 saat ile sütün B'daki 3,6

kW bu sıcaklık aralığında 194,4 kW'a eşit olur. Bu hesaplamalar, tüm sıcaklık aralığında yapılmaktadır.

**Adım 6.** Tüm sıcaklık aralığındaki ısı kayıplarını topla (sütün C) ve D'deki toplama kaydet.

**Adım 7.** Sıcaklık aralığındaki(sütün A) hava veri saatlerinin sayısını topla ve E kutusu içindeki toplamı kaydet.

**Adım 8.** D'deki toplam kW'yi E'deki toplam saatlere böl ve sonuçları F kutusuna yerleştir. Bu saat başına kW ortalaması olacaktır.

**Adım 9.** F kutusundaki kW'ı 1000 ile çarparak saat başına ortalama kW ısı kaybını bul. Bu ortalamayı G kutusuna kaydet.

**Adım 10.** Üreticilerin spesifik literatürlerinden seçtiğin kendine uygun ısı kapasitesini H kutusuna yerleştir.

**Adım 11.** kW (G kutusundaki) saat başına ortalama ısı kaybını ünite ısıtma kapasitesi(H kutusundaki)'ne bölgerek ısıtma çalışma faktörünü belirle. Sonuç, ünitenin, ısıtma ihtiyaçlarını karşılamak için çalışmak zorunda olduğu zamanın yüzdesidir. Bu yüzde I kutusuna kaydedilir.

### F<sub>s</sub>( Soğutma Çalışma Faktörü )

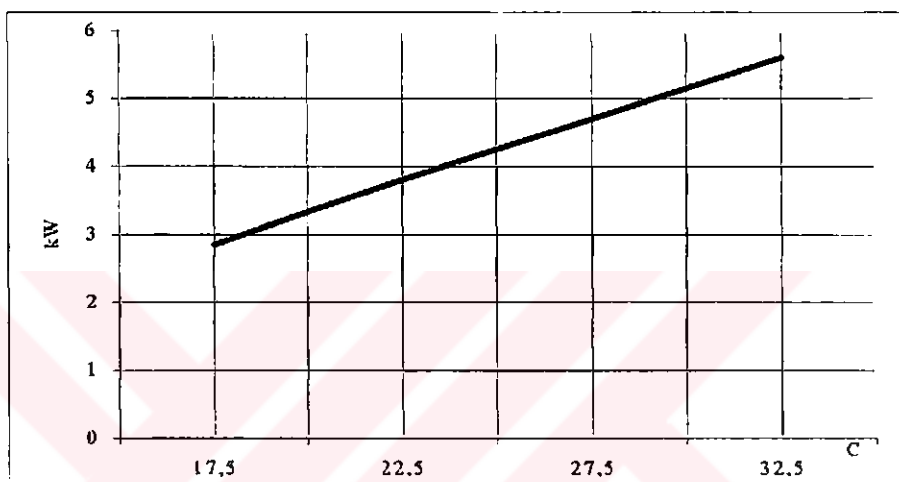
F<sub>s</sub> (soğutma çalışma faktörü) hesaplamalarını içeren adımlar F<sub>1</sub> (ısıtma çalışma faktörü) hesaplamalarına benzer şekilde yapılmaktadır.

**Adım 1.** Uygulamalar için binanın ısı kazancı eğrisi çizilir. 32,7 °C soğutma dış tasarım sıcaklığında, ısı kazancı eğrisinden 5,6 kW olduğu görülür. Tablo 5.5'de İzmir için sıcaklık aralığına göre dış sıcaklık, 35-40°C'a ulaşmaktadır. Böylelikle ısı kazancı eğrisi 40°C sıcaklık aralığına ulaşmak zorundadır.

Tablo 5.6 İşletme faktörünün hesaplanması

İŞLETME FAKTÖRÜNÜN HESAPLANMASI				
İsim: Ege Üniversitesi Güneş Enerjisi Enstitüsü				
Yer: Bornova / İZMİR				
Sıcaklık Aralığı	( A ) Hava Datası ( h/yıl )	( B ) Kayıp/Kazanç ( KW/h )	( C ) Toplam Isı Kaybı/ Kazancı AxB ( KW )	( D ) Hesaplamlar
5 - 0	54	3,6	194,4	( D ) Isıtma:
0 - 5	1320	2,85	3762	Toplam Isı Kaybı
36804	3965	1,47	5828,55	10632,3 KW/3yıl
05.Eki	5649	0,15	847,35	( E ) Mevsim Başına
15 - 20	4842	2,8	13557,6	Toplam Saatler
20 - 25	4679	3,8	17780,2	10988 HR/3yıl
25 - 30	3518	4,7	16534,6	( F ) Ortalama KW/h
30 - 35	1847	5,6	10343,2	0,967628 KW/HR
35 - 40	285	6,2	1767	( G ) Ortalama KW/h
40 - 45	14			0,967628 KW/HR
				( H ) Cihazın Isıtma Kapasitesi ( KW )
				5,7 KW
				( I ) $F_i = 0,16975935$
				( J ) Soğutma:
				Toplam Isı Kazancı
				44658 KW/3yıl
				( K ) Mevsim Başına
				Toplam Saatler
				10343 HR/3yıl
				( L ) Ortalama KW/h
				4,317703 KW/HR
				( M ) Ortalama KW/h
				4,317703 KW/HR
				( N ) Cihazın Soğutma Kapasitesi ( KW )
				6,2 KW
				( O ) $F_s = 0,69640368$

**Adım 2.** Tablo 5.5'deki sıcaklık aralığı verileri ile uyuşan sıcaklık aralığındaki orta noktadaki sıcaklık verilerinden ısı kazancı eğrisi (Şekil 5.4) üzerinde noktaları yerleştirilir. Orta nokta kullanılarak, yeterli doğruluk sağlanır ve hesaplama sayılarını minimuma çeker.



Şekil 5.4 Binanın Isı Kazancı Grafiği

**Adım 3.** Tablo 5.6'deki çalışma sayfasının daha düşük kısmı kullanılarak, İzmir'e uygulanan bin sıcaklıklarını için sütün A'daki yıl başına saatlik hava verileri rapor edilmiştir. En yüksek sıcaklığın  $-30 - 35^{\circ}\text{C}$  arasında olduğunu görebiliriz.

**Adım 4.** Tablo 5.6'daki grafik üzerinde ısı kazancı eğrisinden, kW olarak bina ısı kazancı grafiğin solundan belirlenir ve sıcaklık aralığına uygun çalışma sayfasının (Şekil 5.4) B sütunu üzerine kaydedilir. Örneğin, ısı kazancı,  $30 - 35^{\circ}\text{C}$  arasında(oku  $32,5^{\circ}\text{C}$ ) 5,6 kW'tur. Bu, çalışılmak zorunda olunan, toplam sayıların ölçüsünü azaltmak için 5,6

kW olarak kaydedilir.  $25 - 30^{\circ}\text{C}$ 'ta, ısı kazancı, 4,7,  $20 - 25^{\circ}\text{C}$ 'ta 3,8 ve bunlar B sütununa kaydedilmiştir.

**Adım 5.** Sütün B'deki kW'lar ile sütün A'daki saatleri çarparak her bin sıcaklığı için yıl başına kW olarak toplam ısı enerjisi kazancını bul ve sütün C'ye kaydet. Bu hesaplamalar, tüm sıcaklık aralığında yapılmaktadır.

**Adım 6.** Tüm bin sıcaklıklarındaki ısı kaybını topla (sütün C) ve J'deki toplama kaydet.

**Adım 7.** Sıcaklık bin'deki(sütün A) hava veri saatlerinin sayısını topla ve K kutusu içindeki toplamı kaydet.

**Adım 8.** J'deki toplam kW'yi K'deki toplam saatlere böl ve sonuçları L kutusuna yerleştir. Bu saat başına kW ortalaması olacaktır.

**Adım 9.** K kutusundaki kW'ı 1000 ile çarparak saat başına ortalama kW ısı kaybını bul. Bu ortalamayı M kutusuna kaydet.

**Adım 10.** Üreticilerin spesifik literatürlerinden seçtiğin kendine uygun ısı kapasitesini N kutusuna yerleştir.

**Adım 11.** KW (M kutusundaki) saat başına ortalama ısı kaybını ünite ısıtma kapasitesi(N kutusundaki)'ne bölgerek ısıtma çalışma faktörünü belirle. Sonuç, ünitenin, ısıtma ihtiyaçlarını karşılamak için çalışmak zorunda olduğu zamanın yüzdesidir. Bu yüzde O kutusuna kaydedilir.

### 5.3 Toprak serpantini-Boru uzunluğu hesaplamaları

#### Boru Uzunluğu Tasarımı- Genel

Boru ısı transfer uzunluğu hesaplamak için aşağıdaki formül kullanılır:

$$\text{Bu soğutma} = \frac{12,000 \text{ BTUH} \times \beta_s + 1 \times [Rb + (Rt \times Fs)]}{\beta_s \times (T_{max} - Th)}$$

$$\text{Bu ısıtma} = \frac{12,000 \text{ BTUH} \times \beta_i - 1 \times [Rb + (Rt \times Fs)]}{\beta_i \times (Ti - T_{min})}$$

**Bu soğutma** – Her 12,000 BTUH (3515,9 W) soğutma kapasitesi için gerekli olan boru uzunluğu

**Bu ısıtma** – Her 12,000 BTUH (3515,9 W) ısıtma kapasitesi için gerekli olan boru uzunluğu

$\beta_i$  – Seçilmiş ünitenin ısıtma etki katsayısı

$\beta_s$  – Seçilmiş ünitenin soğutma etki katsayısı

Rt – Toprak direnci

Rb – Boru direnci

Tl – Yılın düşük nokta gününde düşük toprak sıcaklığı – To

Th – Yılın peak gününde yüksek toprak sıcaklığı – To + 180 gün

Tmin – Üniteye giren minimum su tasarım sıcaklığı ( $T_{css\ i}$ )

Tmax – Üniteye giren maksimum su tasarım sıcaklığı ( $T_{css\ s}$ )

Fh – ısıtma çalışma faktörü

Fs – Soğutma çalışma faktörü

Kuzey bölgelerde, istenen toprak çevrimi boru uzunluğu, genellikle soğutma için olandan ısıtma için daha uzun olacaktır. Güney bölgelerde, dönüşüm genellikle, bunun tersi olmaktadır. Bununla birlikte, bu her zaman doğru değildir. Böylelikle, her iki operasyon modu için boru uzunluğu, hesaplanmak zorundadır.

### Boru Uzunluğu Hesaplamaları

Tablo 5.7'daki boru uzunluğu hesaplama foyü kullanılarak, İzmir'de tek çevrimli bir sistem için ısı değiştirici boru uzunluğunu hesaplayacağız.

## Boru bilgisi

**Adım 1.** Boru malzemesi olarak PE 40 (polietilen 40) kullanacağız.

Bu bilgi birinci sırada yer almaktadır.

**Adım 2.** İstenen boru uzunluğu hesaplamaları için temel oluşturacak boru çapını tahmin edeceğiz. Pompa boyutunun belirlenmesi için boru uzunluğu ve akış direnci hesaplandıktan sonra, ayarlar yapılabilir. Son akış direncine bağlı olarak, son sonuç, daha geniş veya daha küçük boru çapı olabilir.

Başlangıç boru çapı, toprak çevrim sistemi tipine de bağlı olacaktır. Tek sürekli çevrim veya tek çift geri çevrim için  $1\frac{1}{4}$ "ten  $2"$ 'e kadar boru kullanılmaktadır. Daha küçük üniteler ve daha düşük GPM ihtiyaçları ile  $1\frac{1}{4}$ "ten  $1\frac{1}{2}$ "e kadar boru kullanılmaktadır. Daha büyük üniteler için,  $1\frac{3}{4}$ "ten  $2"$ 'e kadar boru kullanılmaktadır.

Daha küçük üniteler, hesaplamaya başlamak için iyi bir ölçü tahmini  $1\frac{1}{2}$ "tir. Daha büyük üniteler için,  $2"$  ile başlanır. Bu bilgiyi ikinci sıraya kaydet.

**Adım 3.** Boru direnci. Tablo 5.4'deki tablodan, yatay pozisyon boru direncini, iç ve dış yüzeyler arasındaki her  $^{\circ}\text{F}$ , saat ve feet başına 0.117 BTUolarak okuruz. Bu değere, 3. sıraya kaydedilir.

## Toprak bilgisi

**Adım 4.** Ünenin yerleştirileceği alandaki toprak tipi kaydedilir. Bizim örnek için, iyi bir su içeriğine (nemli) sahip hafif toprağı bulacağız.

Tablo 5.7 Yatay Boru Uzunluğu Hesap Föyü

İsim: Ege Üni. Güneş Enerjisi Enst.		Boru Uzunluğu Soğutma: 270,55				
Yer: Bornova /İzmir		Boru Uzunluğu Isıtma: 102,83				
GRUP		SIRA AÇIKLAMA	TEKNİK DEĞERLER	BİRİM	GÖSTERİM	FORMÜL
BORU BİLGİSİ	1	Malzemesi	PE 40			
	2	Ölçüsü	1 1/2 "			
	3	Direnci	0,117		Rb	
TOPRAK BİLGİSİ	4	Tipi	Ortalama			
	5	Çukurdaki boru sayısı	1			
	6	Borular arası açıklık	0			
	7	Direnci	0,98		Rt	
YER BİLGİSİ	8	Ortalama toprak sıcaklığı	66	°F	Tm	
	9	Dağıtılmış toprak sıcaklığı	10	°F	TSV	
	10	Yatay serpentin derinliği	1,82	m		
	11	Yüksek toprak sıcaklığı	76	°F	Th	Tm+STV
	12	Düşük toprak sıcaklığı	56	°F	Tl	Tm-STV
ISI POMPASI BİLGİSİ	13	En yüksek GSSs	85	°F	Tmax	
	14	En düşük GSSı	45	°F	Tmin antif.yok	
	15	En düşük GSSı	25	°F	Tmin%20antf.	
	16	Soğutma Kapasitesi	21200	BTUH	SK	
	17	Isıtma Kapasitesi	19700	BTUH	IK	
	18	Isıtma Kapasitesi	13500	BTUH		
	19	Soğutma etkinlik katsayıısı	3		βs	
	20	Isıtma etkinlik katsayıısı	3,2		βI antif.yok	
	21	Isıtma etkinlik katsayıısı	2,7		βI %20 antf.	
ÇALIŞMA FAKTÖRÜ	22	Soğutma dış dizayn sic.	93	°F		
	23	Soğutma dizayn ısı kazancı	14335	BTUH		
	24	Isıtma dış dizayn sic.	32	°F		
	25	Isıtma dizayn ısı kazancı	12970	BTUH		
	26	Soğutma çalışma faktörü	0,169			
	27	Isıtma çalışma faktörü	0,696			
ISI DEĞİŞTİRİCİ BORU UZUNLUĞU	28	Soğutma boru uzunluğu	502,44	ft.		BUs *
	29	Toplam Soğutma Boru Uz.	270,55	m		TBUs = BUs*SK
	30	Isıtma boru uzunluğu	599,31	ft.	Antifriz Yok	BUt*
	31	Toplam Isıtma Boru Uz.	299,88	m		TBUt = BUt*IK
	32	Isıtma boru uzunluğu	194,76	ft.	% 20 Antifriz	BUt*
	33	Toplam Isıtma Boru Uz.	102,83	m		TBUt = BUt*IK

$$* \text{ Bus} = 12000 \text{ Btuh}(\beta + 1) / \beta \times [Rb + (Rs \times Fs)] \quad * \text{ Bur} = 12000 \text{ Btuh}(\beta + 1) / \beta \times [Rb + (Rs \times Fs)] \\ (\text{Tmax} - \text{Th}) \quad (\text{Tl} - \text{Tmin})$$

**Adım 5.** Hendekteki boru sayısı. Tablo 5.3'te boru düzenlemelerinin yanı sıra hendekteki boru sayısı nedeniyle toprak direnci üzerine etki, çeşitli boru çapları için sütunlarda gösterilmiştir. Örneğin,  $1 \frac{1}{2}$ " boru için, hafif toprak-nemli toprak direnci, tabaka seviyesinden aşağı boru derinliğine bağlı olarak, 0.89'dan 0.98'e kadardır. Eğer hendekte iki boru bulunuyorsa, toprak direnci, 1.19'dan 1.25'e kadar olacaktır.

**Adım 6.** Dikey şekildeki dört boru direnci 1.92'den 2.02'e artırır. Her bir dipten ayrı iki borunun iki tabaka dört boru, toprak direnci 1.99'dur. Eğer yatay tabaka içindeki borular 2 feet'den ayrı ise, toprak direnci 1.78'e düşer.

Toprak direncindeki bu değişimler, her bir borudan ısı enerjisinin diğer borular üzerine olan etkisini gösterir. Boruların kapalı yakınılığı, verilen ısı enerjisini transfer etmek için daha yüksek boru sıcaklığı gerektirir. Bu, toprak direnç faktörüne yansır.

**Adım 7.** Adım 4,5 ve 6'da belirlenmiş olan bilgilerden, toprak direnci faktörü, Tablo 5.3 içindeki tablodan belirlenir. Uygun değer 7 nolu sıraya yerleştirilir.

#### **Yer bilgisi**

Isıtma ve soğutma çalışma modları esnasında karşılaşılacak olan toprak sıcaklığını belirlemek için, yerleştirme alanındaki toprak koşulları hakkında bilgi, 8 ila 12 nolu şıklara kaydedilir.

**Adım 8.** Ortalama toprak sıcaklığı ( $T_m$ ). Ortalama yıllık toprak sıcaklığı 50' ila 150' derinliğindeki bir kuyudan kuyu suyu sıcaklığına eşit olarak kabul edilebilir. Bu İzmir için  $66^{\circ}\text{F}$  ( $18,8^{\circ}\text{C}$ )'tir (Meteoroloji Müdürlüğü, İzmir). Bu değer 8. sıraya yerleştirilir.

**Adım 9.** Toprak yüzeyi sıcaklığı (As). Bu, yıl boyunca toprak yüzeyinde oluşan sıcaklık değişimleridir. Örneğin, Tablo 5.1'deki egriler, yaz esnasında ortalama sıcaklık üstünde  $44^{\circ}\text{F}$ - $22^{\circ}\text{F}$  ( $6,6^{\circ}\text{C}$ - $5,5^{\circ}\text{C}$ ) ila kışın ortalama sıcaklık altında  $22^{\circ}\text{F}$  ( $-5,5^{\circ}\text{C}$ ) bir yüzey sıcaklık dalgalanması gösterir. Yöresel deney sıcaklık derinliği artarken, toprak malzemesinin kondansatör etkisi termal değişimi geciktirir ve sıcaklık dalgalanmasını azaltır.

Toprak sıcaklığı değişimi (TSD). Bu, var sayılan şeclin, izin verebilir toprak sıcaklığı ve yerleştirme maliyetlerini etkileyen yer boru derinliği arasındaki denge olduğunu göstermektedir. Küçük bir boru derinliği birim performansları etkileyen daha geniş bir yüzey sıcaklığı dalgası (TSD) anlamına gelir. Sonuç, kışın daha düşük bir su sıcaklığı ve yazın daha yüksek su sıcaklığı olacaktır. Daha geniş bir boru uzunluğu, daha yakın sıcaklık değişimi anlamına gelir, fakat daha yüksek maliyet gerektirir.

Deneyim, tercih edilen  $10^{\circ}\text{F}$  ( $5,5^{\circ}\text{C}$ ) ile maximum  $15^{\circ}\text{F}$  ( $8,25^{\circ}\text{C}$ ) toprak sıcaklığı değişimiyle (TSD) sınırlanmıştır. Bu, soğutma modunda ortalama yıllık toprak sıcaklığı ( $T_m$ ) üstünde  $10^{\circ}\text{F}$  ( $5,5^{\circ}\text{C}$ ) artırmak için çevredeki boru sıcaklığına izin verir ve ısıtma modunda ortalama yıllık toprak sıcaklığı ( $T_m$ ) altında  $10^{\circ}\text{F}$  ( $5,5^{\circ}\text{C}$ ) düşer.

Islak toprak, ortalama toprak ve kuru toprak için, Tablo 5.2'deki egriden, arzu edilen toprak sıcaklığı değişimini (TSD) üretmek için istenen boru derinliği belirlenir.

Örneğin, ağır, nemli toprak (yaş toprak) için  $10^{\circ}\text{F}$  ( $5,5^{\circ}\text{C}$ ) TSD ile sınırlı ise, boru derinliği en fazla 8' olmak zorundadır.

Hafif toprak daha çok boru gerektirir, fakat boru azaltılmış bir derinlikte kazılacaktır. Amaç, karşılaşılan toprak ve hava koşulları için

boru miktarını, boru derinliğini (yerleştirme maliyeti) ve ünite verimini dengelemektir.

**Adım 10.** Yatay toprak serpentin derinliği. Tablo 5.2'deki, borunun 8'(2,43 m)'e kazılacağını belirledik. Eğer yerleştirme aynı hendekte iki boru gerektiriyorsa, ortalama derinlik 8'(2,43 m)-aralarında minimum 2'(0,6 m) ile 7'(2,13 m)'te bir ve 9'(2,74 m)'da bir olacaktır.

Dört-boru kat sistemi, tepe borunun, 2'(0,6 m) aralıktta -7'(2,13 m), 8'(2,43 m) ve 9'(2,74 m)- yerleştirilen diğerleri ile yüzeyden 5'(1,5 m) olcağı için önerilmeyecektir. Daha derin hendekekler, yerleştirme maliyetini yükseltecektir. Bununla birlikte, küçük boru alanlarında, bu belki de gerekli olabilir.

Ortalama boru derinliği, 10.sıraya kaydedilir.

**Adım 11.** Yüksek toprak sıcaklığı (  $T_m+STD$  ). Yüksek toprak sıcaklığı, ortalama yıllık toprak sıcaklığının tasarım toprak sıcaklığı değişiminin (TSD) eklenmesi ile bulunur. Bizim örneğimizde, 66 °F (18,8 °C) olan  $T_m$ 'ye 10 °F (5,5 °C) TSD'nin eklenmesiyle 76 °F (24,4 °C) ( $T_h$ ) bulunur. 11.sıraya kaydedilir.

**Adım 12.** Düşük toprak sıcaklığı (  $T_L$  ). Düşük toprak sıcaklığı, ortalama yıllık toprak sıcaklığının ( $T_m$ ) tasarım toprak sıcaklığı değişiminin (TSD) çıkarılması ile bulunur. Bizim örneğimizde, 66 °F (18,8 °C) olan  $T_m$ 'ye 10 °F (5,5 °C) TSD'nin çıkarılması 56 °F (13,3 °C) ( $T_h$ ) bulunur. 12.sıraya kaydedilir.

### **Isı pompa bilgisi**

Adım 13'ten 22'e kadar verilen değerler, uygulamada kullanılacak cihaz için üreticinin teknik özelliklerini göstermektedir. Antifriz

kullanımının gerekli olması veya olmamasına bağlı olarak, ünitenin, su debi yanı sıra tatmin edici bir şekilde karşıt çalışacağı maksimum ve minimum su sıcaklıklarını ve ünite verim karakteristiklerini kaydeder.

**Adım 13.** En yüksek soğutma giren su sıcaklığı ( $T_{GSS}$ ). Üniteye giren en yüksek su sıcaklığı,  $T_{max}$  olarak sınıflandırılır ve 13.sırada gösterilir. Örneğin, Tablo 5.8'den alınan WPH28-1H ünitesini ele alalım ve limit  $85^{\circ}\text{F}$  ( $29,4^{\circ}\text{C}$ ) olsun.

**Adım 14.** Antifriz kullanılmaksızın, en düşük giren su sıcaklığı ( $T_{GSi}$ ). Su sistemlerinde antifritsiz olarak, ünitenin en düşük su sıcaklığı,  $45^{\circ}\text{F}$  ( $7,2^{\circ}\text{C}$ ) olarak alınmaktadır. (Bakınız Tablo 5.8) Böylelikle,  $T_{min}$  bu durumda,  $45^{\circ}\text{F}$  ( $7,2^{\circ}\text{C}$ )'dır. 14.sıraya kaydedilir.

**Adım 15.** % 20 antifriz solüsyonlu en düşük giren su sıcaklığı ( $T_{GSI}$ ). Toprak çevrim sistemlerinde % 20 antifriz karışımı kullanılarak, ünitenin,  $25^{\circ}\text{F}$  ( $-3,8^{\circ}\text{C}$ ) olan bir  $T_{min}$   $T_{GSI}$ 'da çalışmasına izin verilir. Bu, 15.sıraya kaydedilir.

**Adım 16.** Ünite soğutma kapasitesi (ÜK). Adım 14'te seçilmiş  $T_{max}$  sıcaklığı ve Tablo 5.8'deki ünite kapasite tablosu kullanılarak, 4 GPM'de 21200 BTUH (6211,5 W), 6 GPM'de 28600 BTUH (6328,7 W) ve 8 GPM'de 28800 BTUH (6358,0 W) olduğunu buluruz. Tahmin edilen soğutma yükü 19,112 BTUH (5599,7 W)'dır.

% 10 tolerans kullanılarak, 21,024 BTUH (6159,7 W)'lık bir kapasiteye ihtiyacımız vardır. Aşırı ölçü olmaksızın buna yakın bir kapasitenin üstesinden gelmek için, biz 4 GPM şeklini kullanacağız. ÜK 21,200 BTUH (6211,5 W) 16..sırada kaydedilir.

**Tablo 5.8 WPH28-1H Kodlu Cihaz Özellikleri (Courtesy Addison Products Co.)**

**WPH28-1H**

TGSS	GPM	TOP. KW	HIS.kW	Wat	EER	EER	HEAT
45	2	9258,7	6475,2	2300	13,7	13,1	11280
	3	9698,2	6563,1	2180	15,2	14	11573
	4	9903,3	6651,0	2130	15,9	14,3	11749
50	2	9053,6	6416,6	2350	13,1	12,5	11105
	3	9493,1	6504,5	2240	14,5	13,4	11427
	4	9698,2	6563,1	2180	15,2	13,7	11573
55	3	9258,7	6416,6	2300	13,7	12,7	11280
	4	9493,1	6504,5	2240	14,5	13,1	11456
	5	9639,6	6563,1	2220	14,8	13,2	11573
60	3	9082,9	6299,4	2350	13,2	12,3	11134
	4	9258,7	6387,3	2300	13,7	12,4	11280
	5	9405,2	6445,9	2260	14,2	12,5	11368
65	4	9024,3	6328,7	2360	13,1	11,8	11105
	6	9229,4	6416,6	2300	13,7	12,1	11251
	8	9346,6	6475,2	2280	14,0	11,6	11339
70	4	8819,2	6240,8	2420	12,4	11,3	10958
	6	9024,3	6328,7	2370	13,0	11,3	11105
	8	9112,2	6387,3	2340	13,3	11	11163
75	5	8702,0	6152,9	2450	12,1	10,8	10870
	7	8819,2	6211,5	2420	12,4	10,6	10958
	9	8907,1	6270,1	2400	12,7	10,3	11017
80	5	8467,6	6065,0	2520	11,5	10,3	10694
	7	8584,8	6123,6	2490	11,8	10,1	10782
	9	8643,4	6182,2	2470	11,9	9,8	10812
85	5	8233,2	5977,1	2590	10,8	9,7	10519
	7	8379,7	6035,7	2550	11,2	9,6	10636
	9	8438,3	6094,3	2540	11,3	9,4	10694
90	6	8057,4	5889,2	2640	10,4	9,2	10401
	8	8174,6	5947,8	2600	10,7	9,1	10489
	10	8233,2	5977,1	2580	10,9	8,8	10519

TGSS	GPM	TOP. KW	Wat	B	B	HEAT
45	4	6709,64	2140	3,1	2,8	4834
	7	7149,14	2200	3,2	2,7	4922
	10	6709,64	2240	3,0	2,6	5098
50	4	7266,33	2220	3,3	3	5040
	7	7764,43	2300	3,4	2,9	5743
	10	7998,83	2340	3,4	2,7	5655
55	4	7852,33	2310	3,4	3,1	5538
	7	8379,72	2400	3,5	3	5977
	10	8614,12	2440	3,5	2,8	6153
60	3	8028,13	2340	3,4	3,2	5684
	5	8702,02	2450	3,6	3,2	6241
	8	9112,22	2520	3,6	3	6563
65	3	8467,62	2410	3,5	3,3	6036
	5	9200,12	2520	3,7	3,3	6631
	8	9668,91	2600	3,7	3,1	7061
70	3	8995,02	2500	3,6	3,4	6475
	5	9786,11	2620	3,7	3,4	7149
	8	10284,2	2700	3,8	3,2	7559
75	2	8702,02	2440	3,6	3,4	6241
	4	10049,8	2660	3,8	3,5	7384
	6	10606,5	2750	3,9	3,6	7852
80	2	9229,42	2520	3,7	3,5	6680
	4	10665,1	2760	3,9	3,6	7882
	6	11280,4	2860	3,9	3,6	8204

**Tablo 5.9 WPH22-1H Kodlu Cihaz Özellikleri (Courtesy Addison Products Co.)**

**WPH22-1H**

TGSS	GPM	TOP. Kw	Hs,k W	Watt	EER	EER	HEAT	TGSS	GPM	TOP. Kw	Watt	$\beta$	$\beta$	HEAT
7,2	2	7266,3	4893,1	1730	14,3	13,4	8731,3	7,2	4	5772,0	1780	3,2	2,7	4248,5
	3	7530,0	5010,3	1660	15,5	14,0	8936,4		7	5918,5	1800	3,3	2,6	4395,0
	4	7647,2	5068,9	1630	16,0	14,0	9024,3		10	5977,1	1820	3,3	2,5	4424,3
10,0	2	7090,5	4834,5	1770	13,7	12,8	8584,8	10,0	4	5918,5	1820	3,3	2,9	4365,7
	3	7354,2	4951,7	1710	14,7	13,3	8789,9		7	6240,8	1860	3,4	2,8	4629,4
	4	7471,4	4981,0	1670	15,3	13,4	8877,8		10	6387,3	1890	3,4	2,7	4746,6
12,8	3	6944,0	4775,9	1820	13,0	12,2	8496,9	12,8	4	6475,2	1910	3,4	3,0	4834,5
	4	7178,4	4863,8	1750	14,0	12,7	8672,7		7	6768,2	1950	3,5	2,9	5068,9
	5	7295,6	4922,4	1720	14,5	12,7	8760,6		10	6914,7	1980	3,5	2,8	5186,1
15,6	3	7002,6	4805,2	1800	13,3	12,1	8526,2	15,6	3	6944,0	1980	3,5	3,1	5215,4
	4	7119,8	4834,5	1770	13,7	12,1	8614,1		5	7266,3	2040	3,6	3,0	5479,1
	5	7178,4	4863,8	1750	14,0	12,0	8672,7		8	7442,1	2070	3,6	2,9	5625,5
18,3	4	6826,8	4717,3	1830	12,6	11,5	8409,0	18,3	3	7295,6	2040	3,6	3,2	5508,4
	6	6944,0	4775,9	1820	13,0	11,5	8496,9		5	7705,8	2120	3,6	3,1	5830,6
	8	7002,6	4805,2	1790	13,4	11,4	8526,2		8	7823,0	2130	3,7	3,0	5947,8
21,1	4	6651,0	4658,7	1900	11,9	10,9	8291,8	21,1	3	7442,1	2060	3,6	3,3	5654,8
	6	6826,8	4717,3	1840	12,7	10,9	8409,0		5	8028,1	2180	3,7	3,2	6123,6
	8	6914,7	4775,9	1820	13,0	10,5	8467,6		8	8291,8	2220	3,7	3,1	6328,7
23,9	5	6475,2	4570,8	1950	11,3	10,4	8174,6	23,9	2	7910,9	2160	3,7	3,4	6006,4
	7	6651,0	4638,7	1900	11,9	10,3	8291,8		4	8262,5	2210	3,7	3,4	6328,7
	9	6709,6	4688,0	1880	12,2	10,0	8321,1		6	8496,9	2260	3,8	3,3	6504,5
26,7	5	6416,6	4541,5	1960	11,2	10,0	8116,0	26,7	2	7910,9	2160	3,7	3,5	6006,4
	7	6533,8	4570,8	1920	11,6	9,8	8203,9		4	8526,2	2270	3,8	3,5	6533,8
	9	6563,1	4600,1	1910	11,7	9,4	8233,2		6	8936,4	2340	3,8	3,5	6856,1
29,4	5	6211,5	4482,9	2020	10,5	9,4	7969,5							
	7	6328,7	4512,2	1990	10,9	9,2	8057,4							
	9	6358,0	4541,5	1970	11,0	8,9	8057,4							
32,2	6	6094,3	4424,3	2060	10,1	8,8	7881,6							
	8	6152,9	4453,6	2040	10,3	8,5	7940,2							
	10	6182,2	4482,9	2030	10,4	8,2	7940,2							

**Adım 17.** Isıtma ünitesi kapasitesi (antifriz yok) (IK).  $45^{\circ}\text{F}$  ( $7,2^{\circ}\text{C}$ )  $T_{\min}$ 'de soğutma için seçilmiş 6 GPM kullanılarak, Tablo 5.8'den ünitenin IK'nin 19,700 BTUH (5772 W) verildiğini belirleriz. Bu, 17.sıraya yerleştirilir.

**Adım 18.** Isıtma ünitesi kapasitesi (% 20 antifriz) (IK). % 20 antifriz solüsyonu kullanılarak, ünite,  $25^{\circ}\text{F}$  ( $-3,8^{\circ}\text{C}$ )'lık bir  $T_{GSS}$  kabul edilir. 6 GPM debi ile, ünite 13,500 BTUH (3955,5 W) olacaktır. 18.sıraya kaydedilir.

**Adım 19.**  $T_{\max}$ 'ta ünite soğutma  $\beta$ . Tablo 5.8'den seçilmiş ünitenin  $\beta_s$  (etkinlik katsayısı), 6 GPM su akış hızı ile  $80^{\circ}\text{F}$  ( $26,6^{\circ}\text{C}$ )  $T_{\max}$ 'da 3,0.

Tablo'da etkinlik katsayısı, su sirküle pompası olmaksızın 10,5 EER oranı (enerji yeterlilik oranı) olarak verilmiştir. EER oranını  $\beta$  dönüştürmek için, EER oranı 3.413'e bölünür. Böylelikle, 3.413 ile bölünmüş 10,5 EER oranı,  $\beta$  oranı olarak 3.0 elde edilir. Bu 19.sıraya kaydedilir.

**Adım 20.** Isıtma ünitesi  $\beta_1$  oranı (antifriz yok). Antifriz kullanılmadan, ünite  $45^{\circ}\text{F}$  ( $7,2^{\circ}\text{C}$ ) bir  $T_{\min}$  gerektirir. 6 GPM su akış hızı ile, sirkülasyon pompası olmaksızın, ünite 3.2'lik bir  $\beta_1$  oranına sahip olur (Tablo 5.8). Bu 20.sıraya kaydedilir.

**Adım 21.** Isıtma ünitesi  $\beta_1$  oranı (% 20 antifriz). % 20 antifriz kullanılarak,  $T_{\min}$  (minimum giren su sıcaklığı),  $25^{\circ}\text{F}$  ( $-3,89^{\circ}\text{C}$ )'tir. 6 GPM su akış hızı ile, sirkülasyon pompası olmaksızın, ünite 2.7'lik bir  $\beta_1$  oranına sahip olur. Bu 21.sıraya kaydedilir.

## Ünite çalışma faktörü

Çalışma faktörü, ünitenin soğutma ve ısıtma modunda çalışması beklenilen zamanın yüzdesidir. Metod, Tablo 5.6'da kullanılmıştır.

Çalışma faktörü hesap metodunu kullanmak için bilgi, tasarım sıcaklıklarını ve ısı kazancı ve kaybı şekilleri 22, 21, 22, 23, 24, 25, 26 ve 27.sıralara kaydedilmiştir.

**Adım 22.** Soğutma dış tasarım sıcaklığı. Bu İzmir şartlarında, 93 °F (33,8 °C). Bu 22.sıraya kaydedilir.

**Adım 23.** Soğutma tasarım ısı kazancı. Soğutma tasarım ısı kazancı, 19112 BTUH (5599,7 W) olduğu belirlenmiştir. Bu 23.sıraya kaydedilir.

**Adım 24.** Isıtma dış tasarım sıcaklığı. Bu İzmir şartlarında, 32 °F (0 °C). Bu 24.sıraya kaydedilir.

**Adım 25.** Isıtma tasarım ısı kaybı. Isıtma tasarım ısı kaybı, 12088,4 BTUH (3541,9 W) olduğu belirlenmiştir. Bu 25.sıraya kaydedilir.

**Adım 26.** Soğutma çalışma faktörü. Tablo 5.6 kullanılarak, İzmir için soğutma çalışma faktörü, 0,696 olarak belirlenmiştir. Bu 26.sıraya kaydedilir.

**Adım 27.** Isıtma çalışma faktörü. Tablo 5.6 kullanılarak, İzmir için soğutma çalışma faktörü, 0,169 olarak belirlenmiştir. Bu 27.sıraya kaydedilir.

## Toprak çevrimi ısı değiştirici uzunluğu

Soğutma ve ısıtma çalışma modunda , geri kalan adımlar, istenilen ısı transferini almak için ihtiyaç olan kazılmış borunun miktarını belirlemek için matematiksel hesaplamalardır. Eğer antifriz solüsyon

gerekli ise belirlemek için, ısıtma boru uzunluğu her koşul için hesaplanmaktadır. Verilmiş olan yerdeki tecrübeler, bu hesaplama adımlarını azaltmaya yöneliktir. Bununla birlikte, her adım dikkate alınmalıdır.

Hesaplama metodlarını, 12,000 BTUH (3515,9 W) ısı transferine bağlı olarak ısıtma ve soğutma için ihtiyaç olan boru miktarını belirler. Boru uzunluğu hesaplamalarından sonra, toplam boru uzunluğu ünitenin doğru ısıtma ve soğutma kapasitesine uyarlanır.

### Boru uzunluğu-Soğutma

**Adım 28.** Hesaplama formülü. Adım 1'den 28'e kadar bu değerler, İzmir'deki uygulamaya bağlıdır. Adım 28, ünite soğutma kapasitesinin her 12,000 BTUH (3515,9 W) için soğutma boru uzunluğunu hesaplamak için kullanılan tüm formülü gösterir.

$$\text{BU soğutma} = \frac{12,000 \text{ BTUH} \times \beta_s + 1 \times [\text{Rb} + (\text{Rt} \times \text{Fs})]}{\beta_s \times (\text{Tmax} - \text{Th})}$$

Değerler yerine konulur ve 12,000 BTUH başına Soğutma boru uzunluğu 1047,75 ft (319,35 m) bulunur.

**Adım 29.** Toplam soğutma boru uzunluğu ünitemizin soğutma kapasitesi ile çarpımının 12,000 BTUH'a bölünmesiyle bulunur. Soğutma kapasitesi 16. sırada 21200 BTUH (6211,5 W) olarak verilmiştir. Tablo'da Bu değer, 0,3048 ile çarpılıp metreye çevrilmiştir. Sonuç, 564,19 m bulunmuştur ve bu 29.sıraya yerleştirilmiştir.

$$\text{TBUs} = \text{BusxSK}/12,000$$

### **Isıtma (antifriz yok)**

Isıtma ısı değiştirici boru uzunluğunu hesaplamak için, aynı basit formül ve adımlar kullanılmaktadır.

**Adım 30.** Boru uzunluğunu formülü-isıtma-antifriz yok. Değişenler,  $\beta$ ,  $F_1$ ,  $T_L$ , ve  $T_{min}$ 'dir. Bunlar, 20, 27, 12 ve 14.sıralarda verilmiştir.

$$\text{Bu ısıtma} = \frac{12,000 \text{ BTUH} \times \beta_{l-1} \times [R_b + (R_t \times F_1)]}{\beta_l \times (T_l - T_{min})}$$

Buradan, ısıtma boru uzunluğu, 383,22 ft (116,8 m) bulunur. 30.sıraya yerleştirilir.

**Adım 31.** Toplam ısıtma boru uzunluğu 30. Adımda bulunan Bu değerinin 17.adımdaki IK ile çarpılıp 12,000 BTUH'a bölünmesiyle bulunur. Bulunan değer 0,3048 ile çarpılıp m'ye çevrilerek, sonuç 191,76 m bulunmuştur.

### **Isıtma (%20 antifriz)**

45°F'in altında su sıcaklığında ( $T_L$ ) kullanılan ünite, farklı  $T_{min}$ , IK ve  $\beta$ 'ya sahip olacaktır. Bunlar 15, 18 ve 21.sıralarda gösterilmiştir.

**Adım 32.** Temel formül. Formülde her birinin yerine gerçek değerleri yerleştirilir Bizim örneğimizde, 25°F ( $T_{min}$ ) ünite düşük giren su sıcaklığı ve 56°F ( $T_L$ ) üniteye giren su sıcaklığı ile bulacağız, ısı transferi için toprak ve %20 antifriz karışımı arasındaki sıcaklık farkı 31°F olarak bulacağız. Bu sayı, payda ile bölünderek, 12,000 BTUH (3515,9 W) ısıtma kapasitesi başına boru uzunluğu 124,54 feet bulunur.

**Adım 33.** Isıtma için toplam boru uzunluğunu bulmak için, 12,000 BTUH (3515,9 W) başına uzunluk,  $T_{GSi}$  ve GPM'de ünitenin ısıtma

kapasitesine 12,000 BTUH (3515,9 W)'in oranı ile ayarlanmaktadır. Bu uygulamada, 12,000 BTUH (3515,9 W) ile bölünen 12,000 BTUH (3515,9 W) başına 124,54 ft kere 25°F'de ünitenin ısıtma kapasitesidir. Isıtma operasyonu için ısı değiştiricinin toplam boru uzunluğunun (TBU), 65,75 m olduğu belirlenir.

Isıtma ve soğutma için daha uzun boru uzunluğu uygulamalarda kullanılmıştır.

Bulunan sonuçlar Tablo 5.7'de özetlenmiştir.

### **Dikey Sistem**

Şekil 5.2, dikey boru sondajı içindeki U-tüp ısı değiştirici boru kullanılan seri sistemi göstermektedir. Bu sistem, tek U-tüp'ün içinden, tüm sıvının akışıyla tek bir dolaşımındır. Tablo 5.10'nu kullanarak, ihtiyacımız olan toplam ısı değiştirici boru uzunluğunu hesaplayacağız.

Yerleştirme için termo füzyon kaynağı ile birleştirilmiş 1 ½"lik polietilen 40 boru kullanacağız. Tablo 5.11, ¾"den 2"e kadar plastik borular için tek U-bükme ve çift U-bükme (her delik için çift U-bükme) için istenen minimum çaplı boru sondajını gösterir. Çift U-bükmenin kullanımı yüksek maliyet nedeniyle sınırlıdır. Çift U-bükme, yıllık ortalama yer sıcaklığının ( $T_m$ ), 60 °F (15,56 °C) veya daha aşağısında olan bölgelerde kullanımı sınırlıdır.

66 °F (18,8 °C)  $T_m$  ile İzmirde, 4 ¾" boru sondajı içinde 1 ½"lik boru ile tek U-bükme sistemi kullanılacaktır. Burada, yatay boru değiştiricisinde kullanılan temel formül aynıdır. Değerlerden, boru direnci  $R_b$  (3.sıra) ile toprak direnci  $R_t$  (5.sıra) değişir. Boru direnci için Tablo 5.4'deki  $R_{bd}$  değeri ve  $R_t$  için Tablo 5.3'deki U-bükme kısmı kullanılacaktır. Örneğimizde,  $R_b$  için 0,080 ve  $R_t$  için 0,94 kullanılmıştır.

Tablo 5.10 Dikey Boru Uzunluğu Hesap Föyü

İsim: Ege Üni. Güneş Enerjisi Enst.			Boru Uzunluğu Soğutma: 702,89 m			
Yer: Bornova /İzmir			Boru Uzunluğu Isıtma: 43,45 m			
Sondaj sayısı: 4 Ölçüsü: 4 3/4 "			Derinlik: 88 m			
GRUP	NO	SIRA AÇIKLAMA	TEKNİK DEĞERLER	BİRİM	GÖSTERİM	FORMÜL
BORU BİLGİSİ	1	Malzemesi	PE 40			
	2	Ölçüsü	1 1/2 "		Rb	
	3	Direnci	0,08			
TOPRAK BİLGİSİ	4	Tipi	Ortalama			
	5	Direnci	0,94		Rt	
YER BİLGİSİ	6	Ortalama toprak sıcaklığı	66	°F	Tm	
	7	Dağalımsı toprak sıcaklığı	10	°F	TSV	
	8	Yüksek toprak sıcaklığı	76	°F	Th	Tm+STV
	9	Düşük toprak sıcaklığı	56	°F	Tl	Tm-STV
ISI POMPASI BİLGİSİ	10	En yüksek GSSs	85	°F	Tmax	
	11	En düşük GSSı	45	°F	Tmin antf.yok	
	12	En düşük GSSı	25	°F	Tmin%20antf	
	13	Soğutma Kapasitesi	21200	BTUH		
	14	Isıtma Kapasitesi	19700	BTUH		
	15	Isıtma Kapasitesi	13500	BTUH		
	16	Soğutma etkinlik katsayıısı	3		βs	
	17	Isıtma etkinlik katsayıısı	3,2		βI antf.yok	
	18	Isıtma etkinlik katsayıısı	2,7		βI %20 antf.	
ÇALIŞMA FAKTÖRÜ	19	Soğutma dış dizayn sic.	93	°F		
	20	Soğutma dizayn ısı kazancı	14335	BTUH		
	21	Isıtma dış dizayn sic.	32	°F		
	22	Isıtma dizayn ısı kazancı	12970	BTUH		
	23	Soğutma çalışma faktörü	0,696			
	24	Isıtma çalışma faktörü	0,169			
ISI DEĞİŞİTİRCİ BORU UZUNLUĞU	25	Soğutma boru uzunluğu	2306,06	ft		BUs *
	26	Toplam sonda uzunluğu	1153,03	ft		TSUs = BU <sub>s</sub> /2
	27	Sonda adeti	4			SAs = TSUs / 300
	28	Sonda uzunluğu	87,86	m		SUs = TSUs / SA
	29	Isıtma boru uzunluğu	561,46	ft	Antfiz Yok	BUI
	30	Toplam sonda uzunluğu	281	ft		TSUI = BUI/2
	31	Sonda adeti	1			SAI = TSUI / 300
	32	Sonda uzunluğu	85,57	m		SUI = TSUI / SA
	33	Isıtma boru uzunluğu	142,55	ft	Antfiz Var	BUI
	34	Toplam sonda uzunluğu	71,27	ft		TSUI = BUL/2
	35	Sonda adeti	0,24			SAI = TSUI / 300 *
	36	Sonda uzunluğu	21,72	m		SUI = TSUI / SA

Soğutma ve ısıtma boru ısı değiştiricisi için temel formül aşağıdadır.

$$BU_s = \frac{12000 \text{ BTUH} \times \beta + 1 \times [R_b + (R_{tx} F_s)]}{\beta (T_{max} - T_h)} = \dots \text{ Ft.}$$

$$BU_1 = \frac{12000 \text{ BTUH} \times \beta - 1 \times [R_b + (R_{tx} F_s)]}{\beta (T_l - T_{min})} = \dots \text{ Ft.}$$

Tablo 5.10'da, 25.sırada verilen soğutma ısı değiştirici uzunluğu 12000 BTUH başına soğutma ısı değiştirici uzunluğu bulunduktan sonra, soğutma kapasitesi ile çarpılıp, 12,000 BTUH'a bölünmüş ve 2306,06 ft (702,89 m) bulunmuştur.

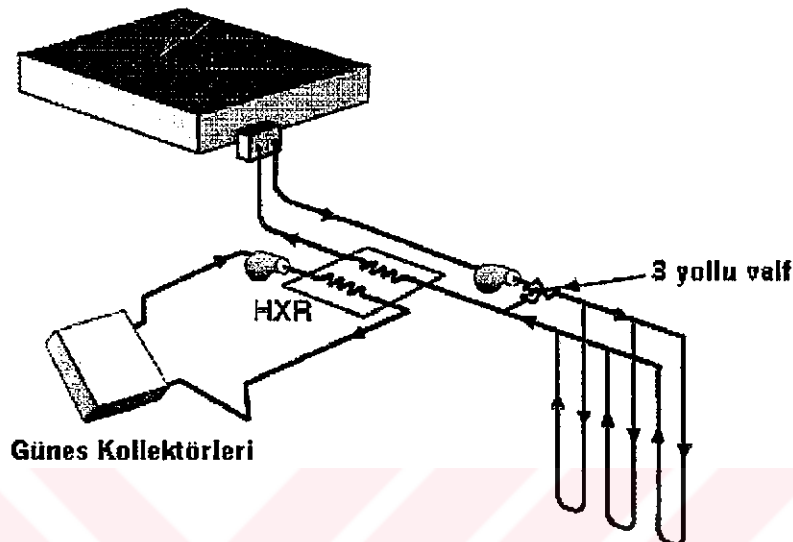
Tek U-bükme çevriminde her sondajda iki boru kullanılır. Toplam boru derinliği, 2306,06 ft (702,89 m)'ın yarısı veya 1153,03 ft (351,44 m)'tir. Maksimum boru derinliği, 300 ft (91,44 m)'tir. Böylelikle, 288 ft (87,86 m) derinlikte 4 sonda, soğutma kapasitesini kullanmak için gerekmektedir. Bu, 26, 27 ve 28.sıralarda gösterilmiştir.

Tüm toprak çevrim sistemlerinde ve sondajda boru uzunluğu, daha yüksek olan yüze bağlıdır.

Tablo 5.11 Sondaj ölçüsü

SONDAJ İÇİN MİNİMUM ÇAP		
Boru çapı	Tek U-bükme	Çift U-bükme
$\frac{3}{4}''$	$3 \frac{1}{4}''$	$4 \frac{1}{2}''$
1"	$3 \frac{1}{2}''$	$5 \frac{1}{2}''$
$1 \frac{1}{4}''$	4"	$5 \frac{3}{4}''$
$1 \frac{1}{2}''$	$4 \frac{3}{4}''$	6"
2"	6"	7"

## 6. GÜNEŞ ENERJİSİ DESTEKLİ ISI POMPASI



Şekil 6.1 Güneş Enerjisi Destekli Isı Pompası

Kuzey iklimlerde ısı yükü, toprak ısı değiştirici uzunluğunu azaltmak için güneş enerjili ek bir sistem gerektirebilir. Güneş kollektörleri, sıcak su için tasarlanabilir ve Şekil 6.1'deki gibi, toprak serpentin çevrimine (ısı değiştirici vasıtayı veya direkt olarak) yerleştirilebilir. Paneller, ısı transfer akışkanına ek bir ısı sağlar. Bu tip, gerekli toprak serpentin ölçüsünü azaltır ve daha yüksek sıcaklıklı ısı transfer akışkanı sağlayarak ısı pompası verimliliğini arttırmır (Federal Technology Alert, 1999).

Buhar enerjisine dayalı üç çeşit ısı sistemi tasarısı geliştirilmiştir. Seri sistemlerde, ısı pompası enerjiyi güneş enerjisi ile ısıtılan ısıl depodan alır. Paralel sistemde ise; ısı pompası enerjiyi dış atmosferden

alır. Çift kaynaklı sistemde ise; seri ve paralel sistemlerin bir karışımı olarak ısı pompası enerjisi ile ısıtılan ıslı depodan veya atmosfer havasından alır.

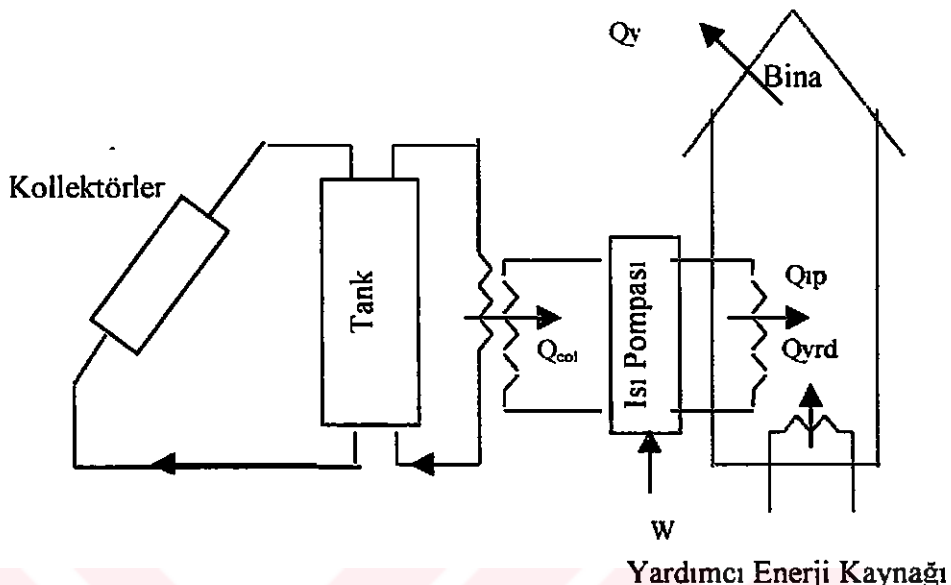
## **6. 1 Seri Kaynaklı Isı Pompaları**

Şekil 6.1'de görüldüğü gibi seri sistemler, bir güneş enerjisi toplayıcısı, bir enerji deposu, ısı pompası, su soğutucusu, ısı değiştiricisi, yoğunlaştırıcı, buharlaştırıcı ve sirkülasyon pompası ile diğer ekipmanlardan oluşur.

Seri sisteme sıcak su güneş kollektörlerinden gelir ve depolama tankına gider. Depolama tankı; metal malzemeden yapılmış ve ısı yalıtıminin sağlanabilmesi için cam yünü ile izole edilmiştir. Depolama tankının içerisinde Kalsiyum Klorür ( $\text{CaCl}_2$ ) kullanılmıştır (Kaygusuz vd. 1992).

Depolama tankında, ısı enerjisinin bir kısmı depoda bulunan P.C.M.(Faz değiştirmeye materyali)'ye bırakılır. Daha sonra ısı pompasının su kaynaklı buharlaştırıcısı tarafından ısı kaynağı olarak kullanılır. Su sirkülasyon pompası ile güneş kollektörlerine gönderilir.

Bununla birlikte; gece ve bulutlu günlerde ısı pompası buharlaştırıcısından gelen suyun sıcaklık azalısında, su güneş kollektörleri yerine enerji depolama tankına gönderilir. Soğuk su depodaki P.C.M. den buharlaştırıcı için gerekli ıslı enerjiyi alır. Almış olduğu enerjiyi ısı kaynağı olarak kullanmak için buharlaştırıcıya gönderir. Böylece gece ve bulutlu günlerde tanktaki depolanmış enerji, ısı pompası için enerji kaynağı olarak kullanılabilir.



Şekil 6. 1 Seri kaynaklı ısı pompaları

İsıl enerji depo ile kullanılan güneş enerjisi destekli seri ısı pompalarının avantajları; ısı pompası  $\beta$ 'nin ve kollektör verimliliğinin artışıdır.

## 6. 2 Paralel Kaynaklı İSİ Pompaları

Paralel güneş ısı pompa sistemleri için ilk olarak Audit, tarafından proje tasarıımı gerçekleştirılmıştır. Sistem Şekil 6.2'de gösterilmiştir. Geleneksel ya da sıvı güneş sistemleri, su ısıtma ve ev ısıtmak için kaynak olarak kullanılmaktadır (Anderson vd., 1980).

Havadan havaya ısı pompaları yardımcı ısıtma kullanılarak gerçekleştiriliyor. Yardımcı kaynak olarak ya elektrik yada fosil yakıtlar kullanılır.

İsı pompaları bu sistemde enerjiyi yalnızca atmosfer havasından alır. Depolama sıcaklığının derecesi, güneş enerjisinin depolanma

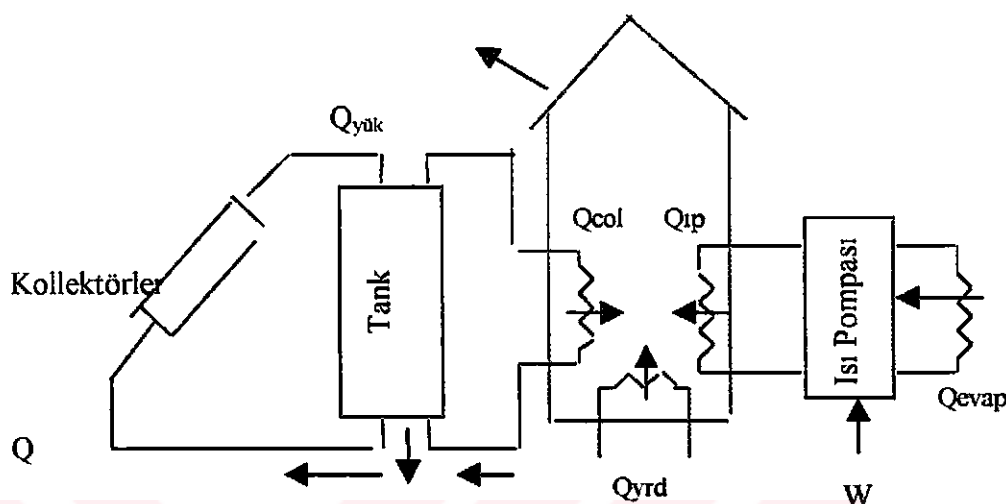
sıcaklığını gösterir ve direkt olarak sistem için gerekli enerjiyi sağlar. Buna karşılık seri ve karışık kaynaklı sistemlerde enerji ısı pompası tarafından sık sık absorbe edilerek çekilir ve depo sıcaklığı direk güneş ısıtması için istenen değerinin altında kalır.

Eğer sistemin güneş sistemi bölümü olmasa idi ,sistem bağımsız tek başına havadan-havaya ısı pompası olurdu. Alan (yer) ısıtılmasında ana (temel) kaynak olurken, fosil yakıt ya da elektrik enerjisi yer ısıtılması ve su ısıtılmasında destekleyici kaynak olacaktır.

Paralel ısı pompası sistemi iki ana parçanın birleşimidir. Güneş sistemi ve paralel ısı pompası sistemi, bu sistem içerisinde de sudan havaya ısı değiştirici, ısı kaynağı olarak güneş enerjisini kullanırken, ısı pompası da enerji kaynağı olarak atmosfer havasını kullanır. Kendi enerjilerini ayrı ayrı yüke verirler. Güneş enerjisi mümkün olabilecek ısı ihtiyacının çoğunu kullanım için karşılar. Böylece sistemde toplam kullanabilir enerji, İki farklı sistemden (Güneş enerjisi ve ısı pompa sistemi ) çıkan enerjilerini toplamıdır.

### **6. 3 Çift Kaynaklı Güneş Enerjisi Destekli Isı Pompaları**

Seri ve paralel kaynaklı ısı pompalarının bir karışımı olarak görülmektedir. Çift kaynaklı sistemde ısı pompası iki buharlaştırıcıya sahiptir. Bir tanesi su kaynaklı buharlaştırıcı , bu eleman depo tankına Spiral olarak yerleştirilmiştir. Diğer de hava kaynaklı buharlaştırıcıdır. Atmosfer havasını rahatça alabilecek ortama yerleştirilmiştir (Eğriçan A.N.,1991).



Şekil 6. 2 Paralel Sistemli Isı Pompaları

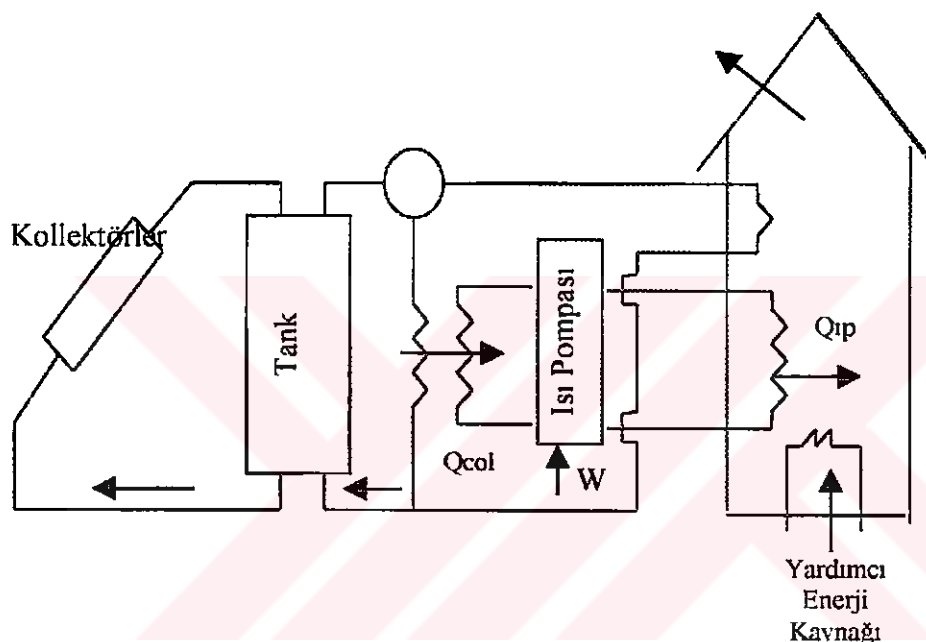
Bunlar ısı kaynağı olarak ya atmosfer havasını ya da toplanan güneş enerjisini kullanırlar. Sistemin C.O.P. sinin yüksek oluşu da bu durumun bir sonucudur.

Karışık (çift) kaynaklı sistemde 3 ısıtma modu vardır. Şekil 6.3'de direk güneş ısıtma modunda yapılmıştır. Bu sistemde önceden belirlenen kontrol sıcaklığına göre (303 K) depo tankının sıcak olması gerekmektedir. Ev ısıtılmasında direkt olarak kullanılır. Bu durumda ısı pompası kapalıdır. Fazla güneş enerjisi depoda toplanmaya başlar.

Tank sıcaklığı kontrol değerinin altında olduğu zaman bile atmosfer sıcaklığından daha yüksektir. Akışkan depo tankından buharlaştırıcıya pompalanır ve ısı kaynağı olarak kullanılır. Ev ısıtma yükünün büyüklüğüne bağlı olarak güneş enerjisi sıcak su deposunda toplanır.

Tank sıcaklığı ya minimum yada atmosfer sıcaklığından daha az olduğu zaman, atmosfer havası buharlaştırıcı için ısı kaynağıdır. Yardımcı ısıtıcıya ihtiyaç duyulduğunda elektrikli ısıtıcıdan yararlanılır.

Karışık kaynaklı ısı pompaları, seri ve paralel güneş enerjisi destekli ısı pompalarının en önemli avantajlarını sağlamaktadır.



Şekil 6. 3. Çift Kaynaklı Güneş Enerjisi Destekli Isı Pompaları

#### 6. 4 Sistemlerin Karşılaştırılması

Güneş enerjisi destekli ısı pompaları üzerinde yapılan analizlerde, aynı kollektörün, geleneksel güneş sistemi ile paralel sisteminin sezonal kollektör performansının eşit olduğunu göstermektedir. Seri ve çift kaynaklı sistemlerde de aynı eşitlik söz konusudur. Geliştirilmiş toplama verimliliği, güneş kaynaklı ısı pompasının kapasitesinin bir sonucudur. Seri ve karışık (çift) kaynaklı ısı pompalarında düşük kollektör ısısı ve ortalama depo sıcaklığı düşer (Fremann et al., 1979).

## 6.5 Deneysel Sonuçları Hesaplama Metotları

Isı pompası COP'si aşağıdaki şekilde tanımlanır;

$$\text{COP} = \frac{\text{Kondenserden alınan termal enerji}}{\text{Kompresöre giren elektrik işi}}$$

$$\text{COP} = \frac{Q_{\text{kon}}}{W_{\text{komp}}}$$

Sistem COP'si;

$$\text{COP} = \frac{\text{Sisteminde alınan termal enerji}}{\text{Sisteme giren elektrik işi}}$$

Depolama ile güneş enerjisi destekli ısı pompasının COP'si aşağıdaki eşitlik kullanılarak hesaplanabilir.

$$\text{COP} = \frac{m_{\text{hk}} C_h (T_{\text{hk1}} - T_{\text{hk2}})}{W_{\text{komp}} + W_p + W_{\text{kr}}}$$

Anlık kollektör verimi:

$$\eta_{\text{kol}} = F_R [ (\tau \alpha)_{\text{eff}} \frac{UA_{\text{ks}} (T_{\text{ag}} - T_b)}{A_g I} ]$$

Net kollektör verimi aşağıdaki gibi tanımlanır,

$$\eta_{\text{kol}} = \frac{\text{Toplanan yararlı enerji}}{\text{Kollektör alanına gelen enerji}}$$

$$\eta_{\text{kol}} = \frac{m_s C_s (T_{\text{ag}} - T_{\text{aq}})}{A_g I}$$

### Isı Pompası Performans Verileri

Deneysel sonuçlardan elde edilen gerçek performans verileri, kaynak sıcaklığı için ısı pompası COP'siyle bağıntılı olarak üçüncü polinomu üretmek için kullanılmaktadır. Çift kaynaklı ısı pompaları (su ve havadan havaya) için, iki farklı polinom takımı kullanılmaktadır, bir takım su kaynaklı ile ilişkili ve diğer ise hava kaynaklı.

Su kaynaklı ısı pompası için:

$$\text{COP}_t = 5,46 + 5,53E-02T_s - 5,33E-04T_s^{-2} + 1,20E-06T_s^{-3}$$

Hava kaynaklı ısı pompası için:

$$\text{COP}_t = -27,86 + 0,121T_h + 1,601E-04T_h^{-2} - 7,035E-07T_h^{-3}$$

## Isı Yükü Hesaplamaları

Alan ısıtma yükü hesaplamaları, her ayın derece gün sayısı (DG)<sub>a</sub> ve bina için etkin UA(ısı transfer etkinliği x alan) değerleri kullanılarak, ortalama günlük temelleri üzerinden yapılır. Bina için etkin UA değeri, ürünlerin tüm ısı transfer etkinlikleri(Ut) ve binanın çeşitli dış yüzeyleri(çatı, duvarlar, pencereler vs.) için bina alanları(At)'nın toplamıdır. Derece-gün sayısı, 18,3 °C ve her ortalama günlük sıcaklık arasındaki tüm negatif farkların toplamıdır. Böylelikle, ortalama günlük yer ısıtma yükü Qg.yı, ay için, aşağıdaki eşitlikten hesaplanır. (Kaygusuz vd., 1992)

$$Q_{g,yi} = 24(DG) \frac{UA}{GS}$$

## 6. 6 Düzlemsel Toplayıcılar

Düzlemsel kollektörler, güneş enerjisini ısı enerjisine dönüştüren en basit düzeneklerden biridir. Genelde, bunlar bir cam örtü, bir absorblayıcı levha ve bir kasadan ibarettir. Gözle görülebilen güneş ışınları cam örtü tarafından yaklaşık % 85-90 geçirilirler ve absorblayıcı levha tarafından absorblanırlar. Absorblayıcı levha tarafından yayılan ısı ışınları ise, cam örtü tarafından % 90 yakın atmosfere geçirilmezler. Böylece, güneş ışınlarının taşıdığı enerjiden büyük bir kısmı absorblayıcı levhaya entegre edilmiş borulardan geçen akışkana aktarılırlar.

### 6.6.1 Yatay Düzleme Gelen Toplam Güneş İşinimi Şiddeti

$$Q_{yatay} = \text{kcal} / \text{m}^2 \text{ gün}$$

Tablo 5.13'de bazı illerimiz için yatay düzleme gelen toplam güneş işinimi şiddetini ortalaması verilmiştir.

### 6.6.2 Eğik Konumdaki Toplayıcı Düzlemine Gelen Toplam Güneş İşiniminin Bulunması

$$Q_{eğik} = Q_{yatay} * R \text{ kcal} / \text{m}^2 \text{ gün}$$

$$R = Q_{eğik} / Q_{yatay} * \cos(\psi - S) / \cos \psi$$

R = Dönüşüm faktörü

R faktörleri; enleme, mevsime ve S toplayıcı eğim açısına bağlı olarak Tablo (5.14)' den alınır.

### 6.6.3 Kullanım Yerindeki Suyun Faydalıısı

$$Q_{fay} = Q_{eğik} * \eta_{topl.} * \eta_m \text{ kcal} / \text{m}^2 \text{ gün}$$

$\eta_m$  = Toplayıcı dışında, boru donanımı ve depolamanın verimidir. Küçük tesisatlarda 0,40-0,6 büyük tesisatlarda 0,50-0,80 alınabilir.

$$Q_{fay} = Q_{yatay} * R * \eta_{topl.} * \eta_m \text{ kcal} / \text{m}^2 \text{ gün} \text{ olur.}$$

### 6.6.4 Gerekli Toplayıcı Yüzeyi Hesabı

$$F_k = Q_{gerekli} / Q_{faydalı} \text{ m}^2 \text{ bulunur.}$$

### 6.6.5 Sıcak Su Deposu Hacmi Hesabı

$$V = \beta_1 * F_k \text{ m}^3$$

$$\beta_1 = 0,06 \text{ m}^3 / \text{m}^2 \text{ topl.}$$

Tablo 6.1 Yatay düzleme gelen toplam güneş ışınımı  $Q_{yatay}$  kcal / m<sup>2</sup> gün ortalama değerleri

Mevsimi İstasyonu	Enlemi	Haziran Temmuz Ağustos	Ekim Mart	Yıllık
Adana	36°59'	4890	2103	3255
Ankara	39°57'	4793	1867	3085
Antalya	36°53'	4817	2163	3279
Bursa	40°11'	4313	1598	2696
Diyarbakır	37°55'	5267	2142	3432
Erzurum	39°55'	4757	2020	3178
İst. ( Florya )	40°59'	4480	1570	2774
İzmir	38°24'	4717	1912	3089
Gaziantep	37°05'	5053	2218	3407
Kayseri	38°43'	4733	1972	3116
Konya	37°52'	4613	2038	3122
Trabzon	41°00'	3477	1560	2385

Tablo 6.2 Enleme, Mevsime ve Toplayıcı Eğim açısına göre “R” faktörleri

Enlemi	Mevsimi	$\psi$ (°)	15°	30°(S)	45°(S)	60°
36°	Haz- Ağus	19,12	1.056	1,039	0.952	0.800
	Bütün yıl	36,00	1.154	1.229	1.221	1.129
38°	Haz-Ağustos	20.00	1.060	1.059	0.964	0.815
	Bütün yıl	38.00	1.168	1.257	1.260	1.177
40°	Haz-Ağustos	22.84	1.075	1.077	1.005	0.865
	Bütün yıl	40.00	1.183	1.286	1.301	1.227

### 6.6.6 Sirkülasyon Pompası Debisi Hesaplanması

$$G = \beta_2 * F_k \text{ lt / dak.}$$

$$\beta_2 = 1 \text{ lt / dak.m}^2 \text{ topl.}$$

Tablo 6.3 Yaz sonu dikkate alınarak hesaplanan kollektör yüzeyinin diğer sezonlarda ne kadar takviye enerji getireceğinin tablosu

Sezon	Qger. Kcal /gün	Q <sub>fay.</sub> Kcal/ m <sup>2</sup> Gün	F <sub>k</sub> m <sup>2</sup>	F'k m <sup>2</sup>	Güneşten Yararlanma	Gerekli Takviye Enerji
Haz. Tem. Ağus.	118500	1656	71,56	72	%100	%0
Ekim Mart	138000	350	384.28	72	%18	%82
Bütün Yıl	122500	761	160,97	72	%45	%55

### 6.7 Depolama Tankı

Depolama tankı, ısı enerjisini muhafaza etmek için kullanılmaktadır. Amaç tüketimin üzerinde gelen fazla enerjiyi depolamak ve daha sonra enerji gereğiinde depolanan enerjiyi kullanmaktadır. Tankın hacmi zamana bağlı olarak tankın içerisindeki sıcaklık değişimini belirler. Çünkü geniş hacim yüksek ısı kapasitesi anlamına gelmektedir. Tank su-antifriz çözeltisi ile doldurulur. Antifirizin fonksiyonu soğuk kış günlerinde donmayı önlemektedir. Tank içerisindeki su antifriz ile karıştırıldığından dolayı konut için gerekli sıcak su talebini karşılamakta direkt olarak kullanılmaz .

İş pompasının buharlaştırıcısı da tankın içeresine konmuştur. Bu nedenle depolama tankı, genellikle ısıtılacak alana yakın bir yere konulan ısı pompasından çok uzakta bulunamaz. Eğer uygun olduğu takdirde tank ısıtılacak alana da yerleştirilebilir. Böylece sistemdeki enerji kaybı önlenmiş olur. Çünkü, tank kaybı alandan kazanca dönüşecektir. Eğer tank bina dışına yerleştirilirse bu durumda soğuk günlerde ısı kaybını önlemek için iyi yalıtılması gereklidir. Modelleme konusundaki dikkat edilmesi gereken en önemli noktalar; tankın hacmi, tankın konumu, tankın toplam alanı bazında genel ısı kaybı katsayısidır.

Şekil'de dikkate alındığında sistem için enerji dengesi şekilde tanımlanabilir.

$$m_w C_{pw} \frac{\partial T_{tank}}{\partial t} = Q(t, T_{atm}, T_{tank}) - Q_{HP}(t, T_{tank}, T_{oda}) - Q_L(T_{tank}, T_{atm})$$

$$m_w = d_w V_{tank}$$

Burada;

$Q_u$  : Toplayıcılardan elde edilen faydalı enerjiyi gösterir , bu çevrenin ve tankın sıcaklığının aynı zamanda toplayıcı yüzeyine gelen güneş ışınım şiddetinin bir fonksiyonudur.

$Q_L$  = Tanktan çevreye oluşan enerji kaybıdır.

Bu kayıp, yalıtım ve tankın yerleşim konumuna bağlı olarak önemsiز seviyede de olabilir.

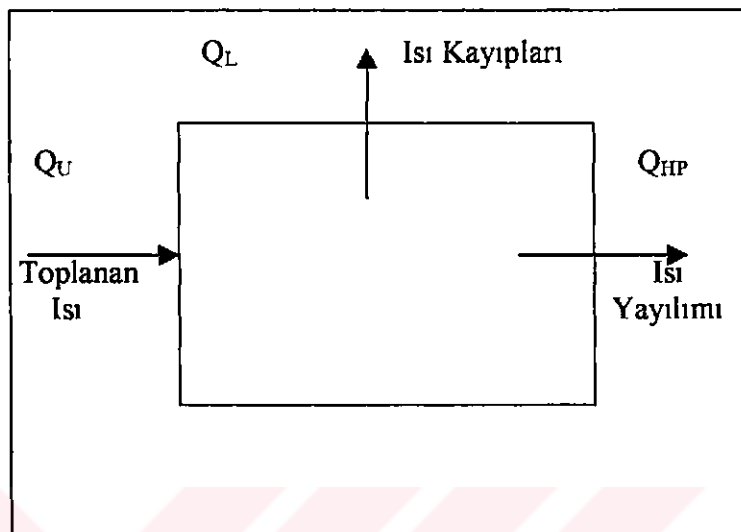
$Q_{HP}$  = Tanka ve oda sıcaklığına bağlı olarak ısı pompası tarafından çekilen ısını göstermektedir.

$m_w$  = Tank içerisindeki sıvının kütlesidir.

$C_{pw}$  = Tank içerisindeki sıvının özgül ısısıdır.

$V_{tank}$  = Tank hacmini

$d_w$  = Tank içerisindeki sıvının yoğunluğunu gösterir.



Şekil 6.4 Depolama Tankı

(Duffie JA., 1980)'ye göre depolama tankındaki enerji dengesi aşağıdaki gibi tanımlanır;

Yararlı ısı:

$$Q_u = A_c F_R [S - U_L (T_l - T_A)]^+$$

$$Q_u = (m c_p)_c (T_o - T_i)$$

Burada;

$m$  = Kollektöre doğru sirkülasyon pompa debisi

Eğer depolama ünitesi hissedilir (duyulur) bir ısı ile karşılaşılırsa eşitlik;

$$Q_u \cdot L - (UA)_s (T_s - T_a) = (m C_p)_s \frac{dT_s}{d\tau}$$

Bu eşitlik depolama tanklarında geçerlidir.

Düzlemsel toplayıcı (kollektör) ısı değiştirme faktörü :

$$Q_{HX} = (m C_p)_{\min} \cdot i(T_{c,o} - T_i)$$

Burada;

$$(m C_p)_{\min}$$

$m$  = akış debisi

$C_p$  = ısı kapasitesi

$T_{c,o}$  = kollektörden çıkan akışkan sıcaklığı

$T_i$  = ısı eşanjörüne giren su sıcaklığı

$\varepsilon$  = Isı eşanjörü etki katsayısı

$$\varepsilon = \frac{1 - e^{-NTU(1-C)}}{1 - C e^{-NTU(1-C)}}$$

Burada  $NTU = [(UA)_{HX} / (m C_p)_{\min}]$  katsayısı olarak tanımlanır.

$$C^* = \frac{(m C_p)_{\min}}{(m C_p)_{\max}} \quad \text{dir.}$$

$$Q_u = A_c F R [(\dot{S} - \dot{U}_L(T_i - T_a)]^+$$

Burada; değiştirilmiş ısı taşıma faktörü  $F R$  = ısı değiştiricisinin hazır bulunusuğunu karşılar ve

$$\frac{FR}{F_R} = \frac{1}{1 + \left( \frac{A_c F_R U_L}{(m C_p)_c} \right) \left( \frac{(m C_p)_c}{E(m C_p) - 1} \right)}$$

Depolama tanklarındaki sıcaklık değişimi;

$$(mC_p)_s \frac{dT_s}{d\Gamma} = A_c F_R [(S - UL(T_i - T_a)]^+ - (UA)_s (T_s - T_a) \\ - (mC_p)_L (T_s - T_{L,r}) \quad (5.68)$$

$$T_s = T_s + \frac{\Delta\tau}{(mC_p)_s} \{ A_c F_R [(S - U_L (T_s - T_a)]^+ - (UA)_s (T_s - T_a) \\ - (mC_p)_L (T_s - T_{L,r}) \} \quad (5.69)$$

$$\Sigma Q_U - \Sigma Losses - \Sigma Loads \quad (5.70)$$

$$\eta = \frac{Q_U}{I_T A} \quad (5.71)$$

## 7.DENEYSEL ÇALIŞMALAR

Bu çalışmada, Enstitü binası içinde  $65\text{m}^2$  alana sahip bir derslik toprak kaynaklı bir ısı pompası ile ısıtılması amaçlanmıştır. Dış hava sıcaklığı  $0^\circ\text{C}$  olarak belirlenmiştir ve istenen iç sıcaklığın  $20^\circ\text{C}$  olması planlanmıştır.

Bu amaçla, dersliğin ısı yükü hesaplanmış ve buna göre uygun ısı pompası ve toprak altı boru uzunluğu hesaplanmıştır.

Isıtma sistemlerinin analizi ve tasarımları için geliştirilmiş simülasyon modellerinin en önemlileri arasında TRNSYS ve SİMSAC bulunmaktadır.

### 7.1 Deney Tesisatı

Tasarım aşamasında Şekil 4.2 izlenmiştir.

#### A. Bina Yükü

Aşağıdaki değerler baz alınarak ısı yükü hesaplanmıştır. Tablo 7.1'e işlenmiştir.

Dış Sıcaklık :  $0^\circ\text{C}$

Hacmin iç sıcaklığı :  $20^\circ\text{C}$

Komşu Hacimlerin Sıcaklığı:  $8^\circ\text{C}$

Döşeme Sıcaklığı :  $10^\circ\text{C}$

Tavan Sıcaklığı :  $16^\circ\text{C}$

Hacim için Isı Taşınım Katsayısı :  $8,14 \text{ W/m}^2\text{K}$

Dış Ortam İçin Isı Taşıma Katsayısı:  $11,63 \text{ Wm}^2\text{K}$

Döşeme Üstü Isı Taşıma Katsayısı :  $5,81 \text{ W/m}^2\text{K}$

İki Cam Arasındaki Hava İçin Isı Taşıma Katsayısı :  $0.1638 \text{ m}^2\text{K/W}$

**Kısaltmalar:**

**İ.D. : İç Duvar (Doğu,Batı veya Kuzey Duvarı)**

**D.D.: Dış Duvar (Cam Duvar veya Cam Altında Kalan Duvar)**

**D.P.: Dış Pencere Duvar**

**İ.K.: İç Kapı**

**Dö: Döşeme**

**Ta: Tavan**

## **B. Ekipman Seçimi**

Hem soğutma ve hem de ısıtma dönemi için 4.3 Kw'lık bir ısı pompası tasarlanmıştır.

### **Kullanılan Ekipmanların Özellikleri**

#### **Kompresör ( Tecumseh hermetik)**

Kompresör hermetik tipte imal edilmiş olup R-22 gazı ile çalışmaktadır. Elektrik motoru ile pistonlar kapalı muhafaza içindedir. Motorun elektrik devresinde, aşırı akım nedeniyle sargıların yanmasını önlemek amacıyla bir yüksek basınç prosesstat kullanılmıştır. İmalatçı firmadan alınan kompresör özellikleri aşağıda verilmiştir.

**Marka :** Tecumseh hermetik kompresör.

**Tipi :** TFH 45.24 F

**Motor gücü :** 2 HP (1.4 kW)

**Kapasitesi :** 4131 W

**Çalışma Şartı :** 0/45 °C

**Gaz :** R22

**Faz :** 3 Faz

**Bağlantı :** 5/8", 1/2"

Tablo 7.1 Isı Yükü Hesabı

İşaret	Yapı bileşeni	Alan			Isı Kaybı hesabı			Artırılmışlar			Qt	
		Yön	Uzunluk	Yükseklik	Toplam Alan	Isı Geçirme Kat.	Sıcaklıık Farkı	Isı Kaybı	Zd	Zw	Zh	
			m	m	$m^2$	$W/m^2 K$	K	w				w
1-i-D	B	10,30	3,67	37,80	1,38	12	625,968					
2-i-K	K	1,40	2,89	4,05	1,70	12	82,62					
3-i-D	K	1,40	0,78	1,09	0,42	12	5,4936					
4-i-D	K	2,14	3,67	7,85	0,42	12	39,564					
5-i-D	D	3,30	3,67	12,11	1,38	12	200,5416					
6-i-D	K	4,40	3,67	16,15	1,38	12	267,444					
7-i-D	B	7,00	3,67	25,69	1,38	12	425,4264					
8-DD	G	7,70	2,55	19,64	2,65	20	1040,92					
9-DD	G	7,70	0,3	2,31	1,45	20	66,99					
10-Dö				64,79	0,38	10	246,202					
11-Ta				23,10	0,43	4	39,732					
12-Ta				41,69	0,56	4	93,3856					
							<b>3134,29</b>	<b>7</b>	<b>5</b>	<b>1,1</b>	<b>3510,402</b>	
											<b>344,4</b>	
											<b>3854,8</b>	
				$Q_s = 2 * 30 * 0,7 * 0,41 * 20 * 1$								

### **Eşanjör**

Kondenser ve Evaporatör için Alfa Laval Marka iki plakalı tip eşanjör kullanılmıştır.

#### **Eşanjör 1 – Plakalı Tip, Kondenser**

Tipi : CB26-34(R1,B1)

Gaz : R22

Isı Değiştirme Kapasitesi : 8.20 kW

Isı Transfer Alanı : 0,8 m<sup>2</sup>

Plaka Malzemesi : AISI 316

Plaka Sayısı : 34

Test Basıncı : 30 bar

#### **Eşanjör 2 – Plakalı Tip, Evaporatör**

Tipi : CB26-H24

Gaz : R22

Isı Değiştirme Kapasitesi : 6.6 kW

Isı Transfer Alanı : 0,55 m<sup>2</sup>

Plaka Malzemesi : AISI 316

Plaka Sayısı : 24

Test Basıncı : 30 bar

### **Sirkülasyon Pompaları**

Toprak ısı değiştirgeci ve fan-coil'ler içindeki suyu sistemde dolaştırmak için iki adet sirkülasyon pompa kullanılmıştır. Bu pompaların debileri yaklaşık 1 m<sup>3</sup>/h civarındadır. Özellikleri aşağıda verilmiştir.

**Marka :** Marina

**Tipi :** KPM 50

**Gücü :** 0.5 Hp (0.37 kW)

**Akım :** 2.8 A monofaze

**Koruma :** IP 44

**Debi Aralığı :** 0.5 – 3.8 m<sup>3</sup>/h

**Basma Ağırlığı :** 37-6 m

**Devir :** 2800 d/d

### **Dört Yollu Vana**

Dört yollu vana, sistemin yaz ve kış çalışma şartlarında çalışmasını sağlar. Seçim, tamamen sistemde konulacağı yerin boru çapına bağlı olup, gerekli giriş ve çıkış çapına sahip dört yollu vana seçilir.

### **Kılcal Boru**

Kılcal boru, kısma vanası olarak kullanılmıştır. Düşük maliyet, güvenli ve oynak parça olmaması gibi nedenlerle已被选中.

### **Elektrik ve Otomasyon**

Elektrik devresi, güç ve kumanda devresi olmak üzere iki bölümden oluşur. Güç devresi, kompresörü ve sirkülasyon pompalarını harekete getiren kısımdır. Kumanda devresi, kontaktörler vasıtayla güç devresine kumanda eden kısımdır. Elektrik devresinde, sigortaların yanı sıra kompresöre aşırı yük bindiğinde kompresörü korumak amacıyla devreden çıkarabilecek aşırı akım yük roleleri ve termik roleler bulunur.

Ayrıca, sistemin kolayca gözlenebilmesi için elektrik panosu üzerine sinyal lambaları konulmuştur. Kumanda elemanları şunlardır;

Elektronik sensör (Mikroprosessor)

Basınç presostatı

### C. Toprak Isı Değiştirici boru uzunluğunun hesaplanması

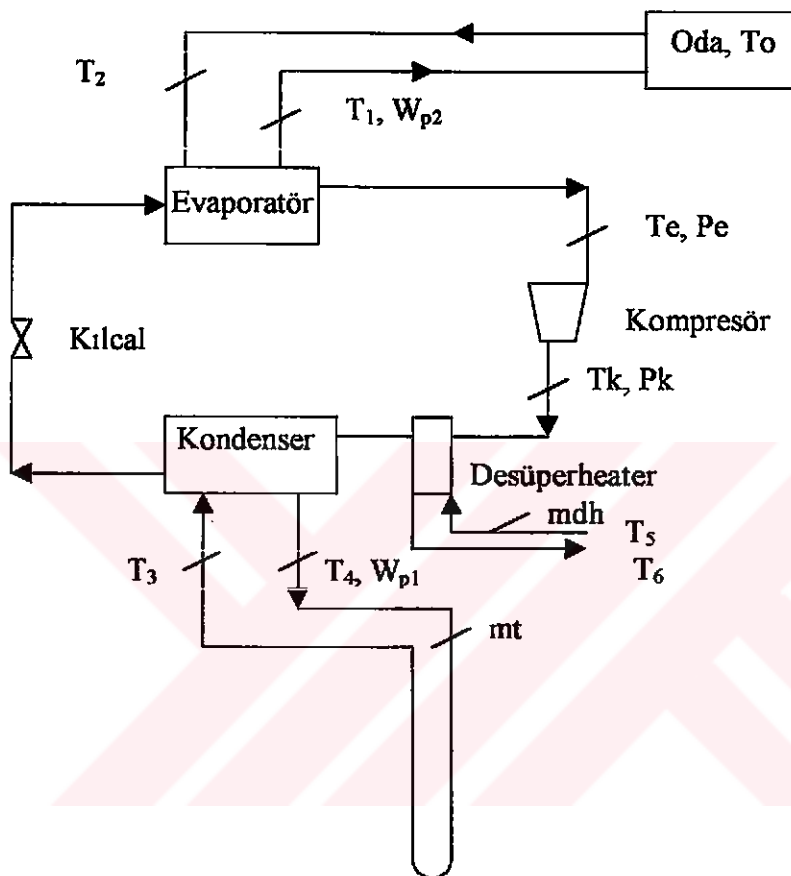
Tablo 5.10'da toprak ısı değiştirici uzunluğu hesaplanmıştır. Biz, 50 m.'de sondaj yapıp U-şeklinde poli etilen borumuzu yerleştirdik.

## 7.2 Deney Ölçümleri

Ölçüm noktaları Şekil 7.1'de gösterilmiştir. Aşağıdaki veriler, düzenli olarak çalışma periodlarında kaydedilmiştir.

**Tablo 7.2 Ölçüm Verilerinin Açıklaması**

Gösterim	Birim	Açıklama
T <sub>1</sub>	°C	Odaya Giden Su Sıcaklığı
T <sub>2</sub>	°C	Odadan Dönen Su Sıcaklığı
T <sub>3</sub>	°C	Toprak Isı Değiştiricisinden Gelen Su Sıcaklığı
T <sub>4</sub>	°C	Toprak Isı Değiştiricisine Dönen Su Sıcaklığı
T <sub>o</sub>	°C	Odanın Sıcaklığı
T <sub>b</sub>	°C	Dış Hava Sıcaklığı
T <sub>e</sub>	°C	Evaporatör Sıcaklığı
T <sub>k</sub>	°C	Kondenser Sıcaklığı
P <sub>e</sub>	bar	Evaporatör Basıncı
P <sub>k</sub>	bar	Kondenser Basıncı
P <sub>t</sub>	bar	Toprak Isı Değiştirici Basıncı
m <sub>t</sub>	l/h	Toprak Isı Değiştirici Debisı
T <sub>l</sub>	°C	1 m'deki Toprak Sıcaklığı
T <sub>ls</sub>	°C	50 m'deki Toprak Sıcaklığı



Şekil 7.1 Sistem üzerinde ölçüm noktaları

### 7.3 Deney Sonuçlarının hesaplanması

Topraktan çekilen ısı:

$$Q_t = m_t \times C_p \times (T_4 - T_3)$$

$Q_t$  : Isı akımı . kW

$C_p$  : Özgül ısı,  $\text{kJ/kg}^{\circ}\text{C}$

$T_4$  : Toprağa geri dönen salamura sıcaklığı,  $^{\circ}\text{C}$

$T_3$  : Toprağa giden salamura sıcaklığı ,  $^{\circ}\text{C}$

$m_t$  : Salamura kütlesel debisi,  $\text{kg/s}$

Odanın ısısı:

$$Q_o = m_o \times C_p \times (T_2 - T_1)$$

$Q_o$  = Odadan çekilen ısı,  $\text{kW}$

$C_p$  : Özgül ısı,  $\text{kJ/kg}^{\circ}\text{C}$

$T_2$  : Odadan geri dönen salamura sıcaklığı,  $^{\circ}\text{C}$

$T_1$  : Odaya giden salamura sıcaklığı ,  $^{\circ}\text{C}$

$m_o$  : Salamura debisi,  $\text{kg/s}$

Desüperheater'ın ısısı:

$$Q_{dh} = m_{dh} \times C_p \times (T_6 - T_5)$$

$Q_{dh}$  = Desüperheater'ın ısisis,  $\text{kW}$

$C_p$  : Özgül ısı,  $\text{kJ/kg}^{\circ}\text{C}$

$T_6$  : Desüperheater'dan geri dönen su sıcaklığı,  $^{\circ}\text{C}$

$T_5$  : Desüperheater'a giden su sıcaklığı ,  $^{\circ}\text{C}$

$m_{dh}$  : Su debisi,  $\text{kg/s}$

Soğutma etki katsayısı:

$$\text{COP} = \frac{Q_o}{W_{komp} + W_{p1} + W_{p2}}$$

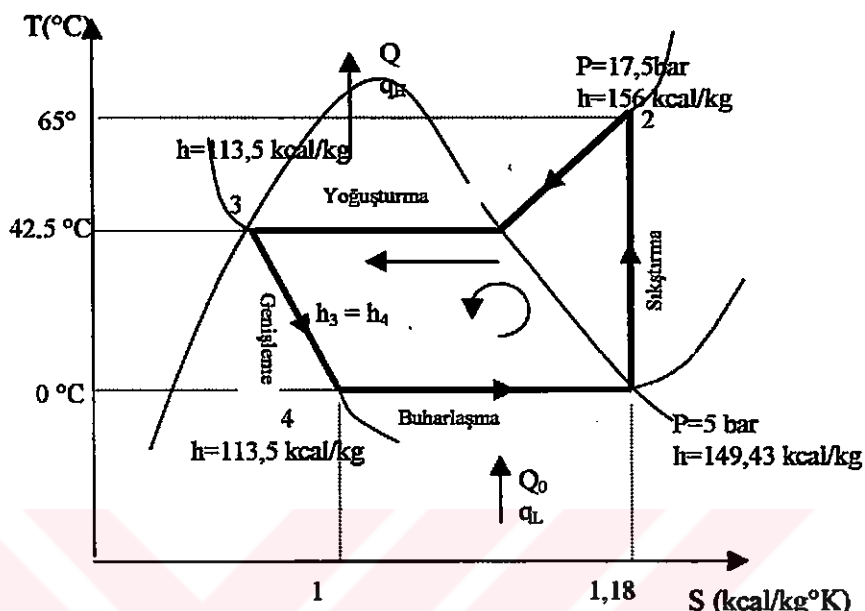
Deney ölçümleri Tablo 7.3'da gösterilmiştir.

Tablo 7.3 Deney Ölçümleri (25.07.200 tarihli)

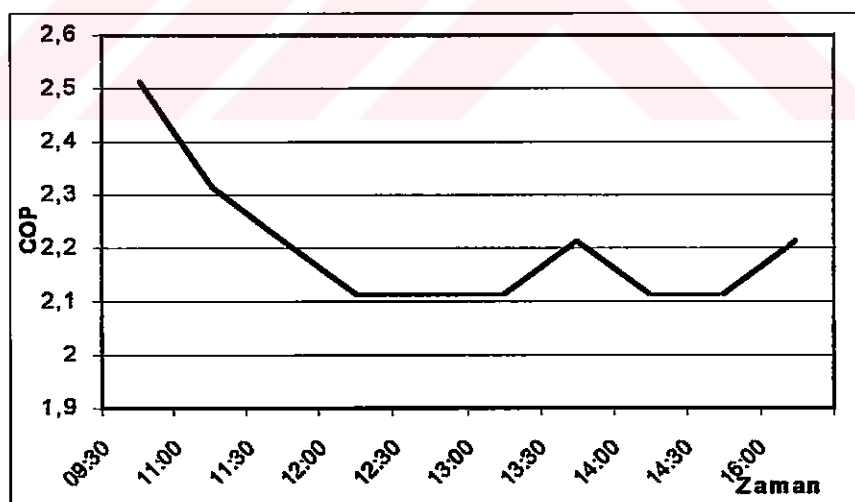
Zaman	09:30	11:00	11:30	12:00	12:30	13:00	13:30	14:00	14:30	16:00
T <sub>1</sub> C	10,4	10,3	10,1	10,2	10,5	10,4	10,4	10,4	10,5	10,7
T <sub>2</sub> C	12,9	12,6	12,3	12,3	12,6	12,5	12,6	12,5	12,6	12,9
T <sub>3</sub> C	24,6	29	31,2	32	33,2	34,3	35	35,5	36	36
T <sub>4</sub> C	26,6	31,2	33,1	34,2	35,4	36,3	36,9	37,7	38,2	37,4
T <sub>e</sub> C	0	-1,5	-1	-0,5	0	0	0	0,5	0,7	0,8
T <sub>k</sub> C	65,8	61,5	62	62,8	63,5	64	65	65,7	66	66
P <sub>e</sub> bar	4	3,8	3,81	3,9	4	4	4	4,1	4,1	4,1
P <sub>k</sub> bar	24,7	24	24,1	24,7	25	25,5	26	26,1	26,5	26,5
m <sub>t</sub> l/h	1780	1800	1750	1780	1700	1750	1750	1700	1700	1700
P <sub>t</sub> bar	0,3	0,4	0,4	0,4	0,4	0,4	0,4	0,4	0,4	0,4
I <sub>komp</sub>	3,1	3,1	3	3	3,1	3	3	3	3,1	3,1
I <sub>p1</sub>	1,1	1,1	1,1	1,1	1,1	1,1	1,1	1,1	1,1	1,1
I <sub>p2</sub>	1,3	1,2	1,2	1,2	1,2	1,2	1,2	1,2	1,2	1,2
V <sub>1</sub>	225	223	224	224	225	224	225	223	224	225
V <sub>3</sub>	392	386	388	390	389	387	391	387	392	389
T <sub>o</sub> C	26,2	25	25	25,3	25,5	25,8	25,9	25,9	25,8	26
T <sub>b</sub> C	30	32	33	33,5	34	36	36	36,5	36,5	36,5
T <sub>t1</sub> C	25	26,8	27	27,5	27,9	28,2	28,6	28,5	27,7	27,8
T <sub>t50</sub> C	24,4	28,8	30,8	32	32,8	33,7	34	34,6	35,2	34,8

Tablo 7.4 Deney sonuçları

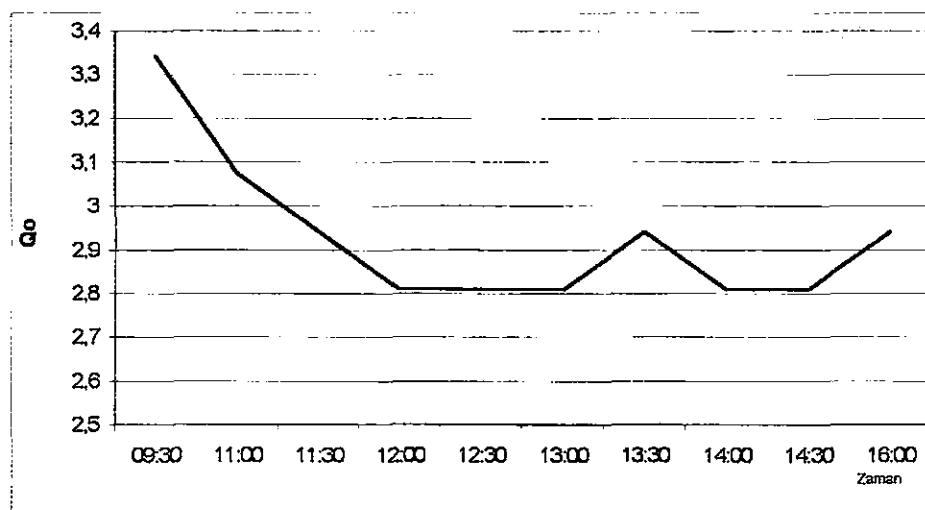
Zaman	09:30	11:00	11:30	12:00	12:30	13:00	13:30	14:00	14:30	16:00
W <sub>komp</sub>	0,85	0,85	0,85	0,85	0,85	0,85	0,85	0,85	0,85	0,85
W <sub>p1</sub>	0,24	0,24	0,24	0,24	0,24	0,24	0,24	0,24	0,24	0,24
W <sub>p2</sub>	0,24	0,24	0,24	0,24	0,24	0,24	0,24	0,24	0,24	0,24
Q <sub>o</sub>	3,34	3,08	2,94	2,81	2,81	2,81	2,94	2,81	2,81	2,94
Q <sub>t</sub>	4,14	2,69	4,61	3,87	4,56	4,35	4,07	3,87	4,35	4,35
COP <sub>uit</sub>	2,51	2,31	2,21	2,11	2,11	2,11	2,21	2,11	2,11	2,21
COP <sub>ip</sub>	3,93	3,62	3,46	3,3	3,3	3,3	3,46	3,3	3,3	3,46



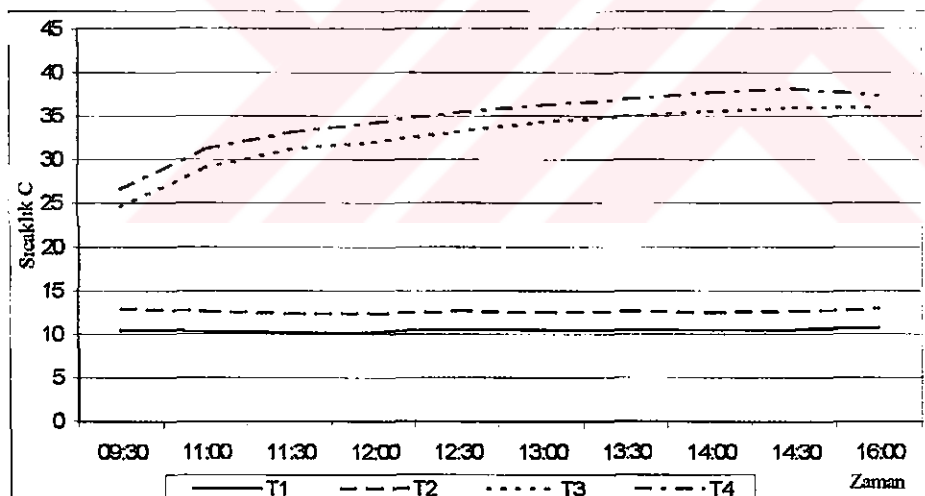
Şekil 7.2 Sistemin T-S diyagramında Gösterimi



Şekil 7.3 Zamanla COP'nin değişimi



Şekil 7.3 Zamanla Odanın Isının Değişimi



T<sub>1</sub>: Odanın giriş sic. T<sub>2</sub>: Odanın çıkış sic. T<sub>3</sub>: Toprak ısı değiştirici dönüş sic. T<sub>4</sub>: Toprak ısı değiştirici giriş sic.

Şekil 7.4 Zamanla Sıcaklığın Değişimi Odanın Isının Değişimi

## 8. EKONOMİK ANALİZ

### 8.1. Öneriler

1. Toprak çevrimini tasarım etmeden önce, alanda geoteknik bir araştırma yapılmalı ve açıkça belirtilmelidir. Sığ derinliklerdeki (10'dan 40ft'e, 3'den 12m'ye) örneklemeye, elek analizi ve nem içeriği dahil edilmelidir. Bu, toprak tipi (kum, kaya, kil, çakıl vs.), statik yer suyu seviyesi, delme zorluğu ve dikey bir U-tüp ısı değiştirici yerleştirme zorluğu tanımlan daha derin borular ile aynı olabilir. Metotlar, U-tüp yerleştirerek bu aktivitenin çoğunu bypass etmek için geliştirilmiş olabilir, alanda termal bir yük yükler ve ters metotlar ile termal özellikler belirlenir.
2. Tüm toprak borulama için termal bir şekilde erimiş yüksek yoğunluklu polietilen (HDPE) açıkça belirtilir. (Closed-Loop/Geothermal Heat pump Sytems: Tasarım and Installation Standarts,1995) Bu boru, sağlam, güvenli ve nispeten ucuzdur. TKIP uygulamaları için tesisat uzmanlığı, artan bir şekilde mevcuttur. Bina içinde kullanımı içinde önerilmektedir ve bazı kodlar özel bir şekilde kullanımına izin verir. (Standard Mechanical Code,1994) İstenen boru makas köprücüğü sayısının artmasına rağmen, metal borudan daha az pahalı ve su çevriminde inhibitör için ihtiyaçtan kurtarmaktadır.
3. TKIP'da düşük termal iletkenlik sıvısı kullanımından sakınılmalı. Bu sıvılar sistemin maliyetini iki şekilde etkilerler: bunlar pahalıdır ve çevrimin etkisini azaltır, dolayısıyla daha

çok uzunluk gerektirir. Boru delik çapları, sıva maliyetini ve termal hatayı azaltmak için minimize edilmelidir.

4. Deneyimli toprak-çevrim uzmanlarına danışılmalı. İyi uzmanlar, U-tüp yerleştirme ve toprak başlıklarındaki borulama metodlarını yaparlar ve kolayca hava, kir ve enkazın temizleyebilirler. Acemi TKIP tasarımcıları, derin, çamurlu hendek içinde geniş bir alana geri dönüşümlü başlığı takmanın zorluğunu anlarken, başlığın değerinin farkında bile olmazlar.
5. Tam ve dikkatli bir ısı kazancı ve kaybı çalışması yapılmalıdır. TKIP sistemlerindeki çok daha fazla maliyet yüzünden müşteriler yüksek toprak çevrimine ek olarak gerekli malzeme içinde daha fazla öderler.
6. Daha uzun çevrim ile dengelenen uzun-dönem ısı depolama etkilerini minimize etmek için dikey boruları ayırmak. Tasarım programları boru ayırma uzaklılarının etkilerini incelemeye mühendislere izin vermesine rağmen, minimum öneri, tipik ticari binalar için 20 ft (6m)'tir.

## **8.2 Maliyetlere etki eden faktörler**

Toprak kaynaklı ısı pompalarının maliyetini etkileyen bir çok faktör vardır. Bunlar, boru cinsi, boru çapı, salamura cinsi, toprak dolgu malzemelerinin kullanılıp kullanılmayacağı, yatay veya dikey olarak选股melerine göre gömme derinliği, delikler arası mesafe, ısı pompası, gerekli elektrik enerjisi maliyetleridir.

Bu parametrelerden bazılarının maliyetlere etkileri şöyledir:

**Boru cinsi:** İsi iletkenliği yüksek borular, toprak ısı değiştiricilerinin performansını artırır. Ancak toprak direncinin yanında boru direncinin etkisi ufak olduğundan boru malzemesi seçilirken, korozif ve ıslık mukavemet değerleri daha önemli rol oynar.

**Boru çapı:** Boru çapı arttıkça toprak direnci azalır. Aynı şekilde sürtünme kayıpları da azalacağından devri daim pompasının gücü de düşer. Böylece daha büyük boru çapının seçilmesiyle işletme maliyetleri düşerken, ilk yatırım maliyeti artmış olur.

**Salamura cinsi:** Salamurların fiyatları faydalari ile orantılı bir şekilde artmaktadır. Ancak salamura seçiminde de ilk kriterimiz, maliyetten önce donma noktası, korozif özellikler, zehirlilik gibi sistemin ve çevrenin zarar görmesini önleyici faktörler olmalıdır.

**Toprak dolgu malzemesi:** Toprak dolgu malzemesinin cinsinden çok, kullanılıp kullanılmayacağına karar vermek daha önemlidir. ıslık özellikleri zaten iyi olan topraklarda, pahalı olan dolgu malzemelerinin kullanımı ekonomik değildir. Ancak kimi yerlerde toprak dolgu malzemelerini kullanmak şarttır.

**Borular arası mesafe:** Borular arası mesafeyi, dikey değiştiricilerde, delikler arası mesafe; yatay değiştiricilerde ise hendek genişliği, hendekler arası mesafe ve birkaç kat boru döşendiğinde kot farkı belirler. Bu faktörlerin hepsi maliyetleri direkt olarak etkilemekle beraber, ilk üçünün seçimi, ekonomik analizden önce, döşeme yapılacak alan miktarı tarafından sınırlanmıştır. Kot farkının belirlenmesi ise gömme derinliği ile birlikte düşünülmelidir.

**Gömme derinliği:** Gömme derinliği arttıkça toprak direnci azalır. Böylece, derine gömülen ısı değiştiriciler hafriyat masraflarını

artırmakla beraber, işletme maliyetlerini düşürürler. Tam tersi olarak, yüzeye yakın döşenen borular da, ilk yatırım maliyetini düşürecek; ancak düşük performans nedeniyle işletme maliyetlerini artıracaklardır.

Maliyetleri etkileyen en önemli faktörler boru çapı, gömme derinliği ve yeteri kadar büyük döşeme alanının varlığında borular arası mesafelerdir. Dolayısıyla, ekonomik analiz yapılırken, boru ve hafriyat fiyatları ile işçilik ücretleri iyi araştırılmalıdır. Ayrıca, ısı değiştiricilerinin performansları ısı pompasının seçimini etkileyeceğinden, çeşitli firmaların değişik kapasitelerdeki ısı pompalarının fiyatlarını da bilmek gerekir. İşletme maliyetlerinin hesabı içinse, elektrik fiyatının yıllık artış oranı ve enflasyon oranı iyi tahmin edilmelidir.

Tüm bu kararlar neticesinde uygun toprak altı sistemi seçildikten sonra, ısı pompası sisteminin ısıl konforu gerçekleştirecek diğer sistemlerle karşılaştırılması lazımdır.

Isıl konforun sağlanması için mevcut alternatifler şunlardır.

- Isı ihtiyacının tek başına ısı pompası tarafından karşılanması,
- Isı ihtiyacının ısı pompası ve ek bir ısı kaynağı tarafından karşılanması,
- Isı ihtiyacının ısı pompası kullanılmadan karşılanması.

Isı ihtiyacı ısı pompası ve ek bir ısı kaynağı tarafından karşılandığında, ısı pompası, ısı ihtiyacımızı belli bir oranda karşılar.

## 8.2.1 Toprak Kaynaklı Isı için Maliyet bilgileri

### 8.2.1.1 Tipik toprak çevrimi Maliyetleri

Dikey toprak çevrimi yerleştirme maliyetleri, sürekli değişkendir. Delme koşulları ve uzmanların deneyim ve malzeme yeterliliği seviyesi, büyük bir belirsizlik ekler. Tablo 8.1, iki rapora (Caneta Research, 1995; S.P. Kavanaugh and C.R. Gilbreath, 1995) ve 20 deneyimli çevrim uzmanlarının bu konudaki maliyet araştırmalarına göre geliştirilmiştir.

**Tablo 8.1 Toprak Çevrim Yerleştirme Maliyetleri**

( Borunun ft'i başına U.S. doları )

U-tüp ölçüsü	Kil. kum, çakıl, yumuşak kaya içinde çamur dönmesi. Yüzey kaplaması yok	Yumuşak orta kayada hava dönmesi. Yüzey kaplaması yok	Kil. kum, çakıl, yumuşak kaya içinde çamur dönmesi. Yüzey kaplamalı	Yumuşak orta kayada hava dönmesi. Yüzey kaplamalı	Yumuşak orta kayada hava vurması. Yüzey kaplaması yok
¾in.	\$3.75 - \$5.00	\$4.00 - \$5.50	\$4.50 - \$6.00		\$5.00 - \$8.50
1 in.	\$4.00 - \$5.25	\$4.25 - \$5.75	\$4.75 - \$6.25		\$5.50 - \$9.00
1 ¼ in.	\$4.50 - \$5.75	\$4.75 - \$6.00	\$5.25 - \$6.50		\$5.75 - \$9.50
1 ½ in.	\$3.75 - \$5.00	\$5.00 - \$6.25	\$5.50 - \$6.75		\$6.00 - \$10.00

Tahminler:

1. U-tüp yerleştirme, geridoldurma, başlık yerlestirmesi dahil @ 4ft, toprak çevrimi artıması.
2. ¾ in. ve 1 in. U-tüp için 4.75 boru; 1 ¼ in. ve 1 ½ in. U-tüp için 6 in. boru
3. 250 ft. ortalama boru derinliğinin 20 ft için bentonit doldurmak.
4. Başlık- malzeme odası uzaklığı 150 ft.'dır.
5. 40 ft'den daha az yüzey kaplaması.

Maliyet, yakın veya aşırı alanda olursa:

1. Uzman, yüksek yol alma maliyeti ( yani bölge dışı )
2. Giren boru, sıvılı olmalıdır.
3. Kesme, sitenin dışında hazırlanmalıdır.
4. İş oranı, ortalama iş oranından daha yüksek ve çevrim uzmanları deneyimsizdir.
5. Standart olmayan başlık düzenlemeleri, açıkça belirtilmektedir.

**Tablo 8.2 Konutlardaki kullanım için yakıt fiyatlarının karşılaştırılması  
( Nisan 1999 Tarihinde Belirlenmiş Olan Fiyatlarla )**

	İslı degeri	Birim fiyatı	Ortalama verim	TL/1000 kcal	* Yıllık fiyat artışı	Üenzlik sıralaması
Doğal gaz konut (İzmit)	8250 kcal/m <sup>3</sup>	72.468 TL/m <sup>3</sup>	% 90	72.468x1.000 8.250x0.90	% 39	1
Doğal gaz konut (Bursa)	8250 kcal/m <sup>3</sup>	76.032 TL/m <sup>3</sup>	% 90	76.032x1.000 8.250x0.90	% 43	2
Doğal gaz konut (Eskişehir)	8250 kcal/m <sup>3</sup>	76.032 TL/m <sup>3</sup>	% 90	76.032x1.000 8.250x0.90	% 43	2
Doğal gaz konut (İstanbul)	8250 kcal/m <sup>3</sup>	76.140 TL/m <sup>3</sup>	% 90	76.140x1.000 8.250x0.60	% 46	3
İthal kömür (Bursa)	6500 kcal/m <sup>3</sup>	40.000	% 60	40.000x1.000 6.500x0.60	% 36	4
İthal kömür (İstanbul)	7000 kcal/m <sup>3</sup>	45.000 TL/m <sup>3</sup>	% 60	45.000x1.000 7.000x0.60	% 36	5
Doğal gaz konut-işyeri (Ankara)	8250 kcal/m <sup>3</sup>	79.897 TL/m <sup>3</sup>	% 90	79.897x1.000 8.250x0.90	% 53	6
Soma köm. (İstanbul)	5500 kcal/m <sup>3</sup>	40.000 TL/m <sup>3</sup>	% 60	40.000x1.000 5.500x0.60	% 33	7
Fuel-oil kalorifer yakutu (İstanbul)	9700 kcal/m <sup>3</sup>	102.000 TL/kg	% 80	102.000x1.000 11.100x0.90	% 62	8
Doğal gaz resmi daire (Ankara)	8250 kcal/m <sup>3</sup>	103.906 TL/m <sup>3</sup>	% 90	103.906x1.000 8.250x0.90	% 53	9
İthal kömür (Ankara)	6000 kcal/m <sup>3</sup>	65.000 TL/kg	% 68	65.000x1.000 6.000x0.68	% 55	10
LPG-mix dökme gaz	11.000 kcal/m <sup>3</sup>	155.350 TL/kg	% 84	155.350x1.000 11.000x0.84	% 68	11

Tablo 8.2 - devam

Odin (İstanbul)	2500 kcal/m <sup>3</sup>	25.300 TL/kg	% 60	25.300x1.00	16.867	% 49	12
LPG propan dökme gaz	11100 kcal/m <sup>3</sup>	175.950 TL/kg	% 90	175.950x1.00 11.100x0.90	17.613	% 31	13
LPG 12kg tip (İstanbul)	11000 kcal/m <sup>3</sup>	213.333 TL/kg	% 88	213.333x1.00 11.000x0.88	22.039	% 77	14
Motorin (İstanbul)	10200 kcal/m <sup>3</sup>	219.763 TL/kg	% 84	219.763x1.00 10.200x0.84	25.649	% 67	15
Gazyağı (İstanbul)	10400 kcal/m <sup>3</sup>	232.375 TL/kg	% 84	232.375x1.00 10.400x0.84	26.600	% 53	16
Elektrik (İstanbul)	860 kcal/m <sup>3</sup>	30.240 TL/kg	% 99	30.240x1.00 860x0.99	35.518	% 66	17

\* Son bir yıllık Dolar artışı %53 olmuştur.

Tablo 8.3 Enerji harcaması maliyet tablosu

HEAT-PUMP ( ISI POMPASI ) ENERJİ HARCAMASI MALİYET TABLOSU ( Dış hava sıcaklığına bağlı olarak, 1000 kcal/saat Enerji ihtiyacı için ) Nisan 1999 tarihi itibarı ile									
KONUTLARDAKİ KULLANIM									
Dış sic. °C	Standart COP	Kapasite BTu/h	Enerji kW/h	Tahmini defrost dakika	Düzeltilmiş		Enerji bedeli TL/Kwh	Enerji harcaması TL	Verim TL/1000 Kcal/h
					Kapasite	COP			
16	3,19	25.400	2,333	0	25.400	3,19	30.429	70.993	11.180
16	2,98	25.400	2,497	0	25.400	2,98	30.429	75.995	11.968
12	3,09	24.700	2,342	0	24.700	3,09	30.429	71.269	11.541
12	2,89	24.700	2,496	0	24.700	2,89	30.429	75.937	12.298
8	3,01	24.000	2,336	0	24.000	3,01	30.429	71.091	11.849
8	2,81	24.000	2,503	0	24.000	2,81	30.429	76.150	12.692
4	2,90	22.850	2,309	4	22.850	2,55	30.429	70.250	13.975
4	2,71	22.850	2,471	4	22.850	2,38	30.429	75.176	14.954
0	2,73	21.650	2,324	4	21.650	2,40	30.429	70.706	14.845
0	2,55	21.650	2,488	4	21.650	2,24	30.429	75.697	15.893
-4	2,5	20.550	2,409	8	20.550	1,90	30.429	73.289	18.770
-4	2,34	20.550	2,573	8	20.550	1,78	30.429	78.299	20.054
-8	2,27	18.400	2,375	12	18.400	1,45	30.429	72.271	24.548
-8	2,12	18.400	2,543	12	18.400	1,36	30.429	77.384	26.285
-12	2,03	16.200	2,338	12	16.200	1,3	30.429	71.151	27.450
-12	1,89	16.200	2,511	12	16.200	1,21	30.429	76.421	29.483
-16	1,78	14.750	2,428	12	14.750	1,14	30.429	73.881	31.306
-16	1,67	14.750	2,588	12	14.750	1,07	30.429	78.747	33.367

Tablo 8.3 devam

İŞYERİNDEKİ KULLANIM							
Dış sic. °C	Standart COP	Kapasite Btu/h	Enerji kW/h	Tahmini defrost dakika	Dizeltilmiş Kapasite Btu/h	Enerji bedeli TL/Kw/h	Enerji harcaması TL Keal/h
16	3,19	25.400	2.333	0	25.400	3,19	37.420
16	2,98	25.400	2.497	0	25.400	2,98	37.420
12	3,09	24.700	2.342	0	24.700	3,09	37.420
12	2,89	24.700	2.496	0	24.700	2,89	37.420
8	3,01	24.000	2.336	0	24.000	3,01	37.420
8	2,81	24.000	2.503	0	24.000	2,81	37.420
4	2,90	22.850	2.309	4	22.850	2,55	37.420
4	2,71	22.850	2.471	4	22.850	2,38	37.420
0	2,73	21.650	2.324	4	21.650	2,40	37.420
0	2,55	21.650	2.488	4	21.650	2,24	37.420
-4	2,5	20.550	2.409	8	20.550	1,90	37.420
-4	2,34	20.550	2.573	8	20.550	1,78	37.420
-8	2,27	18.400	2.375	12	18.400	1,45	37.420
-8	2,12	18.400	2.543	12	18.400	1,36	37.420
-12	2,03	16.200	2.338	12	16.200	1,3	37.420
-12	1,89	16.200	2.511	12	16.200	1,21	37.420
-16	1,78	14.750	2.428	12	14.750	1,14	37.420
-16	1,67	14.750	2.588	12	14.750	1,007	37.420

### 8.3 Proje Değerlendirme Yöntemi

Bir projenin, yatırım açısından, yatırım karlılığını ölçmek için uygulanan ana proje değerlendirme yöntemleri şunlardır:

1. Net Bugünkü Değer (Net Present Value)
2. İç Karlılık Oranı ( Internal Rate of Return )
3. Geri Ödeme Süresi ( Pay-Back Period )
4. Ortalama Karlılık Oranı ( Average Rate of Return )
5. Başabaş Noktası
6. Fayda / Maliyet Oranı ( Cost / Benefit Ratio )

#### 8.3.1. Net Bugünkü Değer

Bir yatırım projesinin kabul edilmesi için aranan ilk koşul, projeden elde edilecek gelirlerin ya da nakit girişlerin proje için yapılan masraflardan veya nakit çıkışlardan fazla olmasıdır. Bir yatırım projesinin net bugünkü değeri, yatırının ekonomik ömrü boyunca sağlayacağı nakit girişin önceden belirlenen bir iskonto oranı (yatırımdan beklenen minimum iç karlılık oranı) üzerinden bugüne indirgenmiş değerleri toplamı ile yatırının gerektirdiği nakit çıkışın aynı iskonto oranına göre bugünkü değerleri toplamı arasındaki farktır. Bu tanıma göre bir yatırım projesinin bugünkü değeri;

$$\text{NBD} = \sum_{t=1}^n \frac{G_t}{(1+i)^t} + \frac{H}{(1+i)^n} - \sum_{t=1}^n \frac{I_t}{(1+i)^t} \quad (8.1)$$

eşitliği ile gösterilir. Burada,

$NBD$  = Net Bugünkü Değer

$G_t$  = n.yıldaki gelir veya nakit girişler

$H =$  Yatırım projesinin ekonomik ömrü sonundaki kalıntı (hurda) değeri,

$n =$  Yatırımin ekonomik ömrü, 1, 2, ...., n,

$i =$  Kabul edilmiş iskonto (net faiz) oranı,

$I_t = t$  yıldaki toplam yatırım tutarı (nakit çıkışları).

Eşitlik (8.1)'den, NBD, yani projenin net bugünkü değeri sıfırdan büyük veya en azından ona eşit ise, o proje karlılık açısından kabul edilebilir. Alternatif projeler arasında seçim yaparken, en yüksek bugünkü değeri gösteren yatırım projesi uygulanmak üzere seçilmiş olur. ( Muammer Doğan, 1995 ) Bu eşitliği aşağıdaki şekilde basitleştirelim.

$$NBD = \frac{Gt}{(1+i)^t} \quad (8.2)$$

Formülüyle elde edilir. Burada;

NBD = Şimdiki değer

Gt = Gelecekteki nakit miktarı

i = İndirim oranı veya banka faiz oranı

Enflasyonist ortamlarda paranın değeri azalacağından belirli bir malı satın almanın fiyatı artacaktır. Yıllık enflasyon oranına "e" dersek , Şimdiki satın alma maliyetine "E" dersek ; "n" yıl sonra gelecekte bu maliyet Gt ;

$$Gt = E ( 1 + e )^n \quad (8.3)$$

Gelecekteki değer "Gt" nin bugünkü değeri;

$$NBD = \frac{E(1+e)^n}{(1+i)^n} \quad (8.4) \quad \text{formülü ile}$$

bulunur.

Yukarıda ki eşitlik gelecekte bir kerede elde edilecek paranın bugünkü değerini verir. "n" adet gelecekteki ödemelerin bugünkü değerlerinin toplamı, toplam bugünkü değeri verir;

$$TNBD = E \sum_{t=1}^n \left( \frac{1+e}{1+i} \right)^t = E NBD(n,e,d) \quad (8.5)$$

$NBD(n,e,d)$  bugünkü değer faktörünü göstermektedir.

$$NBD(n,e,d) = \sum_{t=1}^n \left( \frac{1+e}{1+i} \right)^t \quad (8.6)$$

Yatırım karlılığını ölçmek için kullanılan net bugünkü değer yönteminin başlıca yararı, projenin ekonomik ömrünü veya faydalı yaşam süresini göz önünde tutmasıdır. Ayrıca projenin gelecekteki nakit akımlarını bugünkü değere indirmekle, zaman tercihlerini de göz önünde tutar. Öte yandan, belirli bir iskonto oranı kullanarak sermayenin fırsat maliyetini de dikkate alır. En büyük dezyararı, gerçek faiz oranını sağlıklı olarak saptama güçlüğüdür.

### 8.3.2. İç Karlılık Oranı ( Gerçek Verim )

İç karlılık oranı, bir yatırım projesinin ekonomik ömrü boyunca sağlayacağı gelirlerin bugünkü değerini, yapılan yatırıma eşit kılan iskonto (faiz) oranıdır. İç karlılık oranı, bir yatırım projesinin net

bugünkü değerini sıfıra eşit kılan iskonto oranı olarak da tanımlanır. İç karlılık oranları aşağıdaki eşitlikten yararlanarak saptanabilir;

$$I_0 = \sum_{t=1}^n \frac{G_t}{(1+i)^t} + \frac{H}{(1+i)^n}$$

$I_0$  = İlk yatırım tutarı,

$G_t$  = Yatırımin ekonomik ömrü boyunca sağlanacak yıllık gelirler ya da nakit girişler,

$H$  = Proje ömrü sonundaki kalıntı (hurda) değer,

$n$  = Yatırımin ekonomik ömrü,

$i$  = İskonto oranı (iç karlılık oranı).

Yukarıdaki eşitliklerden, yatırım tutarı ile yatırımin ömrü süresince sağlanacak gelirler belirli olduğu zaman, deneme – yanılma yoluyla iç karlılık oranı bulunabilir. Yatırım kararı, bulunan iç karlılık oranı ( $i$ ), yatırılan sermayenin ödenmesini gösteren minimum kabul edilebilir bir oranı ifade eden sınırlı bir oranı ( $i_{min}$ ) ile karşılaştırılarak alınır:

Eğer  $i > i_{min}$  ise, değerlendirilen yatırım projesi kabul edilir.

$i < i_{min}$  ise, değerlendirilen yatırım projesi reddedilir.

### 8.3.3. Geri Ödeme Süresi

Bu ölçüt, bir projeye yapılan sermayenin ne kadar süre içinde geri alınabileceğini gösterir. Geri ödeme süresi, bir projenin kendi toplam yatırımını ödemesi için kaç yıllık süre için net karını biriktirmesi gerektiğini ifade eder. Geri ödeme süresi ne kadar kısaysa, yatırım da o kadar cazip olacaktır.

$$\text{Geri Ödeme Süresi} = \frac{\text{İlk Yatırım}}{\text{Net Yıllık Nakit Akışı}}$$

Şeklinde formüle edilir. Yöntem basittir ve gelecekteki uzun zaman periodları için tasarrufların belirsizlik hesaplarını azaltan kısa geri ödeme süreli projeler için tercih edilir.

#### **8.3.4. Ortalama Karlılık Oranı**

Ortalama karlılık yöntemine göre, yatırımin karlılığı, normal bir yıl içinde oluşan net veya brüt ortalama karın başlangıç yatırım tutarına oranlanmasıyla bulunur. Net veya brüt ortalama kar/yatırım oranı, ya toplam yatırım veya öz sermaye üzerinden hesap edilebilir.

$$\text{KO} = \frac{\text{Ortalama Yıllık Net Tasarruflar}}{\text{Başlangıç Yatırım Maliyeti}}$$

$$\text{KO} = \frac{\sum_{t=1}^n G_t}{n / I_0} \quad (8.7)$$

Bu eşitlikte,

$\text{KO}$  = brüt ortalama karlılık oranı

$G_t$  = Yatırım projesinin  $t$ 'inci yılında brüt karı

$I_0$  = Başlangıç yatırım tutarı

$n$  = Yatırımin ekonomik ömrü.

#### **8.4 Teknik Ekonomik Model**

Yatırım yapmayı düşünen herhangi bir organizasyon, yatırımin kendisine sağlayacağı faydaları ve yatırım geri dönüş süresini araştıracaktır. Planlama aşamasında yaralanılacak bir çok teknik vardır. Temel olarak, her teknik yapısal olarak bir projenin diğeriyile kıyaslanması sağlanır. Örneğin, iki yeni projenin düşünüldüğü durumu göz önüne alalım;

1. İşletme bakımından pahalı, ama yatırım gideri bakımından ucuz olabilir.
2. Satın alınması pahalı, işletilmesi daha düşük olabilir.

Biz burada, klima ile ısıtılan bir hacim ile toprak kaynaklı ısı pompasıyla ısıtılan bir hacmin ısıtılmasını kıyaslayarak, yararlı olup olmadığını görmeye çalışacağız. Her bir sistem yıllık masrafları, ilk yatırım maliyeti, yakıt giderleri ve bakım onarım ve işletme giderlerinden oluşmaktadır.

Ege Üniversitesi Güneş Enerjisi enstitüsünde bulunan  $65 \text{ m}^2$  alana sahip bir dersliğin ısıtılması ve soğutulması yapılacaktır. Bu derslik, aynı zamanda güneş enerjisi ile pasif olarak ısıtılmaktadır. Burada sadece ısıtmanın ekonomik analizi yapılacaktır. Isıtma yükü,  $0^\circ\text{C}$ 'a göre 3.8 kW'tır. Fakat seçimin soğutma yüküne göre yapıldığından ısı yükü 4.3 kW olarak seçilmiş ve COP'nin 3 olduğu hesaplanmıştır. Her iki tasarımda ekonomik ömrün 20 yıl olacağı ve hurda değerinin olmayacağı varsayılmıştır. Günde 8 saatlik bir çalışma olacağı ve hafta sonraları çalışılmayacağı düşünülmüştür. Isıtma mevsimi olarak Kasım-Mart arası 5 aylık bir süre hesaplanacaktır. Sistemin yatırım maliyeti 1.933.800.000 TL'dir. İşi pompasının saatlik enerji maliyeti 66.500 TL/saat'tır. Yıllık toplam enerji ve işletme maliyeti 58.520.000 TL'dir. Bu sistemin yıllık bakım onarım masrafları 50.000.000 TL'dir.

Klima, 4.3 kW soğutma yüküne göre seçilmiş ve COP'sinin 2.3 olduğu katalogdan alınmıştır. Klimanın ilk yatırım maliyeti 1.100.000.000 TL'dir. Yıllık enerji ve işletme maliyetlerinin yıllık

toplamı 76.120.000 TL olduğu hesaplanmıştır. Yıllık bakım ve onarım masrafları 50.000.000 TL'dir,

T.C. Ziraat Bankası Haziran 2000 verilerine göre yıllık faiz oranı net % 35 , İzmir Ticaret Odası Haziran 1999 verilerine göre yıllık enflasyon oranı % 60 olarak belirlenmiştir. Her iki sistem için yapılan araştırma da bakım onarımı düzenli yapıldığı takdirde ekonomik ömürlerinin 20 yıl olduğu hesaplanmıştır.

#### **8.4.1 Teknik Modelin İncelenmesi**

Net bugünkü değer kullanılarak, 20 yıl boyunca yapılacak bütün masraflar bulunur. Tablo 8.4'de hesaplama sonuçları gösterilmiştir.

$$\text{NBD} = \frac{E(1+e)^n}{(1+i)^n}$$

NBD = Şimdiki değer

e = Enflasyon oranı

i = İndirim oranı veya banka faiz oranı

n = Yıl

E = Şimdiki satın alma maliyeti

Tüm hesap, enerji giderleri, satın alma ve montaj giderleri ve bakım-onarım giderlerinin toplanmasıyla elde edilir. Tabloda  $P_K$  geleneksel sistemin satın alma maliyetini,  $P_I$  ısı pompalı sistemin satın alma maliyetini,  $B_K$  klima sistemin bakım onarım  $B_I$  ısı pompalı sistemin bakım onarım giderlerini,  $E_K$  klima sistemin enerji ve işletme giderlerini,  $E_I$  ısı pompalı sistemin enerji ve işletme giderlerini,  $YKM_K$ , klima sistemin yapım kullanım maliyetlerini,  $YKM_I$  ısı pompalı sistemin

yapım kullanım maliyetlerini, YKT, yapım kullanım tasarruflarını göstermektedir. Bu tabloyu incelediğimizde, YKT değerlerini ısı pompalı sistemin lehine ikinci yıldan itibaren pozitif değerler aldığı görülüyor. İlk yılda negatif olmasının nedeni ilk yatırım maliyetinin klima sisteme göre daha yüksek oluşudur. Kümülatif ısı YKT değerinin on dördüncü yıl içinde pozitif değere geçeceği yani on dördüncü yılın sonunda ısı pompalı sistemden dolayı elde edilecek yapım kullanım tasarruflarının 96.607.000 TL olacağı gözlenmektedir. Bu durumda toprak kaynaklı ısı pompasına yatırım yapılması uygun görülmektedir.

Tablo 8.4 Klima Sistem İle Toprak Kaynaklı Isı Pompasının Ekonomik Analizinin Karşılaştırılması

YIL	P <sub>K</sub>	P <sub>I</sub>	E <sub>K</sub>	E <sub>I</sub>	B <sub>K</sub>	B <sub>I</sub>	YKM <sub>K</sub>	YKM <sub>I</sub>	YKT	Kümülatif YKT
1	11000000	1933800	76.120	58520	50000	1226120	2042320	-816200	-816200	
2		90216,3	69357	59259	59259	149476	128616	20859,26	-795340,7	
3		106923	82201	70233	70233	177156	152434	24722,09	-770618,7	
4		126724	97423	83239	83239	209963	180663	29300,25	-741318,4	
5		150191	115465	98654	98654	248845	214119	34726,22	-706592,2	
6		178004	136847	116923	116923	294927	253770	41157	-665435,2	
7		210968	162189	138576	138576	349544	300765	48778,67	-616656,5	
8		250036	192224	164238	164238	414274	356462	57811,76	-558844,8	
9		296339	227821	194652	194652	490991	422474	68517,64	-490327,1	
10		351216	270010	230699	230699	581915	500709	81206,09	-409121,0	
11		416256	320012	273421	273421	689678	593433	96244,25	-312876,8	
12		493341	379274	324055	324055	817396	703328	114067,3	-198809,5	
13		584700	449510	384065	384065	968765	833574	135190,8	-63618,7	
14		692978	532752	455188	455188	1148166	987940	160226,2	96607,5	
15		821307	631410	539482	539482	1360790	1170892	189897,7	286505,2	
16		973401	748338	639386	639386	1612788	1387724	225063,9	511569,1	
17		1153661	886919	757791	757791	1911452	1644710	266742,4	778311,5	
18		1367302	1E+06	898123	898123	2265425	1949285	316139,2	1094450,7	
19		1620506	1E+06	1E+06	1E+06	2684948	2310264	374683,5	1469134,1	
20		1920600	1E+06	1E+06	1E+06	3182160	2738091	444069,3	1913203,4	

P<sub>K</sub>: Klimalı sistemin ilk yatırım maliyetiE<sub>K</sub>: Klimalı sistemin yıllık enerji giderleriB<sub>K</sub>: Klimalı sistemin yıllık bakım onarım giderleriYKM<sub>K</sub>: Klimalı sistemin yatırım kullanım maliyetleri

YKT: Yapım kullanım tasarrufları

P<sub>I</sub>: Isı pompalı sistemin ilk yatırım maliyetiE<sub>I</sub>: Isı pompalı sistemin yıllık enerji giderleriB<sub>I</sub>: Isı pompalı sistemin yıllık bakım onarım giderleriYKM<sub>I</sub>: Isı pompalı sistemin yatırım kullanım maliyetleri

## 9. SONUÇLAR

Toprak kaynaklı ısı pompaları (TKIP) yurt dışında, örneğin özellikle Amerika ’da 50 yıldan beri yaygın olarak kullanılmaktadır. Ülkemizde ise, son iki yıldır ticari olarak uygulanmaktadır. Şu sıralar ülkemizde, 60’ın üzerinde TKIP’sinin çeşitli firmalarca montajı gerçekleştirılmıştır. Ancak, bu çalışmalarda, yurt dışından ithal edilen TKIP’ları kullanılmıştır. Bunun yanı sıra paket programlardan yararlanılmıştır.

Dikey toprak ısı değiştirgeci olarak, Üniversite bazında ilk defa olarak bu çalışmalarda gerçekleştirılmıştır. Güneş Enerjisi Enstitüsünde bulunan bir dersliğin( $65 \text{ m}^2$ , 4,3 kW soğutma yüküne sahip) soğutma ve ısıtılması amaçlanmıştır. Bu çalışma, teorik ve deneyel olmak üzere, iki kısımda gerçekleşmiştir. Deneyel sonuçlarda, soğutma ısı etki katsayısı, ısı pompası için 3,3, ısı pompası tesisi için 2,11 ( yardımcı düzenekler; 2 adet sirkülasyon pompa) bulunmuştur. Sirkülasyon pompaları büyük seçilmiş, dolayısıyla sistem ısı etki katsayımızda bir düşüş gözlenmiştir. İyileştirme çalışmaları yapılması gerekmektedir.

Bu tür sistemlerde, toprak ısı değiştiricisi önemli bir maliyet unsuru oluşturmaktadır. Bu maliyetin azaltılması için dolgu malzemesinin uygun seçilmesi büyük önem taşımaktadır. Güneş kolektörlerinin, toprak ısı değiştiricisine bağlanmasıyla, özellikle kuzye iklimlerde toprak ısı değiştirici yükünde bir düşüş sağlanabilir ve toprak ısı değiştirici uzunluğu azaltılabilir ve dolayısıyla maliyyette düşüş sağlanabilir. İkincisi Ayrıca dolumun iyi bir şekilde yapılması ve boşluk kalmamamsına özen gösterilmelidir. Aksi takdirde, ısı geçiş'i istenen düzeyde olmayacağından emin olmak gerekmektedir. Bu da bizim ısı pompasına daha fazla yüklenmemiz anlamına gelecektir.

Toprak ısı değiştirici uzunluğu hesaplamaları büyük önem taşımaktadır. Bizim çalışmada, maliyet vd. sebeplerden dolayı, istenenden daha az seçilmiş ve dolayısıyla ısı yükümüzü karşılayamamaktadır. Yapılan hesaplarda, 1 1/4"lik boru için, sonda derinliği 90 m ve sonda adedi 4 bulunmuştur.

Bu çalışmada, ekonomik analizimiz iyi çıkmamaktadır. Sistemimizi bina bazında düşündüğümüzde ve her odaya ayrı bir klima eklendiğinde, toprak kaynaklı ısı pompası daha uygun bir seçenek olacaktır. Ayrıca, bu kıyaslama, geleneksel sistemlerle yapıldığında geri ödeme süresindeki rakamlar dikkat çekenektir. Sanayide, bu gibi çalışmalar Üniversitelerle birlikte yapılmalıdır. Isı pompaları dışardan ithal edilmekte ve bunların bizimki ile aynı kapasitedekinin fiyatı 6 milyar civarındadır. Bizim bulduğumuz maliyet ise 2 miliyardır.

Sonuçta, hem temiz bir enerji kaynağı olarak hemde fosil enerji kaynaklarının giderek azalması nedenleriyle yenilebilir enerji kaynaklarının kullanımını gerekli bir hale getirmiştir. Toprak sıcaklığının yıl boyunca sabit olması ilgiyi toprak kaynaklı ısı pompalarına çekmiştir. İlk yatırım maliyetinin pahalı olmasına rağmen ısı pompalı sistemin uzun süre kullanımda daha avantajlı olacağı değerlendirilmektedir.

## KAYNAKLAR DİZİNİ

**ANSI/ASHRAE Standart 62-89,1989,** Ventilation for Acceptable Indoor Air Quality. Atlanta: American Society of Heating, Refrigerating and Air-Conditioning Engineers, 1989.

**ASHRAE Handbook-Fundamentals, 1993,** Non-Residential Air-Conditioning Cooling and Heating Load, pp.26.1-26.65. Atlanta: American Society of Heating, Refrigerating and Air-Conditioning Engineers, 1993.

**ASHRAE Journal, 1992,** The Magazine of the American Society of Heating, Refrigerating and Air-Conditioning Engineers, Inc., Mart 92, Temmuz 92.

**ASHRAE Systems Handbook,1984,** Applied heat pump systems.

**Baker,G., 1983,** "Report on installation of eart coupleed heat pump demonstration." Louisiana Cooperative Extension Service.

**Bedi Korun,1995**

**Caneta Research, 1995,** "Operating Experiences with Commercial Ground-Source Heat Pumps." Final Report, ASHRAE Research Project 863. Atlanta: American Society of Heating, Refrigerating and Air-Conditioning Engineers, Inc.

**Catan M.A., Baxter V.D.,1985,** An Optimized Ground-Coupled Heat Pump Sisytem Design for Northern Climate Applications. V..91, Part 2B, HI-85-24 No.2

**Claesson,J. And Eskilson,P.,1988,** Conductive Heat Extraction to a Deep Borehole: Thermal Analyses and Dimensioning Rules. Energy. Vol.13, No.6, 509-527.

## **KAYNAKLAR (devam)**

**Closed-Loop/Geothermal Heat pump Sytems:** Tasarım and Instllation Standarts,1995, Stillwater, Okla.: International Ground Source Heat Pump Association.

**Couvillion R.J., Ph.D., P.E.,(1985),** Field and Laboratory Simulation of Earth-Coupled Heat Pump Coils. HI-85-26 No.4

**Çengel Y.,** Termodinamik

**Çengel,Y., and Boles,M.A., 1989,** Thermodynamics. McGraw Hill Book Company, Singappore, p550.

**Doğan M., 1995,** İşletme Ekonomisi ve Yönetimi.

**Downing; R.C.,1974,** Refrigerant equations. ASHRAE Trans., 80, 158-163.

**Eğriçan A.N.,1991,** Performans of A Solar Assisted Heat Pump System

**Eskilson,P. And Hellström,G.,1987,** Response Test for a Heat Store with 25 Boreholes Measured Data. Notes on Heat Transfer. Lund Institue of Technology.

**Federal Technology Alert, Ground-Source Heat Pumps Applied to Commercial Facilities\_** [www.pnl.gov/fta/2\\_ground.htm](http://www.pnl.gov/fta/2_ground.htm).

**Franck.P,Berntson.Ph.D.,1985,** Ground-Couple Heat Pumps with Low-Temperature Heat Storage:Some Swedish Experiences, Part 2B,V.91.

**Fremann T.L., Mitchel J.W. and Audit T.E. 1979,** Performans of Combined Solar-Heat Pump Systems, Solar Energy Vol 22 (125-135)

## **KAYNAKLAR (devam)**

**Giovani,B., 1977,**Underground Long Term Storage of Solar Energy-an Overview. Solar Energy. 19.617-623.

**Goswami,D.Y. and Dhaliwal,A.S., 1985,** Heat Transfer Analysis in Environmental Control Using an Underground Air Tunnel. Journal of Solar Energy Engineering. Vol.107, 141-145.

**Gönenli. A.,1988,** İşletmelerde Finansal Yönetim, İstanbul Üniversitesi Yayın No:3463.

**Hepbaşlı A.,1999,** HVAC Sistemlerinde Etkinlik ve Verim Tanımları, Mart,1999.

**Hepbaşlı,A. ve Ertöz,Ö., 1999,** Geleceğin Teknolojisi: Yer Kaynaklı Isı Pompaları, 99'TESKON Program Bildirileri / IPS-31

**Hepbaşlı,A.,1985,**Yüksek Lisans Tezi, Toprak kaynaklı ısı pompası.

**Kamil Kaygusuz, Nurbay Gültekin, Teoman Ayhan, 1992,** Solar-Assited Heat Pump and Energy Storage for Evsel Domestic Heating in Turkey. Vol.34, No.5, pp.336-346,1993

**Kara Y. A., 1999,** Doktora Tezi, Düşük sıcaklıklı Jeotermal Kaynakların Isı Pompası Yardımıyla Bina Isıtımada Kullanımı.

**Kavanaugh S.P. and Gilbreath C.R., 1995,** "Cost Containment for Ground Source Heat Pumps." Final Report, Tennessee Valley Authority.

**Kavanaugh S.P. and Rafferty K., 1997,** Ground Source Heat Pumps:Design of Geothermal Systems for Commercial and Institutional Buildings.

## **KAYNAKLAR (devam)**

**Kavanaugh S.P., ,** Commercial ground-coupled heat pumps.  
ASHRAE journal 34 ( 9 ), September 1992.

**Kavanaugh S.P.,1989,** Ground and Water Source Heat Pumps.  
Stillwater, Okla.:International Ground Source Heat Pump Association,  
1989.

**Kavanaugh,S.P.,1992,** Field test of a vertical ground-couple  
heatpump in Alabama,ASHRAE Transactions:Symosia p.2,v.98.

**Kenisarin,M.M., Lund,P.D. and Karabaev,M.K., 1988,**  
Numerical Modelling of a Centralized Solar Heating System with  
Seasonal Thermal Storage. Applied Solar Energy. Vol.24, No.2, 52-56.

**Lund J.W.,1988,** Geotermal Heat Pumps Utilization in tha United  
States, Geo Heat Center Quarterly Bulletin Vol.11, No.1,Sayfa:1,1988.

**Mc Mullan,J.T. ve Morgan,R.,1981,** Heat Pumps, Page Bros.

**Modern Refrigerant and Air Conditioning, 1992,** The  
Goodheart-Willcox Company, Inc. Publishers South Holland Illinois-  
U.S.A

**National Rural Journal Electric Cooperative Association  
Reserch Project 86-1,** Closed-Loop/ Ground Source Heat Pump  
Systems. Stillwater, Okla.:International Ground Source Heat Pump  
Association, 1988.

**P.J.Hughes.P.E., L.Loomis, R.A:O'Neil.P.E.(1985), J.Rizzuto,**  
Result of the Residential Earth-Coupled Heat Pump Demonstration in  
Upstate New York. HI-85-26 No.3

## **KAYNAKLAR (devam)**

**Parker J.D.,Ph.D., Bose J.E., Ph.D., McQuiston F.C., Ph.D.,1985, The ASHRAE Design/Data Manual for Ground-Couple Heat pumps. P.2B, HI-85-24 No.1**

**Standard Mechanical Code,1994, Birmingham:Southern Building Code Congress International.**

**Tesisat Dergisi, 1999, Sayı 40, sayfa 61, Nisan 99.**

**TSE, Türk Standartları Enstitüsü.TS Kataloğu, Ankara, Böl.1 ve 2,1076 ve688 Sayfa,1998.**

**Wijsman,A.J.Th.M. and Havinga,J.,1985, Groningen Project: 96 Solar Houses with Seasonal Heat Storage in the Soil.**

**Wijsman,A.J.Th.M. and Havinga,J.,1988, National Evaluation Summary of the Netherlands the Groningen CSHPSS.**

## EKLER LİSTESİ

EK 1 Toprak sıcaklıkları.....	205
EK 2 Hava sıcaklıkları .....	216
EK 3 Deney Ölçüm ve Sonuçları.....	220
Ek 4 Fotoğraflar.....	224

**EK 1 Toprak sıcaklıkların  
Yillara göre aylık toprak sıcaklığı.**

	<b>1987</b>	<b>1988</b>	<b>1989</b>	<b>1990</b>	<b>1991</b>	<b>1992</b>	<b>1993</b>	<b>1994</b>	<b>1995</b>	<b>1996</b>
OCAK	4.3	2.9	0.2	-0.4	2.1	-0.7	0.8	4	4	2.6
ŞUBAT	3.4	2.2	3.6	2.4	3.2	0.5	0.5	3	3.4	4.6
MART	0.1	3.5	4.7	2.2	4.6	2	2.3	3.1	4.2	3.2
NİSAN	5	6.2	7.3	6.8	5.9	4.6	7	7.9	4.6	4.9
MAYIS	8.1	10.6	10.1	9.7	10.1	9.3	10.7	11.1	9.7	11.3
HAZİRAN	14.4	15	12.3	15.6	14.7	15	15	14.5	15.2	15.7
TEMMUZ	20	21.3	19.5	20	18.3	17.2	18.1	19.8	20.3	18.5
AĞUSTOS	18.4	19.1	18.5	19.3	19.9	21	19.2	18.8	18.5	18.8
EYLÜL	16.5	14.3	14	13	13	15.3	13.2	16.3	13.3	13.3
EKİM	11.1	10.9	10.5	10.3	9.9	12.8	10.6	13.7	9.8	10
KASIM	6.3	5.1	6.1	8.8	6.1	5.8	6.1	5.4	4.2	6.2
ARALIK	4.2	4.4	3.2	5.8	1.4	1.8	5.5	3.4	6.2	7.1

	1987	1988	1989	1990	1991	1992	1993	1994	1995	1996
OCAK	7.8	7.3	4	4.8	6.8	5	5.2	9.2	8.2	6.4
ŞUBAT	8.9	8.2	7.5	8.3	8.4	5.6	5.6	8.8	9.6	9.2
MART	8.2	11.4	13.6	13.6	14	10.8	12.2	12.8	12.8	10.4
NİSAN	16.8	16.8	21.4	18.4	17.9	17.2	18.2	19.7	17.1	17
MAYIS	23	24.5	24.1	25.3	21.9	23.6	23.7	25.8	25.4	25.9
HAZİRAN	30.8	31.6	29.5	31.6	30	31	31.7	30.9	34	30.9
TEMMUZ	34.9	37	34.9	36.3	34.2	32.8	34.7	35.4	33.8	34.4
AĞUSTOS	33.3	34.9	34.2	34.2	33.4	34.3	34	34.8	33.3	33.7
EYLÜL	29.4	28.8	28.9	28.1	27.9	28.2	28.1	31.2	28.8	25.7
EKİM	20.8	20.5	18.4	21.3	20.5	23.2	21.9	22.6	19.8	18.3
KASIM	11.9	9.7	11.6	15	12.5	12.4	11	11	9.8	12.7
ARALIK	8.2	8.8	8	10.1	5.7	6	7.2	7.2	9.3	11.1

1971-1996 Yılları arası 5 cm. toprak sıcaklığı.

Ocak	Şubat	Mart	Nisan	Mayıs	Haziran	Temmuz	Ağustos	Eylül	Ekim	Kasım	Aralık
7	8.3	12.1	17.9	24.6	30.9	34.5	33.5	28.2	20.2	12.5	8.8

1963-1996 Yılları arası yıllık ortalama 5 cm. toprak sıcaklığı.

	1987	1988	1989	1990	1991	1992	1993	1994	1995	1996
OCAK	8.4	7.7	4.5	5.2	7.2	5.4	5.6	9.4	10.6	6.4
ŞUBAT	9.4	8.5	7.5	8.4	8.4	5.6	5.9	8.8	9.7	9
MART	8.4	11.4	13.5	13.3	13.8	10.6	11.9	12.8	12.7	10.2
NİSAN	16.5	16.6	20.9	18.3	17.8	17	17.8	19.3	17.	16.8
MAYIS	22.9	24.2	23.8	24.5	21.2	22.5	23	25.1	24.4	25.6
HAZİRAN	30.1	30	28.3	29.6	28.6	29.1	29.6	29.2	31.9	30.5
TEMMUZ	34	34.9	33.2	34	32.7	31.2	32.7	33.7	32.4	33.5
AĞUSTOS	32.7	33.7	33.3	33.1	33.1	32.9	32.8	33.5	32.6	33.2
EYLÜL	29.4	28.6	28.7	27.8	27.6	28	28	30.9	27.9	25.7
EKİM	21.2	21.1	18.9	21.5	21.2	23.3	22.2	23	19.1	18.3
KASIM	12.7	10.7	12.4	15.5	13.1	13.2	12.7	11.9	10	12.8
ARALIK	9	9.1	8.5	10.7	6.3	6.5	10.2	7.6	9.2	11.1

1971-1996 Yılları arası 10 cm. toprak sıcaklığı.

Ocak	Şubat	Mart	Nisan	Mayıs	Haziran	Temmuz	Ağustos	Eylül	Ekim	Kasım	Aralık
7.3	8.5	12.1	17.7	24.1	29.9	33.4	32.7	28.1	20.5	13	9

1964-1996 Yılları arası aylık ortalama 10 cm. toprak sıcaklığı.

	<b>1987</b>	<b>1988</b>	<b>1989</b>	<b>1990</b>	<b>1991</b>	<b>1992</b>	<b>1993</b>	<b>1994</b>	<b>1995</b>	<b>1996</b>
OCAK	8.9	8	5.7	6.2	8	5.9	6	10.1	8.9	7.5
ŞUBAT	10	8.6	8.2	8.2	8.5	6.1	5.8	9.4	9.9	9
MART	8.5	10.8	12.8	12.5	12.6	10.1	10.8	12	12.2	10
NİSAN	16	15.5	20.1	17.2	16.9	15.7	16.9	17.9	15.2	15.3
MAYIS	22.2	23.4	23.6	23.5	21	18.8	21.3	22.8	23.3	25.1
HAZİRAN	29.2	29.1	27.9	28.6	27.1	28	28.3	27.7	30.5	29.6
TEMMUZ	32.6	33.7	32.5	33	31.8	30.5	31.8	32	31.6	32.3
AĞUSTOS	31.6	32.1	32.4	32.3	32.1	31.7	31.6	32.7	32.3	31.9
EYLÜL	29.1	28.6	28.4	27.6	27.2	28.2	27.6	30.1	27.2	25.9
EKİM	21.9	22.5	19.6	22.2	22.2	24.2	23.1	23.4	20.3	18.9
KASIM	13.8	12.2	13.2	16.6	14.2	14.6	14.3	13.6	11.7	13.8
ARALIK	9.8	10.3	8.9	11.2	7.4	7.4	10.5	8.3	10	11.6

1971-1996 Yılları arası 20 cm.toprak sıcaklığı.

Ocak	Şubat	Mart	Nisan	Mayıs	Haziran	Temmuz	Ağustos	Eylül	Ekim	Kasım	Aralık
7.9	8.8	11.7	16.9	23	28.8	32.2	32	28	21.4	14.1	9.9

1964-1996 Yılları arası aylık ortalama 20 cm. toprak sıcaklığı.

	1987	1988	1989	1990	1991	1992	1993	1994	1995	1996
OCAK	10.2	9.7	7.8	8.4	10.7	8.3	7.9	11.8	10.5	9.7
ŞUBAT	10.8	10	8.5	9.4	9.6	8	7.9	10.4	10.4	10.3
MART	9.3	11.2	12.7	12.4	12.9	10.5	10.8	12.6	12.5	10.6
NİSAN	15	15.1	17.7	16.1	15	15.6	16.8	14.4	14.6	14.6
MAYIS	19.6	20.3	21.4	21.2	19.6	20	20	21.9	20.7	21.4
HAZİRAN	26.1	26.3	23.8	26.2	24.2	26	26.1	26.3	27.5	26.5
TEMMUZ	30.5	31.1	29.9	30.4	26.3	28.7	28.9	29.9	29.6	30.1
AGÜSTOS	31.1	31.5	31	30.8	30.6	30.5	30.1	30.6	30.7	30.7
EYLÜL	28.8	28.8	28.7	28.8	27.5	28.2	28	29.3	28	26.9
EKİM	24.1	24.1	22.3	23.8	23.7	24.5	24.1	24.8	22.3	21
KASIM	16.9	15.6	16	18.8	17.2	18.2	18	16.8	15	15.8
ARALIK	12.4	12.6	11.2	14.2	11.4	10.9	12.8	10.6	11.5	13.6

1971-1996 Yılları arası 50 cm. toprak sıcaklığı.

Ocak	Şubat	Mart	Nisan	Mayıs	Haziran	Temmuz	Ağustos	Eylül	Ekim	Kasım	Aralık
9.8	9.9	11.7	15.7	20.9	26.2	30	30.7	28.2	23.1	16.8	12.2

1965-1996 Yılları arası aylık ortalama 50 cm. toprak sıcaklığı.

	1987	1988	1989	1990	1991	1992	1993	1994	1995	1996
OCAK	11.6	11.2	10.3	10.6	13.2	11.8	10.6	13.7	12.6	12.3
ŞUBAT	10.8	10.2	9.3	10.1	11.2	19.1	10.6	12.1	11.6	11.5
MART	10.6	10.8	11.9	11.8	12.9	10.7	10.8	12.8	12.9	11.5
NİSAN	13	13.9	15.6	14.8	15.3	13.9	14.4	15.5	14.2	14
MAYIS	16.7	16.9	19	18	18	17.5	17.9	19.3	18.3	17.8
HAZİRAN	20.8	21.5	23.3	23	20.5	22.9	22.9	23.7	24.2	23.7
TEMMUZ	25.2	26.4	27.3	27	25.9	26.2	26.4	27.1	27.3	27.7
AĞUSTOS	29.2	29.5	29.3	28.6	28.8	28.3	28.2	29.1	28.7	29
EYLÜL	28.2	28.6	28	27.5	27.1	27.7	28.4	28.3	27.5	27.1
EKİM	24.4	25.1	23.9	24.8	24.4	25	24.7	25.7	24	22.8
KASIM	19.7	19.5	18.8	20.7	19.9	21.6	21	20.2	15.4	18.3
ARALIK	14.7	14.5	13.9	17.1	15.3	15.5	15.6	13.9	14.1	15.6

1971-1996 Yılları arası 100 cm. toprak sıcaklığı.

Ocak	Şubat	Mart	Nisan	Mayıs	Haziran	Temmuz	Ağustos	Eylül	Ekim	Kasım	Aralık
11.4	11.1	11.8	14.8	18.8	23.5	27.5	29.2	27.8	24	18.9	14.5

1964-1996 Yılları arası aylık ortalama 100 cm. toprak sıcaklığı.

**18 OCAK 1996 1'er saat ara ile 20 cm. toprak sıcaklığı:**

4.9	4.9	4.8	4.8	4.7	4.7	4.6	4.5	4.5	4.5	4.5	4.5
4.6	4.7	4.7	5	5.1	5.2	5.2	5.1	5	5	4.9	4.8

ORTALAMA: 4.8

**AYLIK ORTALAMA ( OCAK - 20 CM. TOPRAK SICAKLIĞI ):**

7.6	7.5	7.4	7.4	7.3	7.2	7.1	7.1	7.0	7.0	7.1	7.2
7.3	7.5	7.7	7.8	7.9	7.9	7.9	7.9	7.9	7.8	7.7	7.6

ORTALAMA: 7.5

**18 OCAK 1996**

Ortalama toprak sıcaklıkları:

5 cm. = 3    10 cm. = 3.1    20 cm. = 4.8    50 cm. = 8.7    100 cm. = 11.9  
( saat: 14 )

Hava sıcaklıkları ( 1'er saat ara ile ):

2.9	2.8	2.6	2.5	2.7	3	3.2	3.2	3.7	4.2	5.2	6.2
6.2	6.2	5.7	5	4.2	3.7	3.3	3	3	3	2.7	2.3

Ortalama: 3.8

**SUBAT 96 GÜNLÜK ORTALAMALAR:**

20 cm. toprak sıcaklığı

6.3	5.1	5	7.1	8.7	10.2	10.1	9.7	9.7	8.3
7.2	7.5	8	8.9	10.1	9.7	9.7	9.6	10.2	10.6
11.3	11.5	10.9	10.4	9.9	8.3	7.9	7.8		

**50 cm. toprak sıcaklığı**

9.3	8.7	8.5	8.3	8.4	9.3	9.9	10.5	10.6	10.6
10.4	10.2	9.7	9.8	10.3	10.6	10.8	10.8	10.8	10.9
11.3	11.7	11.9	11.8	11.4	10.8	10.4	10		

**100 cm. toprak sıcaklığı ( saat: 14:00 )**

11.2	11	10.9	10.9	10.9	10.8	10.8	10.8	10.8	11
11.4	11.4	11.4	11.4	11.5	11.5	11.4	11.6	11.6	11.8
11.9	11.9	11.9	12.1	12.1	12.7	12.2	12.2	12.1	

**Hava sıcaklığı**

3.2	3.6	5.8	11.1	12.6	12.5	12.2	11.7	10.4	4.3
4.8	6.7	9.6	12.7	13.1	10.8	9.4	10.6	11.6	12.5
15.6	15.8	11.9	9.6	7.8	5.4	5.9	6.8	6.2	

**MART 96 GÜNLÜK ORTALAMALAR:**

**20 cm. toprak sıcaklığı**

7.7	7.2	8.1	7.2	6.7	4.8	5	6.7	7.4	7.5	7.7
9	10.8	11	11.7	12.6	12.5	11.7	11.2	11.5	11.7	11.4
10.5	10	10	10.1	11.2	11.8	12.9	13.9	14.1	13.7	

**ORTALAMA: 10**

**50 cm. toprak sıcaklığı**

9.9	9.9	9.7	9.8	9.7	9.5	8.9	8.7	8.8	9.1	9.1
9.4	10	10.3	10.6	11.1	11.7	11.6	11.5	11.2	11.2	11.3
11.3	10.9	10.9	10.9	11.3	11.6	12	12.5	12.7		

**ORTALAMA: 10.6**

**100 cm. toprak sıcaklığı**

11.8	11.7	11.6	11.6	11.4	11.4	11.4	11.2	11.1	11.1	10.9
10.8	10.8	10.9	11.2	11.3	11.4	11.6	11.7	11.8	11.8	11.8
11.9	12	11.9	11.9	11.9	11.8	12	12.1	12.1		

**ORTALAMA:** 11.5**Hava sıcaklığı**

5.3	6.4	6.2	5.8	3.1	3.2	4.8	6.9	6.9	5.9	5.6
10.8	11.9	12.5	11.8	13.6	10.3	6.8	7	8.6	9.3	7.6
6.8	7.4	9	10.1	10.9	16.8	15	14.9	13.4		

**ORTALAMA:** 8.9**HAZİRAN 96 GÜNLÜK ORTALAMALAR:****20 cm. toprak sıcaklığı**

26.1	27.3	27	27.1	27.9	28.6	29.2	29.5	30.2	30.2
30.3	30.3	5	8	7	29.9	1	28.7	9	9
29.2	7	30.2	6	31	6	7	31	30.7	30.8

**ORTALAMA:** 29.6**50 cm. toprak sıcaklığı**

22.8	23.1	4	6	9	24.5	7	25.4	6	26.1
26.4	8	27	3	5	5	3	27	1	1
27.2	4	6	9	28.2	5	9	8	8	8

**ORTALAMA:** 23.7

100 cm. toprak sıcaklığı

21.2	21.3	21.4	4	6	8	9	22.3	5	7
23.1	3	6	6	8	24	2	4	6	6
24.6	8	9	25.2	3	4	5	6	8	9

ORTALAMA: 23.7

Hava sıcaklığı

24.5	22.8	23	25.2	26.4	25.8	26.7	27.6	29.1	28.5
27.2	28	29.2	24.8	22.5	22.3	24	23.5	23.7	24.3
25.7	27.5	27.4	29	30.9	27.6	24.4	25.1	24.8	

ORTALAMA: 25.9

### TEMMUZ 96 GÜNLÜK ORTALAMALAR:

20 cm. toprak sıcaklığı

30.7	8	31.2	5	9	32.6	8	33.7	33.6	6
33.1	32.2	3	9	33.3	7	4	32.8	4	2
32.4	4	31.7	30.9	31.4	7	32.2	4	6	4

ORTALAMA: 32.4

50 cm. toprak sıcaklığı

28.8	8	9	29.1	29.3	29.6	29.8	30.2	30.5	7
30.6	6	4	4	6	8	9	6	6	2
30.1	2	3	1	1	30	0	1	5	7

ORTALAMA: 30.1

MİN.: 28.8

MAX.: 31

### 100 cm. toprak sıcaklığı

26.1	26.2	3	4	6	6	7	27	2	4
27.5	6	6	7	8	9	28	1	2	4
28.4	4	4	4	4	4	4	4	4	28.5

ORTALAMA: 27.7

### Hava sıcaklığı

25	9	27.1	3	28.5	30.4	31.5	30.2	31.0	28.6	26.5
26	28	28.7	29.2	29	28.5	26.9	27	28.2	27.3	28.6
23.9	25.5	26.7	26.9	28.8	28.7	29	26.1	26.6		

ORTALAMA: 27.7

**EK 2 Hava sıcaklıklarları**

	1987	1988	1989	1990	1991	1992	1993	1994	1995	1996
OCAK	13.7	13.7	11.6	11.5	12.4	11.1	11.8	15.1	13	10.7
SUBAT	14.9	13.6	14.7	13.8	13.3	11	10.5	13.6	13.6	13.4
MART	12.5	15.6	18.17	19.9	18.4	15.6	17.1	17.4	16.2	13.5
NİSAN	19.8	20.7	25.8	22.3	20.9	21.7	21.4	24.3	19.9	19.7
MAYIS	25.6	27.9	26.3	26.7	23.7	25.5	25.3	28.3	26.7	28.7
HAZ	31.6	32.1	30.5	31.8	31.4	31.6	32.4	31.6	33.6	32.6
TEMMUZ	35.2	36.4	34.2	35.3	33	33	34.1	34.5	34.2	34.4
AĞUSTOS	33.4	34.5	34.3	33.4	33.7	34.8	34.4	35.7	33.1	33.8
EYLÜL	31.7	30.5	30.4	29.7	29.6	30.1	30.5	33.1	30.2	28.4
EKİM	22.9	23.5	22.7	25.1	24.7	29	27.8	26.6	22.9	22.4
KASIM	18.1	14.8	17.1	22	19.8	18	16.7	16	15	20.1
ARALIK	13.1	13.5	14.4	15.1	9.9	10.4	16.3	12.5	14.4	16

**HAVA SICAKLIKLARI**

Ocak	Şubat	Mart	Nisan	Mayıs	Haz	Tem	Ağust	Eylül	Ekim	Kasım	Aralık
12.2	13.3	16.6	21.4	26.5	31.4	33.9	33.5	29.7	25.9	18.5	14

1929-1937 1963-1970 1971/1996 Yılları arası aylık ortalama maksimum hava sıcaklığı değerleri.

	1987	1988	1989	1990	1991	1992	1993	1994	1995	1996
OCAK	5.9	5.3	2.1	2.1	4.3	2	3.1	6.7	5.9	4.3
ŞUBAT	5.6	4.4	3.8	4.5	5.2	1.6	2.7	5.3	3.4	6.2
MART	1.9	6.1	7.4	5.8	7.5	4.8	5	3.1	6.7	4.8
NİSAN	8	8.8	11	10.4	9.4	8.2	10	10.8	7.7	7.9
MAYIS	11.7	13.4	13.2	12.9	12.4	13	13.4	14.1	13.3	14.7
HAZİRAN	17.5	17.9	15.8	17.4	18	13.6	17.8	18.3	19	19.2
TEMMUZ	22.2	23.7	22	22.5	21.1	20.1	21	22.3	22.6	21.4
AĞUSTOS	20.3	21.7	21.5	21.4	22.1	22.3	20.9	22.5	20.7	21.3
EYLÜL	18.9	17.3	17.3	15.9	16.1	17.9	15.7	19.3	16.9	15.4
EKİM	12.7	12.8	13.1	12.7	12.7	15.5	12.9	16.2	12	11.9
KASIM	8.1	6.6	8.1	11.4	8.5	7.7	7.4	8	6.1	8.3
ARALIK	6	6.5	5.4	7.4	3.3	3.4	7.9	4.9	8	8.7

Aylık ortalama minimum sıcaklık değerleri.

Ocak	Şubat	Mart	Nisan	Mayıs	Haz	Tem	Ağus	Eylül	Ekim	Kasım	Aralık
4.5	4.5	5.9	9	13.2	17.2	20.7	20.5	16.7	12.7	8.8	6.2

1929-1937 1963-1970 1971-1996 Yılları arası aylık ortalama minimum sic. değerleri.

Ocak	Şubat	Mart	Nisan	Mayıs	Haz	Tem	Ağus	Eylül	Ekim	Kasım	Aralık
4	4.5	5.9	7.1	9.1	11.3	12.3	11.5	9.9	7.3	5.1	3.7

1963-1996 Yılları arası

Ocak	Şubat	Mart	Nisan	Mayıs	Haz	Tem	Ağus	Eylül	Ekim	Kasım	Aralık
2.5	2.4	2.2	1.8	1.8	2	2.7	2.6	2.2	2	1.9	2.1

1959-1996 Yılları arası ortalama rüzgar hızı ( m/s ).( 10 m. yükseklikte )

Ocak	Şubat	Mart	Nisan	Mayıs	Haz	Tem	Ağus	Eylül	Ekim	Kasım	Aralık
68	67	65	62	58	50	47	50	56	63	68	70

1927-1937 1963-1970 1971-1996 Yılları arası ortalama nisbi nem ( % ).

Ocak	Şubat	Mart	Nisan	Mayıs	Haz	Tem	Ağus	Eylül	Ekim	Kasım	Aralık
14	9	9	12	10	13	5	12	13	13	11	14

1929-1937 1963-1970 1971-1994 Yılları arası min. nisbi nem ( % ).

Ocak	Şubat	Mart	Nisan	Mayıs	Haz	Tem	Ağus	Eylül	Ekim	Kasım	Aralık
1014.5	1012.7	1012	1010	1010.1	1008.7	1006.7	1007.2	1010.6	1013.4	1014.8	1014.6

1971-1996 Yılları arası hava basıncı ölçümleri ( mbar ).

Ocak	Şubat	Mart	Nisan	Mayıs	Haz	Tem	Ağus	Eylül	Ekim	Kasım	Aralık
5.3	5.3	4.8	4.5	3.6	1.9	1.8	0.7	1.4	3.2	4.5	5.3

1929-1937 1963-1970 1971-1994 Yılları arası bulutsuzluk ölçümleri. ( 0-10 değerleri arasında )

Ocak	Şubat	Mart	Nisan	Mayıs	Haz	Tem	Ağus	Eylül	Ekim	Kasım	Aralık
2.7	3	3.9	6.6	10.8	15	18.7	18.4	14.7	10.8	6.7	4.4

1965-1996 Yılları arası aylık ortalama minimum toprak üstü sıcaklığı.

### EK 3 Deney Ölçüm Ve Sonuçları

26.07.2000 Tarihli Deney Ölçümleri ve Sonuçları

Zaman	12:45	13:15	13:45	14:15	15:15	15:45
T <sub>1</sub> C	7,6	7,6	8	7,7	7,8	7,9
T <sub>2</sub> C	10,5	10,5	10,9	10,5	10,8	10,8
T <sub>3</sub> C	27	27	27	26,7	27,8	28
T <sub>4</sub> C	28,1	27,6	27,6	27,6	28,4	28,6
Te C	2,8	3	3,5	3	2,9	3
Tk C	65	63,5	64,5	59	64,5	64,5
Pe bar	4,45	4,5	4,6	4,5	4,21	4,22
Pk bar	26	25	25,7	25	25,5	25,5
mts	1700	1700	1700	1700	1700	1700
Pt bar	0	0	0	0	0	0
I <sub>komp</sub>	3,4	3,4	3,5	3,5	3,5	3,5
Ip1	1	1	1	1	1	1
Ip2	1	1	1	1	1	1
V1	224	226	225	222	223	225
V3	387	389	387	386	386	389
To C	26,5	26	26	25,2	25,5	25,3
Th C	34	36	36	36,5	36,5	36,5
Tt <sub>1</sub> C	27,9	28,2	28,6	28,5	27,7	27,9
Tt <sub>50</sub> C	26,8	27,8	28,2	28,5	28,6	28,9

Zaman	12:45	13:15	13:45	14:15	15:15	15:45
W <sub>k</sub>	0,850	0,850	0,850	0,850	0,850	0,850
W <sub>p1</sub>	0,240	0,240	0,240	0,240	0,240	0,240
W <sub>p2</sub>	0,240	0,240	0,240	0,240	0,240	0,240
Q <sub>o</sub>	3,878	3,878	3,878	3,744	4,012	3,878
Q <sub>t</sub>	2,176	1,187	1,187	1,780	1,187	1,187
COP <sub>sis</sub>	2,916	2,916	2,916	2,815	3,016	2,916
COP <sub>ip</sub>	4,562	4,562	4,562	4,405	4,720	4,562

## 29.07.2000 Tarihli Deney Ölçümleri ve Sonuçları

Zaman	15:15	15:45	16:15	17:15
T <sub>1</sub> C	9,5	9,6	9,5	9,3
T <sub>2</sub> C	12,5	12,5	12,4	12,2
T <sub>3</sub> C	24	25,6	26	27
T <sub>4</sub> C	24,6	26	26,6	27,3
Te C	4,9	4,8	4,8	4,8
Tk C	66,5	66,5	66,5	66,5
Pe bar	4,8	4,8	4,8	4,8
Pk bar	26,8	26,8	26,8	26,8
mts	1600	1600	1700	1700
Pt bar	0,2	0	0	0
I <sub>komp</sub>	3,3	3,3	3,3	3,5
Ip1	1	1	1	1
Ip2	1	1	1	1
V1	223	226	223	222
V3	391	389	388	386
To C	29,4	28,7	28,2	27,7
Th C	34	36	36	36,5
Tt <sub>1</sub> C	30,6	30,4	30,5	29,7
Tt <sub>50</sub> C	25,5	26,6	27,2	28

Zaman	15:15	15:45	16:15	17:15
Wk	0,850	0,850	0,850	0,850
Wp1	0,240	0,240	0,240	0,240
Wp2	0,240	0,240	0,240	0,240
Qo	3,878	3,878	3,878	4,012
Qt	1,117	0,745	1,187	0,593
COP <sub>sis</sub>	2,916	2,916	2,916	3,016
COP <sub>ip</sub>	4,562	4,562	4,562	4,720

### 31.07.2000 Tarihlili Deney Ölçümleri

Zaman	10:30	11:00	11:30	12:10	12:30	13:00	13:20	15:10	15:40	16:10	16:30	16:40	17:00
T <sub>1</sub> C	8,5	8,4	8,5	8,4	8,6	9,3	9,7	10,7	10	9,2	8,9	8,9	8,7
T <sub>2</sub> C	11,4	11,3	11,4	11,3	11,4	12	12,4	13,4	12,7	12	11,8	11,8	11,6
T <sub>3</sub> C	24,6	25	25	26	26	26	26	27	27	27	28	28	28
T <sub>4</sub> C	24	25,3	25,8	26,3	26,4	26,7	26,9	27,8	27,9	28	28,1	28,2	28,2
TeC	3,8	3,8	3,8	3,8	3,8	4	4,5	5,2	5	4,2	4	4	4
TkC	64	64	64	64	64	65,2	66	68	66	65,8	65,5	65,5	65,1
P <sub>e</sub> bar	4,6	4,6	4,6	4,6	4,6	4,7	4,8	4,9	4,9	4,8	4,7	4,7	4,7
P <sub>k</sub> bar	25,5	25,5	25,5	25,5	25,5	26	26,6	27,5	27	26,3	26,1	26	26
mts	1600	1600	1600	1600	1600	1600	1600	1600	1600	1600	1600	1600	1600
Pt bar	0,2	0,1	0	0	0	0	0	0	0	0	0	0	0
I <sub>amm</sub>	3,1	3,1	3	3	3,1	3	3	3	3,1	3	3	3	3,1
I <sub>p1</sub>	1,1	1,1	1,1	1,1	1,1	1,1	1,1	1,1	1,1	1,1	1,1	1,1	1,1
I <sub>p2</sub>	1,3	1,2	1,2	1,2	1,2	1,2	1,2	1,2	1,2	1,2	1,2	1,2	1,2
V1	225	223	224	224	225	224	225	223	224	225	225	224	226
V3	392	388	390	389	387	391	387	392	389	390	388	391	
ToC	26,6	26,3	26,4	26,5	26,6	26,9	27,3	28	27,8	27,3	27	27	27
ThC	30	30,5	31	32,5	32,5	33	33,5	37	37	36	36	36	36
T <sub>h</sub> C	28	27,8	28	28,2	28,1	28,7	29,4	30,7	30,2	29,5	28,7	29,3	29,3
T <sub>h50</sub> C	25,2	26,1	26,6	27,5	27,7	28	28	28,8	29	29,3	29,2	29,1	29,2

## 31.07.2000 Tarihli Deney Sonuçları

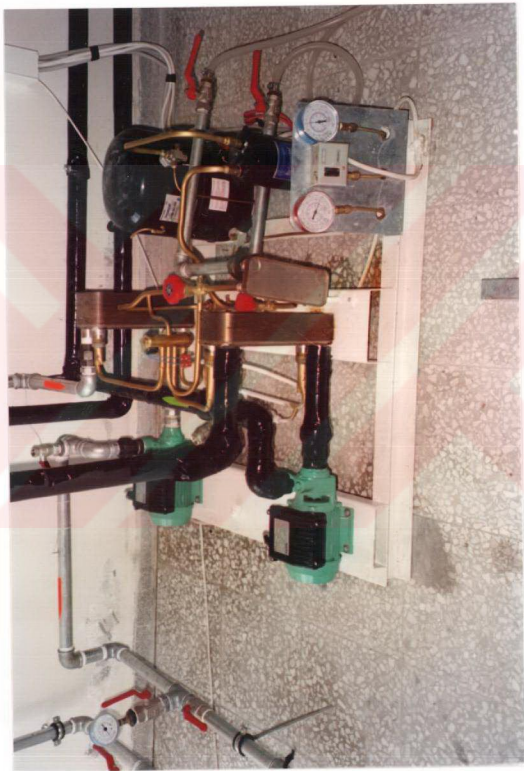
Zaman	10:30	11:00	11:30	12:10	12:30	13:00	13:20	15:10	15:40	16:10	16:30	16:40	17:00
Wk	0,850	0,850	0,850	0,850	0,850	0,850	0,850	0,850	0,850	0,850	0,850	0,850	0,850
Wp1	0,240	0,240	0,240	0,240	0,240	0,240	0,240	0,240	0,240	0,240	0,240	0,240	0,240
Wp2	0,240	0,240	0,240	0,240	0,240	0,240	0,240	0,240	0,240	0,240	0,240	0,240	0,240
Qo	3,878	3,878	3,878	3,744	3,744	3,610	3,610	3,610	3,610	3,744	3,878	3,878	3,878
Qt	-1,117	0,559	1,490	0,559	0,745	1,303	1,676	1,490	1,676	1,862	2,048	0,372	0,372
COP <sub>33</sub>	2,916	2,916	2,916	2,815	2,815	2,715	2,715	2,715	2,715	2,815	2,916	2,916	2,916
COP <sub>ip</sub>	4,562	4,562	4,562	4,405	4,248	4,248	4,248	4,248	4,248	4,405	4,562	4,562	4,562

## EK 4 Fotoğraflar

## Termal Füzyon Kaynağı



Isi Pompa Sistemi



## ÖZGEÇMİŞ

Ebru HANCIOĞLU, 22 Ocak 1970 yılında Balıkesir ilinin Bandırma ilçesinde doğdu. İlk, orta ve lise öğrenimini Bandırma'da tamamladı. 1991 yılında Yıldız Teknik Üniversitesi Mühendislik Fakültesi Kimya Mühendisliği Bölümünden mezun oldu. 1992 yılından itibaren özel sektörde çalışmakta olan Ebru HANCIOĞLU 1996 yılında Ege Üniversitesi Güneş Enerjisi Enstitüsü Enerji Teknolojisi Bölümüne kaydını yaptırdı.